



TEORIA  
KINETYCZNA  
GAZÓW

według wykładów  
prof. D<sup>r</sup> Smoluchowskiego

CENA: 8 KORON.



WYDAWCA: H. HOKUBOWICZ I W. BIKIEŃSKI

STEREOTYPOWY: JAWKOŃSKI P.

LWÓW  
1908.



S - 11.291  
czyt



Teoria kinetyczna i termodynamika postępują się w swych  
badaniach różnymi metodami. Termodynamika bowiem  
wychodzi ze zjawisk danych i doświadczenia i szuka dla nich  
praw ogólnych. Prawa te - to dwie zasady termodynamiki,  
obejmujące stany równowagi, czyli zjawiska odwracalne;  
zjawiska nieodwracalne występują poza zakres termody-  
namiki i dla nich trzeba wypracować osobne, pomi-  
erzając wrocy np. w teorii promieniowania. Precyzyjnie  
zaś teoria kinetyczna gazów wychodzi z założenia teoretycznego,  
mianowicie przyjmuje jako dany mechanizm materji i z tego  
założenia dedukcyjnie wypracowuje prawa, którym materia  
podlega - wyniki zaś swe porównuje z doświadczeniem.  
Teoria kinetyczna gazów jest jedną z teorii mechanicznych,  
jak teoria undulacyjna, mechaniczna teoria elek-  
tryczności - Maxwella, które starają się zjawiska dane tłu-  
maczyć prawami mechaniki. Ze wszystkich tych jednak  
teorii mechanicznych kinetyczna teoria jest najlepiej  
w szeregach wypracowana.

Prerabiti obecnij teorii pochodno od Clausiusa z 1857. Wyniki  
Clausiusa znane byle ju dawniej. Waterston (1845) ogło-  
sił badania prawie identyczne z badaniami Clausiusa  
Popelnił on jednak bład zasadniczy, wskutek czego roz-  
prawa jego nie została przyjęta. W r 1821. Herapath o-  
głosił podobne rezultaty jak Clausiusa. Rörmer D.  
Bernoulli w r. 1738 miał opracowane teoryę kinetyczną  
gazów np. pr. Boyle'a-Charlesa tłumaczył przyjęciem  
drobni gazu. Lukrecyus Carus u starożytności ju  
twierdził, że materya składa się z atomów, lecz oorywicie  
prerabiał teoryę jennm przypisai nie można, bo roz-  
wariania jego są raczej treści filozoficznej jak fizycz-  
nej. Teorya Clausiusa odnosila się głównie do tłum-  
aczenia prawa Boyle'a-Charlesa. On wprowadził ten  
pojęcie drogi średniej. Teoryi kinetycznej narzekano,  
że prędkości drobn znacna według teoryi (dla ciśnienia 500  
stoi w sprzeczności ze zjawiskiem dyfuzji gazów, które  
to postępuje bardzo powoli. Otwi Clausius tłumaczy



to tem, że drobiny poruszają się zygmatycznie, wskutek czego mimo wielkiej prędkości na małe przestrzenie się rozchodzą. Cząsteczki mogą odbywać dłuższą lub krótszą drogę zależnie od konstelacji - istnieje jednak pewna najprawdopodobniejsza, przeciętna wartość tej drogi. Wprowadził tu więc coś z prawdopodobieństwa. Od roku 1860 rozwinął teoryę kinetyczną Maxwell. On pierwszy zwrócił uwagę, że wskutek nieregularnych zderzeń musi być prędkości drobin różne a nie jednakość, jak przyjął Clausius. Gdy jednak wyrównają się z czasem nierówności temperatury i gęstości w różnych miejscach gazu, wówczas istnieje pewne prawo rozkładu. W związku z średnią drogą drobin wytyłmaczył Maxwell zjawiska przewodnictwa cieplnego, dyfuzji i tarcia wewnętrznego gazu. Wprowadził on wniosek, że tarcie wewnętrzne gazu zależy od gęstości i wniosek ten potwierdził doświadczeniem. Rezultaty Maxwella co do przewodnictwa

ciepłego gazu potwierdziły doświadczenia Stefana.  
Według założenia Clausiusa i pierwotnie Maxwella drobiny  
są kulkami. Później Maxwell przyjmuje, że drobiny są  
punktami materialnymi, oddziaływującymi na siebie si-  
łami przyciągającymi lub odpychającymi według pra-  
wa odwrotnej potęgi odległości. Pokazało się, że skom-  
plikowane wzory teorii upraszczają się tylko pod za-  
łożeniem, że siły międzycząstkowe są proporcjonalne  
do  $\frac{1}{r^5}$ . Na podstawie założenia tego wyprowadzono  
zostało pr. Boyle'a-Charlesa, prawa wewnętrznego, dy-  
fuzji, przewodnictwa ciepłego. Teoria ta jednak spot-  
kała się z pewną oporą. Teoria rdzenia kul sprę-  
żonych jest tylko przybliżeniem. Na podstawie teo-  
rii kinetycznej wprowadził Van der Waals popraw-  
kę prawa Boyle'a-Charlesa, które ważne jest dla  
gazów bardzo rozrzedzonych. Odstępstwa u gazów  
rozrzedzonych tłumaczy Van der Waals tem, że dro-  
biny mają rozmiary niezmiernie małe w stosunku



do drogi, która rekreslaja i re wysieraja na siebie siły  
przyciągające, dające powód do różnorodności. Wdał  
smy ciągu pracował nad teorią kinetyczną Boltz-  
mann. Powiedł on do wniosku, że wartość stosunku  
 $\frac{C_p}{C_v} = k$  zależy od tego, z ilu atomów składają się dro-  
biny dotychczasowego gazu. Drobiny jednoatomowe ku-  
liste O mają  $k = 1\frac{2}{3}$ , dla dwuatomowych, elioidal-  
nych O<sub>2</sub>, lub równych z dwu atomów stykających się  
z  $k = 1\frac{4}{5}$ , gazy równone z dwu atomów niestykają-  
cych się O-O, więc o zmiennym odstępnie wzajemnym  
albo równone z więcej atomów, lub których drobiny  
nie są elioidalnego kształtu mają  $k = 1\frac{1}{3}$ . Też wrio-  
ści stwierdzono doświadczalnie np. dla powietrza  
 $k = 1.4 = 1\frac{2}{5}$ ; według badań Kundta i Warburga  
dla frary rtęci  $k = 1\frac{2}{3} = 1.66$ . Boltzmann próbował  
wyprowadzić teorię tarcia wewnętrzniego pod za-  
łożeniem różnym od Maxwella, ale mimo bardzo  
skomplikowanych rachunków nie otrzymał dodatnich

rezultatois. W r. 1880 powstała oporycja przeciw kinetycznej teorii z następujących powodów:

1) Wielką trudności nastroją teorii kinetycznej zjawiska nieodwracalne. Wedle teorii kinetycznej jest w ogóle mechanizm uwytkie zjawiska są zjawiskami ruchu. W danej chwili każda drobina danego systemu ma swoje określone położenie i prędkości i określona chwilowa prędkość - i te dwie wielkości wystarczają do określenia dalszego przebiegu zjawiska według praw mechaniki.

Wyobraźmy sobie teraz, że prędkości drobiny zmierzają swój znak,  $\frac{ds}{dt}$  przechodzi w  $-\frac{ds}{dt}$ , co można napisać w formie:  $-\frac{ds}{dt} = \frac{ds}{d(-t)}$ . Ale  $\frac{ds}{d(-t)}$  określiłoby nam stan systemu w chwili wcześniejszej, to znaczy, gdybyśmy mierniali prędkość, to zjawiska odbywałyby się wstecz, ciepło z ciała zimniejszego przepływałoby do cieplejszego samo przez się - to zaś sprzeczne jest z drugą zasadą termodynamiki, według której



przy zjawiskach nieodwracalnych wzrostu entropii i ciepła  
przepływa z ciała cieplejszego do zimniejszego. Wydawałoby  
się, że oba systemy  $\frac{ds}{dt}$ ,  $\frac{ds}{dt-t}$  są równoważne, czyli  
zjawiska mogą odbywać się w jedną i drugą stronę.

To jest właśnie wielka trudność teorii kinetycznej  
jak i wogóle mechanicznej do dziś dnia.

L. Boltzmann starał się to wytłumaczyć inną dro-  
gą, mianowicie na podstawie H-theorem. Według  
niego zjawiska odwracalne i nieodwracalne są  
równie możliwe, ale w różny sposób prawdopodobne.  
Zdaje się, że w ten sposób można uniknąć  
sprzeczności między termodynamiką a teorią  
kinetyczną.

Teorii Boltzmannu jednak wielu fizyków przewo-  
dził sceptycyzm energiczny nie rozumiano a więc,  
aby innym i. Ostwald; ci wzięli wystąpili prze-  
ciwno niej. Dopiero w najnowszym czasie  
przystąpiła na pomoc kinetycznej teorii, teoria

elektronów, która wykarata istnienie atomów  
elektrycznych

Z podstaw teorii kinetycznej eliminujemy  
my tarcie, jako siłę dysypacyjną, przyjmując  
jenny ras, że siły działające między ato-  
mami są konserwatywnymi, czyli potencjal-  
nymi (żel: między dwoma punktami dróż-  
kają siły konserwatywne, wtedy punkt ru-  
chomy po przejściu po jakiejś drodze  
zamkniętej wraca napowrót do swego  
początku pierwotnego, praca wykonana  
na podrożu tego ruchu = 0) Ponieważ  
w sferze sił konserwatywnych praca  
wykonana po krzywej zamkniętej  
równa się 0, więc energia kinetyczna  
(która jest miarą pracy) musi pozostać  
ta sama przy powrocie systemu danego



do porzeczki powrotkowej.

## Kinetyczne określenie temperatury

W termodynamice mówisz, że ciała porostające w ruchu i w spoczynku przyjmują z czasem tę samą temperaturę. Aby określić temperaturę, musimy więc szukać wielkości, charakterystycznej dla ciał, która z czasem wyrównuje się. Otóż Maxwell do wniosku, że energia kinetyczna drobni i systemie mechanicznym wyrównuje się z czasem, jeżeli mamy rozpraszających cząstek i absorbujących system.



Wyobraźmy sobie naczynie (Fig 1), w którym pewna ilość znajduje się bardzo wiele drobni poruszających się. Energia

kinetyczna tych drobin przedstawia nam  
energię ciepłą. Chwilowe prędkości dro-  
bin są różne według Maxwella, jednak  
wskazują ich wzajemnych odwrócenie ustano-  
wi się precyzyjny rozkład prędkości. Przewodząca  
energia kinetyczna ruchu postępowego drobin  
będzie więc w pewnym okresie czasu ta sa-  
ma. Wskutek tego i energia ciepła drobin bę-  
dzie ta sama, a więc temperatura ich będzie  
jednakowa. (Ciała bowiem o różnych tempe-  
raturach udzielają sobie energii ciepłej,  
skoro zaś energia ciepła ich jest stale taka  
sama, to posiadają one jednakową tempe-  
raturę.) Możemy więc energię kinetyczną  
drobin danego gazu uważać za miarę tem-  
peratury tego gazu. Jeżeli prędkość drobin  
(średnia) wynosi „ $C$ ”, temperatura  $\theta$ , to

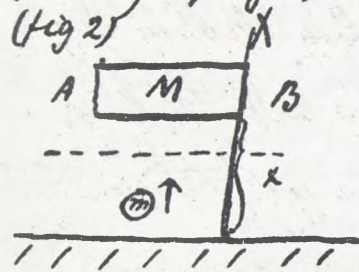


wzajem energii kinetycznej & temperatura okre-  
 śla równanie:  $\frac{mc^2}{2} = \alpha \theta$  ( $\alpha$  - czynnik proporcjonalny).

## Prawo Boyle'a - Charles'a

(Wyprobowujemy tego prawa w ściślejszy sposób  
 podany będzie poniżej).

Wyobraźmy sobie system składowy z płyty  
 (A-B) (Fig 2) z materiału ciężkiego, o masie



"M" z kulki sprężystej o ma-  
 sie "m" i z podstawy sta-  
 lej. Kulka podajemy  
 prędkość pewną w kierunku

ku górze. Płyta A-B wskutek swej ciężkości po-  
 pada daleko do spadania, uderzona jednak  
 przez kulkę, zostaje napowrót ku górze podru-  
 cona. Możemy przez to tak urządzić, że u-  
 derzenia kulki będą neutralizować daleko-  
 płyty AB do spadania. W chwili uderzenia

się kulki i płyty wchodzą w rachubę siły spręż. i tyni.

Stojąc prawo działania i oddziaływania do chwili zdarzenia, mamy:  $M \frac{d^2x}{dt^2} = m \frac{d^2x}{dt^2}$ , gdzie  $x$  określa odległość płyty od poręczy po okrętku, w jej kierunku ku górze, zaś  $x$  odległość kulki w kierunku na dół. Całkując równanie powyższe wedł. t. mamy:  $M \left. \frac{dx}{dt} \right|_1^2 = m \left. \frac{dx}{dt} \right|_1^2$ , granice całkowania 1, 2 oznacza początek i koniec zdarzenia. Ponieważ  $\frac{dx}{dt} = c$ ,  $\frac{dx}{dt} = c$  (prędkość) więc  $M(c_2 - c_1) = m(c_2 - c_1)$

Jeżeli system ten ma poruszać się w równowadze, to bezwzględne wartości prędkości kulki i płyty przed zdarzeniem i po zdarzeniu są jednakowe, różnią się zaś znakiem. Jeżeli  $|c_2| = |c_1| = |c|$ ;

$|c_2| = |c_1| = |c|$  to  $2Mc = 2mc$ ;  $Mc = mc$ ;  $C$  jest drogą zakreśloną w sekundzie, wskutek działania

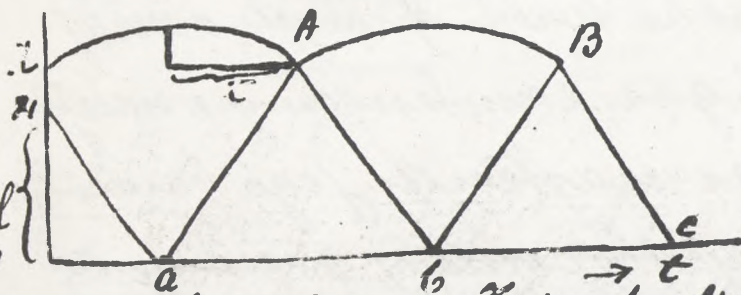


ma sily ciężkości. Jeżeli z oruwaera czas, upływa, idący od chwili; gdy płyta jest w spoczynku do chwili podniesienia się to:  $C = gT$

$MgT = mc$ ;  $Mg = P$  siła działająca na płytę  $P = \frac{mc}{T}$

Przebieg zjawiska tego przedstawia (fig 3) Krzywa składa się z dwóch części, jednej  $K A B C \dots$ , która przedstawia ruch płyty, i z drugiej  $k a b c \dots$ , która przedstawia ruch kulki.

Fig 3:



Ruch kulki i płyty będąc wiesz pewnego rodzaju ruchem drgającym. Wychylenie płyty określony w nast. sposób: Wzrost

który upływa od chwili spoczynku płyty do chwili zdarzenia w jej przemyśle. Kulka raz odległość płyty  $l$  od podłoża wyprzedkoscia  $c$ , więc  $l = ct$ ;  $t = \frac{l}{c}$

$$P = \frac{mc}{t} = \frac{mc^2}{l}$$

Blowgacya płyty będzie tym większa im mniejszy okres  $t$ , czyli im większe przędkosci kulki  $c$ , im większa masa kulki  $m$ .

System powyższy przedstawia nam p. chowanie się gazu. Cząsteczki gazu wyobrażamy sobie jako kulki sprężyste o małej masie. Jeżeli gaz zamknięty w naczyniu, wówczas cząsteczki jego bardzo szybko uderzają (bo c wielkie) o ścianę tego naczynia sprawiając temu wrzecznie ciągłego ciśnienia. Jeżeli w naczyniu oprze-



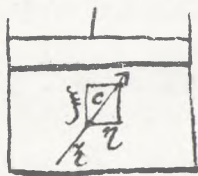
kroju  $1\text{cm}^2$  i długości  $l = 1\text{cm}$ , znajduje się  $n$  drobin gazu, wówczas wywierają one normalne ciśnienie:

$$P = p = n m c^2$$

Powyrzne wzory wyprowadziliśmy pod założeniem że kulki poruszają się prostopadle do płyty.

W przypadku, gdy kulki poruszają się skośnie względem ściany (tłoka) fig 4 z prędkością  $c$ , wówczas tylko składowa pionowa  $\xi$  tej

fig:4



prędkości wchodzi w rachubę.

$$c^2 = \xi^2 + \eta^2 + \zeta^2, \text{ więc ciśnienie}$$

w tym wypadku będzie:

$$p = n m \xi^2.$$

Drobin tych jest w gazie bardzo dużo i z czasem utory się rzeć tak, że we wszystkich kierunkach będzie się poruszać jednako, wa ich ilość. Możemy więc przyjąć, że

$\xi = \eta = \zeta$ , przeciętne prędkości w owych trzech kierunkach będą jednakowe

$$c^2 = 3\xi^2, \quad \xi^2 = \frac{c^2}{3}$$

$$p = \frac{nm c^2}{3}$$

$n \cdot m = \rho$  to jest gęstość

gazu (czyli masa  $1 \text{ cm}^3$  gazu).

Jeżeli temperatura gazu jest dana, wówczas określona jest prędkość drobin  $c$  według równania:

$$\text{energia: } \frac{m c^2}{2} = \alpha \Theta$$

$$c^2 = \frac{2\alpha \Theta}{m}$$

$$p = \frac{2\rho \alpha \Theta}{3m} = \frac{2}{3} \alpha \cdot \frac{\rho \Theta}{m}$$

Dla danej temperatury jest  $p$  proporcjonalne do  $\rho$  i odwrotnie.

$$\frac{p}{\rho} = p v = \frac{2}{3} \frac{\alpha}{m} \Theta$$

$$p v = R \Theta$$

Otrzymaliśmy więc prawo Boyle-Charlesa. Jak widzimy, stała gazowa:

$R = \frac{2}{3} \cdot \frac{\alpha}{m}$ , jest odwrotnie proporcjonalna,



na do masy drobinowej  $m$ , zależy więc od ciśnienia drobinowego, jak to wynika z prawa Avogadro.

Mając  $p$  danego gazu, możemy obliczyć  $c$

$$p = \frac{\rho c^2}{3} \quad c = \sqrt{\frac{3p}{\rho}}$$

Dla powietrza  $\rho = 0.0013$ ,  $p = 10^6$  (ciśnienie normalne jednej atmosfery)

$$c = \sqrt{\frac{3 \cdot 10^6}{0.0013}} = 485 \cdot 10^2 \text{ cm/sec} = 485 \text{ m/sec}$$

Dla danej temperatury  $c$  zależy odwrotnie od  $\rho$ , które zależy od ciśnienia drobinowego.

Więc:  $c_1 : c_2 = \sqrt{m_2 g} : \sqrt{m_1 g}$  ( $g$  przyspieszenie wskutek siły ciężkości)

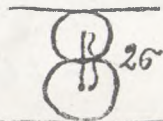
$$c_1 : c_2 = \sqrt{m_2} : \sqrt{m_1}$$

Na podstawie tego równania możemy obliczyć  $c$  dla różnych gazów ze znajomości tego  $c$  u innych gazów, i tak otrzymamy:

dla  $H_2$  (wodoru)  $c = 1844 \text{ m/sec}$ .

dla  $\text{CO}_2$  (bezwod)  $c = 392$  m/sec

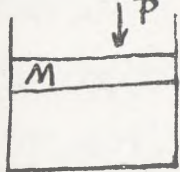
Jak widzimy są to prędkości rzędu prędkości głosu. Ten zwiazek rozumiemy, jeżeli przyjmujemy, że drobiny gazu biorą udział w przenoszeniu fal głosowych. Robiliśmy dotychczas założenie, że  $c$  dla wszystkich drobin jest jednakowe. Maxwell zwrócił uwagę, że tylko z czasem prędkość przeciętna drobin jest taka sama. Następnie nieuwzględniliśmy rozmiarów drobin, co należy uwzględnić w razie gdy wielkości ich nie są nieskończenie małe w porównaniu z drogą, którą nakreślają. Wtedy bowiem drobiny mogą się do siebie zbliżyć najwyżej na odległość podwójnego promienia fig 5.





## Ścisłejszy wywód pr. Boyle-Charles'a

Wziemy pod uwagę naczynie fig: 6 na-  
pełnione gazem i zamknięte tłokiem o  
masie  $M$ . Na tłok ten działa stała siła  $P$   
fig: 6: z góry na dół, obok tego zaś siły  
wywierane przez cząsteczki  
gazu przy uderzeniu ich o ścia-



na tłoka. Siły te  $q$  wchodzi w rachubę  
w chwili uderzenia się. Siła cał-  
kowita działająca na tłok:  $M \frac{d^2x}{dt^2}$

składa się z siły  $P$  i sił  $q_1, q_2, q_3, \dots$ ,  
które mają kierunki przeciwnie niż  
 $P$ . Ruch tłoka określimy nam przeto  
równanie:  $M \frac{d^2x}{dt^2} = -P + q_1 + q_2 + q_3 + \dots$

Łatwiejemy według  $t$ :

$$M \frac{dx}{dt} = -Pt + \int q_1 dt + \int q_2 dt + \dots$$

gdzie owe  $q_1, q_2, \dots$  zależą od czasu.

Niech czas, w którym rozumiemy będzie  
 bardzo długi  $t = T$  w porównaniu z cza-  
 sem zdarzeń (Ponieważ na sekundę,  
 przypada wiele bilionów zdarzeń, więc  
 sekunda jest bardzo długim czasem  
 w porównaniu z czasem zdarzenia.)

$\frac{dx}{dt} \Big|_{x_1}^{x_2} = C_{x_2} - C_{x_1}$  to są prędkości na  
 początku i końcu czasu  $T$ .

$$M(C_{x_2} - C_{x_1}) = -PT + \int q_1 dt \dots$$

$$\frac{M(C_{x_2} - C_{x_1})}{T} = -P + \int \frac{1}{T} q dt$$

Prędkości ciała  $C$  są bardzo małe, bo  
 z czasem ciało porusza się w spoczynku.  
 Jeżeli ma być równowaga, to lewa  
 strona powyższego równania = 0.  
 więc  $P = \int \frac{1}{T} q dt$ .

Dla wyych  $q$  mamy:  $m \frac{d^2 x_1}{dt^2} = q_1$  siła wy.



wierana przez cząsteczkę o masie  $m$ ,

$$m \frac{dx_i}{dt} = \int q_i dt$$

$$m_i (c' - c) = \int q_i dt$$

Granica całkowania jest początek i koniec chwili zdarzenia, bo tylko w chwili zdarzenia działa cząsteczka na tło.

W mechanicy nazywamy iloczyn  $m$  i przyspieszenia ilością ruchu, więc wyrażenia:  $\int q_i dt$  przedstawia ilość ruchu uderzoną tłokowi wskutek uderzenia z drobiną  $m$ . Według równania powyższego:  $P = \frac{1}{T} \sum m(c' - c)$  przysięść gazu równa się przeciętnej ilości ruchu, uderzonej tłokowi przez drobinę uderzającą.

Jeżeli siły wgrę wchodzące są konserwatywne, więc zdarzenie sprężyste

wówczas drobiny gazu oddalają się od tłołka z tą samą prędkością, z jaką wpa-  
dały:  $c' = -c$  Niech  $|c'| = |c| = \xi$  to

$$P = \frac{2}{T} \sum m c \xi$$

Zastójmy, że cząsteczki posiadają różne  
masy  $m_1, m_2, m_3, \dots$  i różne prędkości:  
 $\xi_1, \xi_2, \xi_3, \dots$  to dla  $T = 1$  sek. mamy:

$$P = 2 [v_1 m_1 \xi_1 + v_2 m_2 \xi_2 + \dots],$$
 gdzie  $v_s$  ozna-  
cza ilość uderzeń drobin tego rodzaju

w sekundzie ( $T=1$ ). Przyjmijmy, że w tem<sup>3</sup>  
gazie znajdują się drobiny pierwszego, dru-  
giego i t.d. rodzaju w ilości  $n_1, n_2, \dots$

W sekundzie przebywają one drogę  $\xi_1, \dots$   
czyli grubości warstwy gazu  $\xi_1$ . W ob-  
jętości gazu o  $1 \text{ cm}^2$  przekroju o gru-  
bości  $\xi_1$  zawiera się ilość cząsteczek:  
 $n_1 \xi_1 \cdot 1 \text{ cm}^2$ . Połowy tych cząsteczek u,

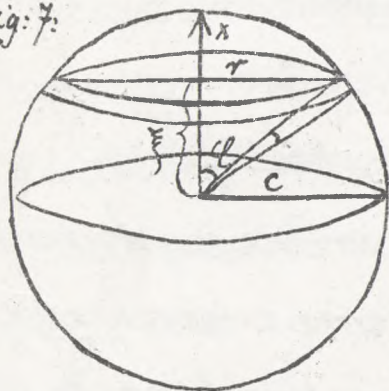


derwa o tłoek (połowa porusza się po od-  
 bicie w kierunku od tłoeka), więc  $v_1 = \frac{n_1 \xi_1}{2}$   
 Prędkość więc gazu w nacięciu o przekro-  
 ju  $1 \text{ cm}^2$  wynosi:

$$P_{1 \text{ cm}^2} = p = [n_1 m_1 \xi_1^2 + n_2 m_2 \xi_2^2 + \dots] = \sum m n \xi^2$$

wiemy, że  $c^2 = \xi^2 + \eta^2 + \zeta^2$  i wskutek symetrii  
 właściwości gazu  $\xi^2 = \frac{c^2}{3}$ . Do wyniku:  $\xi^2 = \frac{c^2}{3}$   
 możemy dojść w inny sposób: Wykreśl-  
 my około punktu O (fig: 7) kulę o pro-  
 mieniu = c i rucch kierunku promieni  
 wodracych przedstawia nam prędkości

fig: 7:



drobin. Przekiętny kwad-  
 rat ( $\xi^2$ ) prędkości w kie-  
 runku osi x obliczymy,  
 dzieląc całą ilość iloczyn  
 4 powierzchni kuli i prędk.  
 kości  $\xi^2$  przez powierzchnię

kuli. Powierzchnię kuli otrzymamy sumując powierzchnię (dw) paszków w odległościach  $\varphi$  od środka znajdujących się.

$$dw = 2\pi r \cdot c \cdot d\varphi; \quad r = c \sin \varphi$$

$$dw = 2c^2 \pi \sin \varphi d\varphi$$

więc  $\xi^2 = \frac{\sum dw \xi^2}{4c^2 \pi} = \frac{\int dw \xi^2}{4c^2 \pi}$

$$\xi^2 = c^2 \cos^2 \varphi$$

ponieważ  $\xi^2 = \frac{\int_0^\pi 2c^2 \pi \sin \varphi \cdot c^2 \cos^2 \varphi d\varphi}{4c^2 \pi} =$

$$= \frac{c^2}{2} \int_0^\pi \cos^2 \varphi \sin \varphi d\varphi = -\frac{c^2}{2} \cdot \frac{\cos^3 \varphi}{3} \Big|_0^\pi =$$

$$= -\frac{c^2}{2} \left[ -\frac{1}{3} - \frac{1}{3} \right] = \frac{c^2}{3}; \quad \xi^2 = \frac{c^2}{3}$$

Ponieważ  $p = \sum m n \xi^2 = \sum \frac{m n c^2}{3}$

$$n m = \rho$$

$$p = \frac{m_1 n_1 c_1^2 + m_2 n_2 c_2^2 + \dots}{3} = \frac{\rho_1 c_1^2 + \rho_2 c_2^2 + \dots}{3}$$

Różne gazy mają drobiny o różnych śred. kątach i masach, więc wzór powyższy przedstawia nam prawo Daltona dla



mieszaniiny gazów:  $p = p_1 + p_2 + \dots = \frac{\rho_s c_s}{3}$

Bierzemy do pomocy równanie, które ważne jest dla każdego rodzaju drobin

$$\frac{m_i c_i^2}{2} = \alpha \theta \quad (\text{Temper. gazu}), \quad c_i^2 = \frac{2\alpha \theta}{m_i}$$

więc  $p_i = \frac{2\alpha c_i \theta}{3 m_i}$

$$\frac{p_i}{\rho_i} = \frac{2\alpha \theta}{3 m_i}$$

$$p_i v_i = R_i \theta$$

$$R_i = \frac{2\alpha}{3 m_i}$$

Uzyskaliśmy tak w sposób ogólniejszy prawo Boyle'-Charles'a.

### rachunek prawdopodobieństwa.

Prawdopodobieństwo dla jakiegoś zdarzenia określa stosunek liczby przypadków sprzyjających do liczby przypadków równie możliwych. Czy dany szereg wypadków jest równie możliwy, to wynika z nich

z rażenia danego zadania. Weźmy  
n.p. kostkę na której ścianach jest wy-  
pisanych sześć różnych liczb 1, 2, 3, 4,  
5, 6. Liczba przypadków sprzyjających  
wyrzuceniu kostką liczby 2 n.p. wynosi  
1. Równie prawdopodobnych przypad-  
ków w ogóle jest 6. Więc prawdop.  
dobierstwo, że przy rzucaniu kost-  
ką trafimy na liczbę 2 jest  $\frac{1}{6}$ . Podob-  
nie dla każdej z tych 6 liczb z osob-  
na. Prawdopodobieństwem zaś, że  
trafimy na liczbę 2 albo 3 będzie:

$$\frac{1}{6} + \frac{1}{6} = \frac{1}{3}$$

I. Więc: Prawdopodobieństwo zda-  
nienia się jednego z większej ilości wy-  
padków niezależnych od siebie  
równa się sumie prawdopodobieństw



składowych.

Dane mamy np.  $n$  możliwych wypadków.

Prawdopodobieństwo dla wypadku  $a, b, c, \dots$

jest  $\frac{n_a}{n}, \frac{n_b}{n}, \dots$ . Prawdopodobieństwo zaś, że zdarzy się jakikolwiek z tych wypadków jest:  $\frac{n_a + n_b + \dots}{n}$

Wźmy teraz pod uwagę wypadki ztożo-

ne. Np. Jaki jest prawdopodobieństwo,

że przy rzucaniu kostką 2 razy wypadnie

ta sama liczba? Dla pierwszego razu

prawdopodobieństwo wynosi  $\frac{1}{6}$ . W dru-

gim razie prawdopodobieństwo będzie

$\frac{1}{6}$  tą częścią pierwszego, więc  $\frac{1}{6} \cdot \frac{1}{6} = \frac{1}{36}$ .

Przy dwukrotnym bowiem rzucaniu

możliwe są wszystkie kombinacje

z liczb 1, 2, 3, 4, 5, 6 : 21, 22, 23, 24, 25, 26;

31, 32, 33, 34, 35, 36; 41, 42, 43, 44, 45, 46. ....

tych kombinacji wyrzutek jest 36. Przy-  
padków możliwych jest więc 36 a sprzy-  
jający jest 1. Prawdopodobierstwo więc,  
że na pierwszym i drugim razem wyrzu-  
cimy liczbę 2, wynosi  $\frac{1}{36}$ .

II. Prawdopodobierstwo więc zjawiska  
którego równa się iloczynowi praw-  
dopodobierstwo każdego z wypadków  
częściowych (prawdopodobierstwo elemen-  
tarnych).

Przykład 1). Mamy w urnie  $a$  kul  
białych,  $b$  czarnych, razem  $a+b$ . Praw-  
dopodobierstwo wyciągnięcia kuli bia-  
łej wynosi  $\frac{a}{a+b}$ , czarnej  $\frac{b}{a+b}$ . Praw-  
dopodobierstwo zaś wyciągnięcia ku-  
li białej, albo czarnej jest  $\frac{a}{a+b} + \frac{b}{a+b}$ .  
Ponieważ mamy tu tylko dwa podra-



je kul, więc prawdopodobieństwo wy-  
ciągnięcia białej lub czarnej powinno  
być pewnością tzn.  $\frac{a}{a+b} + \frac{b}{a+b}$  powinno być = 1  
(co rzeczywiście zachodzi).

Przykład II). Mamy dwie urny. W jednej  
znajduje się a kul białych, b czarnych,  
w drugiej a' białych, b' czarnych.

Prawdopodobieństwo wyciągnięcia  
z pierwszej urny kuli białej wynosi  
 $\frac{a}{a+b}$ , z drugiej zaś osobno  $\frac{a'}{a'+b'}$ .

Prawdopodobieństwo zaś wyciągnię-  
cia z obu urn równocześnie kuli  
białej wynosi  $\frac{a}{a+b} \cdot \frac{a'}{a'+b'}$ . ~

Należy więc rozważyć przypadki  
równe prawdopodobne, zależne i  
niezależne i inne specjalne wa-  
runki. Pytamy np. jakie jest

prawdopodobieństwo wyciągnięcia dwa razy kolejno z jednej urny kuli białej? Musimy tu rozróżnić, czy po wyjęciu pierwszej kuli białej napowrót włożymy ją do urny, czy też odłożymy na bok. W pierwszym razie znajduje się w urnie ciągle kul  $a+b$ . Wtedy prawdopodobieństwo wyciągnięcia dwa razy kuli białej jest  $\frac{a}{a+b} \cdot \frac{a}{a+b}$ ; dwa razy czarnej jest:  $\frac{b}{a+b} \cdot \frac{b}{a+b}$ , zaś pierwszym razem białej, drugim czarnej jest  $\frac{a}{a+b} \cdot \frac{b}{a+b}$ , drugim zaś białej a pierwszym czarnej:  $\frac{b}{a+b} \cdot \frac{a}{a+b}$ . Suma tych prawdopodobieństw musi być = 1 (pewność) i rzeczywiście:

$$\frac{a \cdot a}{(a+b)^2} + \frac{ab}{(a+b)^2} + \frac{ba}{(a+b)^2} + \frac{b^2}{(a+b)^2} = 1$$

Teraz umówmy się, że jeżeli wyciągnie,



my pierwszy raz kulę białą, to ją od-  
 kładamy na bok, czarną zaś najpierwót  
 wkładamy do urny. Chodzi o prawdę,  
 podobieństwo wyciągnięcia kuli białej  
 za drugim razem. Jeżeli pierwszy  
 raz wyciągnęliśmy kulę białą, to praw-  
 dopodobieństwo wynosiło  $\frac{a}{a+b}$ , za dru-  
 gim razem zaś będzie prawdopodo-  
 bieństwo wyciągnięcia kuli białej:  
 $\frac{a}{a+b} \cdot \frac{a-1}{a+b-1}$ , bo znajduje się o 1 mniej  
 kul. Jeżeli zaś wyciągnęliśmy pierwszy  
 raz kulę czarną, to prawdopodobieństwo  
 było  $\frac{b}{a+b}$ , druga raz zaś dla białej  
 wynosi ono  $\frac{b}{a+b} \cdot \frac{a}{a+b}$ . Suma obu  
 prawdopodobieństw, że jeden lub dru-  
 gi wypadek zdarzy się:

$$\frac{a}{a+b} \cdot \frac{a-1}{a+b-1} + \frac{b}{a+b} \cdot \frac{a}{a+b}.$$

Prawdopodobieństwo wygrania na loterii: dla jednej liczby wynosi  $\frac{1}{90}$  (bo 90 liczb jest wszystkich razem), dla ambas  $\frac{1}{90} \cdot \frac{1}{90} = \frac{1}{8100}$ . -

## Teoria błędów przypadkowych

Teoria błędów przypadkowych zajmuje się błędami nieprzewidzianymi, których przy obserwacji nikt uniknąć niepotrafi, dąży zaś ta teoria do tego, aby z pewnej ilości spostrzeżeń obliczyć jak najdokładniejszą wartość danej wielkości. Niech  $x$  oznacza wartość rzeczywistą spostrzeżanej wielkości. Przez „ $n$ ” obserwacji niezależnych od siebie dostajemy na  $x$  wartości:  $a_1, a_2, a_3, \dots, a_n$



$$a_1 - x = \Delta_1, \quad a_2 - x = \Delta_2, \quad \dots \quad a_n - x = \Delta_n$$

gdzie  $\Delta_s$  są błędami popełnionymi przy określaniu wielkości  $x$ .

Określamy funkcję, określającą prawdop.  
podobieristwo popełnienia błędu  $\Delta$  przez

$$\varphi(\Delta)$$

Do określenia tej funkcji „ $\varphi$ ” postępują  
nam następujące jej własności. -

I. Błędy jednakowej wielkości bezwzględ.  
nej a więc dodatnie i ujemne są równo-  
nie prawdopodobne, bo równie dobrze  
możemy przecenić jak niedocenić da-  
ną wielkość spostrzeżoną. Wobec funkcja  
 $\varphi$  ma tę samą wartość dla błędu dodat.  
nego jak i ujemnego:

$$\varphi(+\Delta) = \varphi(-\Delta) \text{ jest więc funkcją tra-} \\ \text{nzystą. -}$$

I. Przy obserwacji staramy się popełnić jak najmniejszy błąd, stąd wynika, że prawdopodobieństwo popełnienia błędu mniejszego jest większe, niż prawdopodobieństwo błędu większego:

Jeżeli  $\Delta_2 > \Delta_1$ , to  $\varphi(\Delta_2) < \varphi(\Delta_1)$  czyli Wartości funkcji  $\varphi(\Delta)$  ze wzrostem wartości argumentu maleje.

Stosując prawo dla prawdopodobieństwa zlozonego mamy na prawdopodobieństwo popełnienia błędów  $\Delta_1, \Delta_2, \dots, \Delta_n$  przez szeregu ( $n$ ) obserwacji wartości:

$$W = \varphi(\Delta_1) \cdot \varphi(\Delta_2) \cdot \dots \cdot \varphi(\Delta_n)$$

Najprawdopodobniejszą wartość wielkości spostrzeganej otrzymamy, jeżeli  $W$  będzie maksymalnie, co wynika z drugiej własności funkcji  $\varphi$ , która ma



największą wartość wtedy, gdy odchylenie ( $\Delta$ ) wartości otrzymanej przez nas od rzeczywistej jest najmniejsze.

Musi więc być:

$\frac{\partial W}{\partial x} = 0$  (warunek dla istnienia maximum lub minimum funkcji  $W$ )

Utwórzmy logarytmiczną pochodną:

$$\lg W = \lg \varphi(\Delta_1) + \lg \varphi(\Delta_2) + \dots + \lg \varphi(\Delta_n)$$

$$\frac{1}{W} \cdot \frac{\partial W}{\partial x} = \frac{1}{\varphi(\Delta_1)} \cdot \frac{\partial \varphi(\Delta_1)}{\partial x} + \frac{1}{\varphi(\Delta_2)} \cdot \frac{\partial \varphi(\Delta_2)}{\partial x} + \dots + \frac{1}{\varphi(\Delta_n)} \cdot \frac{\partial \varphi(\Delta_n)}{\partial x}$$

a że:  $\frac{\partial \varphi(\Delta_s)}{\partial x} = \frac{d\varphi(\Delta_s)}{d\Delta_s} \cdot \frac{\partial \Delta_s}{\partial x} = -\frac{d\varphi(\Delta_s)}{d\Delta_s}$ , bo

$$\frac{\partial \Delta_s}{\partial x} = \frac{\partial (a_s - x)}{\partial x} = -1$$

zatem:

$$\frac{1}{\varphi(\Delta_1)} \cdot \frac{d\varphi(\Delta_1)}{d\Delta_1} + \frac{1}{\varphi(\Delta_2)} \cdot \frac{d\varphi(\Delta_2)}{d\Delta_2} + \dots + \frac{1}{\varphi(\Delta_n)} \cdot \frac{d\varphi(\Delta_n)}{d\Delta_n} = 0$$

oznacza to:  $\frac{1}{\varphi(\Delta_s)} \cdot \frac{d\varphi(\Delta_s)}{d\Delta_s} = f(\Delta_s)$  mamy warunek:

$$\underline{f(\Delta_1) + f(\Delta_2) + \dots + f(\Delta_n) = 0}$$



Przyjmijmy, że robimy bardzo wiele ob-  
serwacji „n”. Najprawdopodobniejsza  
wartość rzeczywista  $x$  jest średnią a,  
rytmetyczną wszystkich obserwacji,  
bo błędy dodatnie i ujemne równej  
wielkości są równie prawdopodobne.  
Ta przybliżona wartość będzie tym praw-  
dopodobniejsza, im większą ilość obser-  
wacji wykonamy.

Mamy 
$$x = \frac{a_1 + a_2 + \dots + a_n}{n}$$

czyli: 
$$nx = a_1 + a_2 + \dots + a_n$$

Dodając zaś równanie (1) i uwzględniając  
średnie

$$a_1 + a_2 + \dots + a_n - nx = \Delta_1 + \Delta_2 + \dots + \Delta_n$$

otrzymamy zważek:

$$(B) \quad \underline{\Delta_1 + \Delta_2 + \dots + \Delta_n = 0} \quad \text{czyli}$$

$$\Delta_n = -\Delta_1 - \Delta_2 - \dots - \Delta_i - \dots - \Delta_{n-1}$$



Podstawmy to  $\Delta_n$  w (a), mamy:

$$f(\Delta_1) + f(\Delta_2) + \dots + f(\Delta_1 - \Delta_2 - \dots - \Delta_{n-1}) = 0$$

Wzimy pochodną według  $\Delta_i$ , które naj-  
duże się między  $\Delta_i$  a  $\Delta_{n-1}$

$$\text{to: } \frac{df(\Delta_i)}{d\Delta_i} + \frac{df(\Delta_n)}{d\Delta_n} \cdot \frac{\partial \Delta_n}{\partial \Delta_i} = 0$$

otrzymujemy tylko dwa wyrazy, bo  $\Delta_i$   
pochodzi w wyrazie zawierającym  
argument  $\Delta_i$  i w  $f(\Delta_n)$ , które wyraziliśmy  
przez wszystkie poprzednie  $\Delta$  a więc także  
przez  $\Delta_i$

$$\frac{\partial \Delta_n}{\partial \Delta_i} = \frac{\partial (-\Delta_1 - \Delta_2 - \dots - \Delta_i - \dots - \Delta_{n-1})}{\partial \Delta_i} = -1$$

$$\text{więc: } \frac{df(\Delta_i)}{d\Delta_i} - \frac{df(\Delta_n)}{d\Delta_n} = 0$$

$$\frac{df(\Delta_i)}{d\Delta_i} = \frac{df(\Delta_n)}{d\Delta_n}$$

$$f'(\Delta_i) = f'(\Delta_n)$$

Nadając znakowi „i” wartości: 1, 2, 3... n-1

mamy:  $f'(\Delta_1) = f'(\Delta_2) = f'(\Delta_3) = \dots = f'(\Delta_{n-1}) = f'(\Delta_n)$

Więc pochodne funkcji  $f(\Delta_s)$ brane według  $\Delta_s$  ( $s: 1, 2, 3, 4, \dots, n$ ) są wszystkie sobie równe, t.j. niezależna od  $\Delta$ .

czyli:  $f'(\Delta_1) = \dots = f'(\Delta_n) = \text{Const.}$

$$\frac{df(\Delta_s)}{d\Delta_s} = C$$

$$f(\Delta_s) = C\Delta_s + b$$

$$f(\Delta_1) = C\Delta_1 + b, f(\Delta_2) = C\Delta_2 + b, \dots, f(\Delta_n) = C\Delta_n + b$$

Według (α) będzie:

$$C(\underbrace{\Delta_1 + \Delta_2 + \dots + \Delta_n}_{=0}) + nb = 0$$

więc ponieważ  $n \neq 0$ ,

musi być  $b = 0$ ; czyli:

$$f = c\Delta$$

$$f = \frac{1}{\varphi} \cdot \frac{d\varphi}{d\Delta} = c\Delta \quad \text{po scałkowaniu}$$

$$\lg \varphi = \frac{c\Delta^2}{2} + a; \quad \varphi(\Delta) = e^{\frac{c\Delta^2}{2}} \cdot e^a = Ae^{\frac{c\Delta^2}{2}}$$

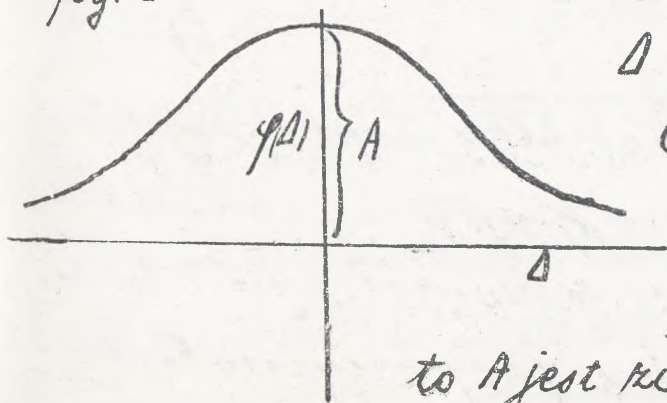


Położymy  $-\frac{c}{2} = h$ , to:

$$\varphi(\Delta) = A e^{-h \Delta^2}$$

Twierdzimy, że  $h$  będzie dodatnie, bo gdyby było ujemne, to prawdopodobieństwo błędu byłoby tem większe im większy błąd a tak nie jest.

Krzywa przedstawiająca funkcję  $\varphi(\Delta)$  musi być symetrycznie rozłożona po obu stronach osi, bo wartość  $\varphi$  jest jednakość dla  $\pm \Delta$ . Krzywą tę, zwaną krzywą Laplace'a, przedstawia (fig 8), gdzie



za odcięte przyjęto  $\Delta$ , zaś za średnie  $\varphi(\Delta)$ .

Chodzi jeszcze o wyszukanie sta.

tej  $A$ . Dla  $\Delta=0$ ,  $\varphi(\Delta)=A$ ,

to  $A$  jest kwadratowo z wielkością

"h", natomiast:

Suma wszystkich przypadków sprzyjających musi się równać sumie możliwych przypadków, innymi słowami: suma prawdopodobieństw popełnienia wszelkich możliwych błędów, wice  $-\infty \dots + \infty$ , musi być jednością:

$$\int_{-\infty}^{+\infty} \varphi(\Delta) d\Delta = 1$$

$$A \int_{-\infty}^{+\infty} e^{-h\Delta^2} d\Delta = \frac{A}{\sqrt{h}} \int_{-\infty}^{+\infty} e^{-h\Delta^2} d(\sqrt{h}\Delta) = 1$$

$$\frac{A}{\sqrt{h}} \int_{-\infty}^{+\infty} e^{-x^2} dx = 1$$

u wie:

$$\int_{-\infty}^{+\infty} e^{-x^2} dx = \sqrt{\pi} \quad (\text{całka Laplace'a})$$

$$\text{u wie } \frac{A}{\sqrt{h}} \cdot \sqrt{\pi} = 1, \quad A = \sqrt{\frac{h}{\pi}}$$

$$\varphi(\Delta) = \sqrt{\frac{h}{\pi}} \cdot e^{-h\Delta^2}$$

---



Im większe  $h$  " tem szybciej przy wzrastających  $\Delta$  maleje  $\varphi(\Delta)$ , czyli tem szybciej spada krzywa. Rzędne przedstawiają prawdopodobieństwa popełnienia błędów, albo też pomiarów przy których dane błędy popełniamy, bo prawdopodobieństwo popełnienia błędów jest proporcjonalne do ilości pomiarów. Im większe pomiaru  $h$  tem więcej pomiarów są nagromadzone przy  $\Delta=0$ , więc tem dokładniejsze są nasze obserwacje. Dlatego jest  $h$  miarą dokładności (Mass der Präzision).

Jeżeli robimy nieskończenie wiele pomiarów, wówczas  $\varphi(\Delta)$  będzie funkcją ciągłą.

Prawdopodobieństwo popełnienia błędów między  $\Delta$  a  $\Delta+d\Delta$  będzie:

$$\varphi(\Delta) d\Delta = \sqrt{\frac{k}{\pi}} e^{-k\Delta^2} d\Delta.$$

Określimy jeszcze, że jeżeli z danej liczby obserwacji wybierzemy przypadkową wartość tak, aby suma kwadratów błędów proporcjonalnych była minimalną to ta wartość przeciętna jest średnią arytmetyczną.

Weźmy pod uwagę:

$$\begin{aligned} Q &= \Delta_1^2 + \Delta_2^2 + \dots + \Delta_n^2 = \\ &= (a_1 - x)^2 + (a_2 - x)^2 + \dots + (a_n - x)^2 \end{aligned}$$

to Q zależy od x

$$\frac{\partial Q}{\partial x} = -2[(a_1 - x) + (a_2 - x) + \dots + (a_n - x)] = 0$$

$$(a_1 - x) + (a_2 - x) + \dots + (a_n - x) = 0$$

Warunek ten jest identyczny z równaniem

$$(B), \text{ bo } a_s - x = \Delta_s$$

$$\text{więc: } \Delta_1 + \Delta_2 + \dots + \Delta_n = 0$$

Jako najprawdopodobniejszą wartość możemy więc przyjąć średnią arytmetyczną.



wszystkich obserwacji, albo też wartości taka, która daje najmniejszą sumę kwadratów błędów.

## Rozkład prędkości drobin w gazie.

Na podstawie powyższej teorii obliczył Maxwell w rozprawie z r 1860 prawo o rozkładzie prędkości drobin w gazie, będącym w spoczynku i posiadającym równomierny rozkład temperatury (czyli w gazie poruszającym w równowadze termodynamicznej).

Niech  $\xi, \eta, \zeta$ , będą prędkości składowe. Jeżeli w danym gazie jest bardzo wiele drobin, to będą one miały wszystkie możliwe prędkości. Prawdopodobieństwo, że dana drobina posiada prędkości między

$\xi$  a  $\xi + d\xi$  oznaczymy:  $f(\xi) d\xi$ , analogicznie  
dla  $\eta$  i  $z$ ;  $f(\eta) d\eta$  i  $f(z) dz$ .

Maxwell stosuje następnie prawo dla praw-  
dopodobieństwa zjawisk niezależnych od  
siebie, zakładając, że prędkości składowe  
 $\xi, \eta, z$  niezależną od siebie i że prawo-  
podobieństwo ruchu w kierunku osi  $x$   
niezależny od prawdopodobieństwa ruchu  
w kierunku  $y$  i  $z$ .

W rozumowaniu tym tkwi błąd. Jeżeli  
bowiem drobina posiada np. wielką pręd-  
kość w kierunku  $x$ , to będzie miała ma-  
łą w kierunku  $y$ . Ten zarzut uczynił  
Maxwell za słuszny i w r. 1866 ogłosił  
drugą rozprawę o zupełnie odmiennym  
ale i trudniejszym wywodzie.

Przeprowadźmy rozumowanie na



podstawie pierwszego założenia, że  $\xi, \eta, \zeta$  są niezależne od siebie.

Stosując prawo (II) dla zjawiska złożonego, otrzymamy prawdopodobieństwo, aby drobina posiadała równocześnie prędkości położone między  $\xi$  a  $\xi + d\xi$ ,  $\eta \dots \eta + d\eta$ ,  $\zeta \dots \zeta + d\zeta$ .

$$f(\xi, \eta, \zeta \dots \xi + d\xi, \eta + d\eta, \zeta + d\zeta) = \\ = f(\xi) f(\eta) f(\zeta) d\xi \cdot d\eta \cdot d\zeta$$

Funkcja  $f(\xi) f(\eta) f(\zeta)$  przedstawia prawdopodobieństwo, że drobina ma prędkości składowe  $\xi, \eta, \zeta$  a zaxarem prawdopodobieństwo, że prędkość wypadkowa będzie:

$$= \xi^2 + \eta^2 + \zeta^2$$

$$\text{więc: } F(\xi^2 + \eta^2 + \zeta^2) = f(\xi) f(\eta) f(\zeta)$$

Otrzymaliśmy więc równanie, z którego wyprowadzimy prawo rozkładu

prędkości

$$\lg f(\xi) + \lg f(\eta) + \lg f(\zeta) = \lg F(\xi^2 + \eta^2 + \zeta^2)$$

różniczkujemy:

$$\frac{f'(\xi)}{f(\xi)} d\xi + \frac{f'(\eta)}{f(\eta)} d\eta + \frac{f'(\zeta)}{f(\zeta)} d\zeta =$$

$$= \frac{F'(\xi^2 + \eta^2 + \zeta^2)}{F(\xi^2 + \eta^2 + \zeta^2)} \cdot (2\xi d\xi + 2\eta d\eta + 2\zeta d\zeta)$$

a że:  $\xi^2 + \eta^2 + \zeta^2 = c^2$  (prędkość wypadkowa)

więc:  $2\xi d\xi + 2\eta d\eta + 2\zeta d\zeta = 0$  zatem pra.

wąstrona = 0 i zostaje:

$$\frac{f'(\xi)}{f(\xi)} d\xi + \frac{f'(\eta)}{f(\eta)} d\eta + \frac{f'(\zeta)}{f(\zeta)} d\zeta = 0 \quad (a)$$

$$\text{i } \underline{\xi d\xi + \eta d\eta + \zeta d\zeta = 0} \quad (b)$$

Oba równania (a), (b) spełniają się równo.

coś nie, (zaś  $\xi, \eta, \zeta$  niezależna od siebie)

więc odpowiednie współczynniki mu,  
są być do siebie proporcjonalne:



$$\frac{f'(\xi)}{f(\xi)} = k\xi \quad (\text{współczynniki przy } d\xi \text{ w obu równaniach})$$

$$\text{to } \frac{f'(\xi)}{f(\xi)} \text{ i } \xi$$

$$\frac{f'(\eta)}{f(\eta)} = k\eta$$

$$\frac{f'(\xi)}{f(\xi)} = k\xi$$

$$\lg f(\xi) = \frac{k\xi^2}{2} + b; \quad f(\xi) = e^b \cdot e^{\frac{k\xi^2}{2}} = A \cdot e^{\frac{k\xi^2}{2}}$$

$$\text{położmy } \frac{k}{2} = -\frac{1}{\alpha^2}$$

$$f(\xi) = A e^{-\frac{\xi^2}{\alpha^2}}$$

Prawdopodobieństwo, że drobina posiada

prędkości między  $\xi$  a  $\xi + d\xi$  jest:

$$f(\xi) d\xi = A e^{-\frac{\xi^2}{\alpha^2}} d\xi$$

Stałą  $A$  wyznaczymy jak poprzednio z teorii

błędów:

$$A \int_{-\infty}^{+\infty} e^{-\frac{\xi^2}{\alpha^2}} d\xi = 1$$

$$A\alpha \int_{-\infty}^{+\infty} e^{-\frac{\xi^2}{\alpha^2}} d\left(\frac{\xi}{\alpha}\right) = 1; \quad \frac{\xi}{\alpha} = x$$

$$A\alpha \int_{-\infty}^{+\infty} e^{-x^2} dx = 1, \quad A\alpha\sqrt{\pi} = 1$$

$$A = \frac{1}{\alpha\sqrt{\pi}}$$

$$f(\xi) d\xi = \frac{1}{\alpha\sqrt{\pi}} e^{-\frac{\xi^2}{\alpha^2}} d\xi$$

analogicznie:

$$f(\eta) d\eta = \frac{1}{\alpha\sqrt{\pi}} e^{-\frac{\eta^2}{\alpha^2}} d\eta \quad (A)$$

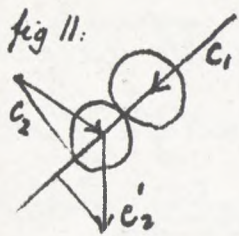
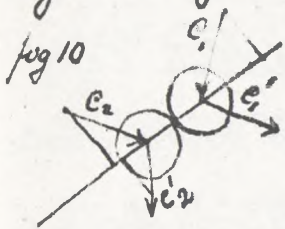
$$\underline{f(\zeta) d\zeta = \frac{1}{\alpha\sqrt{\pi}} e^{-\frac{\zeta^2}{\alpha^2}} d\zeta}$$

Równania te przedstawiają według Maxwella prawo rozkładu prędkości drobiny. Stała  $\alpha$  ma tu znaczenie podobne jak  $h$  w rozdziale błędów.

Znaczenie prawa Maxwella rozumiemy na podstawie analogii z teorią błędów. Na wytworzenie prędkości pewnej wpływają zderzenia danej drobiny z innymi drobinami. Więc spotkania drobiny modyfikują ich prędkości (przyczyną pomijamy siły międzydrobinowe jako bardzo małe).



Efekt zderzenia zależy od tego, jak w chwili zderzenia drobiny są zorientowane, prócz tego oczywiście od wielkości i kierunku prędkości obu stykających się drobin.

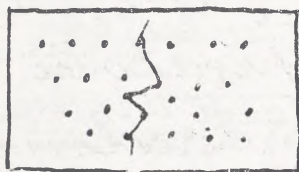


Przy zderzeniu wskutek różnych orientacji względnych drobin powstają różne prędkości  $c_1'$ ,  $c_2'$  (fig 10 i 11.), przy zderzeniu bowiem zmie-

niają się tylko składowe w kierunku łącznicy, zaś prostopadłe do łącznicy zostają te same. Orientacja drobin jest czynnikiem przypadkowym, mo-  
żemy więc tu stosować (jak to powyżej zrobiliśmy) prawo błędów przypadkowych. Podobne zjawisko, zależne od zderzeń

przypadkowych obserwujemy na powyższ.  
 dzie O. & Meyera (fig 12). Na deszczulce  
 ustawionej skośnie znajduje się pewna ilość  
 gwoździ wbitych. Sypiemy wradłwi tej

fig: 12



deszczulki s'rut, to kulki s'rutu  
 wpadają między gwoździe i  
 odbijają się od nich zależnie

od kąta, pod jakim na nie wpadają, (więc  
 od orientacji). Po przejściu przez warstwę  
 gwoździ ułoży się s'rut według krzywej  
 prawdopodobieństwa (fig: 13)



fig 13.

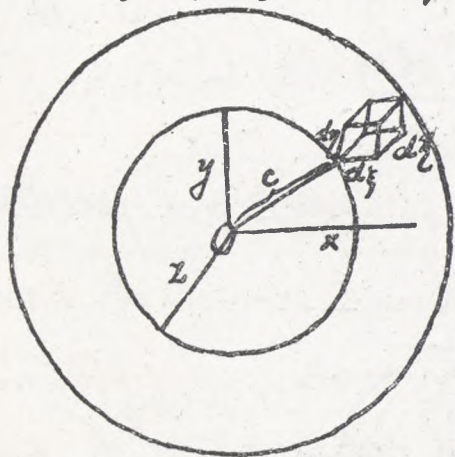
Z połączenia trzech równań Max.  
 wella otrzymujemy prawdopodobieństwo  
 dla wszystkich trzech składowych pred.  
 kości  $\xi, \eta, \zeta$  równocześnie:



$$f(\xi) \cdot f(\eta) \cdot f(\zeta) \cdot d\xi \cdot d\eta \cdot d\zeta = \frac{1}{\alpha^3 \sqrt{\pi^3}} e^{-\frac{\xi^2 + \eta^2 + \zeta^2}{\alpha^2}} d\xi \cdot d\eta \cdot d\zeta =$$

$$= \frac{1}{\alpha^3 \sqrt{\pi^3}} e^{-\frac{c^2}{\alpha^2}} d\xi d\eta d\zeta \quad (B)$$

Jest to prawdopodobierstwo, że drabina będzie miała prędkości między  $\xi$  a  $\xi + d\xi$ ,  $\eta \dots \eta + d\eta$ ,  $\zeta \dots \zeta + d\zeta$ , czyli prędkości w kostce elementarnej, wykreślonej z końca odcinka, przedstawiającego bezwzględną wartość wypadkowej prędkości  $c = \sqrt{\xi^2 + \eta^2 + \zeta^2}$  (fig 14).

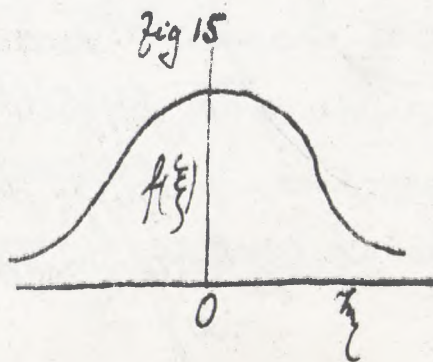
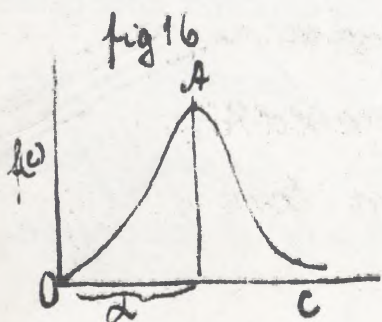


Chcemy teraz znaleźć prawdopodobierstwo, aby bezwzględna wartość prędkości leżała w granicach  $c \dots c + dc$ . Jeżeli z punktu O wykreślimy kulę o promieniu

$nu = c$ , następnie zaś przedwzrosty promie-  
nie jej o  $dc$ , otrzymamy warstwę kulistą.  
Prawdopodobieństwo, że prędkość wypadkowa  
drobiny leżeć będzie między  $c \dots c+dc$ , czyli  
będzie określona przez punkty w warstwie  
kulistej, otrzymamy, jeżeli zsumujemy  
wyrażenia (B) nad całą kulą:

$$\begin{aligned}
 f(c)dc &= \frac{1}{\alpha^3 \sqrt{\pi^3}} e^{-\frac{c^2}{\alpha^2}} d\xi d\eta d\zeta = \\
 &= \frac{1}{\alpha^3 \sqrt{\pi^3}} e^{-\frac{c^2}{\alpha^2}} 4c^2 \pi dc = \\
 &= \frac{4c^2}{\alpha^3 \sqrt{\pi}} e^{-\frac{c^2}{\alpha^2}} dc \quad (C)
 \end{aligned}$$

Krzywa przedstawiająca rozkład prędkości





bezwzględnej (fig 16) będzie oczywiście różna od  
 krzywej Laplace'a (fig 15) dla każdej składowej  
 osobno. Tu bowiem bierzemy tylko do-  
 datnie wartości  $c$ , więc porównamy od-  
 c-0. Krzywa dla prędkości  $c$  różni  
 się kształtem od krzywej Laplace'a a to  
 z powodu czynnika  $c^2$ . Gdyby tego  $c^2$   
 w równaniu (C) nie było otrzymali-  
 byśmy część krzywej Laplace'a od 0 do  $+\infty$   
 (fig 15) z powodu czynnika  $c^2$  wszystkie  
 części  $f(c)$  przynależne do  $c < 1$  zosta-  
 ją pomniejszone (otrzymujemy więc część  
 krzywej od 0 do  $A$  fig 16), zaś  $f(c)$  nale-  
 żące do  $c > 1$  zostają powiększone.  
 Oczywiście  $\int f(c) dc = 1$ , bo mamy pew-  
 ność, że bezwzględna wartość prędkości  
 znajduje się między  $0 \dots + \infty$ .

$$\int_0^{\infty} f(c) dc = \frac{4}{\alpha^3 \sqrt{\pi}} \int_0^{\infty} c^2 e^{-\frac{c^2}{\alpha^2}} dc = \frac{4}{\alpha^3 \sqrt{\pi}} \int_0^{\infty} \alpha^2 x^2 e^{-x^2} dx$$

położymy:  $\frac{c}{\alpha} = x \quad c = \alpha x \quad dc = \alpha dx$

$$\int_0^{\infty} x^2 e^{-x^2} dx = \int_0^{\infty} x \cdot x e^{-x^2} dx = -\frac{x e^{-x^2}}{2} \Big|_0^{\infty} + \int_0^{\infty} \frac{e^{-x^2}}{2} dx =$$

$$= 0 + \frac{1}{2} \frac{\sqrt{\pi}}{2}$$

$$\int_0^{\infty} f(c) dc = \frac{4}{\sqrt{\pi}} \int_0^{\infty} x^2 e^{-x^2} dx = \frac{4}{\sqrt{\pi}} \cdot \frac{\sqrt{\pi}}{4} = 1$$

### Wartość najprawdopodobniejsza prędkości

Przy prędkościach, przypadających w kierunku osi  $x$ , była najprawdopodobniejsza prędkość  $\xi = 0$ , inne zaś prędkości od  $0 \dots \pm \infty$  były symetrycznie rozłożone względem  $\xi = 0$ . Przy prędkościach bezwzględnych rzecz ma się inaczej. Najprawdopodobniejsza prędkość  $c$  będzie ta, dla której  $f(c)$  jest maksymalne,



ta zaś przypada w punkcie  $A$  według fig. 16. W punkcie  $0$  i  $\infty$  mamy minimum krzywej  $f(c)$ , więc prędkości  $c = 0$  i  $c = \infty$  będą najmniej prawdopodobne. W punkcie  $A$  fig. 16. mamy:

$$\frac{\partial f}{\partial c} = 0 \quad ; \quad \frac{\partial f}{\partial (c^2)} = \frac{4\pi}{\alpha^3 \sqrt{\pi^3}} e^{-\frac{c^2}{\alpha^2}} - \frac{c^2}{\alpha^2} e^{-\frac{c^2}{\alpha^2}} \cdot \frac{4\pi}{\alpha^3 \sqrt{\pi^3}} = 0$$

$$e^{-\frac{c^2}{\alpha^2}} \left( 1 - \frac{c^2}{\alpha^2} \right) = 0$$

ponieważ  $e^{-\frac{c^2}{\alpha^2}} \neq 0$  więc:  $\frac{c^2}{\alpha^2} = 1$

$$\underline{c = \alpha}$$

Wise  $c = \alpha$  jest najprawdopodobniejszą wartością prędkości bezwzględnej, ale  $\alpha$  nie znamy. Tę wartość  $\alpha$  znajdziemy przy pomocy przeciętnej prędkości  $\bar{c}$ . Graficznie przedstawia nam wykład prędkości  $c$  fig. 16. Prędkie przedstawiają prawdopodobieństwa odpowiedniej

prędkości, a także ilość drobin, posiadają-  
 cych tę prędkość. Wzrost  $f(c)dc$  przedstawia  
 ilość drobin mających prędkość między  
 $c \dots c+dc$ . Jeżeli zsumujemy ilości dro-  
 bin, pomnożone przez odpowiednie im  
 prędkości więc  $f(c) \cdot c \cdot dc$ , i sumę tę podzie-  
 limy przez całkowitą ilość drobin  
 $\int f(c)dc$ , otrzymamy prędkość przeciętną  
 $\bar{c}$ . Preto:

$$\bar{c} = \frac{\int_0^{\infty} c f(c) dc}{\int_0^{\infty} f(c) dc} \quad \text{a więc} \quad \int_0^{\infty} f(c) dc = 1$$

Aby obliczyć  $\int_0^{\infty} c f(c) dc = \frac{4}{\alpha^3 \sqrt{\pi}} \int_0^{\infty} c^3 e^{-\frac{c^2}{\alpha^2}} dc$

weźmy:

$$\int_0^{\infty} x e^{-\beta^2 x^2} dx = \frac{e^{-\beta^2 x^2}}{2\beta^2} \Big|_0^{\infty} = \frac{1}{2\beta^2}$$

bierzemy po obu stronach pochodne względem  $\beta$ :

$$-2\beta \int_0^{\infty} x^3 e^{-\beta^2 x^2} dx = -\frac{1}{\beta^3}$$



czyli  $\int_0^{\infty} x^3 e^{-\beta^2 x^2} dx = \frac{1}{2\beta^4}$

Według tego wzoru otrzymamy:

$$\frac{4}{\alpha^3 \sqrt{\pi}} \int_0^{\infty} c^3 e^{-\frac{c^2}{\alpha^2}} dc = \frac{4}{\alpha^3 \sqrt{\pi}} \cdot \frac{1}{2\beta^4} = \frac{2\alpha}{\sqrt{\pi}}$$

$\bar{c} = \frac{2\alpha}{\sqrt{\pi}}$  Jest to wartość bezwzględ.

nej prędkości  $\bar{c}$  jest więc nieco większa, niż  $\alpha$ , t.j. ta prędkość dla której krzywa ma maximum.

Analogicznie otrzymamy:

$$\begin{aligned} \bar{c}^2 &= \frac{\int_0^{\infty} c^2 f(c) dc}{\int_0^{\infty} f(c) dc} = \int_0^{\infty} c^2 f(c) dc = \\ &= \frac{4}{\alpha^3 \sqrt{\pi}} \int_0^{\infty} c^4 e^{-\frac{c^2}{\alpha^2}} dc \end{aligned}$$

wzimy do pomocy:  $\int_0^{\infty} e^{-\beta^2 x^2} dx = \frac{\sqrt{\pi}}{2\beta}$  biorąc

drugą pochodną według  $\beta$  mamy:

$$-2\beta \int_0^{\infty} x^2 e^{-\beta^2 x^2} dx = -\frac{\sqrt{\pi}}{2\beta^3}$$

$$\int_0^{\infty} x^2 e^{-\beta^2 x^2} dx = \frac{\sqrt{\pi}}{4\beta^3}$$

$$- 2\beta \int_0^{\infty} x^4 e^{-\beta^2 x^2} dx = -\frac{3\sqrt{\pi}}{4\beta^4}$$

$$\int_0^{\infty} x^4 e^{-\beta^2 x^2} dx = \frac{3\sqrt{\pi}}{8\beta^5}$$

$$\text{niez } \bar{c}^2 = \frac{4}{\alpha^3 \sqrt{\pi}} \int_0^{\infty} c^4 e^{-\frac{c^2}{\alpha^2}} dc = \frac{4}{\alpha^3 \sqrt{\pi}} \cdot \frac{3\sqrt{\pi}}{8} \cdot \alpha^5$$

$$\bar{c}^2 = \frac{3}{2} \alpha^2$$

Wzrosting prawa Boyle'-Charles'a:

$$p = \frac{n m \bar{c}^2}{3}$$

$$3p = n m \bar{c}^2 = \rho \bar{c}^2$$

$$\bar{c}^2 = \frac{3}{2} \alpha^2 = \frac{3p}{\rho}$$

$$\alpha^2 = \frac{2p}{\rho} \quad \text{a je } \frac{p}{\rho} = RT$$

$$\alpha^2 = 2RT; \quad \alpha = \sqrt{2RT}$$

$$\text{Dla powietrza } \alpha = \sqrt{\frac{2 \cdot 10^6}{0.0013}} = \sqrt{\frac{2 \cdot 10^9}{1.3}} = \text{około } 470 \text{ m/sek.}$$

$$\alpha \sqrt{1.5} = \sqrt{\bar{c}^2} = 485 \text{ m/sek.}$$

Używaj się, zwykłe  $\sqrt{\bar{c}^2}$  zamiast  $\bar{c}$ , bo



$\sqrt{e^2}$  wytrzyma wprost z prawa Boyle'-Char.  
lesa, więc łatwo je obliczyć. -

Analogicznie jak powyżej procent  
drobin posiadających prędkości  
mniejsze, niż  $\alpha$ , przedstawia nam:

$$\int_0^{\infty} f(c) dc$$

Jeżeli mamy obliczyć:

$\int_0^x e^{-x^2} dx$ , to dla  $x$  małych rozwijamy  
na szereg:

$$\begin{aligned} \int_0^x e^{-x^2} dx &= \int_0^x dx \left( 1 - \frac{x^2}{1!} + \frac{x^4}{2!} - \dots \right) = \\ &= \frac{x}{1!} - \frac{x^3}{1! \cdot 3} + \frac{x^5}{2! \cdot 4} - \frac{x^7}{3! \cdot 6} \dots \end{aligned}$$

dla dużych zaś  $x$ :

$$\begin{aligned} \int_0^x e^{-x^2} dx &= \int_0^{\infty} e^{-x^2} dx - \int_x^{\infty} e^{-x^2} dx = \frac{\sqrt{\pi}}{2} - \int_x^{\infty} e^{-x^2} dx = \\ &= \frac{\sqrt{\pi}}{2} - \int_x^{\infty} \frac{2x e^{-x^2} dx}{2x} = \frac{\sqrt{\pi}}{2} - \left[ -\frac{e^{-x^2}}{2x} + \int \frac{e^{-x^2}}{2x^2} dx \right]_x^{\infty} = \end{aligned}$$

$$= \frac{\sqrt{\pi}}{2} + \frac{e^{-x^2}}{2x} \Big|_x^{\infty} - \int_x^{\infty} \frac{e^{-x^2}}{2x^2} dx = \frac{\sqrt{\pi}}{2} - \frac{e^{-x^2}}{2x} - \int_x^{\infty} \frac{e^{-x^2}}{2x^2} dx$$

il.d. rozwijając otrzymany wyraz:

$$\int_0^x e^{-x^2} dx = \frac{\sqrt{\pi}}{2} - \frac{e^{-x^2}}{2x} \left[ 1 - \frac{1}{2x^2} + \frac{1 \cdot 3}{(2x^2)^2} - \frac{1 \cdot 3 \cdot 5}{(2x^2)^3} \dots \right]$$

Chausius obliczył na tej podstawie tablicę dla tlenu.

Dla tlenu  $\alpha = 376.6$  m/sec  $[\rho = 0.0014291]$

$$\sqrt{c^2} = 461.2 \text{ m/sec.}$$

Zwedług rachunku Chausiusa posiada ilość drobin w procentach prędkości:

od 0 — 100 m/sec . . . . . 1.3%

100 — 200 " . . . . . 8.2%

200 — 300 " . . . . . 16.7%

300 — 400 " . . . . . 21.5%

400 — 500 " . . . . . 20.3%

500 — 600 " . . . . . 15.2%



od 600 - 700 m/sec ..... 9.1 %  
 700 i dalej ..... 4.7 %.

Otrzymaliśmy poprowadzić na  $\alpha$   
 wartości:  $\alpha^2 = \frac{2p}{\xi} = 2RT$ , możemy więc na-  
 pisać:

$$f(\xi) d\xi = \frac{1}{\sqrt{2RT} \sqrt{\pi}} e^{-\frac{\xi^2}{2RT}} d\xi =$$

$$= \frac{1}{\sqrt{2RT} \sqrt{\pi}} e^{-\frac{m\xi^2}{2mRT}} d\xi$$

Gdyż  $mR$  jest stały. W termodynamice  
 ce wielkości  $\mu R = H$ , gdzie  $H$  jest wielko-  
 ścią stałą, zaś  $\mu \sim m$ , bo  $\mu$  jest ciężar  
 drobinowy,  $m$  zaś jest masą drobiną, więc  
 $mR = \varepsilon \mu R = \text{const} = \varepsilon H$ .

$$f(\xi) d\xi = \frac{1}{\sqrt{2RT} \sqrt{\pi}} e^{-\frac{\xi^2}{\varepsilon HT}} d\xi \quad (2)$$

tu  $L = \frac{m\xi^2}{2}$  (energia kinetyczna).

Widzimy więc, że wchodzi tu w rachubę

tyko energia kinetyczna, zaś indywidualna, właściwość drobnego gazu jest obojętna.

Prawa rozkładu prędkości (D) jest przede wszystkim ogólnym, wspólnym dla wszystkich gazów. Jest ono specjalnym przypadkiem ogólniejszego prawa dla systemu mechanicznego jakiegokolwiek, którego z różnymi częściami.

Wzimy teraz pod uwagę równania określające proporcjonalności energii kinetycznej ruchu postępowego do temperatury:

$$\frac{m \bar{c}^2}{2} = K T, \text{ ponieważ } \bar{c}^2 = \frac{3\alpha^2}{2},$$

$$\text{więc: } \frac{3\alpha^2}{2} = \frac{2KT}{m}$$

$$\alpha = \sqrt{\frac{4KT}{3m}}$$



Wise najprawdopodobniej na prakosć jest proporcjonalna do  $\sqrt{T}$  a odwrotnie do pierwiastka z masy drobin.

## Energia gazu i ciepło właściwe

Wziemy pod uwagę 1 gr. gazu o objętości  $v$  i właściwej  $v$  w  $\text{cm}^3$ . Jeżeli na  $1 \text{ cm}^3$  przyjdzie  $n$  drobin, to 1 gr. gazu ma ich  $n \cdot v$ . Energia poruszająca każdej drobinie wynosi  $\frac{m \bar{c}^2}{2} = \frac{3mRT}{2}$ , więc energia ruchu postępowego zawarta w 1 gr. gazu jest:

$$\underline{E = n v \frac{m \bar{c}^2}{2} = \frac{3}{2} n m v T R.}$$

Podwyższenie energii jednego grama gazu przy podwyższeniu temperatury o  $1^\circ$  będzie ciepłem właściwym:

$$\frac{\partial E}{\partial T} = \frac{3}{2} n m v R = c_v \text{ (ciepło właściwe przy stałej objętości).}$$

$$c_v = \frac{3}{2} \rho v R \quad \rho v = 1, \text{ bo } \rho = \frac{1}{v}$$

$$\underline{c_v = \frac{3}{2} R}$$

To jest ważne pod warunkiem, że cała energia drobin jest reprezentowana przez ruch postępowy. Przy rozszerzaniu się gazu zostaje wykonana praca rozciągania, więc ciepło właściwe przy stałej przężności będzie się różnić od  $c_v$ . Dodatkowo, który nam tę pracę przedstawi.

Według Meyera:  $c_p - c_v = AR$  (wzór z termodynamiki).

Równowaznik termodynamiczny

$A = \frac{1}{4.2 \cdot 10^7}$  możemy opuścić, bo wystanie wielkości mierzymy tu w jednostkach mechanicznych

$$\underline{c_p = c_v + R = \frac{5}{2} R}$$



$$\frac{c_p}{c_v} = \frac{\frac{5}{2} R}{\frac{3}{2} R} = \frac{5}{3} = 1.66 = k.$$

W czasie, kiedy wyprowadrono rezultat ten z teoryi kinetycznej, wykonali Clement, Desormes, Röntgen, Lummer, Pringsheim i inni doświadczenia w tym kierunku i znaleźli dla powietrza, tlenu ( $O_2$ ), azotu  $CO$ ,  $NO$  i t.d. wartości mniejsze (1.40 - 1.41), wartości zaś  $k = 1.66$  warczą jest tylko dla takich gazów, których cząsteczka składa się z jednego atomu np. para rtęci.

$$k = \frac{c_p}{c_v} = \frac{R + c_v}{c_v} = \frac{R}{c_v} + 1$$

Widocznie więc dla gazów wieloatomowych musi być  $c_v$  większe niż  $\frac{3}{2} R$ , stąd bowiem  $\frac{R}{c_v}$  jest mniejsze aniżeli 0.66, zaś  $k < 1.66$ .

Wzór  $c_v = \frac{3}{2} R$  wyprowadziłbyśmy pod

załóżenia, że energia gazu jest energią  
 ruchu postępowego. Wobec tego więc  
 prócz tej energii musi być jeszcze innego  
 rodzaju energia, mianowicie jak przyjął  
 Clausius, następnie zaś Boltzmann (1878),  
 energia ruchu wrotowego atomów wew.  
 natrz drobin, lub osylacji drobin wielo-  
 atomowych około swych środków ciężkości.  
 Obliczono, że całkowita energia 1gr gazu  
 wynosi:

$$E = (1 + \beta) \frac{3\nu n m R T}{2} \quad \beta = \text{stała}$$

$$\frac{\partial E}{\partial T} = C_v = (1 + \beta) \frac{3\nu n m R}{2}$$

$$C_p = (1 + \beta) \frac{3\nu n m R}{2} + R$$

Otrzymujemy więc na  $K$  wartość:

$$K = \frac{R + (1 + \beta) \frac{3\nu n m R}{2}}{(1 + \beta) \frac{3\nu n m R}{2}} = 1 + \frac{2}{3(1 + \beta)}$$



$$k = 1 + \frac{2}{3(U+B)} = 1 + \frac{2}{3v}$$

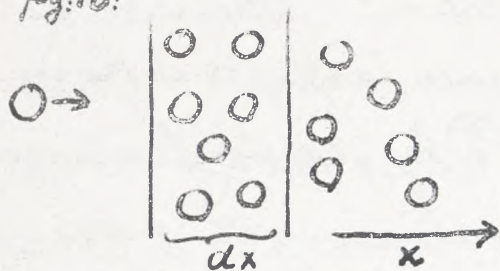
gdzie  $v$  jest czynnik, zależny od ilości atomów w drobnie. Dla jednowatomowych gazów  $v=1$ , Dla więcejatomowych  $v$  wzrasta, więc  $k$  maleje.

### Przebieg drogi swobodnej drobni.

Według Clausiusa drobiny gazu są naogromnaotrone w łonie gazu, wskutek czego kolderają się ze sobą tak, że przebywają bardzo małą drogę. Droga przebyta między dwoma bezpośrednio po sobie następującymi kolderciami nazywamy drogą swobodną drobiny.

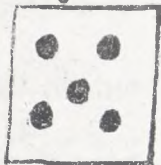
Wyobrazimy sobie na Clausiusiem w przestrzeni danej gaz płokiony z drobin, które przyjmujemy na parie jako bzdące w spoczynku (fig 18). Ku tym drobinom

fig. 18:



nieruchomym wyrzucamy inne z przed-  
kością  $c$ . Długości dróg zakreślonych przez  
te drobiny zależy od prędy ich względem  
drobin stałych. Po przejściu przez jakąś  
warstwę gazu pierwsza część drobin zostanie  
zatrzymana, inne będą się dalej poruszać  
w kierunku  $dx$  (fig 18). Reszta słówie  
tych ostatnich będzie  $T$ .

fig 19:



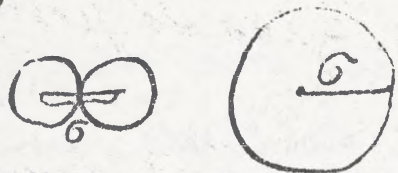
Wyobraźmy sobie taras (fig 19)  
prostopadły do kierunku  
 $x$ , a na niej projekcyę tych  
drobin  $T$ . Część drobin, wu-  
cająca cieni na tę uwarianą za zatrzy-



mana, te bowiem drobiny dochodzące do tarczy  
obrują tam powierzchnie, więc droga przez  
nie zakreślona sięga tylko do powierzchni  
tarczy.

Powierzchnia kąta przez drobiny upa-  
dające na tarczę będzie sumą tych  
ciemów. Kiedy taki cień jest po-  
wierzchnią końca wielkiego, powstaje  
bowiem przez kręcenie drobiny, która  
za Clausiusem przyjmujemy za kulę.  
Jeżeli promień drobiny wynosi  $\frac{r}{2}$ , to  
obie takie drobiny mogą się do siebie  
przybliżyć najwyżej na odległość  
 $r$ . Ten sam efekt zdarzenia otrzymamy,  
gdy wyobrażamy sobie drobiny  
nieruchome jako punkty materialne,  
zaś drobiny uderzające jako Rule

o promieniach dwa razy większych, więc  $\sigma$



Wtedy powierzchnia  
koła wielkiego, więc ślad drobinny na  
tarce wynosi:  $\pi \sigma^2$

Jeżeli na  $1 \text{ cm}^3$  gazu przypada  
 $n$  drobin, zaś przekrój tarce jest  $= 1 \text{ cm}^2$ ,  
to powierzchnia zajęta przez drobinny  
wpadające będzie:  $n \pi \sigma^2$ .

Ubytek drobin  $n$  warstwie  $dx$  jest  
proporcjonalny do ilości drobin prze-  
chodzących przez tę warstwę, do gru-  
bości tej warstwy i powierzchni, zajętej  
przez te wpadające drobinny:

$$dI = -I n \pi \sigma^2 dx$$

$$I = I_0 e^{-n \pi \sigma^2 x}, \quad I_0 = \text{ilość drobin}$$

wogóle wyrzucana przez nas.



$I$  oznacza ilość drobin przechodzących przez warstwę  $dx$ . Z tych drobin zostanie otrzymanych w owej warstwie ilość:

$dI = + n \pi G^2 I_0 e^{-n \pi G^2 x} dx$  i bierniejszy + bo chodzi o ilość drobin, więc bez względu na wielkość, ten procent drobin zakreśli drogę swobodną  $x$ .

Jeżeli ilość drobin zakreślających drogę  $x$  pomnożymy przez  $x$ , resumeremy dla wszystkich dróg i ten iloczyn podzielimy przez liczbę wszystkich drobin, otrzymamy przeciętną wartość drogi swobodnej:

$$\lambda = \frac{\int_0^{\infty} x dI}{\int dI} = \frac{n \pi G^2 I_0 \int_0^{\infty} x e^{-n \pi G^2 x} dx}{I_0}$$

$\int dI = I_0$  całkowita ilość drobin wyru.

conych prvek nas.

$$\text{Kladriemy } n\pi\sigma^2 x = y, \quad x = \frac{y}{n\pi\sigma^2}, \quad dx = \frac{dy}{n\pi\sigma^2}$$

$$x dx = \frac{y dy}{(n\pi\sigma^2)^2}, \quad \text{niec:}$$

$$\begin{aligned} \frac{n\pi\sigma^2}{(n\pi\sigma^2)^2} \int_0^{\infty} y e^{-y} dy &= \frac{1}{n\pi\sigma^2} \left[ \int_0^{\infty} y e^{-y} dy \right] = \\ &= \frac{1}{n\pi\sigma^2} \left[ -y e^{-y} \Big|_0^{\infty} + \int_0^{\infty} e^{-y} dy \right] = \frac{1}{n\pi\sigma^2} \left[ -e^{-y} \Big|_0^{\infty} \right] = \\ &= \frac{1}{n\pi\sigma^2} \end{aligned}$$

$$h = \frac{1}{n\pi\sigma^2}$$

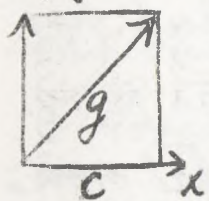
Powyzsze rozvaxanie musimy jed.  
nak popravit, pod tym uhlzdem, ze dro.  
biny, ktoremy prvyjeli za nieruchome  
sa v pravdyvosti ruchome. Gdyby  
vzrustkie drobiny, bsdace v narotni dx,  
poruskaty sie np. z gory na dol z prsd.  
koscia c, roveres mozemy je sobie



wyobrazić jako nieruchome, zaś drobni-  
 nom na nie wpadającym mrowim obok  
 ich własnej prędkości prędkości jezdce  
 prędkości  $c$  z dołu ku górze - skutek  
 bowiem przeszerzenia zależy od względnej  
 prędkości wrobin spotykających się.

Według tego przyjęcia charakterka wpa-  
 dająca posiadać będzie pewną wypad-

kową prędkość „ $g$ ” (fig 20). W tym  
 wypadku zmienia się ilość zatory.



mających drobiny o tyle, że muszą  
 one przebywać grubszą warstwę,  
 niż wtedy, kiedy poruszają się  
 w kierunku  $x$ . Jeżeli nachylenie kierun-  
 ku prędkości  $g$  do osi  $x$  wynosi  $\theta$ , to  
 grubość warstwy zmienia się w stosun-  
 ku  $\frac{1}{\cos \theta} = \frac{g}{c}$ .

Wzrę

$$dJ = -Jn\pi c^2 \frac{dx}{\cos\theta} = -\frac{Jn\pi c^2 g}{c}$$

Drobiny jednak poruszają się we wszystkich możliwych kierunkach, należy więc obliczyć przeciętną wartość prędkości względnych. Przyjmujemy, że wszystkie drobiny poruszają się z jednakową prędkością  $c$ .

fig 21

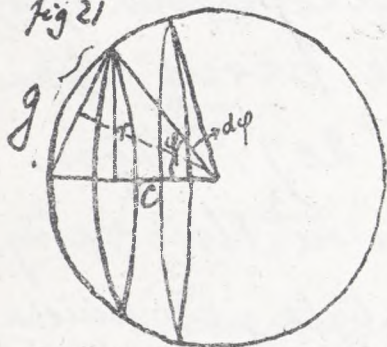
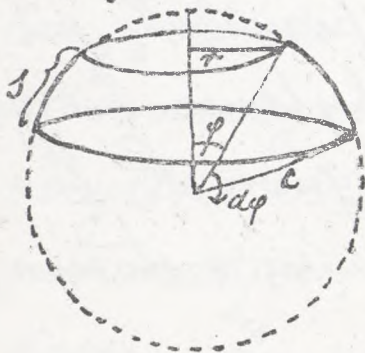


fig: 22



Wszystkie te drobinę o prędkości  $c$  możemy objąć kulą o promieniu  $c$  (fig 21.) Wytnijmy z tej kuli pas (fig 22), oto którego przy. ualeńcy łuk ma kat środkowy  $d\varphi$ . Stosie drobin, która przez powierzchnie tego pasa przechodzi, naz. uacemy przez  $Jp$ , zaś ilosci



ich w całej Kuli przez  $\Sigma_k$ .

$\Sigma_0 : \Sigma_p : \Sigma_k =$  powierzchnia prasa do powierzchni  
całej Kuli

$$\Sigma_p : \Sigma_k = 2\pi \cdot \underbrace{cd\varphi}_s : 4c^2\pi ; \mu = c \sin\varphi$$

$$\Sigma_p = \frac{\Sigma_k \cdot 2c^2\pi \sin\varphi d\varphi}{4c^2\pi}$$

Pa ilość drobin ( $\Sigma_p$ ) powstała odpowiednią  
prędkości względem  $g = 2 \cdot c \cdot \sin \frac{\varphi}{2}$  (według fig 21)  
która otrzymujemy sumując prędkości  $c$   
w kierunku  $x$  i  $c$  pod kątem  $\varphi$  do  $x$  na-  
chyloną. Jeżeli zsumujemy ilościemy  
z ilości drobin, które przypadają w po-  
wierzchnię takich elementarnych praso-  
i odpowiednich im prędkości względnych  
a sumę tę podzieliwszy przez całą ilość  
drobin w Kuli [ $\Sigma \Sigma_p = \Sigma_k$ ] otrzymamy  
przeciętną prędkości względem  $g$ .

$$\bar{g} = \frac{\int_0^\pi \frac{2c \sin \frac{\varphi}{2} \cdot 2c^2 \pi \sin \varphi d\varphi}{4c^2 \pi}}{2c} =$$

$$= \int_0^\pi c \sin \frac{\varphi}{2} \cdot \sin \varphi d\varphi = c \int_0^\pi \sin \frac{\varphi}{2} \cdot 2 \cdot \sin \frac{\varphi}{2} \cos \frac{\varphi}{2} d\varphi =$$

$$d\varphi = 2d\left(\frac{\varphi}{2}\right)$$

$$= c \int_0^\pi \sin^2 \frac{\varphi}{2} \cdot 2 \cos \frac{\varphi}{2} \cdot 2 d\left(\frac{\varphi}{2}\right) =$$

$$= 4c \int_0^{\frac{\pi}{2}} \sin^2 \psi \cos \psi d\psi \quad \frac{\varphi}{2} = \psi, \varphi = 2\psi$$

$\psi$  zmienia się od  $0 \dots \frac{\pi}{2}$ , gdyż  $\varphi$  zmienia się od  $0 \dots \pi$ .

$$\bar{g} = 4c \frac{\sin^3 \psi}{3} \Big|_0^{\frac{\pi}{2}} = 4c \cdot \frac{1}{3}$$

$$\bar{g} = \frac{4}{3}c \quad \text{niez} \quad \frac{\bar{g}}{c} = \frac{4}{3}, \text{ wstawmy to}$$

$$d\mathcal{D} = - \frac{\mathcal{D} n \pi \sigma^2 \bar{g} dx}{c} = - \mathcal{D} n \pi \sigma^2 \cdot 4c \frac{1}{3} dx.$$

Biorąc jak dawniej  $\frac{\Sigma x d\mathcal{D}}{\Sigma d\mathcal{D}}$  otrzymamy:

$$\underline{\lambda = \frac{3}{4n\pi\sigma^2}} \quad \text{Wzrost, który podał}$$

Plausius na podstawie patrzemia, że drobiny



są kulami sprężystemi i poruszają się  
wzrystnie z jednakołą prędkością  $c$ .

Prędkości drobin mogą być jednak różne  
Należy więc jeszcze pod tym względem  
poprawić powyższe rozumowanie. Jeżeli  
względniemy prawo Maxwella dla roz-  
kładu prędkości drobin (mianowicie  $f(c)dc =$   
 $= \frac{4}{\alpha^3 \sqrt{\pi}} e^{-\frac{c^2}{\alpha^2}} dc$ ) otrzymujemy wynik  
muito co różny od wzoru Clausiusa:

$$\lambda = \frac{1}{\sqrt{2} \cdot n \pi \sigma^2}$$

Wzrostku z długością drogi  $\lambda$  porostają  
zjawisko dyfuzji, lepkość gazu i przewod-  
nictwo ciepłe.

Lepkość gazu, przewodnictwo ciepłe i  
dyfuzja.

Wyobraźmy sobie dwie płyty jedna

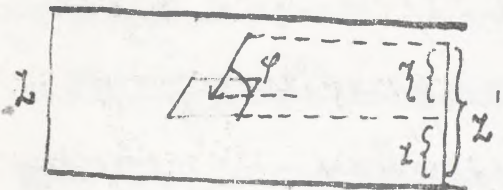
nad drugą umieszczone, utrzymywane  
na poziomych potencjałach. Jeżeli między  
tymi płytami poruszają się z dołu do góry  
i z góry na dół drobne kulki przewodzą-  
ce, to będą one przenosiły ładunek  
elektryczny z jednej płyty na drugą,  
prowadząc prąd elektryczny; to sprawa  
dra hypotera, ale nam chodzi tylko  
o umysłowanie procesu, odbywającego  
się na pośrednim cielem drobin w górze.  
Albo wyobraźmy sobie, że górna płyta  
jest pokryta czarną, dolna zaś białą  
farbą, a kulki transportują tę farbę  
z jednej płyty na drugą.

W ogóle przyjmijmy, że mamy  
do czynienia z właściwością jakiejś  $G$ ,  
porusząca się na górze i na dole, więc będąca



# funkcja wysokości $z$ (fig 23)

fig: 23:



Wzimy pod uwagę przekrój

$\perp$  do  $x$ , o wielkości  $1\text{cm}^2$

normalna gazu między oboma piętami.

Robimy przekrojące przez ten przekrój transportują właściwość  $G$  taka, jaka opowiada wysokości „ $z'$ ”, gdzie nastąpiła wymiana tego  $G$  między drobinami przy podwinięciu się ich, względnie nad daną drobiną karczta się porusza.

W wysokości tej  $z'$  ma właściwość  $G$  wartości  $G(z')$ ;  $z' = z + z$   $z = l \cos \varphi$

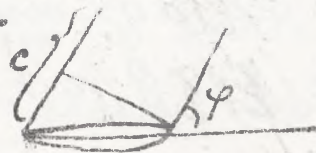
$$G(z') = G(z + z) = G(z + l \cos \varphi)$$

gdzie  $l$  jest droga przebyta przez drobinę, nachylna do poziomu pod kątem  $\varphi$ . Jeżeli  $G(z + z) = G(z + l \cos \varphi)$  ze

sumujemy dla wszystkich drobni przekro-  
 wanych przez przekrój nrwany, otrzy-  
 mamy całą ilość transportowanej wiaści,  
 wósci  $Q$  przez ów przekrój z góry na  
 dół. Stosunek ilości drobni padają-  
 cych pod nachyleniem  $\varphi$  do całej  
 wósci ilości drobni z góry wynosi  
 analogicznie jak przy obliczaniu dro-  
 gi  $h$ :  $\frac{2\pi r \sin \varphi d \varphi}{4\pi}$

Na  $1 \text{ cm}^3$  przypada drobni  $n$  i gdyby  
 one wszystkie poruszały się pod ką-  
 tem badanym z prędkością  $c$ , to  
 na sekundę przez przekrój  $1 \text{ cm}^2$   
 przechodzi ich tyle, ile przypada  
 na walec o podstawie  $1 \text{ cm}^2$  a długością

(Fig 24) -



$$n v_{\text{walec}} = \text{objętość}$$

$$= n c \cos \varphi$$



gdzie  $\cos\varphi$  jest to przekrojem prostokątny wałka.

$\frac{2\pi \sin\varphi d\varphi}{4\pi}$  przedstawia procent ilości drobin przypadających pod kątem  $d\varphi$ , mnożąc to przez  $c n \cos\varphi$  otrzymujemy ilość, która przypada na pas o kąt  $d\varphi$  (fig 25.)



Więc ilość transportowa na przez przekroju badany będzie:

$$c n \cos\varphi \cdot \frac{2\pi \sin\varphi d\varphi}{4\pi} \cdot G(x + l \cos\varphi)$$

Według Taylora:

$$G(x + l \cos\varphi) = G(x) + l \cos\varphi \frac{\partial G}{\partial x} + \frac{l^2 \cos^2\varphi}{2} \frac{\partial^2 G}{\partial x^2} + \dots$$

Przyjmując liniowe rozmieszczenie wartości  $G$  w danym zakresie w obszarze  $l$  możemy zatrzymać tylko pierwszą pochodną i otrzymamy ilość  $G$  transportowa.

z góry na dół między kątem  $\varphi$  a  $d\varphi$ :

$$Q(z) \cdot \sum \frac{2\pi \sin \varphi d\varphi}{4\pi} c n \cos \varphi + \\ + \frac{\partial Q}{\partial z} \sum \frac{l \cos \varphi 2\pi \sin \varphi c n \cos \varphi d\varphi}{4\pi}$$

Dla ilości  $\mu$  dołu do góry przewożona otrzymujemy analogiczne wyrażenie  $\mu$  ta różnica, że droga  $l$  będzie w tym razie odjemna ( $-l$ ), zaś pierwiastek  $c$  w wyrażeniu porostaje ta sama, bo zależy tylko od wysokości  $z$ , a wcale nie od tego, czy z góry na dół, czy przeciwnie poruszamy się. Transport  $\mu$  dołu do góry wynosi więc:

$$Q(z) \sum \frac{2\pi \sin \varphi c n \cos \varphi d\varphi}{4\pi} - \frac{\partial Q}{\partial z} \sum \frac{2\pi \sin \varphi l \cos \varphi c n \cos \varphi d\varphi}{4\pi}$$

Różnica tych obu wyrażeń przedstawia ujemny miar ilości wtajemności  $Q$  przewiezionej z góry na dół, ujemny miar transportu,



torana  $\pi$  dołu do góry, czyli wprost ilość jej przewodzenia  $\pi$  miejsca, gdzie  $Q$  ma wartości większą na miejscu, gdzie ma wartości mniejszą:

$$Q(z) \sum \frac{2\pi \sin \varphi d\varphi}{4\pi} c n \cos \varphi + \frac{\partial Q}{\partial z} \sum \frac{l \cos \varphi 2\pi \sin \varphi c n \cos \varphi d\varphi}{4\pi}$$

$$- \left[ Q(z) \sum \frac{2\pi \sin \varphi d\varphi}{4\pi} c n \cos \varphi - \frac{\partial Q}{\partial z} \sum l \cos \varphi \frac{2\pi \sin \varphi d\varphi}{4\pi} c n \cos \varphi \right] =$$

$$- 2 \frac{\partial Q}{\partial z} \sum l \cos \varphi c n \cos \varphi \frac{2\pi \sin \varphi d\varphi}{4\pi}$$

te drogi  $l$  są dla różnych drobin różne, musimy więc wiać przewidywać ich wartości:

$$h = \frac{\sum nl}{n} = \frac{n \sum l}{n} = \sum l$$

$$2 \frac{\partial Q}{\partial z} h n \frac{c}{2} \int_0^{\frac{\pi}{2}} \cos^2 \varphi \sin \varphi d\varphi =$$

$$= 2 \frac{\partial Q}{\partial z} h n \frac{c}{2} \left[ -\frac{\cos^3 \varphi}{3} \right]_0^{\frac{\pi}{2}} = \underline{\underline{\frac{\partial Q}{\partial z} \frac{hnc}{3}}}$$

Stosując to do przewodnictwa cieplnego, jeżeli temperatura  $\Theta$  jest wyższa na górze,

nízka čas na dole, máme i lošć cípřa pře-  
 nosnã přez drobiny. Jednu gr. garu  
 ma pojemnosć cípřnã  $c_v$  (zprost cípřo  
 wřãicivã),  $m c_v \Theta$  ilořny z masy drobiny,  
 pojemnosći i temperatury představã iloř  
 cípřã transportovanã přez jednu drobinu.  
 Cařkowitzã iloř cípřã přetransportovanã  
 z gory na dól přez  $1 \text{ cm}^2$  bždřie:

$$Q = \frac{m c_v n h c}{3} \frac{\partial \Theta}{\partial z}$$

$$m n = \rho$$

$$Q = \frac{c_v \rho h c}{3} \frac{\partial \Theta}{\partial z}$$

wedřing teorzi  
 přewodnictwa cípřnãgo iloř cípřã  
 přewodnãnãgo wywosi:

$$Q = k \frac{\partial \Theta}{\partial z}$$

wãã přewodnictwa wřãicivã:

$$k = \frac{c_v \rho h c}{3}$$



Na podstawie wzoru powyższego możemy obliczyć procentową drogę:

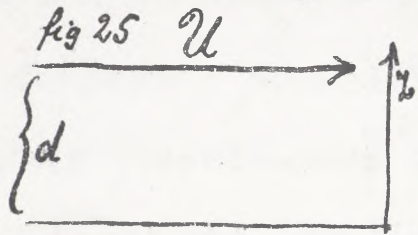
$$I \quad \lambda = \frac{3K}{c_0 \rho c}$$

## Lepkość gazu.

Wyobraźmy sobie teraz, że dolna płyta jest nieruchoma, górna zaś porusza się z prędkością  $U$ , porywając za sobą warstwy coraz niżej gazu. Warstwy te będą miały różne prędkości, zależnie od wysokości  $z$ , z czasem jednak ustawi się liniowy spadek prędkości t.j.  $\frac{\partial u}{\partial z} = \frac{U}{d}$  (fig 25) czyli:

$u = U \frac{z}{d}$ . Warstwy przesuwać się będą względem siebie, przyciem będą szybko udzielać przyspieszenia powolniejszym t.j. będą wywierać na nie siły wskutek tarcia. Wielkość tych sił wyraża równość

nie:  $F = \mu \frac{du}{dx}$ , gdzie  $\mu$  oznacza współczynniki lepkości, czyli tarcia wewnętrzne gazu. Według teorii kinetycznej



drobiny gazu posiadają wszelkie możliwe prędkości  $\xi$ , powzięta zaś prędkość, gdy gaz jest w spoczynku = 0. Gdy gaz porusza się w kierunku  $x$  z pewną prędkością  $u$ , to drobiny będą wprawdzie miały różnice najrozmaitsze prędkości, jednakże większość ich ilości będzie się poruszać w kierunku  $x$  tj. w kierunku punktu środka masy całego gazu, niż w przeciwnym kierunku. Prędkość środka masy gazu będzie określona:

$$u = \frac{\sum m \xi}{\sum m}$$
, gdzie  $m$  jest masą jednej drobiny,  $\xi$  zaś jej prędkością.



W różnych warstwach będzie to zmienne i ilość ruchu, m. u. niech oznacza nam wielkość  $Q$  Weatlinga poprzednich wyników ilość ruchu transportowana przez przekrój  $1 \text{ cm}^2$  w jednej sekundzie będzie:

$\frac{nmhc}{3} \cdot \frac{du}{dz}$ . Ilość ruchu przepływa, dająca na sekundę, czyli:

$$\frac{d(mu)}{dt} = m \frac{du}{dt} = F, \text{ jest siła (bo}$$

jest to iloczyn z masy  $m$  i przyspieszenia  $\frac{du}{dt} = \frac{d^2s}{dt^2}$ , gdzie  $s$  = droga) Siła ta przesko-  
dzi z tarcia wewnętrznego różnych warstw  
i wynosi  $\mu \frac{du}{dz}$ .

$$\text{Więc: } \mu \frac{du}{dz} = \frac{nmhc}{3} \frac{du}{dz}$$

$$\underline{\underline{\mu = \frac{nmhc}{3} = \frac{\rho hc}{3}}}$$

Otrzymujemy stałą drugiego stopnia obliczenia, dla poręczystej drogi swobodnej drabini:

$$\text{II. } \underline{h = \frac{3\mu}{nmc}}$$

Maxwell i inni obliczyli  $\mu$ , które przy-  
ciśnięcie dla powietrza przy temperaturze  $0^\circ \text{C}$ .  
nosi  $\mu = 0.000171$ .

$$n = 2.5 \text{ dla powietrza } 0.0013, \quad \bar{c} = 480 \text{ m/sec} = 48 \cdot 10^3 \text{ cm/sec}$$

więc:

$$h_{\text{powietrza}} = \frac{3 \cdot 0.000171}{0.0013 \cdot 480 \cdot 10^3} = 0.8 \cdot 10^{-5} \text{ cm}$$

$$h = 0.8 \cdot 10^{-5} \text{ cm}$$

Ze wzoru  $h = \frac{1}{\sqrt{2} \cdot n \pi G^2}$ , ponieważ  $G$  przy  
danej temperaturze możemy uważać za sta-  
łe, widzimy, że  $h \sim \frac{1}{n}$  t.j. droga swobod-  
na jest odwrotnie proporcjonalna do ilości  
drobin w  $1 \text{ cm}^3$ , a więc do gęstości gazu.  
Gdy porównamy gaz, wielkość  $h$  wzrasta.  
Dla powietrza przy ciśnieniu  $10 \text{ mm rtę.}$   
ci  $h = 1 \text{ mm}$  —



Mozemy teraz oblieny v tierbo spotkan, jankich doruaje jedna drobina u sekundris.

Tereli ma drobna  $\bar{c}$  prebytej u 1. sekundris, droga srobodna rymosi  $h$ , drobina doruaje tyle spotkan, ile tych  $h$  ruajduje sie na dluzosci  $\bar{c}$

$$v = \frac{\bar{c}}{h}$$

$$v = \frac{\bar{c}}{h} = \frac{480 \cdot 10^2 \text{ cm}}{0.8 \cdot 10^{-5} \text{ cm}} = \frac{4.8 \cdot 10^4}{0.8 \cdot 10^{-5}} = 0.6 \cdot 10^{10}$$

$$\underline{v = 0.6 \cdot 10^{10}}$$

Porroemy do lepkości garu. Mamy vov:

$\mu = \frac{\rho \lambda c}{3}$ . Vidrieliiny popvrednio, ze  $h$  rovie  $\lambda$  povvrednem garu, vize  $h \sim \frac{1}{\rho}$ , rymika stad, ze vovpovrymnik lepkości  $\mu$  vevro, vovien kalerye od gestosci garu, vob  $\rho = \text{const}$ .

Mremy, ze  $\lambda = \frac{1}{\sqrt{2} \cdot n \pi G^2}$

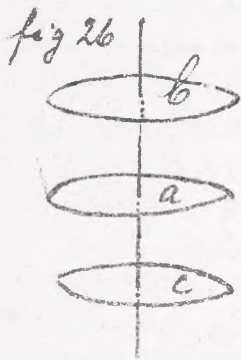
$$\mu = \frac{n \cdot m \cdot c}{3} \cdot \lambda = \frac{n \cdot m \cdot c}{3} \cdot \frac{1}{\sqrt{2} \cdot n \pi G^2} = \frac{m \cdot c}{3 \sqrt{2} \cdot \pi G^2}$$

więc  $\mu$  niezależne od  $n$ , które jest w związku  
z gęstością. Przy danej temperaturze  $m, \theta, c$  są  
stałe.

Ten wniosek teoretyczny o niezależności  $\mu$   
od gęstości gazu potwierdziły doświadczenia  
Kundta i Warburga, Grahama, Meyera.

Postępowano się przytem metoda Max-  
wella (Kundt i Warburg) lub metoda Poiseuila.

### Metoda Maxwella



Na wstępie kokonowym (fig 26)  
zawieszamy krążek  $a$  i sprawa-  
damy go w wahanie torsyjne  
(obrotowe). Krążek ten rużyda-  
je się między dwoma innymi  
( $b, c$ ) stałe przymocowanymi.

Przy wahauiach występuje rytmisko-  
tarcia wewnętrzne, które niemierna



wakama kraika środkowego. Z szybkości,  
 z jaką wakama te roztają uśredniane,  
 można obliczyć  $\mu$ .

Druga metoda polegająca na podaniu  
 wie przepływu gazu przez rurki włosko-  
 wate (rurki Poiseuila) (fig 27)

fig 27

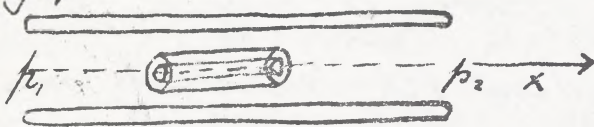
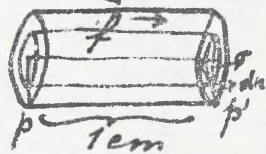


fig 28



Zakładamy, że prędkość gazu w rurce  
 spada liniowo. Siła wewnętrzna łania  
 jak wiemy  $F = \mu \frac{dv}{dx}$ . Podstawowe za-  
 twienie przytem robimy, że prąd prze-  
 płyna lamelarnie t.z. warstwy gazu  
 wrystrze przesuwają się równoległe  
 do osi rury  $x$ . Wytnijmy wewnętrz-  
 gazu walec o długości  $l$  (fig 28)

na promieniu  $r$ . Przewód srodek tego walca  
 pełnym gaz najsztywniej. Po obu stronach  
 ścian walca działają dwie siły, jedna  
 $r$  wewnętrznej strony siła  $f$  w kierunku  
 ruchu gazu, druga  $r$  zewnętrznej strony  
 siła  $f'$  w kierunku przeciwnym, bo powstała  
 jest ona wskutek oporu dalszych warstw  
 gazu. Siła  $f$  na  $1 \text{ cm}^2$  powierzchni ma  
 wartość:  $-\mu \frac{\partial u}{\partial r} \cdot 2r\pi \cdot 1 \text{ cm}$ .

Przewód tego wa obie podstawy wałca działają  
 ciśnieniami  $p$  i  $p'$ . Jeżeli gaz przepływa  
 statecznie t.j. przyspieszenie jego  $= 0$ , to  
 wszystkie siły muszą się równoważyć.

$$2r\pi dr(p-p') + (f-f')dx = 0$$

$$f-f' = \frac{\partial f}{\partial r} dr \quad p-p' = -\frac{\partial p}{\partial x} dx$$

$$2r\pi dr(p-p') - \frac{\partial f}{\partial r} dr dx = 0$$

$$2r\pi \frac{\partial p}{\partial x} = -\frac{\partial f}{\partial r}; \quad \frac{\partial p}{\partial x} = -\frac{1}{2r\pi} \frac{\partial f}{\partial r} \quad (1)$$



procz tego mamy równanie: (2)  $f = -2r\pi \frac{\partial u}{\partial r} \mu$

Jeżeli przepływ jest stacjonarny, to nigdzie nie może być nagromadzenia, więc masa gazu musi być niezależna od  $x$ .

$\frac{\partial}{\partial x}(\rho \dot{u}) = 0$   $\rho$  - gęstość,  $\dot{u}$  - prędkość, więc  $\rho \dot{u} = \text{const.}$  masa gazu w sekundzie przepływająca.

$\rho \dot{u} = \text{const.}$  Według prawa Boyle-Charles'a mamy  $\frac{p}{\rho} = \text{const.}$   $p = \rho \cdot C$  czyli  $p \propto \rho$ , więc pisząc  $p$  zamiast  $\rho$  mamy:

$$(3) \quad p \dot{u} = \text{const.}$$

$p$  niezależny od  $r$  tylko od  $x$ , więc  $\frac{\partial p}{\partial r} = 0$

Mnożąc równania (1), (2) przez  $p$  mamy:

$$\left. \begin{array}{l} \text{a) } p \frac{\partial p}{\partial x} = -\frac{1}{2r\pi} \frac{\partial (fp)}{\partial r} \\ \text{b) } pf = -2r\pi \mu \frac{\partial (p \dot{u})}{\partial r} \end{array} \right\} \frac{\partial}{\partial x}$$

$$\begin{aligned} \frac{\partial}{\partial x} \left( p \frac{\partial p}{\partial x} \right) &= -\frac{1}{2r\pi} \cdot \frac{\partial}{\partial r} \left[ \frac{\partial}{\partial x} (fp) \right] = \\ &= -\frac{1}{2r\pi} \frac{\partial}{\partial r} \left[ -2r\pi \mu \cdot \frac{\partial (p \dot{u})}{\partial x} \right] = \end{aligned}$$

$$= -\frac{1}{2+\pi} \cdot \frac{\partial}{\partial x} (2 + \pi \mu \cdot \frac{\partial(\rho u)}{\partial x}) ; \quad \frac{\partial \rho u}{\partial x} = 0, \text{ według (3)}$$

$$\frac{\partial}{\partial x} (\rho \frac{\partial \rho}{\partial x}) = 0$$

$$\rho \frac{\partial \rho}{\partial x} = C. \quad \text{ale } (\rho \frac{\partial \rho}{\partial x}) = \frac{1}{2} \frac{\partial(\rho^2)}{\partial x}$$

$$\frac{1}{2} \frac{\partial(\rho^2)}{\partial x} = C ; \quad \frac{\partial(\rho^2)}{\partial x} = 2C = \alpha$$

$$\rho^2 = \alpha x + \beta ; \quad \text{dla } x=0 \quad \rho^2 = \rho_1^2 = \beta$$

$$\text{dla } x=l \quad \rho = \rho_2$$

$$\rho_2^2 = \alpha l + \beta$$

$$\alpha = \frac{\rho_2^2 - \beta}{l} = \frac{\rho_2^2 - \rho_1^2}{l}$$

$$\text{więc } \rho^2 = \alpha x + \beta = \frac{\rho_2^2 - \rho_1^2}{l} x + \rho_1^2 \quad (A)$$

Równanie to przedstawia parabolę  
ciśnienia p w górze przepływającym.

Chodzi nam teraz o parabolę przed.

kości u.

Z równania (A) mamy:

$$2\rho \frac{\partial \rho}{\partial x} = \frac{\rho_2^2 - \rho_1^2}{l}$$

$$\rho \frac{\partial \rho}{\partial x} = \frac{\rho_2^2 - \rho_1^2}{2l}$$



$$\text{redňung a)} \quad p \frac{\partial p}{\partial x} = -\frac{1}{2r\pi} \cdot \frac{\partial(pf)}{\partial r}$$

$$\text{vice:} \quad -\frac{1}{2r\pi} \frac{\partial(pf)}{\partial r} = \frac{p_2^2 - p_1^2}{2l}$$

$$\frac{\partial(pf)}{\partial r} = -\frac{p_2^2 - p_1^2}{2l} \cdot 2r\pi$$

$$pf = -\frac{p_2^2 - p_1^2}{2l} \cdot r^2\pi + a$$

$$\text{redňung b)} \quad p f = -2r\pi\mu \frac{\partial(pu)}{\partial r} = -\frac{p_2^2 - p_1^2}{2l} r^2\pi + a$$

$$2r\pi\mu \frac{\partial pu}{\partial r} = \frac{p_2^2 - p_1^2}{2l} r^2\pi + a$$

$$2\pi\mu \frac{\partial pu}{\partial r} = \frac{p_2^2 - p_1^2}{2l} r\pi + \frac{a}{r}$$

$$2\pi\mu \cdot pu = \frac{p_2^2 - p_1^2}{2l} \cdot \frac{r^2\pi}{2} + a \lg r + b$$

dla  $r=0$ , byčaby prava strana  $\infty$ , bolg  $\theta = \infty$ , vice musi byč  $a=0$ .

$$2\pi\mu pu = \frac{p_2^2 - p_1^2}{2l} \cdot \frac{r^2\pi}{2} + b \quad (8)$$

dla  $r=R$ ,  $u=0$  poryjmijmy,

$$b = -\frac{p_2^2 - p_1^2}{2l} \cdot \frac{R^2\pi}{2}$$

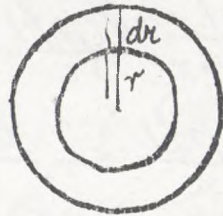
$$2\pi\mu pu = \frac{p_2^2 - p_1^2}{2l} \cdot \frac{\pi}{2} (r^2 - R^2)$$

$$u = \frac{1}{4\mu} \cdot \frac{p_2^2 - p_1^2}{l} \cdot \frac{1}{2p} (r^2 - R^2)$$

Prova poretroj elementarny valca mič gar

przepręża  $\mu$  przewodząca prądami  $\vec{u}$ , to

$$\vec{u} = \frac{\int_0^R 2r\pi dr \cdot \vec{u}}{R^2 \pi}$$



gdzie  $2r\pi dr$  = powierzchnia przekroju elementarnego (fig 29);  $R^2\pi$  = powierzchnia przekroju walea.

$$\vec{u} = \frac{2 \int_0^R r dr \vec{u}}{R^2} = \frac{2}{R^2} \int_0^R \frac{1}{4\mu} \cdot \frac{\rho_2 - \rho_1}{l} \cdot \frac{1}{2\rho} (r^2 - R^2) r dr =$$

$$= \frac{2}{R^2} \cdot \frac{1}{4\mu} \cdot \frac{1}{2\rho} \cdot \frac{\rho_2^2 - \rho_1^2}{l} \cdot \int_0^R [(r^3 - R^2 r) dr]$$

$$= \frac{\rho_2^2 - \rho_1^2}{R^2 4\mu \rho l} \left[ \frac{R^4}{4} - \frac{R^4}{2} \right] = - \frac{\rho_2^2 - \rho_1^2}{4R^2 \mu \rho l} \cdot \frac{R^4}{4} =$$

$$= \frac{\rho_1^2 - \rho_2^2}{16 \mu \rho l} \cdot R^2$$

Jeżeli teraz  $\rho$  obieramy

wy tak, aby było:  $\rho = \frac{\rho_1 + \rho_2}{2}$ , to:

$$\vec{u} = \frac{\rho_1^2 - \rho_2^2}{16 \mu \rho l} \cdot \frac{R^2 \cdot 2}{\rho_1 + \rho_2} = \frac{\rho_1 - \rho_2}{8 \mu l} \cdot R^2$$

Cała objętość gazu wyciągniętego przez



przekrój ( $R^2\pi$ ) kury będzie:  $V = \bar{u} R^2\pi$

$$V = \frac{\rho_1 - \rho_2}{8\mu L} \cdot R^4\pi.$$

Ten wzór jest ważny w przybliżeniu, mianowicie bez uwzględnienia ślizgania gazu.

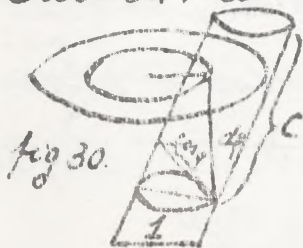
Przyjmijmy, że przy ścisaniu kory ( $r=R$ ), prędkość gazu  $\bar{u} = 0$ . W rzeczywistości jednak tak nie jest. Jeżeli uwzględnimy ślizganie gazu, otrzymamy  $\bar{u} \neq 0$ .

Widzieliśmy, że ze wszystkich drobin w danej objętości gazu wyrzada w kąt  $\varphi$  procent  $\frac{2\pi \sin^2 \varphi}{4\pi}$ , zaś ilość drobin w tym kierunku będzie:

$$c \cdot n \cos \varphi \cdot \frac{2\pi \sin^2 \varphi}{4\pi}$$

Całkowita ilość prędkości  $c \cdot n^2$  przechodząca zgoły na dół (fig 30) będzie:

$$\frac{cn}{2} \int_0^{\frac{\pi}{2}} \sin^2 \varphi \cos \varphi \, d\varphi.$$



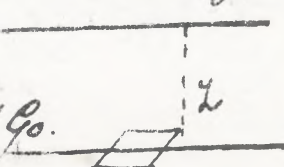
Ponieważ równie wiele przechodzi z dołu do góry, więc otrzymamy:

$$2 \frac{cn}{2} \int_0^{\frac{\pi}{2}} m \varphi \cos \varphi d\varphi$$

Ta ilość drobin transportuje pewną  $cm^2$  właściwość  $G(z)$ . Drobiną z dołu przechodzącą będą miały mniejszą wartość, zaś z góry większą wartość tego  $G(z)$ , na przekroju uwarianym temż będzie panowała przeciętna wartość tego  $G(z)$ .

Tę przeciętną wartość otrzymamy ze stosunku

$$\frac{2 \frac{cn}{2} G(z) \int_0^{\frac{\pi}{2}} m \varphi \cos \varphi d\varphi}{2 \frac{cn}{2} \int_0^{\frac{\pi}{2}} m \varphi \cos \varphi d\varphi} \quad \text{to jest rzeczywiście} = G(z)$$

Przekrój jednak zmienia się, jeżeli przekrój uwariany umieścimy na dolnej płycie. Przechodząc dolnej (fig 31)  fig 31. właściwość  $G(z)$  ma wartość  $G_0$ .



Według tego, co powyżej powiadaliśmy, powinniśmy być Go poręczystą wartością tego, co jest z góry na dół i z dołu do góry transportowane.

Ilość z góry na dół transportowana jest:

$$\frac{cn}{2} G_0 \int_0^{\frac{\pi}{2}} \sin \varphi \cos \varphi d\varphi + \frac{1}{2} \frac{cnk}{3} \left( \frac{\partial G}{\partial z} \right)_0$$

Ilość z dołu do góry transportowana pochodzi od odbicia od ściany dolnej. Jeżeli  $G = n\dot{u}$  = ilość ruchu, a ściana jest chropowata idealna, wtedy drobiny odbite nie mają realnej prędkości transportowej  $\dot{u} = 0$ , jeżeli zaś ściana nie jest idealnie chropowata, wówczas prędkość drobin odbitych będzie ułamkiem ( $\beta$ ) prędkości drobin wpadających. Wzjęc odbite drobiny przymiemy wielkość:

$$\frac{cn}{2} \beta G_0 \int_0^{\frac{\pi}{2}} \sin \varphi \cos \varphi d\varphi$$

Składowika  $(\frac{\partial Q}{\partial z})_0$  nie będzie ważyć, bo pochodni on stał, nie drobiną prędkością. ja drogę  $z + \xi$  (więc  $Q(z + \xi) = Q(z) + \frac{\partial Q}{\partial z} \xi$ ) tu  $\xi = 0$ , bo jesteśmy przy ścianie.

Więc:

$$G_0 = \frac{G_0}{2} c n \int_0^{\frac{\pi}{2}} \sin \varphi \cos \varphi d\varphi + \frac{\beta G_0}{2} c n \int_0^{\frac{\pi}{2}} \sin \varphi \cos \varphi d\varphi + \frac{k c n}{2} \frac{1}{3} \left( \frac{\partial Q}{\partial z} \right)_0 \int_0^{\frac{\pi}{2}} \sin \varphi \cos \varphi d\varphi$$

$$\int_0^{\frac{\pi}{2}} \sin \varphi \cos \varphi d\varphi = \frac{\sin^2 \varphi}{2} \Big|_0^{\frac{\pi}{2}} = \frac{1}{2}$$

$$G_0 = \frac{G_0}{2} + \frac{\beta G_0}{2} + \frac{k}{3} \left( \frac{\partial Q}{\partial z} \right)_0$$

$$G_0 \left[ \frac{1-\beta}{2} \right] = \frac{k}{3} \left( \frac{\partial Q}{\partial z} \right)_0$$

$$G_0 = m \ddot{u}_0$$

$$m \ddot{u}_0 \left[ \frac{1-\beta}{2} \right] = \frac{k m}{3} \left( \frac{\partial u}{\partial z} \right)_0$$

$$\ddot{u}_0 = \frac{2}{3} \frac{k}{1-\beta} \left( \frac{\partial u}{\partial z} \right)_0$$

więc  $\ddot{u}_0 \neq 0$ , gaz śliska się;  $u_0$  jest pro



proporcjonalne do  $h$ , więc ślizganie występuje, je dopiero przy znacznym porządkiem gazu, bo wtedy  $h$  wzrasta.

Według praw mechaniki predkości  $u_0$  jest proporcjonalna do siły tarcia gazu, ciągnącego te warstwy. -

$$\dot{u}_0 = -\alpha \left( \frac{\partial u}{\partial z} \right)_0$$

według równania (7):

$$2\pi\mu r \dot{u} = \frac{p_2^2 - p_1^2}{2\ell} \cdot \frac{r^2\pi}{2} + b$$

$$\text{dla } r: R, \quad \dot{u} = \dot{u}_0$$

$$2\pi\mu r \dot{u}_0 = \frac{p_2^2 - p_1^2}{2\ell} \cdot \frac{R^2\pi}{2} + b \quad (8)$$

$$\text{ale: } \dot{u} = \frac{1}{2\pi\mu r} \cdot \frac{p_2^2 - p_1^2}{2\ell} \cdot \frac{r^2\pi}{2} + b$$

$$\frac{\partial \dot{u}}{\partial z} = \frac{1}{2\pi\mu r} \cdot \frac{p_2^2 - p_1^2}{2\ell} \cdot \frac{2r\pi}{2} \frac{\partial r}{\partial z} \quad \text{bo } r: z$$

$$\left( \frac{\partial \dot{u}}{\partial z} \right)_0 = \frac{1}{2\pi\mu r} \cdot \frac{p_2^2 - p_1^2}{2\ell} R\pi$$

$$\dot{u}_0 = -\alpha \left( \frac{\partial \dot{u}}{\partial z} \right)_0$$

Wzrost wzdłuż (δ)

$$2\pi\mu p \dot{u}_0 = \frac{p_2^2 - p_1^2}{2l} \cdot \frac{R^2 \pi}{2} + b = -\alpha \left( \frac{\partial u}{\partial z} \right)_0 \cdot 2\pi\mu p =$$
$$= -\alpha \cdot 2\pi\mu p \cdot \frac{1}{2\pi p \mu} \cdot \frac{p_2^2 - p_1^2}{2l} \cdot R \pi.$$

Wzdłuż (γ)

$$2\pi\mu p \dot{u} = \frac{p_2^2 - p_1^2}{2l} \cdot \frac{r^2 \pi}{2} - \frac{p_2^2 - p_1^2}{2l} \cdot \alpha R \pi - \frac{p_2^2 - p_1^2}{2l} \cdot \frac{R^2 \pi}{2}$$

$$\dot{u} = \frac{p_2^2 - p_1^2}{8p\mu l} [r^2 - R^2] - \alpha \frac{p_2^2 - p_1^2}{4p\mu l} R$$

$$p = \frac{p_1 + p_2}{2}$$

$$V = \int_0^R \dot{u} 2r \pi dr = 2\pi \frac{p_2^2 - p_1^2}{8p\mu l \frac{p_1 + p_2}{2}} \int_0^R [r^3 dr - R^2 r dr - \alpha R r^2 dr] =$$

$$= 4 \frac{p_1 - p_2}{8p\mu l} \left[ \frac{R^4}{4} - \frac{R^2}{2} - 2\alpha \frac{R^3}{2} \right]$$

$$\underline{V = \frac{p_1 - p_2}{8p\mu l} [R^4 + 4\alpha R^3]}$$

napaść dźwięku wzdłuż l, objętość gazu poro-  
żonego i sekundnie, rozciągła się



$p_1, p_2$  na końcach rur, i Równia obliczyć:

$$\mu = \frac{p_1 - p_2}{8Vl} (R^4 + 4aR^3)$$

Przytem  $V$  mierzy się pod ciśnieniem  $p = \frac{p_1 + p_2}{2}$ . Metody tej używali Graham i Meyer dogadano i okazało się, że obie metody Maxwella i Poiseuila dają zgodne rezultaty.

Kundt i Warburg badali paskinowi  $\mu$  od ciśnienia. Obliczli oni tak nową wydecrement logarytmiczny, tj. logarytm stosunku odchylenia dwóch po sobie następujących:

np. dla  $H_2$  przy 750 mm - 0.263, przy 20 mm - 0.0287

Pokazuje się więc ślad zmniejszenia pewnego przy znacznym rozrzedzeniu. Przyczyną tego jest skrzypienie gazu na powierzchni ścian naczyń.

Ślizganie to tłumaczy się w ten sposób te-  
oryą kinetyczną. Drobinę gazu operatora,  
nie ruchem postępowym w kierunku  $x$ ,  
uderzając o ścianę chropowatą utracą-  
ją część tego ruchu, więc ściana  
wstrzymuje ją. Wielkość tego wstrzywu  
hamującego jest proporcjonalna do  
 $x$ . Jeżeli drobiny wpadają na ścianę  
z większej odległości  $x$ , to również  
po odbiciu dochodzą do dalszych  
warstw ze spowolnionym ruchem,  
więc hamowanie dojdzie do dalszych  
warstw. Pręto ślizganie  $\sim \frac{1}{x}$ ,  
nie występuje przy zwykłych ciśnieniach,  
niach, gdy  $x$  małe, lecz przy znacz-  
nym porzedzeniu. —

→



Zależności współczynnika lepkości  
od temperatury.

$$\mu = \frac{\rho k c}{3}$$

Jeżeli drobinę uwarzamy jak  
ko kule sprężyste, o stałej średnicy  
 $\sigma$ , wówczas  $k = \frac{1}{\sqrt{2} \cdot \pi \sigma^2}$  niezależny od tem-  
peratury. Przy danym  $\rho$  i  $k$  będzie  
więc  $\mu$  zmieniać się z temperaturą  
z ten sposób jak  $c$ .

Pomiar  $c \sim \sqrt{\theta}$ , więc  $\mu \sim \mu_0 \sqrt{\frac{\theta}{\theta_0}}$ ,  
 $\mu$  powinno być proporcjonalne do pier-  
wiastka z temperatury bezwzględnej.  
W rzeczywistości jednak wzrasta  $\mu$   
szybciej, niżby to z wzoru wynikało.  
Jeżeli wzrost ten określimy równa-  
niem  $\eta = \eta_0 \cdot \theta^\alpha$ , to według Palyja:  
dla powietrza  $\alpha = 0,72$

dla  $\text{CO}_2$   $\alpha = 0.92$

"  $\text{H}_2$   $\alpha = 0.69$

Dla drobniej dwuatomowych i dla par cieczy,  
niez dla gazów, które w krytycznej temperaturze  
są w stanie ciekłym, otrzymanyemu potęgi  
większe niż  $0.5 = \frac{1}{2}$ , a nawet  $> 1$

Barus 1889r wykonywał doświadczenia  
między temperaturami od  $0^\circ$  do  
 $1300^\circ$  metodą przepływu gazu przez  
 rurki woskowe i doszedł do wzioru

$$\text{Re} : \eta = \eta_0 \cdot \theta^{\frac{2}{3}}$$

Stefan chce pogodzić wynik  
teoretyczny z doświadczeniowymi, ro-  
zumując w następujący sposób:

Nierówność pochodzi stąd, że me-  
szczyście jest radiator, że drobiny  
są kulami stywnymi, uwanie się



tę nierówności, jeżeli przyjmiemy, że  $\sigma$   
 zmienia się z temperaturą,  $\mu \sim k$ , zaś  $k \sim \frac{1}{\sigma}$   
 więc ponieważ  $\mu$  rośnie z temperaturą,  
 musi  $\sigma$  maleć, to kwasy drobiny  
 maleją ze wzrostem temperatury. Według  
 Stefana drobiny nachodzą się jak  
 balony Raoultowe o skończonej wty-  
 wości, wskutek czego przy podrobnieniu  
 spłaszczają się częściowo (fig: 32), co

fig: 32

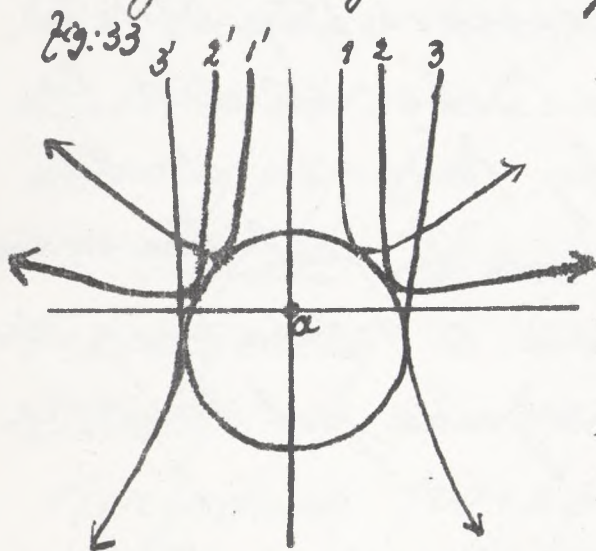


posiada na sobie skutek ta-  
 ki, jakby promień drobin  
 zmalał. Spłaszczenie to jest tem większe,  
 im większa przątkowi  $\sigma$  posiadają dro-  
 biny, a więc im większa jest tempera-  
 tura.

Maxwell w drugiej swej rozpra-  
 wie wyprowadza twierdzenie między je

i  $\theta$  na podstawie założenia, że drobiny są punktami materialnymi, które się odpychają siłą odwrotnie proporcjonalną do jakiejś potęgi odległości:  $f = \frac{a}{r^n}$ .

Jeżeli wyobraźmy sobie ruch względny kilku drobin względem jednej, która porusza się wzdłuż osi  $x$ , otrzymamy szereg zakrzywionych dróg (fig 33) wokoło



drog (fig 33) wokoło

liniowych symetrycznych i powodem tego, że siła działająca jest centralna. Im bardziej

odległe są drobiny 1, 2, 3, 1', 2', 3' od danej

drobiny  $a$ , tem więcej zakrzywia się ich droga. To wydaje się



tak, jakby wstrzyśnięte drobiny spadły  
 na kulę i odbiły się od jej powierzchni, ja-  
 kule sprężyste. Odstęp w którym nastę-  
 puje odbicie zależy od prędkości. Im  
 większa prędkość kuli spadającej, tem  
 dłużej zachowa ona kierunek swojej dro-  
 gi, tem bardziej zbliży się do danej  
 Kuli, czyli w tem mniejszym odstępie  
 nastąpi odbicie. Skutek będzie więc  
 taki sam, jak przy spotkaniu się Kul  
 sprężystych, 6 zmniejsza się z prędkością  
 a więc z temperaturą rosnącą.

Pod założeniem, że w działaniu  
 sił odpychających  $n=5$ , więc  $f = \frac{a}{\pi^5}$   
 otrzymać Maxwell wynik, że  $\mu = f/a$  (1)  
 współczynnik lepkości jest funkcją  
 temperatury i stałej  $a$  z prawa odpj.

chania. Przyntem mikroprzewodna Max.  
well pojęcia drogi swobodnej  $h$ , bo dro-  
ga swobodna jest to droga odbyta  
miedzy dwoma zderzeniami, a wiec  
prostolinijna - tu natomiast (względ-  
nie wplyw odpychający) trójają bardzo  
długo, wiec drogi drobin są ciągle skrzy-  
wione, bez nagłego zatrzymania, niema  
przeto drogi prostoliniżnej. Ponieważ  
rachunek Maxwella jest bardzo  
skomplikowany, prócz tego wprowadz.  
drużki  $h$  wprowadzona porównanie, dla  
tego postępują się zwykłe pierwiastki.  
sobem.

Według Maxwella powinno być:

$$\mu = \frac{C}{C_0}$$

Widzimy więc z doświadczeń, że gazy



zachowują się pośrednio między wynikiem  
 teorii Maxwella a wynikiem teorii  
 kul sprężystych, t.j. a leżą między 0,5 a 1.

W najnowszych czasach Sutherland  
 postawił hipotezę, że między drobi-  
 niami, które są kulami sprężystymi  
 działają siły przyciągające  $f = \frac{a}{r^4}$  (są to  
 te siły, które powodują skutek taki,  
 jakby ciśnienie p gazu wzrastało  
 o  $\frac{a}{v^2}$ , co uwzględnił Vaunder Vals  
 w swym równaniu)

Sutherland otrzymał wzór:

$$\eta = A \cdot \frac{\Theta^{3/2}}{\Theta + C}$$

gdzie C jest małe w porównaniu z  $\Theta$ , ma-  
 my  $\eta = A \Theta^{3/2}$  więc powiaren z teorii  
 kul sprężystych, gdy zaś  $C \gg \Theta$  bardzo  
 wielkie to  $\eta = \frac{A}{C} \cdot \Theta^{3/2} = \eta_0 \Theta^{3/2}$

wzięci przez dobor C uwiemy otrzymać  
Sanre herbę Puluja. Porucanie Luther.  
Lauda zgodna się dobrze  $\mu$  doświadcze.  
miew, o co ocrzywicie nie trudno z po.  
wodku swych starych A, C, które odpo.  
wiednio musimy dobierać. -

Rachunek Maxwella jest  
kapelnie ściśle pod palowaniem, że  
drobiny odprychają się siłą  $\sim \frac{1}{r}$ ,  
poprzedni zaś wychodzący  $\mu$  teoryi  
kul sprężystych nie ściśle dlatego, że  
przyjęliśmy predkości drobin ka  
jednakowe, nie uwzględniliśmy zaś  
porodniczą predkości według Maxwella.  
Przyjmowaliśmy następnie, że wszystkie  
drobiny w odstępie  $(\frac{1}{2} + \frac{1}{3})$  mają tę  
samą wartość wielkości transportowa.



nej  $G(x+z)$ , która w tej wysokości pa-  
 nuje. Przyjęcie to jest niewłaściwe,  
 jeżeli bowiem  $G$  oznacza ilość ruchu,  
 to drobiny  $\mu$  góry na dół dające bę-  
 da miały większą prędkość, niż dołce  
 drobin. Górne bowiem mają już  
 pewną dźwiosę do ruchu pionowego  
 na dół, niż te, które  $\mu$  dołu do góry  
 pa. Niemniej więc twierdzić, że  
 wystąpię drobin  $\mu$  daniem  $\mu$  mają  
 tę samą wielkość  $G(x)$ , lecz należy  
 aby uwzględnić, że  $G$  jest funkcją  
 nachylenia drogi drobin. Wzrost  
 cały jest więc nieścisły. Starano się  
 poprawić to rozumowanie, lecz Hardy  
 z fizykiem dostał inne wyniki, ma-  
 mówicie we wzorze:  $\mu = A \epsilon^k$  zaważst

$\frac{1}{3}$ ; otrzymano imię wartości (Lang, Ste-  
fan i inni). Istnieje więc błąd za-  
sadniczy, polega on na tem, że  
sama wielkość  $Q(x)$  musi wpływać  
na rozkład prędkości, co zupełnie  
pominięliśmy. W różnych kierunkach  
prędkości będą różne prawdopodob-  
dośćństwa  $f(\xi, \eta)$  dla danych prę-  
dkości, zamiast rozpatrywać rozkład  
w Kuli, musielibyśmy to uczynić  
w elipsoidzie lub w bardziej uciąż-  
liwej skomplikowanej powierzchni.

Boltzman podał metodę,  
jak należyć to porównanie przeprowa-  
dzić i sam raczył to robić, ale  
wobec skomplikowanych wzorów  
nie otrzymał rezultatu dodatniego.

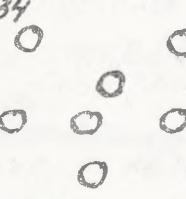


W Kardynu parie + rowne  $\mu = \frac{1}{3} c_0 h$  powoz  
 $\frac{1}{3}$  wszystkie inne wielkości porostają  
warus.

Ze je jest  $\sim$  do  $\sqrt{\theta}$  jak według teoryi  
kul sprężystych, to można wykazać  
podobieństwem dynamicznym ruchów.

Wyobrazimy sobie chwilowe portowanie

Fig: 34

 drobni u garie (Fig 34)  
ruchomym. Flosz ruchu  
na sekundę, to jest lep.

Kosć garu je dla gazu  $\frac{\partial u}{\partial t} = 1$ . Niech to  
sz odbywa przy ciacem  $\theta = \theta_0$  i  $c = c_0$ .

Przyjmijmy ze nkład drobin i ich  
porowary jako Kul sprężystych nie  
deformujacych jest przy innej tempe.  
naturze  $\theta$  taki sam, ty lko  $c$  zmienia  
sie  $c = c_0 \sqrt{\frac{\theta}{\theta_0}}$ . Od  $c$  zależy ilosci

muchu, więc i ta powiększy się w stosunku  $\sqrt{\Theta}$ , przede  $\mu = \mu_0 \sqrt{\Theta_0}$ . Wszystko będzie takie same, tylko przekażi, więc ilości muchu postanie powiększona —

Rezultat ten otrzymaliśmy więc, należymy od tego, że  $\mu = \frac{\rho c h}{3}$ , więc zależność uwarai na wartość proporcjonalności do  $\sqrt{\Theta}$ .

Musimy więc dla budowy drobin wybrać coś pośredniego, między spręż. rystemi kulami (które za mało się deformują) a ciałami Maxwella, kawałki miękkimi (im większa podatność, tem więcej deformują się drobin, więc wystę. pęci znacznie mniejsze  $\sigma$ , wskutek czego wypadnik przy  $\Theta$  we wzorze:  $\eta = \eta_0 \Theta^\alpha$  jest zbyt wielki). Dotychczas



ilościowych danych pod tym względem nie  
mamy. -

## Przewodnictwo cieplne

$$\kappa = c_v \cdot \frac{c_p k}{3} = c_v \mu$$

Według tego wzoru obliczył pierwszy Clausius  
wartość wielkości  $\kappa$ .

Nawniej sądzono, że  $\kappa$  dla gazów jest  
bardzo małą wielkością, czyli że ciepło  
przechodzi się w gazy przez konwekcję tylko  
i promienianie. Dopiero Maxwell  
obliczył  $\kappa$  dla gazów i przekonał wyświeżkich  
o myśności tego sądu. Dla powietrza  
 $\mu = 0.00017$ ;  $c_v = 0.17$ ;  $\kappa = 0.000029$

Stefan obliczył  $\kappa$  metodą chłodzi-  
nią. Wnaczymi blawami stworzył

drugi metalowe, między niemi ras'  
przestrzeń wypełniona białym gazem.

Początkowa temperatura 100 kamień,  
warmy na temperaturę biału, wskutek  
czego wewnętrzne naczyń. utracą ciepło  
przez promieniowanie i przewodnictwo  
gazu (które jest wielkie w porównaniu  
z promieniowaniem, kalorem od różni-  
cy temperatur, podczas gdy przewod-  
nictwo kalory też odwrócone od osłoty,  
już obu naczyń  $\delta$ , im  $\angle \delta$  tem  $\gamma$  ilość  
przewodzonego ciepła.) z szybkości styg-  
nięcia naczyń wewnętrznych można  
obliczyć  $K$ . Pomiarzy wykonalni róż-  
nicy Kundt, Warburg i Winkel,  
warmy. Rezultaty tego ostatniego  
są najdokładniejsze. — Przyjmujemy



dla  $\kappa$  wartości 0.000057, więc dwa razy  
 większa, niż teoria podaje. Różnicę tu  
 pochodzą z niedokładnej wartości teore-  
 tycznej współczynnika  $\mu$ , następnym me-  
 zasobionem jest przyjęcie  $C_v$  jako  
 pojemności cieplnej  $1 \text{ cm}^3$ :

Maxwell wyprocedził wzór:

$\kappa = \frac{5}{2} C_v \mu$ , który on jest  
 dla gazów jednoatomowych, dla wieloa-  
 tomowych zaś nie, bo niewiemy, jak  
 się dla nich zachowuje  $C_v$ .

Badania nad argonem i neo-  
 nem potwierdziły rezultat Maxwella.

Dla powietrza  $\kappa$  musiałoby być  
 większe, niż 0.000029 mianowicie:

$$\begin{aligned} \kappa &= \frac{5}{2} C_v \mu = \frac{5}{2} 0.17 \cdot 0.00017 = \\ &= \frac{5}{2} 0.000029 = 0.000072 \end{aligned}$$

Węzi puoru podobnie jak przy  $\mu$  doświad.  
 czenie wyzniki (0.000057) bezu między  
 wyzniki teorii kul sprężystych (0.000029)  
 a teorii drugiej (punktor) (0.000072) Max.  
 wella.

Względnie wartości  $K$  teoretycznie  
 i doświadczalnie wyproadzone powinny  
 być równe jeżeli założenia nie są  
 błędne, bo  $K_1:K_2 = \frac{\mu_1}{\mu_2} : \frac{C_{v1}}{C_{v2}}$ , węzi współ.  
 czynnik liczbowy reika ( $\frac{5}{2}$ ).

Tymczasem jednak i te względnie  
 wartości są różne, np. względnie powietrza ( $\mu_0, K_0$ )

	$\frac{\mu_1}{\mu_0}$	$C_v$	$\frac{K}{K_0}$ teoretycznie	$\frac{K}{K_0}$ doświadczalnie
1.	1.	0.17	1	1.
<u>Na powietrze</u>				
H <sub>2</sub>	0.498	2.4	7.13	6.7
O <sub>2</sub>			1.018	1.018



dla	$\frac{K}{K_0}$ teoret	$\frac{K}{K_0}$ doświadcz.
CO	0.99	0.98
NO	0.96	0.95
CO <sub>2</sub>	0.71	0.64
N <sub>2</sub> O	0.73	0.66
NH <sub>3</sub>	1.3	0.92
CH <sub>4</sub>	1.66.	1.34

} zgodności ta  
jest mała.

Nierównowaga występuje również u gazów wieloatomowych i par cieczy. Przyjmymy tego jest, że suponujemy drobiny jako kule, u drobni zaś ktoromych z więcej atomów sufcyca ta nie jest usprawnioną.

Po drugie uciwiemy, czy co oznacza cała energia, czy tylko międzydrobinowa. Jedna część energii bowiem jest energia ruchu postępowego, inna część pochodzi z energii międzydrobinowej. —

# Zależność współczynnika $K$ od ciśnienia i temperatury

## I. Zależności od temperatury.

$K = C_0 \mu$  względnie  $= \frac{5}{2} C_0 \mu$ . Pomiar  $C_0$  niezależny od temperatury, więc powinno być  $K \sim \sqrt{\theta}$ , tak jak lepkości  $\mu$ . Pomiar jednak wrót  $\mu = \mu_0 \left(\frac{\theta}{\theta_0}\right)^\alpha$ , gdzie  $\alpha$  waha się między  $\frac{3}{2} \dots 1$ , więc i dla  $K$  proporcjonalności do  $\sqrt{\theta}$  nie będzie ścisła.

Teraz obliczymy  $K$  przy  $\theta = 100^\circ$ ;  $\theta = 0^\circ$  na podstawie pomiarów  $\mu_{100}, \mu_0$  otrzymujemy wartości następujące:

$$\frac{K_{100}}{K_0} = \frac{\mu_{100} C_0}{\mu_0 C_0} = \frac{\mu_{100}}{\mu_0} = :$$

dla powietrza 1.274

"  $H_2$  1.294

"  $CO_2$  1.511



Według Winkelmana doświadczeń:

sta powietrza  $\frac{K_{100}}{K_0} = 1.277$   
1) "  $H_2$   $1.277$  } w roku 1876  
"  $CO_2$   $1.530$

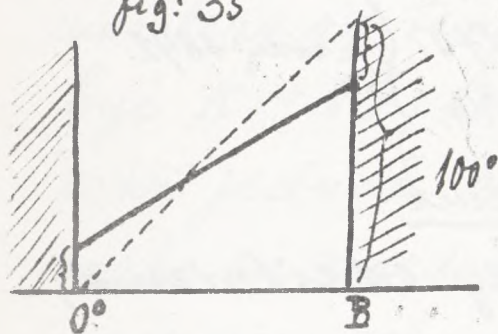
2) sta powietrza  $\frac{K_{100}}{K_0} = 1.190$   
 $H_2$   $1.175$  } w roku 1891.  
 $CO_2$   $1.40.$

## II) Kaloryczność od cisnienia:

według teorii K mierzalicy od cisnienia,  
bo  $C_v$  jest  $\mu = \frac{c_m}{3KT_0^2}$  mierzalicy od cisnie-  
nia. Stefan przy obwieraniu cisnienia  
normalnego do połowy niepotwierdził  
różnicy pręgi  $\kappa$ . Kundt i Warburg  
stwierdzili, że pręgią pochodni dopie-  
ro przy wielkiem porządkiem gazu.  
Wtedy bowiem występuje jawisko  $\sigma$ ,  
porównania, analogiczne do silingauia

u gazu. Wyobraźmy sobie miaowicie,  
dwie płyty utrzymywane na temperaturach  
różnych  $100^{\circ}$  i  $0^{\circ}$ . W warstwie gazu przerw-  
tej między temi płytami powiniemi  
istnieć liniowy spadek temperatury (fig 35)

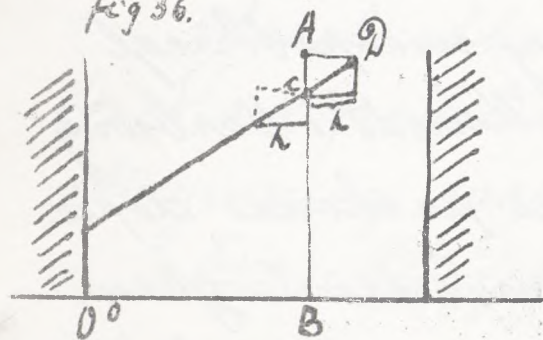
Fig: 35



W rzeczywistości jednak  
temperatura warstwy  
gazu przylegających  
do ścian różni się  
o stosowną wielkość

od różnicy ścian (fig 36). Istnieje więc  
przy ścianach skok  
temperatury. Jeżeli

Fig 36.



temperatura gazu, zaś  $\theta_0$  ściany,  
to  $\theta - \theta_0 = f \frac{\partial \theta}{\partial n}$

( $\frac{\partial \theta}{\partial n}$  spadek temperatury w kierunku normalnym).



$f = \varepsilon h$      $h$  = droga swobodna,  $\varepsilon$  = współczynnik  
ralemny od podrazu sciany.

Mozemy to sobie wytlumaczyt i na  
pnyacy sposob: golyby sciany  $AB$  nie  
byto, lecz gaz rozciagał sie dalej, to  
w warstwie gazu  $AB$  istniałaby równo-  
waga termodynamiczna. Z lewej bo-  
strony (Fig. 36) przychodziłyby do  
warstwy  $AB$  drobiny zimniejsze,  
z prawej zaś cieplejsze i odległore  
 $h$  od  $AB$ . W warstwie  $AB$  wytworzyłaby  
sie średnia temperatura, czyli drobiny  
w  $AB$  posiadałyby energii kinetyczna  
równa średniej arytmetycznej energii  
kinetycznych drobin obu podkrajów  
żelch teraz w miejscu  $AB$  postawimy  
scianę, to do  $AB$  dochodzą będą

drobiny zimne, ciepłych ras'niebednie.

Aby więc była równowaga musi ściana  
A B posiadać temperaturę wyższą, niż  
w punkcie C panuje, mianowicie tempe-  
raturę między C D. To podwyższenie tem-  
peratury ściany zależy od tego, z jak  
dalekich warstw drobiny zimniejsze do-  
chożą do niej, czyli jest proporcjonal-  
ne do drogi swobodnej  $h$ . Ponieważ  
 $h \sim \frac{1}{\xi}$ , więc skok temperatury tem wyrazi-  
niejszy, im bardziej rozrzedzony gaz.

Pomiar doświadczenia stwierdził po-  
wyższe wnioski i na tej podstawie po-  
prawiony teoretyczny wywód porówna  
jednym prawem objaśnić zjawiska reumi-  
ny  $k$  w zależności od ciśnienia w grani-  
cach ciśnienia od normalnego aż do  $\frac{1}{100}$  mm.



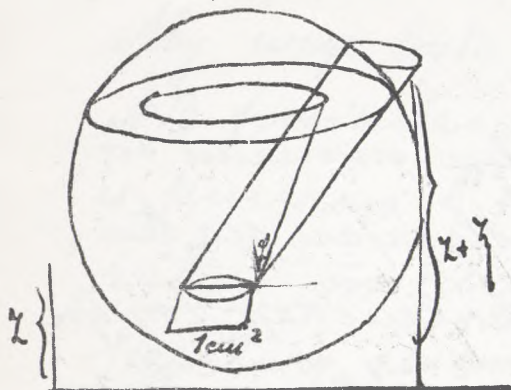
# Dyfuzya:

Dyfuzya jest to samodzielne mieszanie się ciał rozpuszczalnych, polegające na tem, że drobiny ciał danych przenikają z miejsc o wyższej do miejsc o niższej koncentracji.

Mamy w naczyniu dwa odzielone gazy np: azot ( $N_2$ ) i tlen ( $O_2$ ). Chodzi o to jaka ilość gazu zostanie przetransportowana wskutek ruchów drobinowych przez przekrój  $1\text{ cm}^2$ . Z drobin zawartych w kuli jednostkowej, weźmy pod uwagę te drobiny które przechodzą przez  $1\text{ cm}^2$  i porusza się pod kątem  $\varphi \dots \varphi + d\varphi$  (fig 37); będą ich  $\frac{2\pi \sin\varphi d\varphi}{4\pi}$  (patrz wyznaczenie wzoru na drogę swobodną).

Jeżeli w drobinie porusza się z szybkością

fig: 37



kośćcia  $c$ , to przez jeden  
cm<sup>2</sup> przejdzie ich  $4\pi$ .

Rundric:

$$\frac{2\pi r \sin \varphi d\varphi}{4\pi} c \cos \varphi \cdot n_{z+z}$$

Wielkość  $n$  jest w róż-

nych warstwach różna.

$$n_{z+z} = n_z + z \frac{\partial n}{\partial z} = n_z + l \cos \varphi \frac{\partial n}{\partial z},$$

$$\text{bo } z = l \cos \varphi.$$

Cała ilość drobin przechodzących przez  $1 \text{ cm}^2$   
z góry na dół wynosi:

$$\sum \frac{2\pi r \sin \varphi d\varphi}{4\pi} c n \cos \varphi \left[ n_z + l \cos \varphi \frac{\partial n}{\partial z} \right]$$

analogicznie z dołu do góry:

$$\sum \frac{2\pi r \sin \varphi d\varphi}{4\pi} c n \cos \varphi \left( n_z - l \cos \varphi \frac{\partial n}{\partial z} \right)$$

Różnica obu wyrażeń daje nam miarę  
ilości drobin przechodzących z góry, po-  
nad te, które przenikają z dołu do góry.

$$2 \sum \frac{2\pi r \sin \varphi d\varphi}{4\pi} c \cos \varphi l \cos \varphi \frac{\partial n}{\partial z} =$$



$$= \frac{\partial n}{\partial z} h c \int_0^{\frac{\pi}{2}} \sin^2 \varphi \cos^2 \varphi d\varphi = \frac{hc}{3} \frac{\partial n}{\partial z} \quad (\text{c. l. droga swob.})$$

Według teorii dyfuzji ilość substancji przenikającej przez  $1 \text{ cm}^2$  przekroju wynosi:  $D \frac{\partial h}{\partial z}$ , gdzie  $h$  oznacza koncentrację t. j. stosunek liczby drobni jednej substancji ( $n_1$ ) do całej liczby drobni jednej i drugiej substancji: ( $n_1 + n_2$ )

$$h = \frac{n_1}{n_1 + n_2} \quad -$$

Jeżeli koncentracja zmienia się t. j. koncentracja jednego z dwóch dyfundujących gazów jest  $c_1$ , to analogicznie jak przy przewodnictwie cieplnemu właściwe równanie dyfuzji jest:

$$\frac{\partial c_1}{\partial t} = D \frac{\partial^2 c_1}{\partial z^2}; \quad D = \text{stała dyfuzji.}$$

Wyrażenie  $D \frac{\partial h}{\partial z}$  odpowiada ściśle temu samemu wyrażeniu  $\frac{hc}{3} \frac{\partial n}{\partial z}$ , więc musi być

$$D \cdot \frac{hc}{3} = \frac{c}{3\sqrt{2} \cdot n \cdot 16^2} = \frac{c \tau r^2}{3\sqrt{2} \cdot 9\pi 6^2} = \frac{\mu}{5}$$

Dla powietrza:  $\mu = 0.000017$ ,  $\rho = 0.0013$

Dla parietna = 0.13.

Dla arctu illemu  $N \rightleftharpoons 0$ ,  $D = 0.179$

$CO \rightarrow 0$  :  $D = 0.187$ .

Wzrost  $D = \frac{h_1}{3}$  należy poprawić z tego powodu, że w mierzaniu dwóch garów ( $n_1, n_2, m_1, m_2, G_1, G_2, h_1, h_2$ )  $h$  jest różnie, niż w krytycznym garze, zderzeniu bowiem paraliery od rozmiarów  $G$  danych drobin.

Wzrost nasz stosuje się więc tylko do garów, które pod względem rozmiarów ( $G$ ) i masy ( $m$ ) drobin są identyczne. Możliwy więc uważać tę dyfuzję jako dyfuzję gazu samego przez siebie. Dla dwóch różnych garów otrzymany doświadczeniowy wzrost na  $h$ .

$$h_1 = \frac{1}{\pi \left[ \left( \frac{G_1 + G_2}{2} \right)^2 n_2 \sqrt{\frac{m_1 + m_2}{m_2} + G_1^2 n_1 n_2} \right]}$$



$$h_2 = \frac{1}{\pi \left[ \left( \frac{\sigma_1 + \sigma_2}{2} \right)^2 n_1 \sqrt{\frac{m_1 + m_2}{m_1} + \sigma_2^2 n_1 n_2} \right]}$$

## Zmiana stałej dyfuzji z temperaturą i ciśnieniem

I: Kalkulacja  $D$  od ciśnienia:

$$D = \frac{\mu}{S} = \frac{c m}{3 \sqrt{2} \pi \rho \sigma^2}$$

Jeżeli dana jest temperatura, to  $c$  i  $\sigma$  są dane, więc  $D \sim \frac{1}{S}$ , t.j. dyfundującej substancji przy jednostkowym spadku koncentracji na tem (t.j. dla  $\frac{dc}{dx} = 1$ ) jest proporcjonalna do stopnia porzednienia gazu. Dyfuzja występuje więc energiczniej przy mniejszym ciśnieniu. Na tem właśnie zjawisku polega użycie kwasu fosforowego do suszenia pomp rtęciowych. Gdy mianowicie pompa jest, para wodna dyfunduje tem

szybciej przez powietrze, im bardziej ono porzedzone i przez chodzą przez niego, wie napelnione anhydrytem kwasu fosforowego zostaje para przez niego przechodzi.

II Kalkulacja  $Q$  od temperatury:

$$Q = \frac{c m}{3 \sqrt{2} \pi r^2}$$

Jeżeli założymy, że drobiny są kulami sprężystymi, to  $\sigma$  niezależny od  $\theta$ .

zatem  $c \sim \sqrt{\theta}$ ,  $\xi \sim \frac{1}{\theta}$  więc:

$$Q \sim \theta^{3/2}$$

Założenia Maxwella, że drobiny są to punkty odpychające się ( $\frac{11}{15}$ ) wyznika kalkulacja  $Q$  od ciśnienia identyczna z wyrowadzonym powyżej:  $Q \sim \frac{1}{\xi}$ , co się różni tylko temperatury, to  $Q \sim \theta^2$ , tu jest różnica między teorią Maxwella a



# teoria kul sferycznych.

Doświadczalne wyniki ruchu postępującego  
jak dla  $\mu$  leżą między  $\Theta^{3/2}$  a  $\Theta^2$

Między innymi we wzrocie:  $D = D_0 \left(\frac{\Theta}{\Theta_0}\right)^n$

dla  $\text{CO}_2 \rightarrow$  "powietrze" :  $n = 1.97$

$\text{H}_2 \rightarrow$  " " :  $n = 1.76$

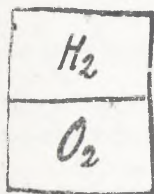
$\text{CO}_2 \rightarrow \text{N}_2\text{O}$  :  $n = 2.050$ .

Pierwsze pomiary wielkości  $D$  wykonał  
Loschmiat w r. 1870.

Użył on urządzenia, przedstawionego ścisła  
przesuwającego na dwie części, napelnione.

mi dwoma różnymi gazami. Jeżeli

Fig. 37



usuniemy przegrodę (Fig 37) wówczas

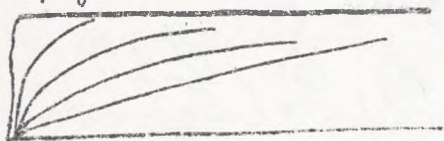
występuje zjawisko dyfuzji

w sposób analogiczny jak prze-

wodzenie ciepła w przegrodzie

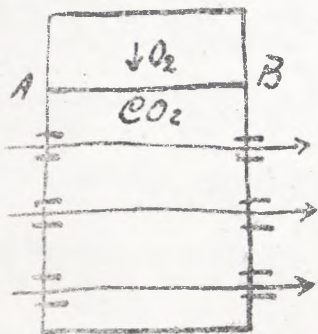
warstw w jednym punkcie. To postę-

porównie dyfuzji w czasie  $t$  przedstawia  
fig: 38.



Łaha Drzywa (fig 38). Przy  
przesuwaniu przegrody  
powstają jednak prądy  
konwekcyjne, nakłócające zjawisko dyfuzji.  
Ilości jednego gazu, który prze-  
dyfundował w pierwszym czasie, określi-  
my do drugiego czasu nosząc obliczyć  
stała  $D$ .

W r. 1882 wyjął Waitz metody  
optycznej. Szczytnie blaszanne (fig: 39)  
fig: 39.



z tworzą parami okienek okrąg-  
łych, naprzemiennie jednym ga-  
zem, słuchany z nacyniskiem  
nawierajacym inny gaz. Je-  
żeli usuniemy ścianę AB,  
wówczas gazy dyfundują. Postępowanie

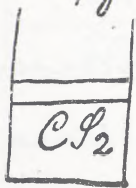


dypfuzji badał przy pomocy refraktometru  
Jaminca. Przepuszczamy mianowicie dwa  
promienie, jeden przez powietrze, drugi  
przez naczynie z gazem. Wskutek róż-  
nicy prędkości światła w powietrzu i gazu  
nie badanym powstaje różnica fazy  
w obu promieniach. Z tej różnicy fazy  
możemy wnosić na zmianę współ-  
czynnika załamania z koncentracją,  
a ztąd na procentowy skład gazu.

O. E. Meyer wnioskował, że  $D$  musi  
zależnie od koncentracji. Mamy bowiem  
 $D = \frac{hc}{3}$ , gdzie  $h$  zależy od liczby drobów  
obu podzajów  $n_1, n_2$ . Przy zmianie  $n$   
zmienia się  $h$ , a więc  $D$  musi być inne  
przed i po dyfuzji. Doświadczenie  
Waitra wykazały słuszność tego

wniośku, inni firmy sprzeciwiali się  
jednak temu

Stefan obliczył D na podstawie pa-  
rowania cieczy. Kurki składane o róż-  
nych szerokościach i wysokościach na-  
pełniał dwusiarczkim węzła. Ciecz  
ta paruje wskutek dyfuzji i powietrze  
maszyna się tem  $CS_2$ . Powstaje linia  
spad koncentracji i z ilości  $CS_2$ , która  
przeddyfundowała moim obliczeni D.  
Ilości przenikającego dwusiarczku  
węzła obliczeni łatwo, obserwując ob-



niemiu poziomu cieczy (fig 40)  
W ten sposób w ogóle odbywa się  
parowanie cieczy. Gdy naczyn-  
nie z cieczą jest otwarte, wówczas  
główną rolę odgrywają prądy konwek-



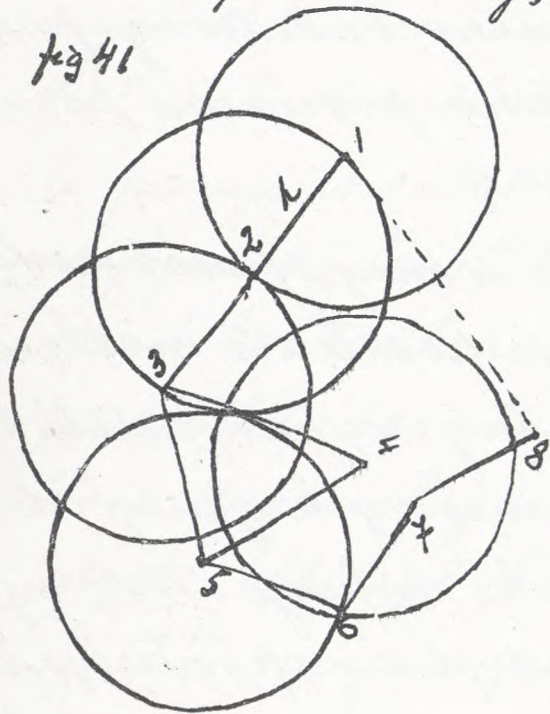
cyjne rozszerzenia, nie wskutek uwarunkowania  
 warstw powietrza, przylegających do poro-  
 słu cieczer powstaje różnica gęstości, która  
 powoduje prądy w powietrzu i przyspiesza  
 proces to parowania. —

Dotychczas badaliśmy prawie  
 dyfuzji na podstawie porównania różnic.  
 Nowego  $\frac{\partial c_1}{\partial t} = D \frac{\partial^2 c_1}{\partial z^2}$ .

Możemy teraz winny sposób posta-  
 pic, mianowicie na podstawie mechaniki,  
 um dyfuzji możemy wyprowadzić róż-  
 nanie całkowe przez co uzyskujemy odmienny  
 pogląd na zjawisko dyfuzji. Weźmy  
 pod uwagę jedną drobinę, poruszającą  
 się z prędkością  $c$ . Między dwoma bar-  
 pośrednimi odległościami tej drobinę  
 k innemu drobinami upływa czas  $\tau = \frac{h}{c}$

Po upływie czasu  $t$  rozjadnie się dro-  
 bina na powierzchni kuli o promieniu  $k$ ,  
 łamię rdzery się z nią drobina, przesunie  
 się równo o drogę  $k$  i. d., przebywając  
 w ten sposób drogę gryznowato (fig. 41)

fig 41



Chodzi nam o drogę  
 (1-8) przebytą w pew-  
 nym dłuższym prze-  
 ciągu czasu wskutek  
 większej ilości rdzereń.  
 Aby tę drogę obliczyć  
 należy uwzględnić  
 prawdopodobieństwo  
 rozkładu kierunku  
 drogi, wykreślić od-

ległości powyższej powrotkowej (1) Drobiny  
 i końcowych i przeliczenia wartości tych

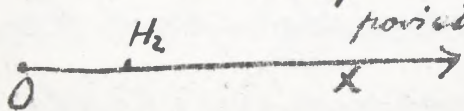


odległości będącej przeciętną długością drogi w danym kierunku. Stan otrzymany:

$$\bar{x} = \sqrt{\frac{4\lambda c}{3\pi}} \cdot \sqrt{t}$$

Gdyby drobina poruszała się po linii prostej, byłoby  $\bar{x} \sim t$ , ponieważ nie porusza się wprostek rdzewień grygnakowato, przytem prawdopodobniejsze są takie rdzewienia, w skutek których Drobina porożci po pewnym czasie do przycygi pierwotnej i, niż by się oddaliła od niej, więc  $\frac{1}{x}$  prawie stosunkowo powoliej  $\sqrt{t}$ , niż przy ruchu prostoliniowym.

Wyobraźmy sobie teraz dwa gazy dyfundujące w kierunku x np: powietrze i  $H_2$ . Mamy do uzyskania z mieszaniną gazów, w której za-  
wartości obu gazów zmie-



nia się z odległością  $x$ , przy 0 mamy skoncentrowany  $H_2$ , im dalej zaś we prawo, tem mniej wodoru zawiera się w powietrzu.

W każdym  $cm^3$  gazu będzie zawarta pewna ilość drobin wodoru o koncentracji określonej przez funkcję  $f(x, t)$ . Wezwijmy powiatkową rozkład koncentracji będzie  $f_0(\xi)$ . Każdy  $cm^3$  będzie stanowił źródło wodoru i na podstawie prawdy podobieństwa z jakim drobiną wodoru będą poruszała dawa drogę, dochodzący do równania:

$$f(x, t) = \frac{\beta}{\sqrt{\pi t}} \int_{-\infty}^{+\infty} f_0(\xi) e^{-\frac{\beta^2(x-\xi)^2}{t}} d\xi.$$

Gdzie  $\beta = \sqrt{\frac{3}{4ck}}$ .

Równanie to określa spadek koncentracji danej mieszaniny, czyli



rozkład gęstości w chwili  $t$ , na podstawie  
 porządku początkowego  $f_0(\xi)$ . Możemy  
 wykazać, że równanie to spełnia waru-  
 nek dyfuzji t.j. że jest:

$$\frac{\partial f}{\partial t} = D \frac{\partial^2 f}{\partial x^2}$$

$$\frac{\partial f(x,t)}{\partial x} = \frac{\beta}{\sqrt{\pi t}} \int_{-\infty}^{+\infty} -\frac{2\beta^2}{t}(x-\xi) e^{-\frac{\beta^2(x-\xi)^2}{t}} f_0(\xi) d\xi$$

$$\begin{aligned} \frac{\partial^2 f(x,t)}{\partial x^2} &= \frac{\beta}{\sqrt{\pi t}} \int_{-\infty}^{+\infty} \frac{4\beta^4}{t^2}(x-\xi)^2 e^{-\frac{\beta^2(x-\xi)^2}{t}} f_0(\xi) d\xi - \\ &- \frac{\beta}{\sqrt{\pi t}} \int_{-\infty}^{+\infty} \frac{2\beta^2}{t} e^{-\frac{\beta^2(x-\xi)^2}{t}} f_0(\xi) d\xi. \end{aligned}$$

$$\begin{aligned} \frac{\partial f(x,t)}{\partial t} &= -\frac{\beta}{2\sqrt{\pi t^3}} \int_{-\infty}^{+\infty} f_0(\xi) e^{-\frac{\beta^2(x-\xi)^2}{t}} d\xi + \\ &+ \frac{\beta}{\sqrt{\pi t}} \int_{-\infty}^{+\infty} \frac{\beta^2(x-\xi)^2}{t^2} e^{-\frac{\beta^2(x-\xi)^2}{t}} f_0(\xi) d\xi \end{aligned}$$

Ma więc być:

$$-\frac{\beta}{2\sqrt{\pi t^3}} \int_{-\infty}^{+\infty} f_0(\xi) e^{-\frac{\beta^2(x-\xi)^2}{t}} d\xi +$$

$$+ \frac{\beta}{\sqrt{\pi t}} \int_{-\infty}^{+\infty} \frac{\beta^2(x-\xi)^2}{t^2} e^{-\frac{\beta^2(x-\xi)^2}{t}} f_0(\xi) d\xi =$$

$$= \mathcal{D} \left[ \frac{\beta}{\sqrt{\pi t}} \cdot \int_{-\infty}^{+\infty} \frac{4\beta^4}{t^2} (x-\xi)^2 e^{-\frac{\beta^2(x-\xi)^2}{t}} f_0(\xi) d\xi - \right.$$

$$\left. - \frac{\beta}{\sqrt{\pi t}} \int_{-\infty}^{+\infty} \frac{2\beta^2}{t} e^{-\frac{\beta^2(x-\xi)^2}{t}} \cdot f_0(\xi) d\xi \right]$$

$$= \frac{\beta}{2\sqrt{\pi t^3}} + \frac{\beta}{\sqrt{\pi t}} \cdot \frac{\beta^2(x-\xi)^2}{t^2} \mathcal{D} \left[ \frac{\beta}{\sqrt{\pi t}} \cdot \frac{4\beta^2}{t^2} (x-\xi)^2 - \frac{\beta}{\sqrt{\pi t}} \frac{2\beta^2}{t} \right]$$

$$= \frac{1}{2t} + \frac{\beta^2(x-\xi)^2}{t^2} \mathcal{D} \left[ \frac{4\beta^4}{t^2} (x-\xi)^2 - \frac{2\beta^2}{t} \right]$$

$$= -t + 2\beta^2(x-\xi)^2 = \mathcal{D} [8\beta^4(x-\xi)^2 - 4\beta^2t]$$

$$\mathcal{D} = \frac{-t + 2\beta^2(x-\xi)^2}{8\beta^4(x-\xi)^2 - 4\beta^2t} = \frac{1}{4\beta^2} \cdot \frac{-t + 2\beta^2(x-\xi)^2}{-t + 2\beta^2(x-\xi)^2}$$

czyli  $\mathcal{D} = \frac{1}{4\beta^2}$

$$\frac{\partial f}{\partial t} = \frac{1}{4\beta^2} \frac{\partial^2 f}{\partial x^2}$$

Rozmiarzy drobinie nr 6

1) Metoda Loschmidta



Żelaz. regeneracyj gaz, to poeratnowo  
wielka jego sielowość coraz bardziej maleje  
w miarę, jak regeneracyj dalej postępuje.

Podobnie przy obniżaniu temperatury cieczy  
objętość jej maleje, gęstość wzrasta, nie  
w nieskończoność jednak, bo w miarę ob-  
niżania coraz bardziej temperatury, gęstość  
cieczy coraz mniej zwiększa się. To regenera-  
cyj można jednak doprowadzić tak  
daleko, aż objętość cieczy będzie mało  
się różnić, od tej, która drobiny cieczy  
zajmują s. z. tak daleko, aby drobiny  
cieczy stykały się ze sobą. Niektóre dro-  
biny będą przestępnie małe, tak, że  
stosunek objętości całkowitej do tej, którą  
zajmują drobiny wynosi mniej więcej  $\frac{3}{2}$ .

Żelaz. promień drobiny wynosi

$\frac{G}{2}$ , to powierzchnia pąka przez  $n_0$  drobin i  $1 \text{ cm}^3$   
bądź  $n_0 \frac{4}{3} \pi (\frac{G}{2})^3$ , zaś objętość całkowita  
 $1 \text{ cm}^3$  ciętych up. rostków białek = 1

$$\text{więc: } n_0 \frac{4}{3} \pi (\frac{G}{2})^3 \cdot \frac{3}{2} = 1$$

$n_0$  oznacza ilość drobin w  $1 \text{ cm}^3$  rostków.

Teraz  $n$  oznacza liczbę drobin w ga-  
zie (w powietru), którego gęstość wynosi:  $0.0013$ ,

$$\text{to: } n : n_0 = 0.0013 : 1$$

$$n = 0.0013 \cdot n_0 = 0.0013 \cdot \frac{2}{3} \cdot \frac{3}{4} \cdot \frac{8}{6^3 \pi} =$$

$$0.0013 \frac{4}{6^3 \pi} = \frac{0.005}{\pi 6^3}$$

$$\text{więc } n = \frac{0.005}{\pi 6^3}$$

$$\text{Wzimy do pomocy wzór: } h = \frac{1}{\sqrt{2} \pi n G^2}$$

mamy dwa równania:

$$n \pi G^3 = 0.005 \quad (a)$$

$$n \pi G^2 = \frac{1}{h \sqrt{2}} \quad (b)$$

$$G = 0.005 h \cdot \sqrt{2}$$

$$h \text{ dla powietrza} = 0.8 \cdot 10^{-5} \text{ cm.}$$



$$\sigma = 0.005 \cdot 0.8 \cdot 10^{-5} \sqrt{2} \text{ cm}$$

$$\sigma = 6 \cdot 10^{-8} \text{ cm}$$

$$n = \frac{1}{\lambda \sqrt{2} \pi \sigma^2} = \frac{1}{1.2 \cdot 10^{-5} \cdot 3.36 \cdot 10^{-16}}$$

$$\left. \begin{array}{l} \lambda \sqrt{2} = 1.2 \cdot 10^{-5} \\ \pi = 3 \\ \sigma = 6 \cdot 10^{-8} \end{array} \right\}$$

$$\underline{n = 10^{19}}$$

Naruceruy u rovnani (a)  $n\sigma^3 = \beta$ , u (b)

paš  $n\sigma^2 = \alpha$  to:

$$\frac{\alpha^3}{\beta^2} = \frac{n^3 \sigma^6}{n^2 \sigma^6} = n$$

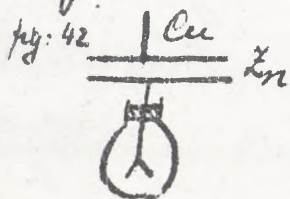
$n = \frac{\alpha^3}{\beta^2}$ , jeli prcto u  $\alpha$  propet, niny bñad, to wystapi on u „n“ u pro. tždre třeciej, podobnie bñad u  $\beta$  wystapi u potždre drugiej, to paš vpty. na bardro na wynik n.

2) Jwi Faraday prborat dojič do granicy podrielnosti materyi. On otrymal naroterhž žlota gruboši 5.10<sup>7</sup> cm. Luni jak Plateau i Sokuche otryma.

li bawki mydlanej grubości  $5 \cdot 10^{-6}$  cm,  
 Fischer zaś osiągnął  $5 \cdot 10^7$  cm grubości  
 warstwy oliwy i kwasu siarkowego na  
 rtęci. Wielkości te przed  $10^{-6}$  są górna  
 granica dla porównań drobni.

3) Kelvin obliczył porównań drobni  
 w sposób teoretyczny na podstawie zja-  
 wiiska elektryczności rełkwijsia (Kon-  
 tanelektrixität).

Jeżeli rełkwijsy cynk (Zn) z mie-  
 dzią (Cu) powstanie różnica potencya-  
 łów  $V$ . Gdy Cu odjmiemy od Zn,  
 wówczas ładunek elektryczny, roz-  
 chodzi się po elektroscopie, z łaczo-  
 nym z Zn. (fig 42). Ładunek ten



$Q = \frac{V}{F}$  jest praczem dla  
 uciatych  $\delta$  (odległości Zn i Cu)



W przewodniku prąd przepływa energią elektryczną, która w Kelwin porównuje z energią spalania różnych materiałów i dostaje wielkości  $10^2 - 10^3$  cal. gr. na 1 gr. materiału. Jeżeli utworzymy cały stos tych Zn i Cu, wówczas kładąc powierzchnię odgrzewania, jaka pojedynczo płyty Zn i Cu posiadała tę samą energię, ~~stos~~ więc zapas energii stosu będzie porównany w stosunku do powierzchni tych płyt i odwrócić do ich grubości, bo im cieńsze są te płyty, tym więcej ich jest w stosie danym, tym większa powierzchnia ich, a więc i zapas energii.

Gdyby ilość tych płyt w stosie rosła a więc grubość malała, energia elektryczna rosłaby. Ponieważ energia

elektryczna pojemność wzdłuż  $\infty$ , przeto grubości płyt może ualeć tylko do pewnej granicy.

Na tej podstawie obliczył Helmholtz minimum grubości  $\delta$ , czyli rozmiar drobni i otrzymał wielkość rzędu  $10^{-8}$  cm.

4.) Metoda przynosi pary nasyconej.

Jeżeli weźmiemy pod uwagę kroplę cieczy i płaską powierzchnię cieczy, to prędkość pary w otoczeniu kropki jest mniejsza, niż nad powierzchnią płaską, bo w pierścieniu parcie napiecie włośkowate przyspiesza parowanie. Różnicę prędkości nad płaską powierzchnią i nad kropką nazwijmy  $p$

$p = P - \alpha \cdot \frac{\delta}{d \cdot r}$ , gdzie  $P$  - prędkość nad powierzchnią płaską,  $\alpha$  - stała włośkowatości;



$\delta$  = gęstość pary,  $d$  = gęstość cieczy,  $r$  = prom.  
 uciei kropli. -

Im mniejsze  $r$ , tem większy doświadczenia przemi-  
 uciei pary pochodzący ze zjawiska wosko-  
 ratości. Najmniejszych możliwych promień  
 kulki będzie wtedy, gdy  $p = a$ , bo wtedy  
 całkowite ciśnienie  $P$  pary jest spo-  
 wodowane zjawiskiem woskoratości -  
 to  $r_0$  określi więc nam kierujemy drobnie.

$$P = \frac{\alpha \delta}{d r_0} ; r_0 = \frac{\alpha \delta}{P \cdot d}$$

np. dla wody  $\alpha = 80$ ,  $d = 1$   $P = 10^6$  (norm. ciśn.)

$$\delta = 0.006$$

$$r_0 = \frac{80 \cdot 0.006}{10^6} = 10^{-8} \text{ cm}$$

## V. Metoda Hägera

Jeżeli krople cieczy spadają na  
 powierzchnię jakiejś płaskiej i twardo-

więc uśredniająca się, wówczas rozpryskują  
się na mniejsze kropelki. Przytem roz-  
pryskiwaniem się powiększa się powierzchnia  
pierwotnych kropeł, zostaje więc wyko-  
nana praca przeciw siłom włośkowa-  
ności, które starają się zmniejszyć ją  
najbardziej powierzeniem dalszym kropeł.

Praca ta zostaje wykonana kosztem  
energii kinetycznej wpadającej kropli;  
tak, że energia kinetyczna kropeł  
powstałych jest mniejsza niż wpada-  
jącej. Te mniejsze kropelki mogą  
się dalej rozdzielić i będą się tak dłu-  
go rozdzielać, dopóki zapas energii  
kinetycznej będzie większy niż siły włoś-  
kowości; jest więc granica rozdzielenia  
materji i z tego warunku wynika



minimalny promień obliczyć.

Wodług Jägera  $\rho = 5 \cdot 10^{-8}$  cm.

II. Stała  $b$  z równania Van der Waalsa  
porównaję porównanej objętości zajętej przez  
drobiny:

$$b = 4 \cdot \frac{4}{3} \left(\frac{\sigma}{2}\right)^3 \pi \cdot n$$

$$b = \frac{2}{3} \sigma^3 \pi n$$

Tę stałą  $b$  możemy obliczyć przez obser-  
wację objętości, zajmowanej przez gaz  
w punkcie krytycznym, mianowicie:

$$b = \frac{v_k}{3} \text{ dla powietrza } b = 0.00387$$

Porównując następnie powyższe równa-  
nie z wzorem na  $b$ , otrzymujemy  $\sigma$

$$b = \frac{2}{3} \pi \sigma^3 n$$

$$h = \frac{1}{\sqrt{2} n \pi \sigma^2}, \quad \sigma = \frac{b h \sqrt{2}}{2}$$

Dla powietrza  $\sigma = 5 \cdot 10^{-8}$  cm

" CO<sub>2</sub>  $\sigma = 8 \cdot 10^{-8}$  "

" H<sub>2</sub>  $\sigma = 88 \cdot 10^{-8}$  "

### VII Metoda elektryczna.

Według teorii Clausiusa i Mossa, tego przewodzącej kulki w powietrzu wacuum porównywane stanowi ośrodek, którego stała dielektryczności  $k$  równa jest  $2g$ , przerywista objętością kulek w tej objętości porównaniu:

$$k = \frac{1+2g}{1-g} \quad \text{stad } g = \frac{k-1}{k+2}$$

Clausius wyciął, że to  $g$  mierzy od objętości dielektryka (gazu), co przerywicie się sprawdza. Przekład porównanie tej wielkości z wzorem  $k = \frac{1}{\sqrt{2} \cdot n \cdot \pi \sigma^2}$  otrzymujemy  $\sigma$ , które wynosi: według Douma:

dla powietrza  $\sigma = 1.6 \cdot 10^{-8} \text{ cm}$

"  $\text{H}_2$   $\sigma = 1.4 \cdot 10^{-8} \text{ "}$

"  $\text{CH}_4$   $\sigma = 2.3 \cdot 10^{-8} \text{ "}$

"  $\text{H}_2\text{SO}_4$   $\sigma = 6.9 \cdot 10^{-8} \text{ "}$



Wyniki te niemają jednak znaczenia, bo  
różnicę, że drobiny gazu są kulkami prze-  
wodzącymi, jest mylnie.

Jeżeli bowiem zamierzamy dwie pły-  
ty o potencyalach  $V$  i  $0$  i ratorymy,  
że kulki są przewodzące, a więc ruch  
ich stanowi będzie elektryczny prąd,  
to otrzymamy na przewodnictwo elek-  
tryczne ( $K'$ ) wartości bardzo wielkie.

Pojemność drobiny s. promień  $= \frac{r}{2}$ ,  
różnica potencjałów  $V$ , więc ładunek  
jednej drobiny wynosi  $\frac{Q}{2} V$ . Pytamy  
o ilość elektryczności transportowanej  
w sek. przez  $1 \text{ cm}^2$ ?

Istotną właściwością  $G(x)$  transporto-  
wanej przez drobinę w sek przez  $1 \text{ cm}^2$   
wynosi jak wiemy:  $\frac{ncv}{3} \frac{dQ}{dx}$

$$\frac{\sigma}{2} \cdot V = G, \text{ więc prąd } I = \frac{n \cdot e \cdot h}{3} \cdot \frac{\sigma}{2} \cdot \frac{\partial V}{\partial z}$$

$$\text{Według prawa Ohma } I = k' \frac{\partial V}{\partial z}$$

$k'$  = przewodnictwo elektryczne.

$$\frac{c \cdot n \cdot m \cdot h}{3} = \mu, \quad k' = \frac{\mu \sigma}{2 m}$$

dla powietrza: w  $1 \text{ cm}^3$  jest:  $n = 4 \cdot 10^{19}$  drobin, ponieważ

ważenie  $n \cdot m = \rho$ , więc masa jednej drobiny będzie:

$$\frac{\rho \text{ powietrza}}{4 \cdot 10^{19}} = m = 3 \cdot 10^{-23}$$

$$\sigma = 4 \cdot 10^{-8} \quad \mu = 0.0017$$

$$k' = \frac{0.0017 \cdot 4 \cdot 10^{-8}}{2 \cdot 3 \cdot 10^{-23}} = \frac{0.0017}{6} \cdot 10^{15} = 0.001 \cdot 10^{15} = 10^{12} \text{ (es)}$$

(es) = jednostka elektrostetyczna

(em) = " elektromagnetyczna

$$1 \text{ es} = \frac{1}{3 \cdot 10^9} \text{ (em)} = \frac{1}{3 \cdot 10^9} \text{ Amperów}$$

$$\text{więc } k' \cdot 10^{12} \text{ (es)} = \frac{10}{3} \cdot 10 \text{ (em)} = 30 \text{ (em)} = 300 \text{ Amperów}$$

Więc przewodnictwo wyprawa  $k$  razy.  
Kierunek przewodzących kulok zbyt wielkie,  
widocznie rażenie nie jest błędne.

Według Maxwella  $k = n^2$ , gdzie



n jest współczynnikiem załamania danego  
środkła. Jeżeli obliczymy  $g = \frac{n^2 - 1}{n^2 + 2}$ , i do-  
ładamy warunek  $h = \frac{1}{\sqrt{2} n \pi b^2}$  otrzymamy  
porównujemy te same liczby na  $\sigma$

### VIII Metody optyczne

Moiemy pomiary drobin obliczyć  
przy znajomości granicy widzialności ciałek  
materii.

Według Helmholtza pamięć widzieli  
poniżej granicy  $2 \cdot 10^{-4}$  cm tj. około pół dłu-  
gości fali świetlnej. [ $\lambda = 400 \cdot 10^{-7}$  cm dla barwy fioletowej]

Według Sigmonda i Seidenhoffa pamięć wy-  
kazuje widzieli drobinę o mniejszych roz-  
miarach (mianowicie  $10^{-6}$ ), niż twierdził  
Helmholtz, ale struktury pamięć  
porównać. Jeżeli np. srebro, zawierające  
drobne cząsteczki płota, oświetlany i

obserwowany na ciemnym tle, wówczas  
miejemy obliczyć dokładnie ilość cząstek,  
które przedstawiają się, jako jasne pa-  
maxane plamy. Z ilości tych drobni-  
i masy ciała w erale (masę tę obliczyć można  
na drodze chemizmu) otrzymujemy por-  
miary drobni.

### Metoda Rayleigha :

Niebieska barwa nieba tłumaczy  
Rayleigh jako barwę środka mglistego.  
Takiem środkiem jest np. mleko wstrząśnięte  
drobnych kropelek tłuszczu. Środek  
mglisty, obserwowany na tle ciemnym  
wydaje się niebieski, na jasnym zaś  
czerwony. Barwa ta powstaje wskutek  
uginania światła na owych kroplach.  
Jeżeli te kroplecki mają wymiary równe,



lub mniejsze od długości fal świetlnych,  
następuje rozpraszanie światła.

Krótsze fale, a więc niebieskie wspanu-  
tęgię rozpraszają się na boki, dłuższe  
pró przechodzą przez środek.

Wspanu tego środka będzie ten  
mętniejszy, im krótsze fale na niego pa-  
dają, wtedy bowiem ten mniejsza ich  
ilość przechodzi przez ten środek,  
reszta zostaje absorbowana.

Natężenie światła maleje wskutek  
absorbeyi w stosunku  $I = I_0 e^{-kx}$ , gdzie  
 $k$ : współczynnik absorbeyi.

Na  $k$  otrzymujemy wzór:

$$k = \frac{32}{3} \pi^3 n T^2 \frac{\epsilon^2}{\lambda^4} \text{ gdzie } n = \text{ilość drobin,}$$

$\epsilon$ : współczynnik pochłaniania drobin względem  
światła,  $\lambda$ : długość fal świetlnych,  $T$ : objętość

Łość drobni.

Wzór ten można napisać także w formie:

$$h = \frac{32}{4\pi} \pi \cdot \frac{3(\mu-1)^2}{\lambda^2}$$
, gdzie  $\mu$  - współczynnik  
refrakcji ośrodka mętnego względem próżni.  
Zereli przyjmujemy, że wielkość nieba  
pochodni od drobni gazu, acieronych  
w próżni, to możemy wrót powyższy stosować  
do obliczenia ilości drobni  $n$ . Trudności  
polega na obliczeniu  $h$ , bo najbliższe  
rachunkowe nieba pochodni pewian  
tego  $h$ . Rayleigh wnosil, że  $n > 7 \cdot 10^{18}$  więc  
bardzo bliskie wartości przyjmowanej  
obecnie są dokładna:  $n = 4 \cdot 10^{19}$ . —

Łacna wrót na  $h$  ze wzorem  $h = \frac{1}{\sqrt{2} \pi \pi \sigma^2}$   
otrzymujemy  $G$ .

IX Metoda przewodnictwa elektrolitów  
Ładunek jednego jonu wodoru



wędkujarego podczas elektrolyzy wynosi:

$$e = 3 \cdot 10^{-10} \text{ (es)}$$

W polu elektrycznym o natężeniu  $f$  tworzący jon Drifańska siły:  $e f$ . Prędkości nabyta przez jony musi się równoważyć z siłą elektryczną i siłą tarcia, którego jony doświadczają w danym ośrodku. To tarcie w porównaniu z ilością transportowanej substancji jest tem większe, im mniejsze rozmiary jonów.

W tej mierze na tej podstawie obliczyć rozmiary drobin.

### X. Teoria elektronów:

Metoda mgły l.j. kondensacji pary wodnej na elektronach obliczono ładunek  $e$ , który według Thomsona wynosi:

$$e = 3.4 \cdot 10^{-10} \text{ (es)}, \text{ według Thomsona } e = 3.1 \cdot 10^{-10} \text{ (es)}$$

czy przeciętnie  $e = 3.2 \cdot 10^{-10} \text{ (es)}$

Wiemy dalej, że 1gr. pierwiastka jednowartościowego  
np wodoru transportuje: 96540 Coulombów, czyli  
 $9654 \text{ (cm)} = 9654 \cdot 3 \cdot 10^{10} \text{ (es)}$

v. g. = m ilości gramów, biorąc  $v = 1 \text{ cm}^3$

$$\rho_{H_2} = 0.00008952, \quad m = 1 \text{ g}$$

wieś ładunek transportowany przez jony  
kawarte w  $1 \text{ cm}^3$  wynosi:

$$E_{1 \text{ cm}^3} = 9654 \cdot 3 \cdot 10^{10} \rho = 9654 \cdot 3 \cdot 10^{10} \cdot 0.00008952$$

ale  $E_{1 \text{ cm}^3} = Ne$ , gdzie  $N$  = ilość jonów, czyli atomów

$$\text{więc } N = \frac{E_{1 \text{ cm}^3}}{e} = \frac{9654 \cdot 3 \cdot 10^{10} \cdot 0.00008952}{3 \cdot 2 \cdot 10^{-10}}$$

1 drobiną wodoru składa się z dwóch ato-  
mów, dlatego więc  $N$  przez 2 otrzymamy  
 $n$  = ilość Drobini.

$$n = \frac{9654 \cdot 3 \cdot 10^{10} \cdot 8.952 \cdot 10^{-5}}{2 \cdot 3 \cdot 2 \cdot 10^{-10}} = 4 \cdot 10^{19}$$

Ilość drobin wodoru w  $1 \text{ cm}^3$  wynosi więc  
 $4 \cdot 10^{19}$  - Taka sama jest ilość drobin dla  
jakiegobądź gazu, bo według prawa



Avogadrovy vszystkie gazy przy tem samym  
cisnieniu i tej samej temperatury maja  
tę ilosc drobin. Metoda ta jest naj-  
lepsza. Racyonalnie bytoby przyjac  
 $n = 4 \cdot 10^{19}$  i potem obliczyc porownany dro-  
bin

Jeans (cytuj. Dins) porównał rezul-  
taty powyższych metod i starał się na tej  
podstawie poprawić wzory na  $h, \mu, \kappa$  <sup>(2)</sup>

On uwzględnia dajność drobin  
do rachowania prędkości swej co do wiel-  
kości i kierunku. Mysimy bowiem ra-  
kładał, że wielkość i kierunek drobin  
są całkiem niezależne, tymczasem moi-  
ła dowiesć, że drobina mająca daną  
prędkość, przy xderzeniu się zmienia  
tę prędkość, jednak większe jest

prawdopodobieństwo, że zachowa swój  
kierunek pierwotny, niż, że uabędzie  
prędkości przeciwny. Tę dąiność do za-  
chowania prędkości nazywa Jeanus  
persistency. Na podstawie tej poprawki  
osterymuje on wzory, które prawdopo-  
dobnie są dokładniejsze od poprzednich.

$$h = \frac{1.255}{\sqrt{2} \cdot \pi \cdot 6^2}$$

$$\mu = 0.35. \rho \cdot h$$

$$k = 1.6027 C_0 \mu$$

$$D = 1.34 \cdot \frac{\mu}{\rho}$$

Na podstawie tych wzorów obliczone róż-  
nymi metodami  $\sigma$  i  $n$  są zgodne ze sobą.

dla  $H_2$        $\sigma = 2.03 \cdot 10^{-8}$  cm

" powietra       $\sigma = 2.84 \cdot 10^{-8}$  "

" Helium       $\sigma = 1.87 \cdot 10^{-8}$  "



dla $H_2O$	$\sigma = 3.29.10^{-8} \text{ cm}$
" Argonu	$\sigma = 2.79.10^{-8} \text{ "}$
" $CO_2$	$\sigma = 3.36.10^{-8} \text{ "}$
" $CH_3Cl$	$\sigma = 4.68.10^{-8} \text{ "}$
" $Cl_2$	$\sigma = 4.11.10^{-8} \text{ "}$

Rezultaty teoryi kinetycznej ulegadają się w wyniki teoryi promieniowania.

Planck, który na podstawie teoryi elektrodynamicznej obliczył gęstość promieniowania w widmie ciała idealnie czarnego, otrzymał na ładunek elektryczny  $(e)$  i liczbę  $n$  wartości, równe od podanych w metodzie 8.

$$\text{Mianowicie: } e = 4.69.10^{-10}$$

$$n = 2.76.10^{19}$$

Jednak zdaje się, że teoria Plancka opiera się na chwiejnych podstawach. —

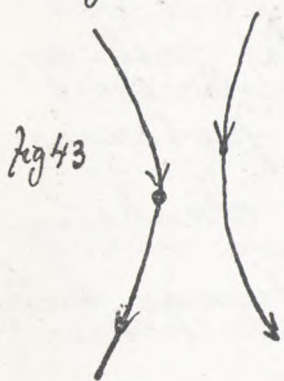
## Ścisłejszy sposób wyprowadzenia prawa Maxwella dla rozkładu prędkości drobin.

Zasadnicze założenie w tym wywodzie Maxwella jest to, że w ruchu systemu drobin gazu, będącego w stanie statycznym, musi się z czasem ustanowić równowaga. Jeżeli zatem temperatura w różnych częściach gazu jest różna, to musi jakaś wielkość (mianowicie entropia) zmieniać się tak długo, aż w gazie ustanowi się stan precyzyjnie wyrównany.

Chodzi jeszcze o najwzajemniejszą zależność w tym rozważaniu, mianowicie o wpływ odderwania się drobin. Drobinę są, według założenia, punktami materialnymi i wywierają na siebie siły odpychające,



które są funkcją odstępów. Wskutek tych  
sił drobiny wychylają się ze swych dróg  
(fig 43) zaś po upływie pewnego czasu



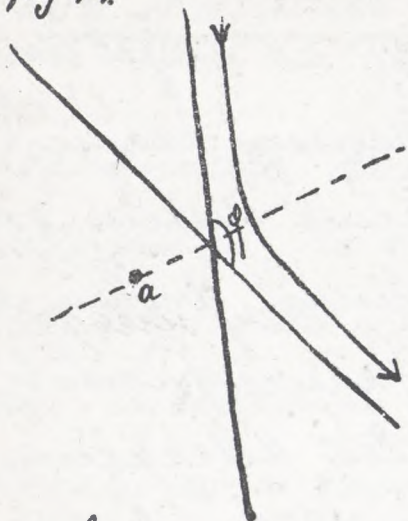
przy dostatecznie dużym odsta-  
leńiu krajeńcu drobiny, dro-  
gi te będą prawie prostoli-  
niowe. Skutek przesunięcia

ralegi od względnych przed-  
kości drobiny, ułożony wiesz

przekład, że jedna z tych drobin (a) jest  
nieruchoma, druga zaś przybliży się  
do niej z prędkością równą sumie  
geometrycznej obu składowych przed-  
kości. Drobiną nieruchomą będzie  
równoległa linia przynajmniej płaska  
(\* przynajmniej przystosowanej prędkości  
obie drobiny), oddalając się asympt

tolycenie od nieruchomej drobniny (fig 44)

fig 44.

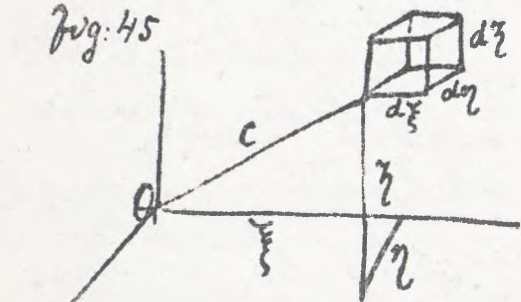


Wykreślona posiada dwie asymptoty, względem których drobina odpychająca (stała) jest symetryczna po stronie. Odchylenie drobniny od poprzedniego kierunku oznaczamy kątem  $\varphi$ .

Wytężymy w górze kostkę elementarną i uicich w niej zawierają

bardzo dużo drobin, mających wszelkie możliwe prędkości. Gęstości i temperatura uicich

fig: 45



będą w całej kostce (fig 45) jednakowe. Przedstawiając graficznie rozkład prędkości

...



drobin w danej kostce, musielibyśmy  
 wykreślić nieskończenie wiele prostych  
 z punktu  $Q$  - te proste przedstawiały,  
 by nam bezwzględnie wartości tych  
 prędkości. Weźmy jedną z tych prostych:  
 $c^2 = \xi^2 + \eta^2 + \zeta^2$ . Kostka na końcu  $c$  wy-  
 niesłona ma objętość  $dw = d\xi \cdot d\eta \cdot d\zeta$ .

Zakładamy, że liczba drobin mająca  
 prędkości w granicach tej kostki jest  
 proporcjonalna do „ $dw$ ”, czyli prawo-  
 podobieństwo, że drobiny będą miały  
 dane prędkości między  $\xi, \eta, \zeta$  i  $\xi + d\xi,$   
 $\eta + d\eta, \zeta + d\zeta$  będzie:  $f(\xi, \eta, \zeta) dw$ .

Analogicznie prawdopodobieństwo,  
 aby inna drobina miała prędkości w gra-  
 nicach:  $\xi_1, \eta_1, \zeta_1$  i  $\xi_1 + d\xi_1, \eta_1 + d\eta_1, \zeta_1 + d\zeta_1$   
 wynosi  $f(\xi_1, \eta_1, \zeta_1) d\xi_1 d\eta_1 d\zeta_1$ , gdzie

$$d\xi, d\eta, d\zeta = d\omega,$$

Prawdopodobieństwo, aby  $n$  drobin, które bierzymy pod uwagę, jedna miała prędkość w granicach elementu  $d\omega$ ; drugą zaś w  $d\omega_1$ , jest:

$$f(\xi, \eta, \zeta) f(\xi_1, \eta_1, \zeta_1) d\omega \cdot d\omega_1$$

To prawdopodobieństwo odpowiada różnicy liczb par drobin, mających ten określony przedział. Pewna część z tych drobin spotyka się w jednostce czasu ze sobą, zmieniając swe prędkości po przecięciu na inne pod względem wielkości i kierunku. Prędkości pewnie zmieniają się więc wskutek kolizji wzajemnych drobin. Wzrostem więc drobin, posiadających przed udarciem daną prędkość  $\xi, \eta, \zeta$  otrzymamy, jeżeli



obliczymy wrysunki kolizyj drobni tego podraju ze wrysunkami imenidrobni.

Przedstawmy sobie graficznie proces kolizyj drobni o prędkościach  $\xi, \eta, \zeta$  i  $\xi_1, \eta_1, \zeta_1$  i imenidrobni (fig 46)

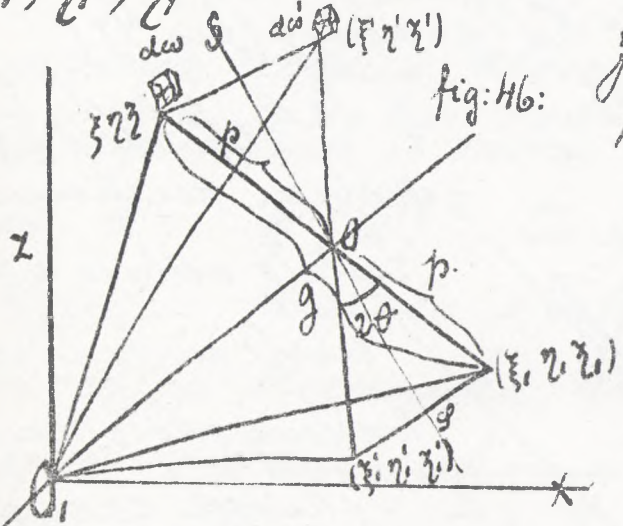
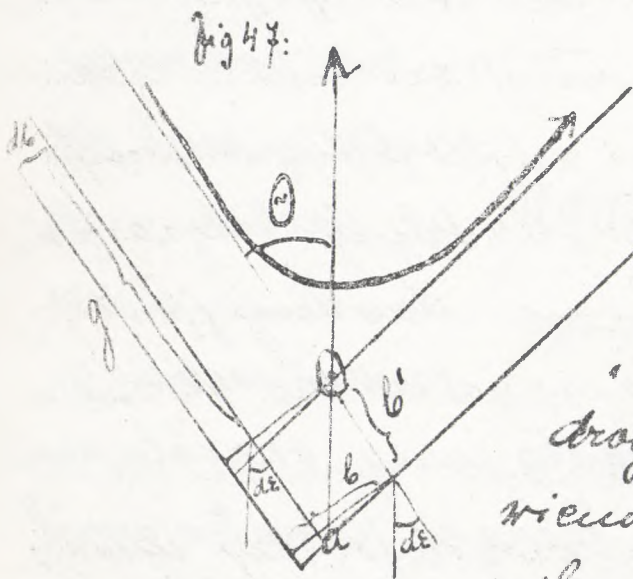


fig: 46: Jeżeli mówimy o skutku kolizyj, to musimy brać pod uwagę względny ruch jednej drobiny względem drugiej t. j. prędkość względną g.

Wielkość prędkości środka masy określa nam w tym parcie prosta łącząca połączony wspólny przednich ze środkiem prostej g. Wzrost względem prędkości drobni obu względem

Środek masy  $O$  wynosi  $p = p_1 = \frac{g}{2}$ .

Wzimy pod uwagę względny ruch dwóch biał względem siebie. Od porzyci ich w prostoliniowej kalibrze efekt spotkania. Siła, jaka jedena drobina na drugą wywierana jest centralna, więc ruch drobiny jest symetryczny (odwracalny) (fig 47.)



Przebieg przedstawia się tak, jak gdyby drobina ruchoma została odbita w punkcie  $O$  na kuli, wykreślonej około punktu „a”, wzniesienia czego droga jej domagała kalibrze, wiewa o kąt  $2\theta$ . Wznieśnięciem tej kalibrze jest

kulica przelotowa  $\xi, \eta, \zeta$  na przelotowi  $\xi', \eta', \zeta'$  (patrz fig 46).



Też kąć  $\Theta$  można obliczyć na podstawie  
 praw mechaniki. Jeżeli siła odpychająca  
 jest:  $f = \frac{k}{r^n}$ , to według mechaniki  
 otrzymujemy wzór na kąt  $\Theta$ :

$$\Theta = \int_0^{\infty} \frac{de}{\sqrt{1 - e^2 - \frac{2}{n} \left(\frac{e}{a}\right)^n}},$$

gdzie  $e$  jest  
 prędkość według której całkujemy,  
 $n =$  wykładnik w wzorze na siłę  $f$ .

zas'  $a = b \cdot \left(\frac{g^2}{k}\right)^{\frac{1}{n}}$ , tu  $g$  oznacza prędkość  
 względna,  $k =$  stała w siły odpychania  $f$ ,  
 $b =$  odstęp kierunku drobin zbliżają-  
 cej się od nieruchomej drobin (fig 44)

Wzrę według powyższego wzoru można  
 kąt  $\Theta$  obliczyć.

Uważając dwie drobin mają-  
 ce prędkości  $c$  i  $c_2$ , posiadają  
 orientacyę względna, która określa

nam wielkości  $b$ . Rozpatrujemy więc Drobki, którym odpowiada położenie migodzy  $b$  i  $b+db$ . Wykreślimy w tym celu walec ośroł  $g$  jako osi o długości  $g$ . O bok wielkości  $g$  i  $b$  musi być dany kąt  $\varepsilon$  uachylecia piaszyny w której porusza się drobina do piaszyny tablicy. -

Objętości walec będzie:  $g \cdot b \cdot db \cdot dr$  (fig. 48).



$g$  - wysokości walec, gdy ilość drobin w tem jest  $n$ , to w całym walec będzie ich:  $g \cdot b \cdot db \cdot n$ .

Liczbę pderweii w tem par drobin tego rodzaju, że mają one prędkości  $\xi \eta \zeta, \xi_2 \eta_2 \zeta_2$ , zaś przez pderweenie zmieniają je na inne, wywo. si:  $f(\xi, \eta, \zeta) \cdot f_2(\xi_2, \eta_2, \zeta_2)$  des des,  $ng \cdot b \cdot db \cdot dr$



Wobec tego możemy f. f. d. w. d. w. przedstawia jak  
wyżej powiedzieliśmy liczbę par drobin,  
mających prędkości  $C$  i  $C_1$ , z tych par  
par drobin tylko ten procent koliduje  
ze sobą, który wpada w uwariany walec  
elementarny:  $b_0 d b d n$ .

Wykreślmy kierunek osi symetrii  
 $OJ$  ruchu uwarianych drobin i prucimy  
na tę oś prędkości względem drobin  
względem środka masy (patrz fig 46.).

Przy odwróceniu nie prucenia osi  
składowe prostopadłe do  $OJ$  i otrzy-  
myjemy ruch o  $2\theta$  odchyłony od pier-  
wotnego. Jeżeli połączymy początek  
współrzędnych z końcem prędkości  
względnych, mamy prędkość prosto-  
krotną (fig 46.). —

Jeżeli teraz wrysztui drobiny  $n$  dw, roz-  
mienny w wrysztkich kombinacyach.

Ab i de i zcałkujemy, otrzymamy ilość  
pderreu drobin o prędkości  $c$  i inne,  
mi drobinaui no sekunde. Ta ilość  
pderreu określa ubytek drobin po-  
siadających prędkości  $c$ . Liczba drobin  
o takiej prędkości jest  $f_{dw}$ , a uby-  
tek tej liczby pderreas jednostki cza-  
su wynosi:

$$-\left(\frac{df}{dt}\right)_{dw} = n \int f_2 dw dw, bdbgdz$$

Proie uwariany sa jeerere tego rodra.  
Ju pderreu  $n$ , i drobiny posiadające  
prędkości inne  $\xi' \eta' \zeta'$ , zai przy rde-  
wreui si otrzymuja prędkości  $\xi \eta \zeta$ ,  
sa to wiec pderreua przeciwnego po-  
draju do poprzednich i wyzazaja przy.



byłoby ilości drobin, posiadających prędkości  $c$   
 wsi  $(\frac{\partial f}{\partial t})_2 dw = n \int f(\xi' \eta' \zeta') f(\xi \eta \zeta) dw' dw, \epsilon' g' db' d\epsilon'$

Różnica  $dw \{ (\frac{\partial f}{\partial t})_2 - [(\frac{\partial f}{\partial t})_1] \} = \frac{\partial f}{\partial t} dw$  przedstawia  
 nadmiar przybytku ponad ubytek drobin  
 o prędkości  $c$ .

$$\frac{\partial f}{\partial t} dw = n \int f' f_1' \epsilon' g' db' d\epsilon' d\eta' d\zeta' dw' dw_1 - n \int f f_1 \epsilon g db d\epsilon d\eta d\zeta dw dw_1$$

Ponieważ ruch jest zupełnie symetryczny, jedna  
 część krzywej jest jakby odbiciem drugiej  
 w rzucie na  $dx$ , więc:  $dw = dw'; dw_1 = dw_1'$

$$g = g'; b = b'; \epsilon = \epsilon'$$

$$\frac{\partial f}{\partial t} dw = n \int [f_1' - f_1] b db g d\epsilon d\eta d\zeta dw$$

Latwo teraz wykazać, że jeżeli raz istnieć,  
 je porządek prędkości według Maxwella,  
 to musi on ciągle trwać. —

wiedząc Maxwella mamy:

$$f(\xi, \eta, \zeta) d\omega = A e^{-\frac{\xi^2 + \eta^2 + \zeta^2}{\alpha^2}} d\omega$$

$$f_1(\xi_1, \eta_1, \zeta_1) d\omega_1 = A e^{-\frac{\xi_1^2 + \eta_1^2 + \zeta_1^2}{\alpha^2}} d\omega_1$$

$$(a) f f_1 d\omega d\omega_1 = A^2 e^{-\frac{\xi^2 + \eta^2 + \zeta^2 + \xi_1^2 + \eta_1^2 + \zeta_1^2}{\alpha^2}} d\omega d\omega_1$$

analogicznie:

$$(b) f' f'_1 d\omega d\omega_1 = A^2 e^{-\frac{\xi'^2 + \eta'^2 + \zeta'^2 + \xi'_1{}^2 + \eta'_1{}^2 + \zeta'_1{}^2}{\alpha^2}} d\omega d\omega_1$$

W wyrażeniach (a) (b) występują w wykładniku sumy kwadratów prędkości przed zdarzeniem, które, jako wiemy są w kwadraku  $\propto$  energia kinetyczna przed i po zdarzeniu.

Ponieważ stosuje się tu prawo zachowania energii, więc energia kinetyczna po zdarzeniu musi być równa energii przed zdarzeniem, czyli:

$$\xi^2 + \eta^2 + \zeta^2 + \xi_1^2 + \eta_1^2 + \zeta_1^2 = \xi'^2 + \eta'^2 + \zeta'^2 + \xi'_1{}^2 + \eta'_1{}^2 + \zeta'_1{}^2$$



W czasie spotkania żadna praca zewnętrzna  
nie zostaje wykonana.

Jżeli więc prawa Maxwella jest warunek,  
musi być  $f f' - f_1 f_1' = 0$ , czyli  $\frac{f}{f_1} = \frac{f'}{f_1'}$ .

O ile jeżeli istnieje układ prędkości  
według Maxwella, to istnieje układ  
ciężniowy z czasem, czyli istnieje równo-  
waga termodynamiczna.

Przez to jednak nie wykarano jeszcze,  
że nadwrot równowaga termodynamiczna  
wymaga stosowania się do prawa Max-  
wella dla układu prędkości i że nie  
można istnieć inne układy.

W tym wypadku chodzi o  
wyszukanie warunku, który musi  
być spełniony, aby układ prę-  
dkości systemu był ciężniowy z czasem.

To jest możliwe oczywiście tylko wtedy,  
 jeżeli prawdopodobieństwo przynależności  
 danej drobinie nie zmienia się wskutek  
 podziału, więc jeżeli liczba podziałów  
 drobin jednej kategorii (t.j. o przedziale  $\Delta x$ )  
 $n$  innymi pozostaje skomponowana przez  
 liczbę podziałów przeciwnego rodzaju (t.j.  
 podziałów, które wytworzą daną przed-  
 kość)

Boltzmann przeprowadza rozwa-  
 żania tyżsame tej kwestyi przy pomo-  
 cy funkcji  $H$ . Funkcję tę określa  
 on jako przeciwny logarytm funkcji  
 $f$ , czyli sumę iloczynów  $f$  i  $\log f$   
 brana dla wszystkich możliwych przed-  
 kości.

$$H = \int_{-\infty}^{+\infty} f \log f \cdot d\omega$$



Wzrosty pochodząca z przedziału czasu:

$$\frac{dH}{dt} = \int_{-\infty}^{+\infty} \frac{\partial f}{\partial t} \log f \, d\omega + \int_{-\infty}^{+\infty} f \cdot \frac{\partial \log f}{\partial t} \, d\omega =$$

$$= \int_{-\infty}^{+\infty} \frac{\partial f}{\partial t} \log f \, d\omega + \int_{-\infty}^{+\infty} \frac{\partial f}{\partial t} \, d\omega$$

$$\text{ale: } \int_{-\infty}^{+\infty} \frac{\partial f}{\partial t} \, d\omega = \frac{\partial}{\partial t} \int_{-\infty}^{+\infty} f \, d\omega$$

$\int_{-\infty}^{+\infty} f \, d\omega = 1$ , bo to jest suma prawdopodobieństw dla wszystkich możliwych prędkości, więc wynosi.

$$\frac{\partial}{\partial t} \int_{-\infty}^{+\infty} f \, d\omega = 0$$

$$\frac{dH}{dt} = \int_{-\infty}^{+\infty} \frac{\partial f}{\partial t} \log f \, d\omega$$

$\frac{\partial f}{\partial t} \, d\omega$  oznacza przyrost ilości drobin, mających prędkości  $\xi, \eta, \zeta$ , przybył ten wynosi:

$$\frac{df}{dt} d\omega = \int_{d\omega_1} [f'f'_1 - ff_1] g db dr$$

całka brana według  $d\omega_1$ ,  $db$ ,  $dr$

$$1) \frac{dH}{dt} = \int_{-\infty}^{+\infty} \frac{df}{dt} \lg f d\omega =$$

$$= \int_{d\omega d\omega_1} \int [f'f'_1 - ff_1] g db dr d\omega d\omega_1, \lg f b$$

całkujemy według  $d\omega_1$ ,  $d\omega$   $dr$   $db$

Boltzmann rozumuje następująco tak:  
 funkcje  $f$ ,  $f_1$ ,  $f'$ ,  $f'_1$  są równoważno-  
 równie, obojętne bowiem jest, która  
 z nich oznacza prawdopodobieństwo  
 dla danego rodzaju drobin, poje-  
 dynie wartości  $\epsilon$  niechodzą, i ra-  
 chubę, bo całkujemy w granicach  
 $-\infty \dots +\infty$ . Można więc pomieszać  
 ze sobą funkcje i zamiast  $\lg f$  wrazić  
 $\lg f_1$ :



$$2) \frac{dH}{dt} = \iint [f'f_1' - ff_1] \log f_2 \, d\omega \, d\omega', d\varepsilon \, g \, db \, b$$

Dodając równania 1) i 2) mamy:

$$\frac{dH}{dt} = \frac{1}{2} \iint [f'f_1' - ff_1] [\log f + \log f_1] \, d\omega \, d\omega', d\varepsilon \, g \, db \, b$$

$$3) \frac{dH}{dt} = \frac{1}{2} \iint [f'f_1' - ff_1] \log f f_2 \, d\omega \, d\omega', d\varepsilon \, g \, db \, b$$

Uwzględniając teraz kolewnia przeciwnego podraju, a więc takie, że z podk. Kosm.  $\xi_1' \eta_1' \zeta_1' \xi' \eta' \zeta'$  powstają uwarane prędkości  $\xi \eta \zeta, \xi_1 \eta_1 \zeta_1$  otrzymujemy przez zmianę kreskowania funkcji i niekreskowaniami:

$$\frac{dH}{dt} = \frac{1}{2} \iint [ff_1 - f'f_1'] \log f f_1' \, d\omega' \, d\omega, d\varepsilon' \, g' \, db' \, b'$$

$d\omega = d\omega' \quad d\omega_1' = d\omega_1 \quad g' = g \quad b' = b \quad \varepsilon' = \varepsilon$

$$4) \frac{dH}{dt} = -\frac{1}{2} \iint [f'f_1' - ff_1] \log f' f_1' \, d\omega \, d\omega', d\varepsilon \, g \, b \, db$$

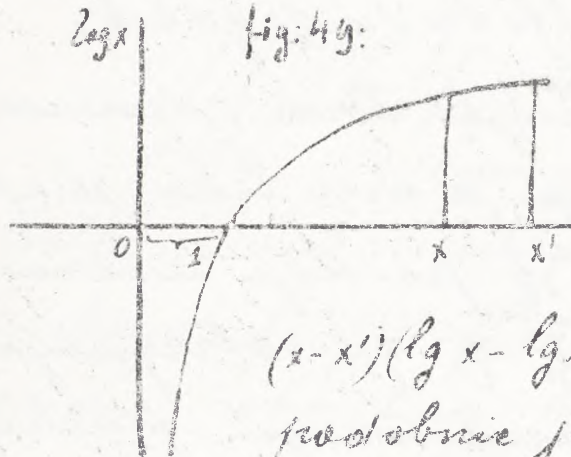
Dodajemy 3 i 4

$$\frac{dH}{dt} = \frac{1}{4} \iint [f'f_1' - ff_1] [\log f f_1 - \log f' f_1'] \, d\omega \, d\omega', b \, g \, db \, d\varepsilon$$

dla skłocenia oznaczony  $f(x, x), f'(x) = x'$

$$\frac{dH}{dt} = -\frac{1}{4} \frac{1}{(x-x')(lg x - lg x')} dxdx, \text{ by } dx > dx'$$

Przedstawimy sobie graficznie krzywą logarytmiczną (fig. 49). Oznaczymy  $x-x'$



ma ten sam znak, co  $lg x - lg x'$ , tak dla  $x > x'$ , jak dla  $x < x'$ .

Wzrost wyrażenia:

$(x-x')(lg x - lg x')$  są stale dodatnie, podobnie jak i suma ich. Stąd

wynika że  $\frac{dH}{dt}$  jest ujemne, albo co najwyżej = 0.

$$\frac{dH}{dt} \leq 0$$

czyli funkcja  $H$  dąży do minimum, którego przekroczenia nie może. Gdy  $H$  ma minimum, wtedy system drobni osiąga stan nierównowagi z czasem, promień



zaś stan taki jest jedynie tylko, a  
 prawo Maxwella dla porządku drobin  
 cymu mu radzisz, stąd wniosek, że  
 prawo Maxwella jest koniecznym wa-  
 runkiem, który musi być spełniony,  
 aby porządek przedkości systemu był  
 niezmienny z czasem.

Funkcja  $H$  ma bowiem minimum,  
 w tej stałej wartości, tylko wtedy, gdy  
 dla wszystkich odciętych drobin spełnia  
 się równanie:

$$ff_2 - f'f'_2 = 0 \text{ bo wtedy } \frac{dH}{dt} = 0$$

$$H = \text{const.}$$

Widzimy jednak przy wprowadzeniu prawa  
 Maxwella, że jeżeli prawo Maxwella ma  
 być warian, musi być  $ff_2 - f'f'_2 = 0$   
 Widzimy więc, że gdy  $H$  maleje, roz.

kład prędkości koniecznie musi się zbli-  
żyć coraz bardziej do prawa Maxwella.  
Najprawdopodobniejszy system będzie  
dla  $H$  minimum, przyciem rozkład pręd-  
kości będzie ściśle odpowiadał prawu  
Maxwella.

Teista analogia istnieje między  
 $H$  i  $S$  entropia systemu izolowanego.  
Jeżeli poźwiemy  $S = -H$  albo  $S = A - H$ ,  
gdzie  $A$  jest jakąś stałą wielkością, to  
widzimy, że warunek  $\frac{dH}{dt} \leq 0$  jest równo-  
czesnie warunkiem  $\frac{dS}{dt} \geq 0$ .

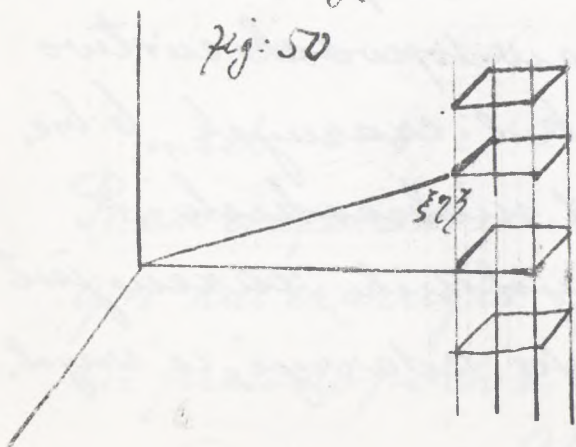
Według Boltzmana i Lorentza  
funkcja  $H$  porostaje w ściśleym zwiar-  
ku z entropią  $S$  ( $H = -S$ ).

Nim wyproadrimy zwiarek  $H$ - $S$   
pokazemy, że funkcja  $H$  określa



prawdopodobieństwo rozkładu prędkości  
drobin.

Wyobraźmy sobie w danej chwili  
układ drobin wraz z ich prędkościami  
odpowiedziemi przedstawiony graficznie.  
System ten jest pod względem prędkości  
nieregularnie ułożony. Podzielmy całą  
prędkość gazu na komórki kostkowe,  
komórki te ułożymy w szeregi z całego  
systemu wyjęte po kolei drobinę rzucamy  
my do komórek, które odpowiadają prę-  
dkościom wyjętych drobin. Rodzaj wyjętej



przez nas drobinę ra-  
leją od przypadku.  
Może się zdarzyć, że  
wszystkie wyjęte dro-  
biny (Fig. 50) będą

wyrzucił do jednej komórki to zna-  
czy będą posiadały tę samą prędkość  
pod względem wielkości i kierunku  
Ten jednak wypadek jest bardzo  
mało prawdopodobny. Najprawdo-  
podobniej wyrzucił na karku ko-  
mórki kilka drobni. —

Dla łatwiejszego przymiślenia we-  
my przykład. Mamy 4 urny równie  
wiele kul białych, czerwonych, żółtych  
czarnych i t. d. i to w takiej ilości, że  
wyjęcie jednej z nich niesprawia różni-  
cy. Pytamy o prawdopodobieństwo  
wyciągnięcia a kul czerwonych, b bia-  
łych, c żółtych, d niebieskich: —

Ciążenie wyrzutek parem jest  
 $a + b + c + d$ . Może się zdarzyć, że wyrz.



kie prarne wyciągniemy. Prawdopo-  
dobniejsza jest, że wyciągniemy równą  
ilość białych i czarnych, najprawdopo-  
dobniejsza zaś, że wszystkie sztuki po-  
drze kul.

Wyciągnięte kule możemy ustawić  
według barwy w następujące kombin-  
wacje.

(A.)	$cr_1, cr_2, cr_3, cr_4, cr_5, cr_6$	(a+b+c+d = kul czarnych)
	$br_1, br_2, br_3, br_4, br_5$	
	$cr, b, cr, cr, cr, cr$	
	$cr, cr, b, cr, cr, cr$	
	$cr, cr, cr, b, cr, cr$	

$$\text{mich } a+b+c+d = 9$$

Prawdopodobieństwo wyciągnięcia  
 $9-1$  kul czarnych a 1. białej jest. Wskre-  
nie prawdopodobieństwo wyciągnięcia

q kul czerwonych z tego względu, że liczba kombinacji a więc wypadków sprzyjających, jak to widać z powyższego szeregu (A), w których jest jedna biała a reszta czerwonych jest większa niż liczba kombinacji z samych czerwonych.

Sprzyjający wypadek jest każdy wypadek, gdzie jest 1 biała u  $(q-1)$  czerwonych, i ilość tych sprzyjających wypadków wynosi tyle ile jest permutacji z liczb  $q = a + b + c + d$  a więc  $(a + b + c + d)!$  Przytem indywidualności każdej czerwonej kuli (t.j. czy to jest  $cr_1$ , czy  $cr_2$ ) jest objęta. Ilość więc wszystkich permutacji  $(a + b + c + d)!$  należy podzielić przez ilość permutacji z czerwonych kul, których jest  $a!$  - Podobnie dla liczby  $b, c, d$  itd.



Mając  $\frac{(a+b+c+d)!}{a!b!c!d!}$  oznacza liczbę permutacji  
 par, których uwzględniono podraj bar.  
 wy  $n$  pominięciem indywidualności  
 każdej kuli. Ta liczba permutacji  
 wskazuje, ile par prawdopodobieństwa  
 wyciągnięcia kombinacji:  $a$  - czerwonych,  
 $b$  - białych,  $c$  - żółtych,  $d$  - niebieskich  
 kul, jest większe, niż prawdopodo-  
 bieństwo kombinacji, w której wystąpi-  
 łyby same czerwone kule w ilości  $a+b+c+d$

Jeżeli teraz w wszystkich drobin  
 w tem<sup>3</sup> branych pod uwagę jest  
 $n = n_1 + n_2 + \dots + n_n$ , gdzie  $n_s$  oznacza  
 ilość drobin mających przedkości  
 $\xi_s, \eta_s, \zeta_s$ , to prawdopodobieństwo  
 $W$ , że porządek Drobin w komór-  
 kach będzie taki, w następującej

wyprowadzić  $n_1$  drobin, na drugą komórkę  $n_2$  i t.d. będzie w porównaniu z prawdo-  
podobieństwem, że wszystkie drobinę  
przepradną na 1. komórkę, więc

$$\frac{(n_1 + n_2 + \dots + n_n)!}{n_1! n_2! n_3! \dots n_n!} \text{ tyle razy.}$$

$$W = \frac{(n_1 + n_2 + \dots + n_n)}{n_1! n_2! \dots n_n!}$$

$$\text{gdzie } \sum_{s=1}^n n_s = n$$

Z teorii funkcji Twiadon, że  $n! = \sqrt{2\pi n} \left(\frac{n}{e}\right)^n$ , jeżeli  $n$  jest wielką liczbą.

$$\lg W = \frac{1}{2} \lg 2\pi + \frac{1}{2} \lg n + n \lg n - n \lg e -$$

$$- \sum_{s=1}^{s=n} \left[ \frac{1}{2} \lg 2\pi + \frac{1}{2} \lg n_s + n_s \lg n_s - n_s \lg e \right]$$

$$\lg W = \frac{1}{2} \lg 2\pi + \frac{1}{2} \lg n + n \lg n - n - \frac{n}{2} \lg 2\pi - \sum_{s=1}^{s=n} \left[ \frac{1}{2} \lg n_s + n_s \lg n_s \right]$$



Jeżeli  $n$  jest bardzo wielkie, wtedy  $\frac{1}{2} \lg n$  można pominąć w porównaniu z  $n \lg n$ .

Więc:

$$\lg W = \frac{1-n}{2} \lg 2\pi + n \lg n - \sum_{s=1}^n n_s \lg n_s - n + \sum_{s=1}^n n_s$$

ale  $\sum_{s=1}^n n_s = n$ ; więc:

$$\lg W = \frac{1-n}{2} \lg 2\pi + n \lg n - \sum_{s=1}^n n_s \lg n_s$$

Układ, dla którego  $\lg W$  będzie miał wartość maksymalną będzie najbardziej prawdopodobny. Największą zaś wartość osiągnie  $\lg W$  wtedy, jeżeli wielkość odjęta  $\sum_{s=1}^n n_s \lg n_s$  będzie najmniejszą.

Jeżeli komórek będzie nieskończenie wiele (patrz początek tego wywodu), wówczas  $n$  przedstawić liczbę drobną, którą przedłożymy zawarte są w kostce dwu, więc to jest  $f(\xi \eta \zeta) d\omega$ .

$$\text{czyli } \sum n_s \lg n_s = \int f(\xi \eta \zeta) \lg f(\xi \eta \zeta) d\omega$$

Najprawdopodobniejszy układ będzie więc taki, dla którego:  $H = \int f \ln f d\omega$  będzie minimum.

Wskutek zdarzeń wzajemnych drobin to  $H$  będzie prawdopodobnie wciąż obniżał swą wartość z czasem,  $\frac{dH}{dt} \leq 0$ .

Wskutek zdarzeń wszystko będzie dążyć do najprawdopodobniejszego układu t.j. do układu Maxwella, który jest układem ciągle trwającym.

$H$  jest więc w związku z prawdopodobieństwem rozkładu prędkości między drobinami.

[Uwaga! Dowód do tego będzie później dołączony -]  $H = -S + \text{stała}$ .

Więc  $S$  entropia jest w związku



x prawdopodobieństwem porządku prędkości  
drobinowych. W związku z tem jest kwestya  
odwracalności i nieodwracalności zjawisk  
termodynamicznych. Trudno przy przy-  
jęciu sił drobinowych konserwatywnych  
wytlumaczyć możliwość zjawisk nieod-  
wracalnych

Loschmidt czyni parę, że w ta-  
kim parze, gdy siły są konserwatywne,  
nieśialby być również możliwy system  
(świat), w którym weryfikacja postępowania  
łoby wstecz, a więc system o prędkościach  
odjemnych. Boltzmann odpowiedział,  
że świat taki jest możliwy, ale bar-  
dzo mało prawdopodobny.

Możliwe więc jest także zja-  
wisko, że ciało cieplejsze ogrzewałoby

się krótkim zimniejszego. Im większa  
liczba przypadków istnieje, tem większe  
jest prawdopodobieństwo danego zjawis-  
ka.

Wyobraźmy sobie młowi Boltz-  
mannu  $n$   $\text{cm}^3$  tleniarot. Gazy te  
mieszają się ze sobą przez dyfuzję.  
Możliwy jednak jest wypadek taki,  
że cała objętość podzieli się na dwie  
części w stosunku  $\frac{3}{4} : \frac{1}{4}$  i w pierwszej  
będzie sam arrot, w drugiej tlen. Wy-  
padek taki jest jednak tak mało  
prawdopodobny, że w całym szeregu  
zjawisk zgodnych z dyfuzją i  
termodynamiką, a więc zjawisk  
wzajemnego rozmieszania się gazów,  
raz na kilka milionów np. lat przez



chwilkę możemy obserwować zjawisko  
oddzielnego rozmieszczenia się garów, więc  
zjawisko sprzeczne z dyfuzją i termoo-  
dynamiką.

Wzińmy pod uwagę naczynie,  
w którym znajdują się bardzo wielka  
ilość kul białych i czarnych. Gdy wstrzą-  
samy naczynie, wówczas następuje  
rozmieszczenie kul obu rodzajów, tak,  
że w całym naczyniu wśród kul bia-  
łych będą się znajdowały czarne i  
odwrotnie. Rozkład taki jest naj-  
bardziej prawdopodobny. Możliwy  
jest jednak wypadek, że przez krótki  
na chwilę trwać będzie rozkład  
tego rodzaju, że w górnej części na-  
czynia będą się znajdowały same bia-

te kule, w dolnej części same prądy.  
System, którego jedno pręci składa się  
z samych (kul) drobin jednego podkaju,  
obiega pręci zaś z kul drugiego podkaju  
tylko nazywa Boltzmann systemem  
molekularnie uporzadkowanym (mole-  
cular geordnet).

Poincaré tróciendrił, to jakikolwiek  
system mechaniczny pod działaniem  
sił konserwatywnych po upływie pew-  
nego czasu powraca dowolnie blisko  
do stanu początkowego. Tróciendriem  
to uważano na parę lat przeciw teo-  
ryi kinetycznej. Według tego tróci-  
endria gaz mający układ określo-  
ny przez dane porządy drobin  
i ich chwilowe prędkości zbliży się



po upływie pewnego czasu dowolnie do tego samego układu; porównie wygląda to jak ruch peryodyczny, dopiero po kilkakrotnym takim powrocie można by spostrzedz małe przesunięcie systemu od pozycji pierwotnej. Zermelo podniósł to trzecie przesunięcie Bolza, manovi.

Jeżeli zmieszamy dwie warstwy gazu, z których jedna posiada temperaturę  $100^{\circ}$ , druga  $0^{\circ}$ , to według Poinsona po upływie pewnego czasu gaz rozdzieli się ponownie na dwie części o temperaturach  $100^{\circ}$  i  $0^{\circ}$ .

Więc teoria kinetyczna jest według tego sprzeczna z termodynamiką, według której system dany

do stanu równowagi.

Ten parurt jest słuszny tylko wtedy, gdy drugą zasadę termodynamiki uważamy za dogmat. Sprzeczności między teorią kinetyczną a termodynamiką, jeżeli drugą zasadę termodynamiki uważamy za prawo fizyczne przybliżone choć o wielkiem prawdopodobieństwie.

Według Boltzmanna przypadek powrotu gazu do pierwotnej przycięci jest wyjątkowym, który raz na bardzo długi czas może choić krótko trwać więcej.

Gdy gaz rozdzielony jest na dwie części, których jedna ma temperaturę  $0^{\circ}$ , druga zaś temperaturę  $100^{\circ}$ , wówczas



trojny on system molekularnie uporzadko-  
wany.

Wrazem zdekretem drobin pro-  
duja rozmieszczenie gazu, entropia wzrasta,  
system caly dazy do stanu maximal-  
nej wartosci entropii, do stanu mi-  
porzadku drobin, ktory to stan po-  
rywany stanem rownowagi termo-  
dynamicznej.

Trzy karut procesu wyrodowi  
Boltzmannu polega na przyjeciu przy-  
wego, ze prawdopodobieństwo, aby jedna  
drobina miała predkosci między  $\xi$   $\eta$   $\zeta$   
i  $\xi+d\xi$ ,  $\eta+d\eta$ ,  $\zeta+d\zeta$  wiec  $f(\xi, \eta, \zeta) d\omega$   
mierzaleny od prawdopodobieństwa  
 $f(\xi_1, \eta_1, \zeta_1) d\omega$ , aby inna drobina  
miała predkosci  $\xi_1$   $\eta_1$   $\zeta_1 \dots \xi_1+d\xi_1, \eta_1+d\eta_1$

$\xi_0 + d\xi_0$  to przyjęciu miejsc usprawnie-  
 niowe. Weźmy bowiem pod uwagę  
 cień, w której drobiny są gęsto obok  
 siebie umieszczone. Jeżeli jedna z tych  
 drobin się porusza z prędkością  $u$   
 (fig. 57), to odrywając się z innymi  
 drobinami bezpośrednio lub pośred-  
 nio uadaje im pewną składową  
 w kierunku  $u$ . W tym więc wypadku

Fig. 57.



rozkład prędkości drobin  
 innych zależy od rozdra-  
 żu prędkości uwaranej  
 drobin.

Wywód Boltzmann'a da się więc  
 stosować tylko do gazów rozrzedzo-  
 nych, wtedy bowiem wskutek wielkiej  
 odległości drobin wpływ wzajemny



ich będą bardzo małe w porównaniu  
ze skutkami zderzenia bezpośredniego.

Burbury (Berber) przyjmują wywód  
Bolzmanna jako ważny tylko dla gazów  
porządkowanych, a nie dla zregenerowanych, ten  
bardziej pas' dla cieczy. On twierdzi,  
że prawo Maxwella do zregenerowanych gazów  
nie stosuje się.

### Dwa twierdzenia Maxwella.

Maxwell podał twierdzenia, które również  
Rayleigh opracował, a w których nie ma  
wcale mowy o drobinach. Maxwell i  
inni z równań mechanicznych. Przyjmujemy,  
że w systemie określonym przez współr.  
prędkie  $\pi_1, \pi_2, \pi_3, \pi_4, \dots$  działają  
siły konserwatywne. Energia kin.  
metryczna (L) systemu da się przedst.

Klasad mehaniki przedstawie przez wy.  
razem drugiego stopnia pochodnych  
pierwszych wedlug czasu, wiec

$$L = a_1 \left( \frac{d\bar{r}_1}{dt} \right)^2 + a_2 \left( \frac{d\bar{r}_2}{dt} \right)^2 + \dots +$$
$$+ a_{1,2} \left( \frac{d\bar{r}_1}{dt} \frac{d\bar{r}_2}{dt} \right) + a_{1,3} \left( \frac{d\bar{r}_1}{dt} \frac{d\bar{r}_3}{dt} \right) \dots$$

Poniewaz  $\frac{d\bar{r}_s}{dt}$  określa prędkość, wiec energia  
kinetyczna jest proporcjonalna do kw.  
drutu prędkości. Moiemy obrac wzpół.  
średne  $p_s$  takie, aby podwojne ilo.  
czyny zmiakly.

$$\underline{L = a_1 \left( \frac{dp_1}{dt} \right)^2 + a_2 \left( \frac{dp_2}{dt} \right)^2 + \dots + a_n \left( \frac{dp_n}{dt} \right)^2}$$

Po uplywie pewnego dostatecznie duzego  
czasu przecietna energia kinetyczna  
na kazda ze wzpółśrodkowych przy.  
padajaca bzdnie taka sama.



Więc:  $\alpha_1 \left( \frac{dp_x}{dt} \right)^2 = \alpha_2 \left( \frac{dp_y}{dt} \right)^2 = \dots \quad (I)$

To jest pierwsze twierdzenie Maxwella.

Owo słowi na podstawie przyjęcia, że to, co się z czasem wyrównuje jest temperaturą. Identyfikujemy więc temperaturę z energią kinetyczną ruchu postępowego. Jeżeli mamy trzy kierunki to według twierdzenia Maxwella rach. dni wiążą:

$\frac{m\bar{c}^2}{2} = \frac{3m\bar{\xi}^2}{2} = \alpha \Theta$  przeciętna energia kinetyczna jest w każdym kierunku jednako.

Tznaj:  $c^2 = \xi^2 + \eta^2 + \zeta^2$ ;  $\frac{m\bar{\xi}^2}{2} = \frac{m\bar{\eta}^2}{2} = \frac{m\bar{\zeta}^2}{2} = \frac{1}{3} \frac{m\bar{c}^2}{2}$

Więc  $\frac{m\bar{c}^2}{2} = \frac{3m\bar{\xi}^2}{2}$



II. Drugie twierdzenie Maxwella, wzglądanie Maxwell-Boltzmann.

Jeżeli  $p_s$  są współrzędne systemny, zaś  $q_s = \alpha_s \frac{dp_s}{dt}$  odpowiednie momenty, to prawdopodobieństwo, aby współrzędne systemu miały wartości położone między:

$$p_1 \dots p_1 + dp_1$$

$$p_2 \dots p_2 + dp_2$$

.....

zaś momenty  $q_s = \alpha_s \frac{dp_s}{dt}$  aby leżały

między

$$q_1 \dots q_1 + dq_1$$

$$q_2 \dots q_2 + dq_2$$

.....

będzie:

$$W = a e^{-h[U+L]} \cdot dp_1 dp_2 \dots dq_1 dq_2 \dots$$

Wzrost prawdopodobieństwa  $W$  jest proporcjonalny do energii potencjalnej  $U$  odpowiadającej danemu systemowi współrzędnych  $p_1, p_2 \dots$  i do energii  $(L)$  kin.



metrycznej odpowiadającej wielkościom  $q_1, q_2, \dots$

Związek ten jest ogólnym prawem dla systemu mechanicznego, zaś specjalnym jego przypadkiem (dla  $U=0$ ) jest prawo Maxwella o rozkładzie prędkości.

Mianowicie dla  $U=0$ , więc dla gazu porządkowanego, bo tylko w gazu porządkowanym z powodu wielkiej odległości między innymi wyrzucają drobiny na siebie równomiernie małe ( $U=0$ ) siły, mamy:

$$W = a e^{-hU} dp_1 dp_2 \dots dq_1 dq_2 \dots =$$

$$= a e^{-hm \frac{\xi^2 + \eta^2 + \zeta^2}{2}} dx dy dz d\xi d\eta d\zeta$$

$dx dy dz$  = elementy objętości;  $d\xi d\eta d\zeta$  = składowe prędkości. Węzi prawo Maxwella jest zastosowaniem równania II. Maxwell-Boltzmann'a do gazów porządkowanych. Nie jest jednak wyjaśnione, czy wyprowadzi

jest ścisły. Kelvin podał jeden przy-  
padek, dla którego prawo to nie jest ścisłe  
(podobnie jak to jest z szeregiem Fouriera)

Boltzmann przy wyrodnie tego prawa  
postępuje się prawem prawdopodobieństwa  
ale metoda ta nie jest ścisła, bo trudno  
określić, co to jest przypadek i jeżeli  
dane są regularne zrywy, jak  
można powtórzyć przypadek. Mamy  
dany w chwili powrotowej układ dro-  
bin wraz z prędkościami powrotowe,  
nie i uależałoby wyprocedzić, jakie  
warunki muszą być spełnione, aby  
stan gazu w późniejszej chwili kale-  
niał od przypadku i wtedy dopiero  
musiałby stosować prawo Boltzmannu.



## Ciepło właściwe.

Mieliśmy dawniej dla jednoatomowych  
gazów  $c_v = \frac{3}{2}R$ ;  $\kappa = \frac{c_p}{c_v} = \frac{R+c_v}{c_v} = 1 + \frac{R}{c_v}$   
bo  $c_p - c_v = R$ .

Jeżeli będziemy pod uwagę gazy  
wieloatomowe, wówczas musimy uwzględnić  
ruchy intramolekularne. (ruchy ato-  
mów), które mogą zmieniać energię po-  
tencjalną. Ciepło właściwe będzie w tym  
przypadku określone przez zmianę energii  
potencjalnej i energii kinetycznej ru-  
chu postępowego:

$$c_v = \frac{d(L+U)}{dT}$$

Energia potencjalna kinetyczna w dół-  
nym przeciągu czasu będzie według  
Maxwella dla każdego ruchu składowe-  
wego ta sama. Gdy mamy do czyni-

niemia z ruchem postępowym, to skłã-  
dowych ruchów będzie w ogólnym przy-  
padku 3.

Jeżeli w tem<sup>3</sup> jest Drobni  $n$ , to na  
1 gr. gazu przypada drobni  $\frac{n}{g} = n v$ .

Każda z tych drobni posiada wkłã-  
tek ruchu postępowego energii kine-  
tyczną przeciętną:  $\frac{m c^2}{2}$ .

Oboz ruchu postępowego istnie-  
ją jeszcze inne swobody ruchu; mo-  
gą miałowicie być jeszcze trzy inne  
skłãdowe prędkości, jedna ruchu  
wzãdu odległosci dwu atomów, dwie  
inne skłãdowe powodujãce ruch obro-  
towy. Dla drobni dwuatomowych ist-  
nieje więc 6 swobód ruchu, 3 zewnętrzne  
(dla ruchu postępowego Drobni) i 3 wewnętrzne



swobody (dla ruchów intramolekularnych).

Na Karida z tych składowych prędy.  
praca przeciętna energia ta sama, więc  
 $\frac{1}{3} \bar{m} \bar{c}^2$ . Jeżeli składowych wektorowych  
jest  $\nu$ , to energia kinetyczna jedne-  
go grama:

$$L = n \nu \frac{\bar{m} \bar{c}^2}{2} \left[ 1 + \frac{\nu}{3} \right]$$

Zmiana energii potencjalnej będzie  
proporcjonalna do zmiany energii  
kinetycznej (mianowicie wskutek ruchu  
ruchem się konfiguracja drobin, a  
więc i energia potencjalna).

dU. & dL.

Ponieważ masa drobin ( $m$ ) i ich  
ilość  $n$  nie zmienia się przy dopływie  
ciepła, czyli przy podwyższeniu tempera-  
tury, więc ruchem będzie tylko  $\bar{c}^2$ :

$$c_v = \frac{d(L+U)}{dT} = \frac{nmv}{2} \left(1 + \frac{k}{3}\right) (1+\varepsilon) d(c^2)$$

$$c^2 = 3RT; \quad d(c^2) = 3R dT$$

$$nmv = \rho v = 1$$

$$c_v = \frac{1}{2} \left(1 + \frac{k}{3}\right) (1+\varepsilon) 3R$$

$$k = \frac{c_p}{c_v} = 1 + \frac{R}{c_v} = 1 + \frac{2R}{\left(1 + \frac{k}{3}\right) (1+\varepsilon) 3R}$$

$$k = 1 + \frac{2}{3} \cdot \frac{1}{\left(1 + \frac{k}{3}\right) (1+\varepsilon)}$$

Dla drobin dwuatomowych według doświadczeń  $k = 1.4$ .

Maxwell tłumaczy to w ten sposób:

Drobiny dwuatomowe są systemem sztywnym, (bo atomy są sztywnie ze sobą połączone) i jako takie posiadają 6 swobód ruchu, mianowicie ruch postępowy i 3 swobody wrotne.

Idąc dalej więc  $v = 3$  przyjmijmy otrzymać

$$k = 1.4, \text{ tymczasem } k = 1 + \frac{1}{3} \cdot \frac{1}{1+\varepsilon}.$$



Boltzmann podał inne tłumaczenie.  
Według niego drobiny dwuatomowe ma-  
ją kształt ciał obrotowych (fig 52)

fig 52.



Drobiny takie są ciałami  
sztywnymi, więc mają boso-  
bód ruchu. Jednak obrot

około osi symetrii nie podlega wpływowi  
temperatury, bo przy zderzeniu drobiny  
jako kule gładkie nie uderzają sobie  
wzajemnie przedkości obrotowych, więc  
ruch obrotowy przy zmianie tempera-  
tury pozostaje niezmieniony. Dwie inne  
przedkości obrotowe zmieniają się przy  
zderzeniach, mianowicie wkrastają  
z temperaturą i wskutek tego drobiny  
zachowują się tak, jakby miały dwie  
tylko wewnętrzne swobody ruchu  
 $r=2$ .

Wtedy:  $k = 1 + \frac{2}{3(1+\frac{2}{3})} = 1 + \frac{2}{5} = 1.4$ , bo dla tych  
garni  $\varepsilon = 2$ .

Drobiny garni jednoatomowych  
uwaro Boltzmannu jako kule o gładkiej  
popełnie powierzchni, tak, że rzech o,  
brotoy w ogóle się nie wydłużają, więc  
 $r = 2$   $k = 1 + \frac{2}{3} = 1.66$ .

Wartości  $k \leq 1.3$  tłumaczy się tem, że  
u wieloatomowych jest mniejsza ilość  
swobod puchu. Krystal jednak drobiny  
(garni być) musi być w ogóle idealny.  
Jeżeli weźmiemy pod uwagę elipsoidy  
trójosiową, to ona posiada 3 wznoszące  
swobody puchu, więc  $k = 1 + \frac{2}{3(1+\frac{2}{3})} = 1 + \frac{2}{5} = 1.35$ .

Liczbę  $k$  mieralery od stosunku dłu-  
gości trzech osi elipsoidy; jeżeli przek-  
wyrównują się te osie stopniowo, to



dopóki są jeszcze nieco różne od siebie,  
warina jest dla nich ciągle wartością  $k=1.33$ .

Gdy jednak wystąpią trzy osie wyrównują  
się, tzn., że elipsoida stanie się kulą,  
wówczas otrzymujemy  $k=1.66$ .

Trzy najmniejsze odchylenia krystalu  
drobnie pochodzą tu z rachuby ze względu  
na swobody ruchów obrotowych.

Przebiegiem te dadzą się przede  
stosować tylko wtedy, gdy uwarianym  
budowę drobin na matematycznej  
decalu. Jeżeli wzmianki pod uwagę  
parę rtęci, to niewydaje się słusznym  
pogląd, że drobiny pary rtęci są  
kulami. Widnie pary rtęci wskazuje,  
że ma to, że tam muszą istnieć jakieś  
swobody wewnętrzne, że odbywają się

w tonie drobni jakies' elektroneve ruchy.  
Drobiny azotu  $N_2$  sa dwuatomeve, maja  
wiece' symetryc, osiowia, jednua  $N$  chemick  
nie jest trojwartosciowu, wiec budova jego  
musi byc jakas' trojkierunkova. Tauduo  
pogodnie si je mysla, aby istnela sy-  
metrya trojosiova, ktorej odporiada.  
Taby licba 2. Poltruceau pury,  
pessera, ze para, rteci ma cieplo vstie-  
re, odpoviadajace ciatom o budovic  
asymetrycnej (wice' ciatom ortyvnym),  
majecym  $M = 133$ . Mianovicie posiada  
3. obrotove pruzankice, tykto istujeje  
bardro mala porovna w oviach. Po puciny  
crasie, tak uvadym crasie relaxacyi,  
ustala si rovnovaga, ruchy skia clo,  
ne vyrovnuja si, tak, ze energia ruchov



składowych jest jednako, tak, że po  
tych porządkach czasu wydają się jakby  
niebyły ruchów obrotowych; wtedy K  
przybiera wartość 1.33. Występuje więc  
zjawisko jakby opóźnienia ciepła  
własnego, bo początkowo mniej ciepła  
posiada, po wyrównaniu dopiero  
ruchów składowych ilość ciepła po-  
chłoniętego na podwyższenie tempera-  
tury o  $1^{\circ}$  (ciepło własne) jest większa.

Wzrmy pod uwagę strunę drga-  
jącą. Ona wydaje prócz tonu głównego  
takie cały szereg górnych tonów, sta-  
nowiących barwę drzewku. Każde  
drżenie, powodujące poruszanie  
tonów górnych, stanowi dla struny no-  
wą swobodę ruchów. Wynika więc,

że struna napięta posiada nieskończenie  
wiele swobód ruchu (bo tonów górnych jest  
so wiele). Przy pomocy analogii ru-  
chów drobin i struny stawia Kelvin  
parę parę przeciw teorii ciepła właściwego

Jeżeli przyjmijemy drobinę jako  
kulę sprężystą, to powinniśmy mieć  
podobnie jak struna nieskończenie  
wiele swobód ruchu. Należałoby  
się spodziewać według Maxwella, że  
na każdy ruch składowy przypadnie  
równa ilość energii kinetycznej, a  
ponieważ tych ruchów jest nieskończe-  
nie wiele, więc energia, czyli  $C_v = \infty$ .  
Ten parę jest słusny, jeżeli drobinę  
uważamy za kulę sprężystą, dlatego  
racjonalniej przyjęć drobinę jako



punkty materialne, odpychające się  
siła :  $\frac{a}{r^5}$

Dalsze trudności pochodzą od ana-  
lizy widmowej, która wykazuje, że wodoru  
pary rtęci jest płoszone w szeregu linii.  
To wskazuje, że ruchy wewnętrzne muszą  
być bardzo skomplikowane. Linia widmo-  
wa odpowiada temu, co w akustyce na-  
zywamy tonami harmonicznymi. By-  
wałoby więc według ilości linii widmo-  
wych, że w l.j. ilości ruchów, jest nie-  
skonkretnie, przynajmniej bardzo wielka.  
Promieniotwórczość jest połączone z ru-  
chem wewnętrzny, odbywającym się  
w eterze, zależny więc od działania dro-  
bin na eter. Ponieważ także oddzia-  
ływanie na eter, połączone jest z co-

praszaniem energii; przez wywodu Boltzmanna możemy stosować do ruchów, połączonych z promieniami. Do ruchów w próżni stosowałyby się ten wywód zupełnie dobrze. Kwestyją tą zajmował się Jeans.

## Twierdzenie o silniku.

Dalsze wywody teorii kinetycznej opierają się na mechanicznym twierdzeniu, które udowodnił Clausius.

Chodzi o precyzyjną wartość energii kinetycznej ( $L$ ) systemu drobni. Energia kinetyczna ruchu postępowego drobni wyraża się, jak wiemy, porównaniem:



$$L = \frac{m}{2} \left[ \left( \frac{dx}{dt} \right)^2 + \left( \frac{dy}{dt} \right)^2 + \left( \frac{dz}{dt} \right)^2 \right]$$

gdzie  $x, y, z$  są współrzędnymi drobin.

Przeistwa wartość tej energii obliczo, ma na przeciągu czasu  $T$  wynosi:

$$L = \frac{1}{T} \int_0^T L dt = \frac{1}{T} \cdot \frac{m}{2} \int_0^T \left[ \left( \frac{dx}{dt} \right)^2 + \left( \frac{dy}{dt} \right)^2 + \left( \frac{dz}{dt} \right)^2 \right] dt$$

$$\left( \frac{dx}{dt} \right)^2 dt = \frac{(dx)^2}{(dt)^2} dt = \frac{dx}{dt} \cdot dx$$

analogicznie dla  $y$  i  $z$ .

$$L = \frac{m}{2T} \int_0^T \left[ \frac{dx}{dt} dx + \frac{dy}{dt} dy + \frac{dz}{dt} dz \right]$$

$$\frac{dx}{dt} = \dot{u}, \quad dx = dv \quad \int u dv = uv - \int v du$$

$$L = \frac{m}{2T} \left\{ \left[ x \frac{dx}{dt} \right]_0^T - \int_0^T x \frac{d^2x}{dt^2} dt \right\} + \left[ y \frac{dy}{dt} \right]_0^T - \int_0^T y \frac{d^2y}{dt^2} dt + \left[ z \frac{dz}{dt} \right]_0^T - \int_0^T z \frac{d^2z}{dt^2} dt \right\}$$

$$L = \frac{m}{2T} \left[ x \frac{dx}{dt} \right]_0^T + y \frac{dy}{dt} \Big|_0^T + z \frac{dz}{dt} \Big|_0^T - \frac{m}{2T} \int_0^T \left( x \frac{d^2x}{dt^2} + y \frac{d^2y}{dt^2} + z \frac{d^2z}{dt^2} \right) dt$$

Prędkości, która gaz ma wznosić, przez  
 mijany skończona, więc  $x, y, z$  muszą być  
 skończone. Jeżeli czas  $T$  jest dostatecznie  
 długi, to prędkości  $x, y, z$  a także prędkości  
 $\frac{dx}{dt}, \frac{dy}{dt}, \frac{dz}{dt}$  są skończone (prędkości  
 wewnętrzne były  $\infty$ , bo prędkości gazu  
 jest skończona) więc składniki pa-  
 wierzające pierwsze pochodne mo-  
 żemy pominąć [lin  $\frac{1}{5} = 8$ ]

Sumując średnie energie  
 dla wszystkich drobin, mamy:

$$\sum \bar{L} = \frac{m}{2N} \sum \int \left( x \frac{d^2x}{dt^2} + y \frac{d^2y}{dt^2} + z \frac{d^2z}{dt^2} \right) dt$$

według Newtona:  $m \frac{d^2x}{dt^2} = X,$

$$m \frac{d^2y}{dt^2} = Y$$

$$m \frac{d^2z}{dt^2} = Z$$

$$\underline{\underline{\sum \bar{L} = \frac{1}{2N} \sum \int (xX + yY + zZ) dt}}$$



Wyrównanie  $(xX + yY + zZ)$  nazywa się Clau-  
sius sitnikiem (virial)

Wzr: Podwójna energia kinetyczna  
przeciętna systemu drobin, wzięta  
re pniekiem minus (-) równa się  
sumie iloczynów współrzędnych dro-  
bin i sił działających:

To jest twierdzenie Clausiusa  
o Sitniku.

$\frac{1}{T} \int (xX + yY + zZ) dt$  przedstawia war-  
tość przeciętną tego wyrównania  $xX +$   
 $yY + zZ$  wzięta w czasie  $T$ .

Wziemy to równanie przez  $xX + yY + zZ$

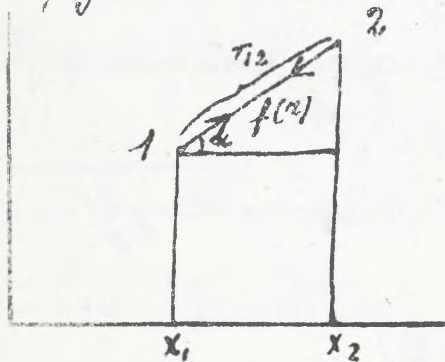
wzr: -

$$\sum Z = \frac{1}{2} \sum (xX + yY + zZ). -$$

# Wzrost prawa Boyle'a-Charles'a przy pomocy silnika.

Załóżmy, że siły między dwoma punktami (1, 2) gazu są konserwatywne i centralne s.z. działają w kierunku łącznicy (fig 53) i są funkcją odległości  $r$ . Składnik, który wejdzie w wyrażenie na silnik z tych dwóch punktów

fig 53.



jest:  $x_1, X_1 + x_2, X_2$

Całkowita siła działająca jest  $f(r)$ , więc:

$$X_1 = -f(r_{12}) \cdot \cos \alpha$$

$$\cos \alpha = \frac{x_2 - x_1}{r_{12}}$$

$$X_1 = -f(r_{12}) \frac{x_2 - x_1}{r_{12}}$$

analogicznie  $X_2 = +f(r_{12}) \frac{x_2 - x_1}{r_{12}}$



Jeżeli  $X_1$  jest przyciągająca (-), to  $X_2$  jako działająca przeciwnie, niż  $X_1$ , jest odpychająca +

$$x_1 X_1 + x_2 X_2 = f(r_{1,2}) \cdot \frac{x_1^2 - x_1 x_2 + x_2^2 - x_1 x_2}{r_{1,2}} =$$

$$= f(r_{1,2}) \frac{(x_2 - x_1)^2}{r_{1,2}}$$

Jeżeli siła ma składowe także w kierunku  $y$  i  $z$ , to w wyrażeniu na siłnik b. d. trzy składowe od tej siły pochodzący:

$$x_1 X_1 + x_2 X_2 + y_1 Y_1 + y_2 Y_2 + z_1 Z_1 + z_2 Z_2 =$$

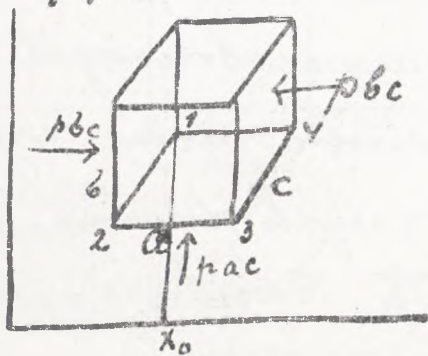
$$= f(r_{1,2}) \frac{(x_2 - x_1)^2 + (y_2 - y_1)^2 + (z_2 - z_1)^2}{r_{1,2}} = f(r_{1,2}) \frac{r_{1,2}^2}{r_{1,2}} = r_{1,2} f(r_{1,2})$$

Jeżeli punkty, które bierzemy pod uwagę, są drobinami gazu, to część siłnika, pochodząca z działania sił międzydrobinowych  $\sigma$ , trzymamy, biorąc kombinacje wyrażenia  $r f(r)$  dla różnych drobin, i je  $\Sigma r f(r)$  i sumujemy te kombinacje dla

dla wystających drobin, więc  $\sum \sum r f(r)$

Próba sił międzydrobinowych wcho-  
dzą w rachubę siły zewnętrzne, mia-  
nowicie ciśnienie, które utrzymuje  
gaz w równowadze. Wskutek przemieszczenia  
drobni gaz posiada dążność do roz-  
szerzenia się, co powoduje wzrost  
współrzędnych  $x \infty$ . Wskazywać  
możemy równoległoscian o krawędziach  
 $a, b, c$  fig (54). Jeżeli ciśnienie na  
 $1 \text{ cm}^2$  wynosi  $p$ , to na ścianę tego równo-  
ległociam działają siły:  $p \cdot ab$ ,  $p \cdot ac$ ,  $p \cdot bc$ .

fig 54



Przech współrzędne  
punktu 1 będą  $x_0 y_0 z_0$ ;  
to współrzędne innych  
punktów końcowych 2, 3, 4...  
będą:



$x_0 + a, y_0, z_0, (2) \text{ i.t.d.}$

Cisnienie całkowite na równoległoscian będzie więc:

$$-(x_0 + a) p_{bc} + x_0 p_{bc} - (y_0 + b) p_{ac} + y_0 p_{ac} - (z_0 + c) p_{ab} + z_0 p_{ab}$$

Wierzymy przy  $(x_0 - a)$  znak  $(-)$ , bo ciśnienie działa w kierunku przeciwnym wzrostu, jakich współrzędnych. Otrzymamy z tego:

$$-3abc p = -3p V; \text{ gdzie } V = abc = \text{objętość}$$

$$\bar{L} = -\frac{1}{2} \sum \sum (xX + yY + zZ)$$

$$2\bar{L} = -\sum \sum (xX + yY + zZ)$$

u nas składniki na silnik są:  $\sum \sum r f(r)$  i

$$-3pV$$

$$2\bar{L} = -\sum \sum r f(r) + 3pV$$

Jeżeli  $N$  jest ilością wrysunków drobin w  $V$ , to w przeciągu pewnego dostatecznie długiego czasu będzie przeciętna czer,

$$\text{grain: } \bar{L} = N \cdot \frac{m \bar{c}^2}{2}$$

$$\text{czy } 2 \frac{N m \bar{c}^2}{2} = \Sigma \Sigma r f(r) + 3 p V$$

$$\frac{N m \bar{c}^2}{3} = -\frac{1}{3} \Sigma \Sigma r f(r) + p V$$

Jeżeli wielkości tu wchodzące m i N odniesiemy do jednego grama gazu, to  $V = v$ ,

$$N = n v = \frac{n}{v} \quad , \quad m = \frac{1}{n v} = \frac{1}{n}, \quad \text{bo } n m v = \rho v = 1$$

$$\frac{n m \bar{c}^2}{\rho \cdot 3} = -\frac{1}{3} \Sigma \Sigma r f(r) + p v$$

$$\frac{\rho \bar{c}^2}{\rho \cdot 3} = -\frac{1}{3} \Sigma \Sigma r f(r) + p v$$

$$p v = \frac{\bar{c}^2}{3} + \frac{1}{3} \Sigma \Sigma r f(r)$$

Gdyby  $\frac{1}{3} \Sigma \Sigma r f(r)$  było = 0, mieliśmyby prawo Boyle'a - Charles'a.

$$p v = \frac{\bar{c}^2}{3}, \quad \text{ponieważ } \frac{m \bar{c}^2}{2} = \alpha \theta$$

$$\bar{c}^2 = \frac{2 \alpha \theta}{m}$$

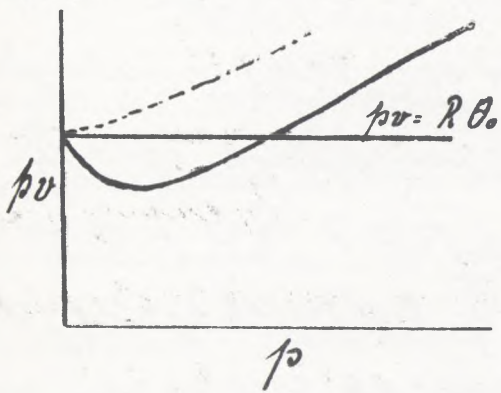
$$p v = \frac{2 \alpha \theta}{3 m} ; \quad \frac{2 \alpha}{3 m} = R ; \quad \underline{p v = R \theta}$$



Uwzględniając poprawkę z powodu sił międzydrobinowych mamy równanie charakterystyczne:

$$pv = R\theta + \frac{1}{3} \Sigma \Sigma r f(r) \quad (\alpha)$$

Zauważmy krzywą  $pv = f(p)$  przedsta-  
wającą zachowanie się gazu przy  
zmianie ciśnienia a przy danej tempera-  
turze  $\theta_0$  (fig 55). Jak widzimy  
fig 55



z rysunku krzywa  
 $pv$  początkowo sko-  
naje większa ścisli-  
wości gazu, niż tego  
wymaga prawo Boy-  
le-Charles'a, według

którego krzywa  $pv$  jest prostą równo-  
ległą do osi  $p$ .

Według równania  $(\alpha)$  jest

$p < R_0$  Dla odjemnej wartości wyrażenia  
 $\mu = \frac{2.2.2 f(r)}{r}$ . Ponieważ  $\mu$  jest bez-  
względna wartością odległości drobin,  
więc wyrażenie to staje się odjemne  
dla  $-f(r)$  t.j. gdy  $f(r)$  jest siłą przyci-  
ągającą. Przy powrotnym waroście  
prężności większe ściśnięcie gazu pro-  
chodni od sił międzydrobinowych a.  
trakcyjnych. Przy dalszym ściśnię-  
ciu gazu ściśnięcie jego maleje,  
widocznie więc przeważają wtedy si-  
ły odpychające ( $p > R_0$ ) u wo-  
doru i helium siły odpychające od  
połączenia ściśnięcia są większe, wsku-  
tek czego krywa  $p > R_0$  odraru pro-  
chodni ponad prosta:  $p = R_0$   
(Krywa kreślona:  $p > R_0$ ). -



## Równanie Van der Waalsa

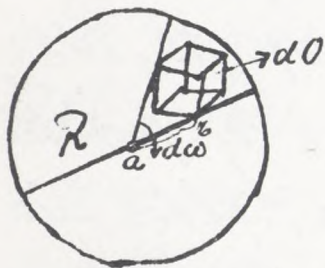
1) Wywód równania Van der Waalsa, pochodzący  
z prawa Lorentza

Van der Waals rozpatruje oba ro-  
daje sił (przyciągające i odpychające),  
powyżej omawianych i na tej podsta-  
wie dochodzi do równania, które ma  
swój gładziwy charakter od praw  
Boyle'a - Charles'a.

Zatwierdzenie Van der Waalsa po-  
lega na przyjęciu, że sfera dristańa  
sił międzydrobinowych jest dwu-  
krotna do odstępów międzydro-  
binami; innymi słowami, że sfera  
dristańa jednej drobiny obejmuje  
je bardzo dużo drobin.

Wykreślimy sobie sferę

działania  $R$  jednej drobin (fig 56) i ob-  
 liczmy siłkę  $\Sigma f(r) r$ , gdzie sumacja od-  
 nosi się do wszystkich drobin, zawartych  
 fig 56 w sferze uwiązanej drobiną.



Wytujmy wewnątr sferę  
 $R$  element o objętości  
 $d_0$ . W elemencie tym znaj-  
 duje się ilość drobin  $n d_0$

(gdzie  $n = \text{ilość} \cdot \text{cm}^3$ )

Pomieważ element ten znajduje  
 się w odległości  $r$  od środka, więc si-  
 ła działająca na jedną drobinę w  $d_0$  jest  
 $f(r)$ . Sumując pojedyncze działania  
 na całą sferę otrzymamy siłę, działają-  
 jąca między uwiązaną drobiną a inne-  
 mi, znajdującymi się w jej sferze.

$$\int_{r=0}^{r=R} n d_0 f(r) dr = n \int_{r=0}^{r=R} r^2 f(r) dr d\omega$$



bo  $dO = r^2 d\omega$  gdzie  $d\omega$  jest kątem stórkowym przy, małym  $dO$ .

Przeistnie zachowuje się gaz we wszystkich punktach kuli jednakowo, możemy więc zamiast  $\int d\omega$  wziąć powierzchnię kuli jednostkowej  $4\pi$

Mamy teraz:

$$\int_{r=0}^{r=R} r dO f(r) dr = 4\pi r \int_{r=0}^{r=R} r^2 f(r) dr$$

Wyróżnienie otrzymane odnosi się do jednej drobiny,  $a$ . W elemencie  $dO$  jest drobin  $r dO$  i siłki dla nich obliczonej ma wartość  $r dO \int 4\pi r^2 f(r) dr$

Sumując powyższe wyróżnienie dla całego gazu otrzymamy:

$\int r dO 4\pi r \int r^2 f(r) dr$ , gdzie  $V$  jest objętością całej masy gazu, z którym ma,

my do czynienia.

Wartość powyższego wyrażenia możemy bliżej obliczyć, gdybyśmy mieli  $f(r)$ , w każdym punkcie jednak wewnątrz gązku posiadała  $\int_0^R r^2 f(r) dr$  jakąś wartość, która narazimy  $A$  (dany współczynnik). Jedynie na granicy gazu mogą wystąpić pewne komplikacje, a to z tego powodu, że dla drobnych progranicznych części sfery działania występuje poza łono gazu, co materialnie uwzględniamy. Skoro jednak przyjmujemy, że objętość gazu jest wielka, wówczas części sfer, wychodzące poza obręb gazu jako zbyt małe w porównaniu z tą objętością, możemy pominać.

Kładąc więc  $\int_0^R r^2 f(r) dr = A$ , mamy:



$$\int_0^r n dO 4\pi n \int_0^R r f(z) dz = A 4\pi n^2 \int_0^r dO = 4A\pi n^2 V$$

$$\text{bo } \int_0^r dO = V$$

Jeżeli odnieścimy rachunek do 1cm<sup>3</sup> gazu,  
to  $V = v$ ; więc:

$$\Sigma \Sigma r f(z) = 4\pi n^2 A v$$

$$p v = R \theta + 4\pi n^2 A v$$

Jeżeli ilość drobin w 1gr gazu jest  $N_{gr}$ . to:

$$N_{gr} = n v ; n = \frac{N_{gr}}{v}$$

$$p v = R \theta + 4\pi A v \frac{N_{gr}^2}{v^2} = R \theta + 4\pi A \frac{N_{gr}^2}{v}$$

$$\text{zakładamy: } 4\pi A \frac{N_{gr}^2}{v} = - \frac{a}{v}$$

$$\text{to: } p v + \frac{a}{v} = R \theta$$

Dodatek pochodzący z sił międzydrobinowych, przyciągających ( $\frac{a}{v}$ ) wyprova-  
dźliśmy pod założeniem, że w sferze  
działania jest bardzo dużo drobin.

Tylko wtedy bowiem liczba zawarta  
w „dO” jest do „dO” proporcjonalna

i możemy wykonać  $\int dO$ , czego robić nie można, gdy  $n \cdot dO$  jest kilka, albo też ani jedna drobina.

Skłaj się, że założenie to o sferze działania nie jest warne.

Wiemy bowiem, że w  $1 \text{ cm}^3$  powietrza znajduje się  $4 \cdot 10^{19}$  drobin. Rozmiary więc odstępów jednej drobinie od drugiej są  $\frac{1}{\sqrt[3]{4 \cdot 10^{19}}}$  t.j. długość boku elementu najszego przez 1. drobinę.

$$\frac{1}{\sqrt[3]{4 \cdot 10^{19}}} = \frac{10^{-6}}{\sqrt[3]{40}} = \frac{1}{3} \cdot 10^{-6} \text{ cm}$$

Sfera działania jednej drobinie, obliczona na podstawie powierzchniowego napięcia, wynosi:  $10^{-6} \text{ cm}$ . W tej sferze działania ilość zawartych drobin jest  $\frac{10^{-6}}{\frac{1}{3} \cdot 10^{-6}} = 3$ . Załóżmy przede wszystkim, że w sferze

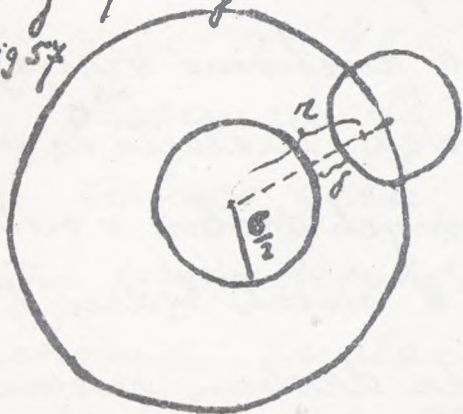


driałauia jedusj drobiny jest bardzo wie-  
 le drobina, jest nieusprawnionem. Skład-  
 nika  $\frac{a}{b}$  pochodzi od sil poryciagajacych  
 Rownami charakterystyczne ma kształt:

$$pv + \frac{a}{b} = R\theta + \frac{1}{3} \Sigma \Sigma r f(r) \quad (\alpha)$$

Tu  $\Sigma \Sigma r f(r)$  jest składnik, pochodzący  
 od sil odpychajacych. Jeżeli założymy,  
 że drobiny są kulami sprężystymi, to  
 one przy zetknięciu odbijają się od sie-  
 bie, skutek jest taki, jakby się te drobi-  
 ny przy zetknięciu odpychały siła  $f(r)$

fig 57

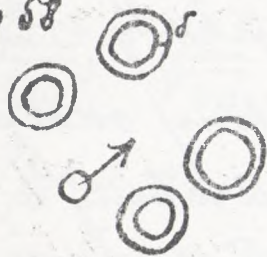


Wykreślmy około  
 jednej drobiny o pro-  
 niemi  $\frac{a}{2}$  kulę, przed-  
 stawiającą jej sferę (fig 57)  
 Przyjmijmy, że do tej  
 drobiny przybliża się druga na odległość

$\mu$ . Gdy odległość ta bardzo mała wó-  
 ni się od sumy promieni obu kul, więc,  
 gdy  $\mu = \sigma + \delta$ , gdzie tzn  $\delta = \sigma$  wówczas ra-  
 cyna działa siła odpychająca.

Chodźmy nam o iluści par drobin,  
 które w danej chwili mogą być w kolizji,  
 więc pomiędzy którymi działają siły od-  
 pychające. Przyjmijmy, że wszystkie  
 kule są nieruchome prócz jednej,  
 która się do nich przybliża (fig 58)

fig 58



Prawdopodobnie, aby  
 drobina ruchoma względnie  
 jej środek znalazła się wzglę-  
 dem innych drobin w odle-

głości między  $\sigma$  i  $\sigma + \delta$  nich będzie P.  
 Miejsca najścię przez drobiny nierucho-  
 me wykluczone, każde zaś miejsce



oraz nierazszej przestrzeni jest równie prawdop.  
podobne dla uwarianej drobiny ruchomej.

Miejsce rajste przerw jedną drobinę, a  
tem samym wykluczone dla środka drobiny  
ruchomej jest  $4\pi\sigma^2$ . Objętość warstwy ku-  
listej o grubości  $\delta$  około Kwidziej kuli,  
niez  $4\pi\sigma^2\delta$  stanowi tę przestrzeń, w której  
następuje kolizja. W jednym granie  
garu znajdują się  $n$  w drobin. Całko-  
wita przestrzeń kolizji w 1 gr. garu wy-  
nosi więc  $n \cdot 4\pi\sigma^2\delta$ .

Stosunek tej przestrzeni do obję-  
tości całego garu, nie do „ $v$ ” przedstawi  
nam prawdopodobieństwo, aby drobina  
ruchoma znalazła się w kolizji z inne-  
mi drobinami  $\frac{n \cdot 4\pi\sigma^2\delta}{v}$

Kwida drobina jest równo upraw.

niona, prawdopodobieństwo więc, aby w garze istniały co dwie drobiny w kolizji wynosi:

$$\frac{1}{2}(nv) \frac{nv4\pi b^2 L}{v} = P_0$$

$\frac{1}{2}$  dlatego, bo co dwie drobiny kolidują ze sobą.

Mówiliśmy, że miejsce pobytu drobiny jest w całej przestrzeni garu możliwe. Jeżeli jednak działają siły odpychające przy odwróceniu, to one przeszkadzają zbliżeniu się drobiny do danego miejsca. Wyrzucenie powyższe należy więc poprawić. Według Boltzmana prawdziwe prawdopodobieństwo współzdziałających  $p_1, p_2 \dots$  dla systemu mechanicznego wynosi:  $e^{-kU} \cdot L dp_1 dp_2 \dots$

Tu  $e^{-kU}$  jest składowikiem, pocho. drącym z działania sił w systemie,



siły bowiem kawarte są w energii potencjalnej  
nej  $U = -\frac{du}{ds} = F_s$

Jeżeli międzytąją w systemie siły odpychające, to prawdopodobieństwo wespół wzdłuż  $p_s$  jest:

$$P_0 = e^{-L} dp_1 dp_2$$

Gdy siły odpychające wejda w rachubę, wówczas mamy:

$$P = e^{-kU - L} dp_1 dp_2 \quad \text{tak, że:}$$

$$P_0 : P = e^{-L} : e^{-kU - L}$$

Jeżeli więc międzytąją siły odpychające, jak to właśnie według przyjęcia Van der Waalsa zachodzi w gazie, wówczas prawdopodobieństwo, warone dla systemu danego bez tych sił, należy pomnożyć przez czynnik  $e^{-kU}$

$$\text{Więc: } P = P_0 e^{-kU}$$

$$P = \frac{nv}{2} \cdot \frac{nv 4\pi\sigma^2 \delta}{v} e^{-kU}$$

Tutaj:  $U = \int f(r) dr$  t.j. praca ( $f(r) dr$ ) wyko-  
nana przy przybliżeniu drobiny  
w  $\infty$  siła  $f(r)$  równa się 0, w oob.  
ległosci  $r_0$  ma ona wartość skończoną.

$$U \Big|_r^{\infty} = \int_r^{\infty} f(r) dr = U(\infty) - U(r)$$

$$U(\infty) = 0, \text{ więc } \int_r^{\infty} f(r) dr = -U(r)$$

$$dU = -f(r) dr$$

Prawdopodobieństwo, że pary drobin  
będą w kolizji, albo wprost ilości par dro-  
bin kolidujących wynosi:

$$P = n^2 v 2\pi\sigma^2 \delta e^{-kU}$$

Każda z tych par drobin oddpycha się  
siłą  $f(r)$ , dając składnik  $r f(r)$  w sil-  
niku  $\sum \sum r f(r)$ .

Jeżeli więc składnik ten  $r f(r)$  po-  
chodzący od jednej pary promiennym



przez P t.j. cała ilość par drobin, wówczas otrzymany silnik  $\Sigma \Sigma r f(r)$

$$\Sigma \Sigma r f(r) = \Sigma P f(r) r = \int n^2 v 2\pi b^2 e^{-ku} r f(r) dr$$

ale  $\delta = dr$

$$\Sigma \Sigma r f(r) = \int n^2 v 2\pi b^2 e^{-ku} r f(r) dr$$

Biorąc pod uwagę porównanie (a) mamy:

$$\Sigma \Sigma r f(r) = n^2 v 2\pi b^2 \int r e^{-ku} dU$$

Pracę rachujemy od chwili rekinizacji się drobin, więc dla  $r = b$  aż do  $r = \infty$ , gdyż  $r = b$ ,  $U$  ma wartość  $\infty$ , bo odpychające siły przy rekinizacji są  $\infty$  wielkie, dla  $r = \infty$ ,  $U = 0$  więc:

$$\Sigma \Sigma r f(r) = 2\pi b^2 n^2 v \int_{r=b}^{\infty} r f(r) e^{-ku} dr = 2\pi b^2 n^2 v \int_{u=\infty}^{u=0} b e^{-ku} dU$$

$$\Sigma \Sigma r f(r) = -2\pi b^2 n^2 v b \int_{u=\infty}^0 e^{-ku} dU =$$

$$= 2\pi b^2 n^2 v \int_{u=0}^{\infty} e^{-ku} dU, \text{ zmieniemy znak przed}$$

całką, więc i granice całkowania przemienić

musimy.

$$= 2\pi\sigma^3 n^2 v \cdot \frac{e^{-ku}}{-k} \Big|_0^\infty = \frac{2\pi\sigma^3 n^2 v}{k}$$

Według Maxwella:  $k = \frac{3}{m\bar{c}^2}$

$$\Sigma \Sigma r f(r) = \frac{2\pi\sigma^3 n^2 v m \bar{c}^2}{3} = 2\pi\sigma^3 n^2 v m R\Theta$$

$$\text{bo } \bar{c}^2 = 3R\Theta$$

$$nvm = \frac{nm}{\rho} = \frac{\rho}{\rho} = 1$$

$$\Sigma \Sigma r f(r) = 2\pi\sigma^3 n R\Theta$$

Objętość jednej drobinny wynosi  $\frac{4}{3}\pi\left(\frac{\sigma}{2}\right)^3$ , ilość ich jest  $nv$ , więc przestrzeń zajęta przez drobinny (Kernvolumen der Molekel) wynosi  $nv \frac{4}{3}\pi\left(\frac{\sigma}{2}\right)^3$

$$\text{Półożymy } 4\left[nv \cdot \frac{4}{3}\pi\left(\frac{\sigma}{2}\right)^3\right] = b = \frac{2nv\pi\sigma^3}{3}$$

$$\text{to: } \Sigma \Sigma r f(r) = 2\pi\sigma^3 n R\Theta = \frac{3bR\Theta}{v}$$

Wparcie rachowania, jakie tu uczyni-  
liśmy, że drobinny są kulami sprężysto-  
mi, jest b wielkością stałą.

Wstawiając w równaniu (x) wartość



obliczona na  $\Sigma \Sigma R f(r)$  mamy:

$$pv + \frac{a}{v} = R\theta + \frac{1}{3} \frac{36R\theta}{v}$$

$$pv + \frac{a}{v} = R\theta \left(1 + \frac{6}{v}\right)$$

jeżeli  $6 \ll v$  to:  $1 + \frac{6}{v} \rightarrow$  przybliżeniu

równa się  $\frac{1}{1 - \frac{6}{v}}$

$$pv + \frac{a}{v} = R\theta \cdot \frac{1}{1 - \frac{6}{v}}$$

$$pv + \frac{a}{v} = \frac{R\theta}{\frac{v-6}{v}} = \frac{R\theta v}{v-6}$$

$$\underline{p + \frac{a}{v^2} = \frac{R\theta}{v-6}} \quad \text{równanie Pauder}$$

Waalse.

Równanie to wyprowadził w powyższy sposób Lorentz pod założeniem:

1) że w sferze drążenia jednej drobiny znajduje się bardzo wiele liczb drobin

2) że gaz jest porządkowany, bo ste.

dy tylko „b” l.j. porównana objętości dro-  
bin jest bardzo mała w porównaniu  
z objętością gazu (v)

W stanie ciekłym Drobiny są blisko  
siebie położone, podobnie jak w ciekłych  
nynich gazach, tam więc b miejscach v,  
i prawo Van der Waalsa nie stosuje się.  
Wtedy bowiem musimy zauważyć, że  
przy zbliżeniu się dwóch i więcej drobin  
do siebie, ich sfery oddziaływania przeci-  
wnają się wzajemnie i te części przeci-  
wności (wzajemnie) tych sfer będą stano-  
wiły przestrcenie kolizyj (fig 59).

fig 59.



Wskutek tego cała przestrcenie  
w której drobiny kolidują  
ze sobą jest mniejsza, niż  
w wypadku gazu porzedzonego.



Ten przypadek u rarie pogrzeszonego garu uwzględnili Jäger, Boltzmann i inni i na tej podstawie otrzymali równanie:

$$p = R\theta \frac{1}{v} \left[ 1 + \frac{b}{v} + \alpha_1 \left( \frac{b}{v} \right) + \alpha_2 \left( \frac{b}{v} \right)^2 \dots \right] - \frac{a}{v^2}$$

gdzie  $\alpha_1 = \frac{5}{8}$ , według Jägera i Boltzmanna; według Van der Waalsa zaś, który przeprowadził równanie do wód tego  $\alpha_1 = \frac{17}{32}$ , wgi ma to różnie są te wartości.

Obliczono również  $\alpha_2$ , dlares zaś współczynniki są dotychczas nieruane.

Jednak i ten poprawiony wzór niezdaje się dokładnej sprawy u wiasności garów.

Van der Waalsi wyprowadził swoje równanie u inny sposób, niż to powyżej podaliśmy.

Pokazemy jeszcze wywód tego prawa według Boltzmanna

II. Wywód prawa Van der Waalsa przez  
Boltzmann'a.

Przy ścisłym wywodzie prawa Boyle'a-Charles'a (podanym na początku) między innymi ciśnień wywierane przez drobiny gazu na ścian, określane przez przeciętną ilość ruchu drobin uderzających o ścian wera-  
nie  $P$  równaniem:  $p = \frac{2}{3} \sum m \xi$

Tym sposobem, który wtedy wyłożyliśmy, postawimy się teraz do wyprowadzenia równania dla gazów.

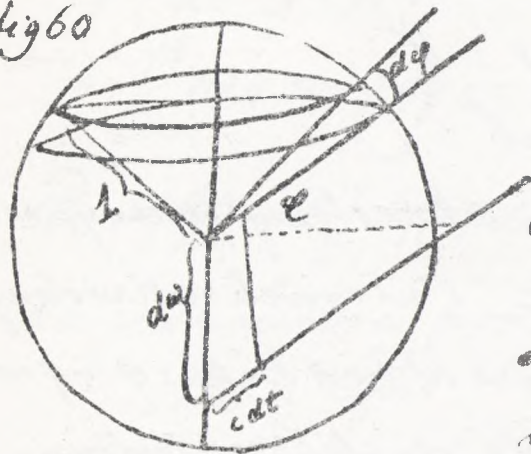
Wetymy pod uwagę element  $ps$ , w kierunku  $dx$ , otoczony kulą jednostkową o powierzchni  $4\pi$ .

Ze wszystkich drobin, które prze-  
chożą przez powierzchnię tej kuli, parę  
pada tam procent pod kątem  $\varphi$  i  $\varphi + d\varphi$ ,



ile wynosi stosunek powierzchni pasa ku-  
listego odpowiadającego kątowi  $d\varphi$ , do  
powierzchni kuli, więc  $\frac{2\pi \sin\varphi d\varphi}{4\pi}$

fig 60



Stwierdzić drobni posiada,  
jacych promkowi między  
e i c + de wynosi według  
Maxwella  $\rho(e) de$  i z tych  
uderzają o ścianę, Drobni,

wy w ilości  $c dt$  w czasie  $dt$  t.j. te drobni,  
które w rańczeniu, że są materialnymi  
punktami, wypełniają walec o powierzchni  
cy  $c dt$  (fig 60).

Jeżeli w całej objętości gazu znajdują  
się drobni  $N$ , to w uśrednionym walec znaj-  
dują się ich  $(N')$  mniej w stosunku objętości  
walec do objętości całej  $(N)$

Objętość walea wynosi  $c dt dw \cos \varphi$   
 bo  $dw \cos \varphi$  to jest wysokość.

Więc:

$$N' : N = c dt dw \cos \varphi : V$$

$$N' = \frac{c dt dw \cos \varphi}{V} N$$

Z tych drobniń niamek określony prętek  $\varphi(c)dc$   
 ma prędkości  $c$  i  $c+dc$  i niamek określony  
 prętem  $\frac{2\pi \sin \varphi d\varphi}{4\pi}$  porusza się pod kątem  $\varphi$  i  $\varphi+d\varphi$ .

Prędkość prętek te drobiny wywierająca  
 uwarstwiny prętem  $P$ , to ze względu, że u nas  
 $P = dt$  mamy:

$$p = \frac{2}{dt} \cdot \frac{c dt dw \cos \varphi N}{V} \varphi(c) dc \cdot \frac{2\pi \sin \varphi d\varphi}{4\pi} m \xi$$

u nas prędkość prostopadła do uwarstwiny  
 ścian *t.j.*  $\xi = c \cos \varphi$ .

Tak, nie sumując to wykreślenie dla wszyst-  
 kich drobni, pod różnymi kątami ( $\varphi = 0 \dots \frac{\pi}{2}$ )  
 posiadających i dla wszelkich prędkości  $c$ ,



mamy:

$$P = \frac{1}{dt} m \int_0^{\infty} c^2 \varphi(c) dc \cdot \frac{N}{V} dt \int_0^{\frac{\pi}{2}} \sin \varphi \cos^3 \varphi d\varphi d\omega =$$
$$= \frac{N}{V} \frac{m}{dt} \int_0^{\infty} c^2 \varphi(c) dc dt \cdot \frac{1}{3};$$

$$\text{bo } \int_0^{\frac{\pi}{2}} \sin \varphi \cos^3 \varphi d\varphi = - \frac{\cos^3 \varphi}{3} \Big|_0^{\frac{\pi}{2}} = \frac{1}{3}$$

$$P = \frac{m}{3 dt} \cdot dt \int_0^{\infty} c^2 \varphi(c) dc = \frac{1}{V} \frac{m \bar{c}^2}{3} N d\omega$$

Na jednostkowej powierzchni przypada więc

$$P = n \frac{m \bar{c}^2}{3}$$

Wynik ten, który dawniej otrzymaliśmy, należy poprawić przez uwzględnienie pomiarów drobin.

Wpływ pomiarów drobin należy uwzględnić przy obliczaniu ilości drobin w waleń elementarnym.

Liczba drobin wzystkich 4 garce uiech będzie  $N$ . Przyjmijmy, że  $N-1$

drobin jest stale umiarkowanych. Produkt  
 $N^{\text{ty}}$  drobin nie może być przeszereni,  
 najętej przez resztę drobin s.j. przeszereni  
 $(N-1) \frac{4}{3} \pi G^3$

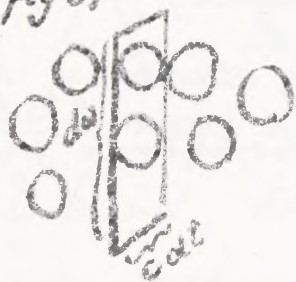
Z całej objętości gazu  $V$  należy  
 odjąć objętość wykluczoną  $(N-1) \frac{4}{3} \pi G^3$ , i  
 reszta przedstawi nam przeszereni, kts.  
 że jedna drobina może być przeszereni, czyli  
 przedstawi ilość wypadków możliwych  
 powyżej dla  $N^{\text{ty}}$  drobin. Ta ilość  
 wynosi więc  $V - \frac{4}{3} \pi G^3 (N-1)$

Chodzi teraz o wypadki, gdy dro-  
 bina najniżej położeni stanie, i u-  
 derza o uwarowaną ścianę, więc o wypad-  
 ki korzystne. Wypadki korzystne  
 stanowią powyżej resztę walec  
 $c d t d w \cos \varphi$ . Jeżeli walec ten



jest bardzo wąski, to ilość drobin wewnątrz jego jest bardzo małą a powierzchnia większą drobin po obu jego stronach, bo ilość drobin w walec jest proporcjonalna do grubości jego.

fig 61



W stanie normalnym znajdują się w walec ilość drobin:

$$\frac{N \cdot d \cdot d \cdot w \cdot c \cdot \pi}{4}$$

Podobnie jak w całej objętości gazu, tak i w walec, powierzchnia kąta pełen drobin. Do powierzchni wolec, wrosta. je w stosunku:  $\frac{4}{3} \pi (R-1) C^3$

Wzrostem, że drobin są punktami, mamy stosunek wypadków spryżających do ilości możliwych:

$$\frac{N c dt dw \cos \varphi}{V}$$

Teraz jednak  $V$  należy pomniejszyć o  $(N-1) \frac{4}{3} \pi b^3$ :  $\frac{N c dt dw \cos \varphi}{V - (N-1) \frac{4}{3} \pi b^3}$

Jeżeli ściana, którą braliśmy pod uwagę, jest ścianą narywną, to pewnie nie znajdziemy drobni wykalenonych, tylko a jed. naj jej strony znajdują się drobiny, tylko połowę trzeba odjąć, więc poprawka wynosi:

$$\frac{1}{2} \frac{(N-1) \frac{4}{3} \pi b^3}{V}$$

$$\frac{N c dt dw \cos \varphi}{V - (N-1) \frac{4}{3} \pi b^3} \left[ 1 - \frac{(N-1) \frac{4}{3} \pi b^3}{2V} \right] = \frac{N c dt dw \cos \varphi}{V \left[ 1 - (N-1) \frac{2 \pi b^3}{3V} \right]}$$

dalszy wywód jak poprzednio, różnica w tym że  $V$  dostaje poprawkę.

$$\frac{Q}{2} = n \quad b = 2 \cdot r \quad b^3 = 8 r^3$$

$$\text{nie } \frac{2 N \pi b^3}{3 V} = \frac{2 \cdot 8 \cdot r^3 N \pi}{3 V} = 4 \cdot \frac{4}{3} r^3 \frac{\pi N}{V}$$

$$\frac{N}{V} = n; \quad 4 \frac{4}{3} \pi r^3 n = b$$



$p = \frac{nm\bar{c}^2}{3[1 - \frac{b}{a}]}$ ; ten wzór warty jest dla  
 $b \ll v$ ;  $\bar{c}^2 = 3R\Theta$

$$p = \frac{nm\bar{c}^2}{3(1 - \frac{b}{a})} = \frac{nmR\Theta}{v - b} = \frac{nmvR\Theta}{v - b} = \frac{R\Theta}{v - b}$$

Jeżeli zwarymy, że dwie drobiny mogą lecieć tak blisko siebie, że ich sfery przekimają się, wówczas należy uwzględnić błąd, który popełniliśmy, uwarając każdą drobinę osobno od innych lecących. Wówczas dostajemy wzór:

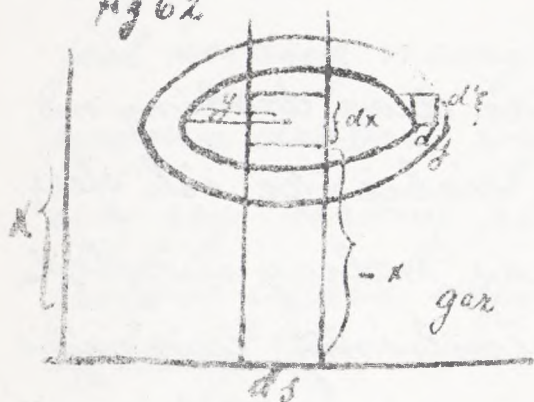
$$p = \frac{R\Theta}{v} \left[ 1 + \frac{b}{v} + \frac{5}{8} \left( \frac{b}{v} \right)^2 + \left( \frac{1283}{8960} + 0.1437 \right) \left( \frac{b}{v} \right)^3 \right]$$

gdzie  $\alpha_2 = \frac{1283}{8960} + 0.1437$  podane według obliczeń Boltzmann'a i Lorentza — dalszych współczynników nie dośiãno jeszcze obliczyć.

Należy teraz uwzględnić siły

przyciągające, które działają na odległości  
wielką  $\approx$  porównaniu z pomiarami drobin.  
Wykreślmy w gazie ograniczonym siana

fig 62



A - B walec o podstawie  
 $ds$  (fig 62). Wykrojiny  
następnie w wysokości  
warstwy o grubości  $dx$ ,  
to w warstwie tej znajdują  
się drobiny w ilości:

$ds ds \rho \frac{t}{m}$ , bo  $ds ds = ds$  objętość;  $\rho =$  gęstość,  
wsp.  $\rho ds ds$  masa gazu wypełniającego  
element  $ds$ . Masa ta działająca przez  
masę jednej drobin daje ilość  $ds$ .  
bry w dwu nawartych. Kawałek z tych  
drobin przyciągana jest przez wszystkie  
inne, które znajdują się w jej sferze dział.  
ciała, siła  $f(r)$ . Składowa tej siły



w kierunku osi walca wynosi:  $f_{\xi}(r) = f(r) \cos \alpha$ ,  
gdzie  $\alpha$  jest kątem zawarty między  $f(r)$  a osią.

$\cos \alpha = \frac{\xi}{r}$  więc  $f_{\xi}(r) = f(r) \frac{\xi}{r}$  jest to siła wywierana <sup>między</sup> przez jedną drobinę, a drobinami zawartymi w elemencie  $dv = dx ds$  wynosi:

$$\frac{dx ds \cdot \xi}{m} f(r) \frac{\xi}{r}$$

Wykreslmy około elementu  $dx ds$  obręć o promieniu  $y$ , grubości  $dy$  a wysokości  $d\xi$ , to siła między drobinami w  $dv$  a drobinami w obręcy tej zawartymi wynosi:

$$\frac{dx ds \xi}{m} \cdot \frac{2\pi y dy d\xi}{m} \cdot f(r) \frac{\xi}{r}$$

Całkując to wyrażenie otrzymamy siłę wywieraną przez drobinę ku środkowi, czyli naprężenie drobin wywierane na  $ds$ .

$$\int_{x=0}^{\infty} \frac{ds dx \xi}{m} \int_{\xi=-x}^{\infty} \int_{y=0}^{\infty} \frac{2\pi y dy d\xi \xi}{m} f(r) \frac{\xi}{r}$$

$\int_{y=0}^{\infty} 2\pi y dy$  określa całą ilość obrotów w górze,  
 $\int \dots - \dots \dots \dots \infty$  t.j. od osi  $z$  do  
 ścian do  $\infty$ , gdy przyjmujemy, że gaz się  
 wznosi do  $\infty$

wreszcie  $x \dots 0 \dots -\infty$  t.j. sumujemy  
 to wszystko od ścian do  $\infty$  w górę

Wynikiem to dla pewnego  $f(r)$  ma wartość:

$$\int_{x=0}^{\infty} \frac{ds dx s}{m} \int_{z=-x}^{\infty} \int_{y=0}^{\infty} \frac{2\pi y dy dz s}{m} f(r) \frac{1}{r} = ds s^2 A$$

Jeżeli  $ds = 1$ , to cisnienie to na tem  
 ku środkowi, czyli cisnienie wewnętrzne,  
 jak je nazywa Van der Waals, wynosi:

$$\pi = \rho^2 A = \frac{a}{v^2}$$

Cisnienie to działa w tym samym  
 kierunku, co  $p$ , potrzebuje dla utrzymania  
 ma drobni i naczynie, więc ualenie je  
 dostaje do  $p$  i mamy w ten sposób



rownanie Van der Waalsa:

$$p + \frac{a}{v^2} = \frac{RT}{v-b}$$

Co do rownania:  $p = \frac{RT}{v} \left[ 1 + \frac{b}{v} + \frac{5}{3} \left( \frac{b}{v} \right)^2 \right] - \frac{a}{v^2}$ ,  
to Jäger, uwzględniając trzy pierwsze skład-  
niki powyższego szeregu otrzymane wiot:

$$p + \frac{a}{v^2} = RT \frac{v^2}{(v - \frac{b}{3})^3}$$

Wzrost jest dokładniejszy od wzoru  
Van der Waalsa, bo u Van der Waalsa  
uwzględnione są tylko dwa pierwsze  
dokładniki:

$$p + \frac{a}{v^2} = \frac{RT}{v} \left[ 1 + \frac{b}{v} \right] = \frac{RT}{v} \cdot \frac{1}{1 - \frac{b}{v}} = \frac{RT}{v-b}$$

Leur i Jägera wiot. nielapiej radaje ofus.  
we, a z tego musimy wnioskować, że teło.  
pienia są fałszywe.

Wzrost precyzyjne poprowadziennu  
nałowienia robi Raingannum. On przyj-  
myje, że sfera drzistańcia sił przyciągają.

jących jest bardzo mała i na tej podstawie  
 przy pomocy twierdzenia o silniku (trierde-  
 mi to można tu stosować, bo ono jest niez-  
 leżne od rodzaju przyjętych sił), otrzyma-  
 je równania:

$$p = \frac{R\theta}{v} + \frac{R\theta^2 e^{\frac{\theta}{v}} - \varphi(\theta)}{v^2}$$

Jednak i to równanie nie jest dobre i  
 zdaje się, że garz zachowyje się pośrednio  
 między tem, czego piada Van der Waals  
 a tem, czego Raiganum, t.z. w sferze drin,  
 tania każdej drobiny najduzej się skoni-  
 czone mała ilość drobin.

State a, i b z równania Van der Waalsa.

$$p = \frac{R\theta}{v-b} - \frac{a}{v^2}$$

State a możemy obliczyć na podstawie  
 pracy, która potrzeba wykonać dla  
 przerwyżnienia ciśnienia pełnego



i ~~warstwy~~ trwałego podciśnienia parowania. Gdy  
 warstwa rewnstrua ciekry paruje, wówczas  
 oddzięły drobne wrastają precyziwnie do  
 ciśnienia, które drobia ku środkowi ma,  
 sy garu. Praca wykonana wbrew ciśnie-  
 niu jest równoważna z ciepłem parowa-  
 nia  $\cdot R$

$$r = \int_{v_c}^{v_p} (p + \frac{a}{v^2}) dv.$$

Całkujemy w granicach  $v_c, v_p$  t.j. od ob-  
 jętości ciekry do objętości pary. Podciśnienie  
 parowania ciśnienie rewnstrue atmo-  
 sferyczne porostają stale, możemy więc  
 napisać:

$$\begin{aligned}
 R &= p \int_{v_c}^{v_p} dv + a \int_{v_c}^{v_p} \frac{dv}{v^2} = \\
 &= p(v_p - v_c) - a \frac{1}{v} \Big|_{v_c}^{v_p} = p(v_p - v_c) + a \left( \frac{1}{v_c} - \frac{1}{v_p} \right)
 \end{aligned}$$

Sp. dla wody:  $r = 536 \text{ cal} = 536 \cdot 4 \cdot 2 \cdot 10^7 \text{ erg}$

$$\mu = 1 \text{ atmosfer} = 10^6 \text{ dyn}$$

$$V_c = 1 \text{ cm}^3 \quad V_p = 1600 \text{ cm}^3$$

$$V_c \ll V_p \quad \frac{1}{V_p} \ll \frac{1}{V_c}$$

$a \approx 2000 \cdot 10^7$  jednostek pracy

Cisnienie na powierzchni wody drżającej

$$\frac{p}{\rho} = 20.000 \text{ atmosfer, bo } v_{\text{wody}} = 1.$$

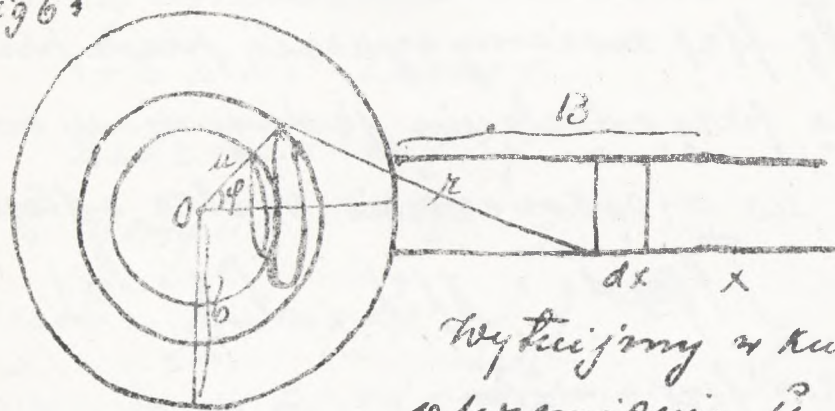
Rozumieemy teraz, dla czego podczas  
skupiania gazu ardo skroplenia tlenku  
jego cęzar bardziej maleje. Przy skrople-  
niu wytwarza się bowiem ciśnienie  
wewnętrzne kilku tysięcy atmosfer.

Dla różnych temperatur a powinno  
być stałe, tymczasem doświadczeni poka-  
żują, że tak nie jest. Van der Waals  
wykonał obliczenia stałej „a” i „b” opie-  
rając się na teorii wiskowatości. —  
Wierimy pod uwagę wewnętrznie ciężki



o promieniu  $b$  i wałek o wielkiej Długości  $B$  (fig 63). Chodzi o siłę przyciągania wywieraną wrajenie przez kulę i wałek na siebie

fig 63



wytkijony z kuli warstwę o promieniu  $r$  i  $x$  tej warstwy

obrzeża. Położenie współrzędnych niech będzie w środku Kuli  $O$ , a osi Walca ( $B$ ) niech ma kierunek osi odciętych  $x$

Siła między obrzeżem i elementem walca działająca wynosi:  $m_1 m_2 f(r)$ , gdzie  $m_1$  = masa obrzeża,  $m_2$  = masa elementu walca,  $f(r)$  = siła działająca między jednost. kowami masami, znajdującymi się

w odstępnie  $r$  od siebie.

$$m_1 = dv_1 \rho = 2\pi \tilde{u} r \sin \varphi d\varphi u du \rho$$

$m_2 = dv_2 \rho = \rho d\Omega dz$ ; do: podstawa uszeregowanego  
waleca.

Siła  $f(r)$  możemy wyrazić przez pracę  
wykonaną przy oddaleniu jednostki masy od  
drugiej na nieskończoność wielką odległość

Praca ta:  $\int_r^\infty f(r) dr = \chi(r)$  ( $\chi$  - chi).

wieź  $f(r) = -\frac{\partial \chi}{\partial r}$  Siła paś i kci.

punktu  $x$  działająca będzie:

$$f_x(r) = f(r) \cos \Theta = -\frac{\partial \chi}{\partial x} = -\frac{d\chi}{dr} \cdot \frac{\partial r}{\partial x}$$

Otrzymujemy więc na siłę między  $dv_1 \rho$  a  
 $dv_2 \rho$  wartości:

$$dF = \int 2\pi \tilde{u} r \sin \varphi \tilde{u} d\varphi du \rho \rho d\Omega dz \frac{\partial \chi}{\partial x}$$

$$dF = -2\pi \rho du \int_a^b \int_0^\pi \int_0^\pi \tilde{u} \chi \sin \varphi d\varphi$$



wiemy tu napisać  $\int dx \frac{dx}{r} \int_0^\pi u \sin \varphi d\varphi =$   
 $= \int dx \frac{dx}{r} \int_0^\pi \chi u \sin \varphi d\varphi$ , bo całce  $\int \chi u \sin \varphi$  zmienna  
 jest tylko  $\varphi$ , zaś  $\chi$  i  $u$  uważamy za stałe.  
 Według twierdzenia Carnotta mamy:

$$r^2 = u^2 + x^2 - 2ux \cos \varphi$$

$$2r dr = 2ux \sin \varphi d\varphi$$

$$u \sin \varphi d\varphi = \frac{r dr}{x}$$

przeto:  $\int_0^\pi \chi u \sin \varphi d\varphi = \int_{-u+x}^{u+x} \chi \frac{r dr}{x}$

granice są tu od  $x-u$  do  $x+u$ , bo, gdy  $\varphi = 0$ ,  
 to (z twierdzenia Carnotta)  $r = -u+x$

gdy  $\varphi = \pi$ ,  $r = u+x$

$$\int_{-u+x}^{u+x} \chi \frac{r dr}{x} = \frac{1}{x} \int_{-u+x}^{u+x} \chi r dr = \frac{1}{x} [\psi(x+u) - \psi(x-u)]$$

zatem:  $\int \chi(u) r dr = \psi(r)$

$$dF = -2\pi \xi^2 du \int dx \frac{dx}{r} \left[ \frac{1}{x} (\psi(x+u) - \psi(x-u)) \right]$$

$$= -2\pi \xi^2 du \int_0^b \left\{ \frac{1}{x} [\psi(x+u) - \psi(x-u)] \right\} dx$$

$$= -2\pi q^2 \text{do} \int_a^b \left\{ \frac{1}{3} [\psi(B+u) - \psi(B-u)] - \frac{1}{6} [\psi(b+u) + \psi(b-u)] \right\} du$$

$$= -2\pi q^2 \text{do} \int_a^b du \left[ \frac{1}{3} \psi(B+u) - \frac{1}{3} \psi(B-u) - \frac{1}{6} \psi(b+u) + \frac{1}{6} \psi(b-u) \right]$$

$\chi(r)$  przewidujemy przez wykonanie precyzyjnej siły atrakcyjnej międzydrobinowej, ponieważ siła ta jest znikająco mała, drobina jest w odległościach nieco większych, niż porównamy drobinie ( $10^{-5}$  cm), więc  $\chi(r) \approx 0$ . Dla wystąpienia  $\kappa$  z wyjątkiem bardzo małych  $\kappa < 10^{-5}$  cm. Wskutek tego i funkcja  $\psi(r)$  będzie znikła dla  $\kappa > 10^{-5}$ .

W ostatnim kroku na  $dF$  mamy pod całką funkcję  $\psi$  dla argumentów  $B+u$ ,  $B-u$ ,  $b+u$ ,  $b-u$ .

Przy pierwszych argumentach są wielkie, więc funkcja u takich miejscach znikła, ewentualny argument  $b-u$ , dla u zbliżającego się do  $b$  może być bardzo



maty.

Uwzględnając to mamy:

$$dF = -2\pi g^2 d\sigma \int_0^b u du \frac{1}{6} \psi(b-u)$$

$$dF = -\frac{2\pi g^2 d\sigma}{6} \int_0^b \psi(b-u) u du$$

Kładziemy  $b-u=x$ ,  $u=b-x$ ,  $du=-dx$

granice: dla  $u=0$ ,  $x=b$ , dla  $u=b$ ,  $x=0$

$$dF = \frac{2\pi g^2 d\sigma}{6} \int_b^0 (b-x) \psi(x) dx =$$
$$= \frac{2\pi g^2 d\sigma}{6} \int_0^b x \psi(x) dx - 2\pi g^2 d\sigma \int_0^b \psi(x) dx.$$

Wartości tych całek zależą od rozmierań kuli. Przyjmijmy, że kula ma porównany widzialny, więc  $b$  jest cięciwą i porównaniem ze sferą dristana się międzydrobinowych. Siły te zmieniają się w obrębie sfery dristana, porównania zmieniają się, więc mówimy dla funkcji  $\psi$  przyjął  $b = \infty$

(bardzo wielkie) i podstawić tę wartość  
 w górnej granicy

$$\text{wzr: } d\tilde{F} = \frac{2\pi\tilde{\rho}^2 d\sigma}{\epsilon} \int_0^{\infty} r \psi(r) dr - 2\pi\tilde{\rho}^2 d\sigma \int_0^{\infty} \psi(r) dr ;$$

$$\text{półorczy: } - 2\pi \int_0^{\infty} \psi(r) dr = a$$

$$- \tilde{\rho}^2 \pi \int_0^{\infty} r \psi(r) dr = a \quad \text{to:}$$

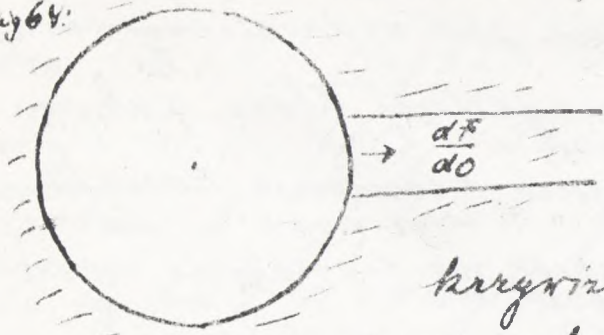
$$\underline{\underline{\frac{d\tilde{F}}{d\sigma} = a\tilde{\rho}^2 - \frac{2a}{\epsilon}}}$$

Jeżeli istnieje stan równowagi, to siła wypadkowa wewnętrznej cieczy działająca musi być równoważona, a przeciwnym bokiem raris powstałoby przyspieszenie w elementarnym walec.

$\frac{d\tilde{F}}{d\sigma}$  jest to siła, która całą ciecz wyrwana na jednostkowy walec. Jeżeli wzej kula jest pusta, to  $\frac{d\tilde{F}}{d\sigma}$  przedstawia siłę wyrwaną na powierzchni jej przez resztę cieczy. To jest według Van der Waals



ciężkości wewnętrznej (fig 64);  $\frac{2\alpha}{6}$  kaloryj odd  
 1964: równowagi kuli. Jest



to napięcie wóskowe,

łosci, bo kaloryj odd

krzywizny tej powierzchni. Kępe

na powierzchni krzywizny ciśnień  $\frac{a}{v^2}$

umiejętność o wielkości  $\frac{2\alpha}{6}$ .

Jżeli promienie krzywizny powierzchni  
 są równe  $r$  i  $r'$ , to ciśnienie wskutek napię-  
 cia powierzchniowego wynosi  $\alpha(\frac{1}{r} + \frac{1}{r'})$ .

W wypadku kuli  $r = r'$ , a nas  $r = r' = b$ , więc:

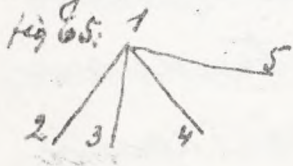
$\frac{2\alpha}{6}$  jest przekryciem napięciem powierzchni-  
 wym

Gdybyśmy mieli  $f(r)$  moglibyśmy obli-  
 czyć wielkości  $\alpha$  i  $a$ . Odwrotnie  $r$  i  $a$   
 obliczyć  $f(r)$  jest zadaniem trudnym,  
 bo mamy tu do czynienia z całkami

omacronemii.

Ciepłota parowania jak widzieliśmy skła-  
da się z dwóch części: jednej która zużywa  
się na przerwyżnienie ciśnienia parownego,  
gdz:  $p(v_p - v_c)$  i drugiej na ciśnienie parowne,  
gdz:  $a(\frac{1}{v_c} - \frac{1}{v_p})$ . Roznica  $r - p(v_p - v_c)$  na-  
zywa się innere Verdampfungswärme, bo  
częśćta pochodzi od międzydrobinowych  
sił przyciągania.

Praca drobin podczas parowania  
wzimy pod uwagę ciecz składają-  
ca się z drobin u pewien sposób ułożonych  
i obliczmy energię parowną przedsta-  
wioną przez skupienie tych drobin. Mię-  
dzy drobinami działają siły atrakcyi,  
których wielkość wynosi  
 $m_s m_k f(r_{sk})$ , gdzie  $s \neq k$  są





zwaerze odnośnie się do pojedynczych dro-  
 bin 1, 2, 3, 4... (fig 65). Dla drobin 1 i 2 ma-  
 my:  $m_1, m_2, f(r_{12})$ . Praca czyli potencjał  
 drobin 1 względem 2, gdy 1 drabina odda-  
 la się od 2 z odległości  $r_{12}$  na  $\infty$  wynosi:

$$X_{12} = \int_{r_{12}}^{\infty} f(r_{12}) dr \quad m_1, m_2$$

$W$  energia całego systemu drobin  
 "W" będzie składać się z tych pojedynczych  
 prac  $X$ .

$$W = X_{12} + X_{13} + X_{14} + \dots + X_{21} + X_{23} + \dots$$

Jeżeli drabina 1 z daną prędkością odda-  
 la się z  $\infty$ , musi wskutek obecności innych  
 drobin wykonać pracę:  $w_1 = X_{12} + X_{13} + X_{14} + \dots$   
 podobnie dla drobin 2

$$w_2 = X_{21} + X_{23} + X_{24} + \dots$$

Podstawiając te "w" w "W" mamy:

$$W = \frac{w_1 + w_2 + \dots}{2} = \frac{\sum w}{2}$$

podobnie jak w elektrostatyce energia  $W = \frac{\epsilon e V}{2}$ ,  
gdzie  $e$  = ładunek,  $V$  = potencjał.

Wewnątrz cieczy wszystkie drobiny są  
równouprawnione t.j. owe  $W$  są wszystkie so-  
bie równe. Różnica występuje tylko w warstwie  
zewnątrzniej cieczy, gdzie drobiny podlegają me-  
co różnym siłom, niż te, które są wewnątrz.  
Pomijając cienką warstwę zewnętrzną i porów-  
namy z wielką ilością cieczy i zewnętrznją  
warstwie mamy:

$2W = N \times$  gdzie  $N$  = liczba drobin

$$\frac{2W}{N} = \alpha$$

Jeżeli odwołamy to do jednego grama cie-  
czy, to według Van der Waals'a energia  
zewnątrzna (ciepło parowania) wynosi  $\alpha = \frac{2a}{nv^2}$

1. w  $\text{cm}^3$  jest  $n$  drobin, więc w  $1 \text{gr.}$   $nv^3$  drobin,

$$\alpha = \frac{2W}{nv} = \frac{2 \cdot \frac{a}{v}}{nv} = \frac{2a}{nv^2}.$$



$$\omega = \frac{2am}{nmv^2} = \frac{2am}{v} \text{ bo } nmv = 1$$

$$a = \frac{hv}{2m} \text{ Liczba wzmętna parowania: } L_i = a \left( \frac{1}{v_c} - \frac{1}{v_p} \right)$$

$$L_i = \frac{1}{2m} \left( \frac{hc v_c}{v_c} - \frac{h v_p}{v_p} \right) = \frac{1}{2m} (h v_c - h v_p)$$

Prękinosi pary nasyconej wzroszającej się nad  
dawa ciecha według Boltzmanna

Wziemy pod uwagę  $1 \text{ cm}^3$  cieczy i  $1 \text{ cm}^3$  pary. Ja-  
kie jest prawdopodobieństwo, aby drobina była  
w fazie ciekłej, a janie dla pary gazowej?

Ponieważ drobiny posiadają rozmiary peme,  
istnieje więc objętość, w której drobina uwaransa  
nie może rozjadować się, mianowicie  $\frac{1}{3} \pi b^3 n$ .

t.j. objętość najęta przez n drobin.

Pręstwieci porostala w  $1 \text{ cm}^3$  do dyspro-  
rycyi wynosi:  $1 - \frac{4}{3} \pi b^3 n$  czyli  $1 - \frac{2b}{v}$

$$\text{bo: } b = 4n \cdot \frac{4}{3} \pi \left( \frac{v}{2} \right)^3 = n \cdot 4 \frac{4}{3} \pi \frac{v^3}{8} = \frac{2}{3} n \pi v^3$$

Pręstwieci więc volua do dysprozycyi  
w fazie ciekłej wynosi  $1 - \frac{2b}{v_c}$ , zaś w fazie

garowej  $1 - \frac{2b}{v_p}$ . Stosunek tych prawdopodobieństw przedstawi stosunek prawdopodobieństwa, aby drobina była w fali ciekłej  $(p)_c$ , do prawdopodobieństwa w fali garowej  $(p)_p$

$$\left(1 - \frac{2b}{v_c}\right) : \left(1 - \frac{2b}{v_p}\right) = (p)_c : (p)_p$$

Taki związek istnieje, gdy między innymi pod uwagę się wzięją siły przyciągających międzydrobinowych. Przy uwzględnieniu sił tych należy według twierdzenia Maxwell-Boltzmann'a tworzyć składniki, przedstawiające prawdopodobieństwo, że, przez czynnik  $e^{-hU}$

$$(p)_c : (p)_p = \left(1 - \frac{2b}{v_c}\right) e^{-hU_c} : \left(1 - \frac{2b}{v_p}\right) e^{-hU_p}$$

$U_c$  i  $U_p$  przedstawiają energie potencjalne drobin w stanie ciekłym i garowym.

W stosunku prawdopodobieństwo porostu, ja liczbę drobin zawartych w odpowiednich fazach. —



$$\text{Wsp.} : \left(1 - \frac{2b}{v_c}\right) e^{-kU_c} : \left(1 - \frac{2b}{v_p}\right) e^{-kU_p} = n_c : n_p$$

$$n_c \cdot \left(1 - \frac{2b}{v_p}\right) e^{-kU_p} = n_p \left(1 - \frac{2b}{v_c}\right) e^{-kU_c}$$

Muoiac obie strony przez  $m$  (masa drobinny), mo-  
my ze względu, że  $m \cdot n_c = \frac{1}{v_c}$ ,  $n_p \cdot m = \frac{1}{v_p}$ :

$$\frac{1}{v_c} \left(1 - \frac{2b}{v_p}\right) e^{-kU_p} = \frac{1}{v_p} \left(1 - \frac{2b}{v_c}\right) e^{-kU_c}$$

$$(v_p - 2b) = (v_c - 2b) e^{-k(U_c - U_p)}$$

$$k = \frac{3}{m c^2} = - \frac{1}{m R \Theta} \text{ według Maxwella.}$$

Różnica energii jest to samo, co różnica  
prae "H"

$$U_c - U_p = H_c - H_p = 2am \left(\frac{1}{v_c} - \frac{1}{v_p}\right)$$

$$\frac{v_p - 2b}{v_c - 2b} = e^{-\frac{1}{m R \Theta} 2am \left(\frac{1}{v_c} - \frac{1}{v_p}\right)}$$

$$\lg \frac{v_p - 2b}{v_c - 2b} = \frac{2a}{R \Theta} \left(\frac{1}{v_p} - \frac{1}{v_c}\right)$$

$$a \left(\frac{1}{v_p} - \frac{1}{v_c}\right) = \frac{R \Theta}{2} \lg \frac{v_p}{v_c} \left[ \frac{1 - \frac{2b}{v_p}}{1 - \frac{2b}{v_c}} \right] =$$

$$= \frac{R \Theta}{2} \left[ \lg \frac{v_p}{v_c} + \lg \frac{1 - \frac{2b}{v_p}}{1 - \frac{2b}{v_c}} \right] =$$

$$= \frac{R \Theta}{2} \left[ \lg \frac{v_p}{v_c} + \lg \left(1 - \frac{2b}{v_p}\right) \left(1 - \frac{2b}{v_c}\right)^{-1} \right]$$

jeżeli  $b \ll v$ , to możemy  $\lg(1 - \frac{2b}{v_p})(1 - \frac{2b}{v_c})^{-1}$

rozwinąć i otrzymujemy:

$$a(\frac{1}{v_p} - \frac{1}{v_c}) = \frac{R\theta}{2} \left[ \lg \frac{v_p}{v_c} + 2b(\frac{1}{v_c} - \frac{1}{v_p}) \right]$$

4.) więc:  $Z_i = a(\frac{1}{v_p} - \frac{1}{v_c}) = \frac{R\theta}{2} \left[ \lg \frac{v_p}{v_c} + 2b(\frac{1}{v_c} - \frac{1}{v_p}) \right]$

Jeżeli znamy wielkości  $a$  i  $b$  z równania Van der Waalsa, możemy obliczyć dla danego  $\theta$  prężności pary nasyconej nad cieczą cieczą. Mamy bowiem według Van der Waalsa:

$$p_c v_c = -\frac{a}{v_c} + \frac{R\theta}{v_c - b} v_c \text{ dla ciekłej warstwy}$$

$$p_p v_p = -\frac{a}{v_p} + \frac{R\theta}{v_p - b} v_p \text{ dla pary}$$

$$\text{ale } p_p = p_c = p$$

$$1) p v_c = -\frac{a}{v_c} + \frac{R\theta}{v_c - b} v_c$$

$$2) p v_p = -\frac{a}{v_p} + \frac{R\theta}{v_p - b} v_p \text{ do tego dochodzimy}$$

równania (1)

$$3) a(\frac{1}{v_p} - \frac{1}{v_c}) = \frac{R\theta}{2} \left[ \lg \frac{v_p}{v_c} + 2b(\frac{1}{v_c} - \frac{1}{v_p}) \right]$$

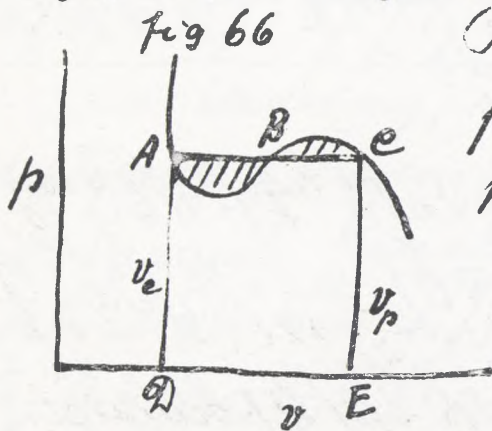
Aby znaleźć  $p = f(\theta)$  musimy, byśmy wyznaczyć nierównanie  $v_c$  i  $v_p$ , co



są robić nie da, ponieważ mamy do czynienia z przestępnym równaniem. Dlatego też obliczono tablice, które przedstawiają funkcję  $p = f(\theta)$

Oznaczenie Teresa, że wzór (1) otrzymany na podstawie teorii kinetycznej jest identyczny ze wzorem, który otrzymany jest w termodynamice.

Wzimy pod uwagę krzywą, przedstawiającą funkcję  $p = f(v)$  (fig 66)



Przeanalizujmy to właśnie przedstawione tu ćwiczenie krzywej, w której części obie  $\widehat{AB\hat{A}}$  i  $\widehat{BC\hat{B}}$  odcięte na krzywej przez prostą równoległą do osi

$v$ , są jednakowe, czyli tam, gdzie

$p(v_p - v_c) = \int_{v_c}^{v_p} p dv$ ; tu  $p(v_p - v_c)$  przedsta-  
 wia powierzechnie prostokata  $ACDE$ , zaś  
 $\int_{v_c}^{v_p} p dv$  powierzechnie  $DA\tilde{B}CE$ .  
 Według równania Van der Waalsa mamy:

$$p = -\frac{a}{v^2} + \frac{R\theta}{v-b}$$

$$\int_{v_c}^{v_p} p dv = \frac{a}{v} \Big|_{v_c}^{v_p} + R\theta \lg(v-b) \Big|_{v_c}^{v_p}$$

$$\int_{v_c}^{v_p} p dv = a \left[ \frac{1}{v_p} - \frac{1}{v_c} \right] + R\theta \lg \left( \frac{v_p - b}{v_c - b} \right)$$

Odejmując zaś 1 od 2 mamy:

$$p(v_p - v_c) = \frac{R\theta}{v_p - b} v_p - \frac{a}{v_p} - \frac{R\theta}{v_c - b} v_c + \frac{a}{v_c}$$

Dla punktu wrzenia mamy według (1)

$$p(v_p - v_c) = \int_{v_c}^{v_p} p dv$$

czyli

$$\frac{R\theta}{v_p - b} v_p - \frac{a}{v_p} - \frac{R\theta}{v_c - b} v_c + \frac{a}{v_c} = a \left[ \frac{1}{v_p} - \frac{1}{v_c} \right] + R\theta \lg \frac{v_p - b}{v_c - b}$$

$$a \left[ \frac{1}{v_c} - \frac{1}{v_p} \right] - a \left[ \frac{1}{v_p} - \frac{1}{v_c} \right] = R\theta \left[ -\frac{v_p}{v_p - b} + \frac{v_c}{v_c - b} \right] + R\theta \lg \frac{v_p - b}{v_c - b}$$

$$2a \left[ \frac{1}{v_c} - \frac{1}{v_p} \right] = R\theta \left[ \frac{1}{1 - \frac{b}{v_c}} - \frac{1}{1 - \frac{b}{v_p}} \right] + R\theta \lg \frac{v_p - b}{v_c - b} + R\theta \lg \frac{1 - \frac{b}{v_p}}{1 - \frac{b}{v_c}}$$



$$2a(\frac{1}{v_c} - \frac{1}{v_p}) = R\theta \left[ \frac{1}{1 + \frac{b}{v_c}} - \frac{1}{1 - \frac{b}{v_p}} \right] + R\theta \left[ \lg \frac{v_p}{v_c} + \lg \frac{1 - \frac{b}{v_p}}{1 - \frac{b}{v_c}} \right]$$

$$\lg \frac{1 - \frac{b}{v_p}}{1 - \frac{b}{v_c}} = \lg (1 - \frac{b}{v_p}) (1 - \frac{b}{v_c})^{-1}$$

pod założeniem, że  $b \ll v$ ; rozwijając logary-

tm, otrzymamy  $= b(\frac{1}{v_c} - \frac{1}{v_p})$ ; otrzymuje

$$\text{tak } \frac{1}{1 + \frac{b}{v_c}} - \frac{1}{1 - \frac{b}{v_p}} = \frac{1}{v_c} - \frac{1}{v_p}$$

$$2a(\frac{1}{v_c} - \frac{1}{v_p}) = R\theta [b(\frac{1}{v_c} - \frac{1}{v_p})] + R\theta \left[ \lg \frac{v_p}{v_c} + b(\frac{1}{v_c} - \frac{1}{v_p}) \right]$$

$$2a(\frac{1}{v_c} - \frac{1}{v_p}) = R\theta [2b(\frac{1}{v_c} - \frac{1}{v_p})] + R\theta \lg \frac{v_p}{v_c}$$

$$a(\frac{1}{v_c} - \frac{1}{v_p}) = \frac{R\theta}{2} \left[ \lg \frac{v_p}{v_c} + 2b(\frac{1}{v_c} - \frac{1}{v_p}) \right]$$

$$a(\frac{1}{v_p} - \frac{1}{v_c}) = \frac{R\theta}{2} \left[ \lg \frac{v_p}{v_c} + 2b(\frac{1}{v_p} - \frac{1}{v_c}) \right]$$

Widzimy, że ostatni wzór jest  
identyczny z wzorem (1). Z tego wniosek, że  
porównania kinetyczne potwierdzają  
wzór Maxwella:  $f_p(v_p - v_c) = \int_{v_p}^{v_c} p dv$ .

Obliczenia od normalnych stanów

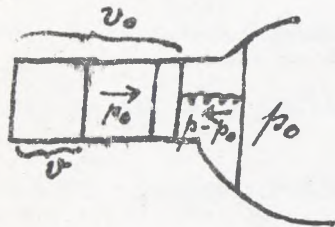
W ostatnich latach zajmowano się

kwestya, do jakiej granicy prawa termody-  
namiki są jeszcze ważne. Z H teoremu  
Bolztmana wypływa zgodność termodynamiki  
z teorią kinetyczną, bo funkcja H odpowiada  
entropii i stan równowagi termodynamicznej  
jest zarazem stanem najprawdopodobniejszym.  
Musimy jednak uważać, że prócz stanów  
najprawdopodobniejszych są również mniej  
prawdopodobne. Przy kardecie zdarzają  
zdarzenia odprawdopodobieństwa są  
zbożenia przypadkowe, które musiałyby  
być niemożliwe z termodynamiką. Że  
niepostrzegamy tych zbożeń, pochodzi  
stąd, iż one są bardzo drobne. Wystę-  
puje kwestya, czy mogą być zdarzenia,  
przy których zbożenia od stanu  
normalnego mogłyby być uwidacznic. —



## Zbożenie gęstości gazu.

Wzimy pod uwagę wałek, powietrzony z ośrodkim rezerworem, napełnionym gazem o gęstości  $\rho_0$  (fig 67). W wałcu zamocujemy



1 gram gazu, tak, że normalna jego gęstość była  $\rho_0$ , objętość  $v_0$ .

Wskutek nieregularnych ude-

żeń drobni gazu o tłoek nieporostami tłoek u normalnej poręczy, lecz będzie odbywał wahania, bo wskutek nieregularności udeżeń będzie przy tłoeku chwilowo mniej gazu, chwilowo więcej; niż wypadła na gęstość  $\rho_0$ . Z czasem wprowadzi wahania te zanikną, chwilowo jednak są odstępstwa.

Geistnajmy teraz izotermiczne tłoek, aż do objętości  $v$ , a gęstości  $\rho$ . Nadmiar ciśnienia  $p - p_0$  miedowala

wtlacrać tłoła dalej. Jeżeli przycrepimy  
 sprężynę (fug 67), która będzie tak drżała,  
 że równowazę tej uadmar ciśnienia  
 $p-p_0$ , wówczas wszystkie przyeye tłoła  
 w waleu będą równie prawdopodobne, nie  
 będzie bowiem siły, która by starała się tłoła  
 zepchnąć do normalnej przyeye. Prąd,  
 podobieństwo objętości w waleu będzie  
 proporcjonalne do objętości  $V(p) dv = a dv$   
 $a$  - czynnik proporcjonalności...

Jeżeli usuniemy sprężynę, wówczas przy wtlacaniu tłoła w chodzie  
 w rachube energii potencyalna  $U$  w wału,  
 ten pomiany przyeye tłoła. Energia ta  
 ma wartość:  $v_0$

$U = \int_0^{v_0} (p - p_0) dv$ , bo  $p_1$  praca wy-  
 konana przy sciskaniu, czyli siła  $(p - p_0)$



rany droga  $dv$ .

Według Boltzmann'a przy istnieniu energii potencjalnej prawdopodobieństwo objętości  $v \dots v + dv$  małego wolumenu  $e^{-hU}$

$$\frac{W(v) dv}{\Omega} = a e^{-hU} dv$$

$h = \frac{1}{mR\theta}$   $\frac{1}{m} = v$  ilość drobin w 1 gr. gazu.

$h = \frac{1}{R\theta}$ . Gdy odjmujemy ciśnienie sprężyn  $(p - p_0)$ , więc tak jakbyśmy dodali z prędkością strony siłę tę re puakcją prędkości.

$$W(v) dv = a e^{-\frac{1}{R\theta} U} dv = a e^{-\frac{1}{R\theta} \int_0^v (p - p_0) dv}$$

Odstęż patera chwilowe  $p$  od normalnej pręcisoci  $p_0$  są bardzo małe  $p = p_0 + \Delta p_0$ ,

możemy więc  $p$  rozwinąć:  $p = f(v)$

$$p = p_0 + \left(\frac{\partial p}{\partial v}\right)_0 (v - v_0) + \frac{1}{2!} \left(\frac{\partial^2 p}{\partial v^2}\right)_0 (v - v_0)^2 + \dots$$

$$\int_{v_0}^v (p - p_0) dv = \int_{v_0}^v \left[ \left(\frac{\partial p}{\partial v}\right)_0 (v - v_0) dv + \frac{1}{2!} \left(\frac{\partial^2 p}{\partial v^2}\right)_0 (v - v_0)^2 dv + \dots \right]$$

W przybliżeniu:

$$\int_{v_0}^v (p - p_0) dv = \int_{v_0}^v \left(\frac{\partial p}{\partial v}\right)_0 (v - v_0) dv =$$

$$= \left(\frac{\partial p}{\partial v}\right)_0 \int_0^{v_0} (v - v_0) dv = \left(\frac{\partial p}{\partial v}\right)_0 \left[ \frac{v^2}{2} - v_0 v \right]_0^{v_0} =$$

$$= \left(\frac{\partial p}{\partial v}\right)_0 \left( v_0 v - \frac{v^2}{2} - \frac{v_0^2}{2} \right) = - \left(\frac{\partial p}{\partial v}\right)_0 \frac{(v_0 - v)^2}{2}$$

$$W(v) dv = a e^{-\frac{\gamma}{R\theta} \left(\frac{\partial p}{\partial v}\right)_0 \frac{(v_0 - v)^2}{2}} dv = a e^{-\frac{\gamma}{R\theta} C \frac{(v_0 - v)^2}{2}}$$

$\left(\frac{\partial p}{\partial v}\right)_0 = C$  (constans), przyjmijmy  $v = v_0(1 + \delta)$ , gdzie  $\delta$  oznacza chwilowe regresecie lub roz.

wredzenie gazu, to:

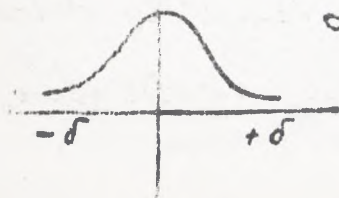
$$W(v) dv = a e^{-\frac{\gamma}{R\theta} C \frac{v_0^2 \delta^2}{2}} dv$$

$$R\theta = p_0 v_0$$

$$W(v) dv = a e^{-\frac{\gamma C}{p_0} \cdot \frac{v_0 \delta^2}{2}} dv = a e^{-\frac{C v v_0}{2 p_0} \delta^2} dv$$

Zbozenia chwilowe od gęstości względnie objętości są przedstawione przez krzywą Laplace'a.

Gła  $\delta = 0$  mamy normalną gęstość (fig: 68). Zbozenia od normalnego stanu



są tym większe, im mniejszy współczynnik przy  $\delta^2$ .



W tym współczynniku  $\frac{v_0 \rho}{\rho_0}$ ,  $v_0$  i  $\rho_0$  są dane  
 jako normalna objętość i prędkość,  $\rho$  i  $\rho_0$   
 w ilości drobni przy danej temperaturze mól.  
 na dwulinię Dobrai. Im  $v$  jest mniejsze  
 tem większe prawdopodobieństwo zbożenia  
 danego od normalnej gęstości. To wynika  
 wprost z zasady rachunku prawdopodobieństwa,  
 gdyż im więcej drobni, tem bardziej stan  
 chwilowy zbliżony jest do najprawdopodob.  
 niejszego stanu. Precyzyjne zbożenie  
 $\bar{J}$  ma wartość:

$$\bar{J} = \sqrt{\frac{2}{v \pi}}$$

$v$ : liczba drobni normalnie przypadających  
 na tę objętość, której zbożenie chwilowe  
 obliczamy.

Wyobraźmy sobie kostkę bardzo  
 małą o długościach brzości  $a$ ,  $b$  i  $c$

gosić fal świetlnych, więc  $\frac{0.6}{10^4}$  cm.

$$\text{Objętość kostki: } v = \frac{(0.6)^3}{10^{12}};$$

w 1 cm<sup>3</sup> ilości drobin wynosi  $4 \cdot 10^{19} = n$

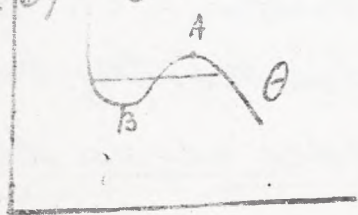
$$nv = v = 9 \cdot 10^6 \neq 10^7.$$

Przebieg zbroczenia więc:

$$\bar{f} = \sqrt{\frac{2}{3 \cdot 10^7}} = 3 \cdot 10^{-4}$$

Zbroczenia przebiegają się więc mniejsze, niż tyśracena części normalnej gęstości; więc są za małe, aby je można dostrzec przy promiarach. Dlatego krytyle obliczając objętość 1 gr. gazu otrzymujemy normalną objętość. Im mniejsza objętość gazu, tem większe zbroczenia od normalnego stanu, bo wtedy  $v$  jest małe.

fig. 69



Przedstawmy sobie izotermę (O) charakteryzującą stan gazu  $p = f(v)$ , według Van



der Waals (Fig 69). Gdy pro taniej krzyw.  
wej dorzemy do maximum w A, lub minimum  
w B, to tam  $\frac{dp}{dv} = 0$ .

Wzrostu  $p = p_0 + (v - v_0) \left(\frac{dp}{dv}\right)_0 \dots$

pozostaje tylko druga i dalsze pochodne,  
gdy  $\frac{dp}{dv} = 0$  :  $p = p_0 + \left(\frac{\partial^2 p}{\partial v^2}\right)_0 \frac{(v - v_0)^2}{2!} \dots$

W punkcie krytycznym, wyc na krzyw.  
wej  $\theta = \theta_k$  mamy  $\frac{\partial^2 p}{\partial v^2} = 0$  czyli

$$p = p_0 + \frac{1}{3!} \left(\frac{\partial^3 p}{\partial v^3}\right)_0 (v - v_0)^3 \dots$$

$$\text{ztedy: } W(v) dv = a e^{+\int_{v_0}^v (p - p_0) dv} \cdot dv =$$

$$= a e^{+\frac{v}{R\theta} \int_{v_0}^v (p - p_0) dv} \cdot dv$$

$$v = v_0 (1 + \delta)$$

$$p = p_0 + \frac{1}{3!} \left(\frac{\partial^3 p}{\partial v^3}\right)_0 \cdot v_0^3 \delta^3$$

$$\int_{v_0}^{v_0} (p - p_0) dv = \int_{v_0}^{v_0} \frac{(v - v_0)^3}{3!} \left(\frac{\partial^3 p}{\partial v^3}\right)_0 dv = \frac{1}{3!} \int_x^0 x^3 dx \left(\frac{\partial^3 p}{\partial v^3}\right)_0$$

$$\text{Kładziemy: } (v - v_0) = x \quad v = x + v_0$$

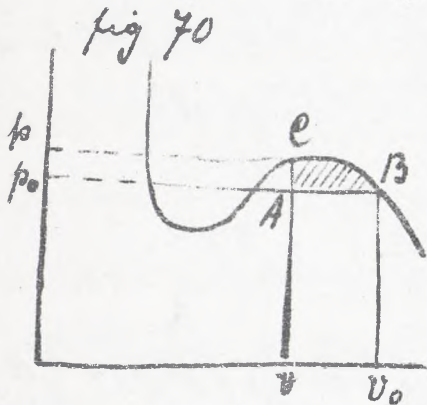
$$dv = dx, \text{ dla } v = v_0, \quad x = x, \text{ dla } v = v_0 \quad x = 0$$

$$\frac{1}{3!} \left( \frac{\partial^3 p}{\partial v^3} \right)_0 \int_x^0 x^3 dx = \frac{1}{3!} \left( \frac{\partial^3 p}{\partial v^3} \right)_0 \frac{x^4}{4} \Big|_x^0 = - \frac{1}{3!} \left( \frac{\partial^3 p}{\partial v^3} \right)_0 \frac{(v-v_0)^4}{4}$$

$$W(v) dv = a e^{-\frac{v}{R\theta}} \cdot \frac{1}{4!} \left( \frac{\partial^3 p}{\partial v^3} \right)_0 \cdot v_0^4 \delta^4 \cdot dv$$

Wpółeczymmk przy  $\delta^4$  jest mniejszy, niż przy  $\delta^3$  i  $\delta^2$ , dlatego odchylenia od normalnej gęstości są w punkcie krytycznym większe, niż poniżej punktu krytycznego.

Jeżeli przedstawimy sobie graficznie przebieg krzywej  $p = f(v)$  (fig 70), to



$\int_{v_0}^{v_0} (p - p_0) dv$  określa pow. wierzchniej trójkąta ABC.

W punkcie krytycznym krzywa jest równoległa do osi  $v$  i tam również przypadkowe są ma.

siłowe, bo przy przesunięciu z  $p_0, v_0$  na  $p_0, v$  powierzchnia  $\int_{v_0}^{v_0} (p - p_0) dv$  jest większą



mała. To jest w zwiarku re zjawiskiem już daw-  
niej spostrzeżanem, mianowicie zjawiskiem opa-  
leszcency występującem w punkcie krytycznym.

Mianowicie, gdy się w rurkach Natterera  
ogrzewa bezwodnik węgłowy, to przy zbliżeniu  
się do punktu krytycznego występuje zmętnie-  
nie / opalescencyj

To zjawisko zbadałi dokładnie  
Young i Gravers. Główna trudność po-  
lega na utrzymaniu temperatury w pewnej  
wysokości i na tem, by można było zmieszać  
temperaturę w małych granicach  $0_k - 100 \dots \dots$   
 $0_k + 100)^\circ$ , do tego nas' potrzebuie są dokładne  
termometry. Promień świetny przezprzecho-  
ny przez opaleszczącą cieść przedstawia  
się jak czerwony ślup światła, odbity zaś  
przedstawia się fioletowo. - To skutki

dyfrakcyi, która Rayleigh tłumaczył nie,  
błękitną barwą nieba. Opalescencya wskazuje,  
że uwiera się drobne cząstki, uginające światło,  
to, mianowicie, gdy niema obcych dommie,  
szek, to mogą to być białki garu i cieczy,  
zes w garie kropie cieczy. Ciecz zatem  
w otoczeniu punktu krytycznego jest niejed-  
norodna, bo obok fazy ciekłej istnieją tam  
jakby drobne białki garu, analogicznie  
gar jest niejednorodny, bo obok fazy garo-  
wej istnieją kropie cieczy.

Tłumaczenie tego zjawiska jest następujące:  
W stanie krytycznym zbliżeniu od nor-  
malnej gęstości są dwie, więc oprócz cząstek  
normalnych są także cząstki o gęstości  
większej, niż zachowujące się jak ciecz i  
z drugiej strony cząstki o mniejszej gęstości



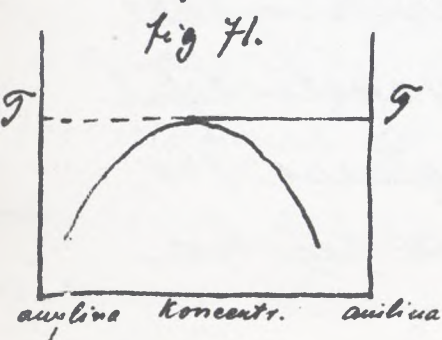
ty zachowujące się jak gaz. Te zjawiska  
można wygodnie skonstruować doświadczal-  
nie według metody, podanej przez Rayleigha.  
To jest jedyny wypadek, gdzie można wyka-  
zać zjawiska od stanu normalnego, który  
według termodynamiki jest jedynie mo-  
żliwym. Przejawia to na korzyść teorii ki-  
netycznej, niegospodniej w tym wypadku termoo-  
dynamicznej.

Zjawisko opalescencyi występuje rów-  
nież w roztworach. Gdy mieszanym np. o-  
nitrem i aniliną, to w niskich tempera-  
turach te dwie cieczy tworzą dwie oddziel-  
ne warstwy o różnych koncentracjach.  
Przy ogrzewaniu rozmiar warstw tych  
maleje, przy pewnej temperaturze pro-  
wierzchnia graniczna nagle puka

- 145 -

a powyżej tej temperatury obie cieczy miesza się w wszystkich możliwych stosunkach. Przeciwnie przy wyższych temperaturach mieszanina tworzą jednolitą ciecz, gdy ją ochładzamy, to przy pewnej temperaturze występuje krętnienie cieczy i rozdzielą na dwie warstwy (Trennungspunkt) Półcieczy tego punktu zależą od koncentracji stosunkowej obu cieczy

Jżeli graficznie przedstawić sobie przebieg mieszania się aniliny z amylenem otrzymany krzywą (fig 71), która posiada punkt maksymalny s.j. punkt rozdzielania. - Temperatura



odpowiadająca temu punktowi nazywa się krytyczną temperaturą rozdzielania. Istnieje tu ściśle analogia z parową,

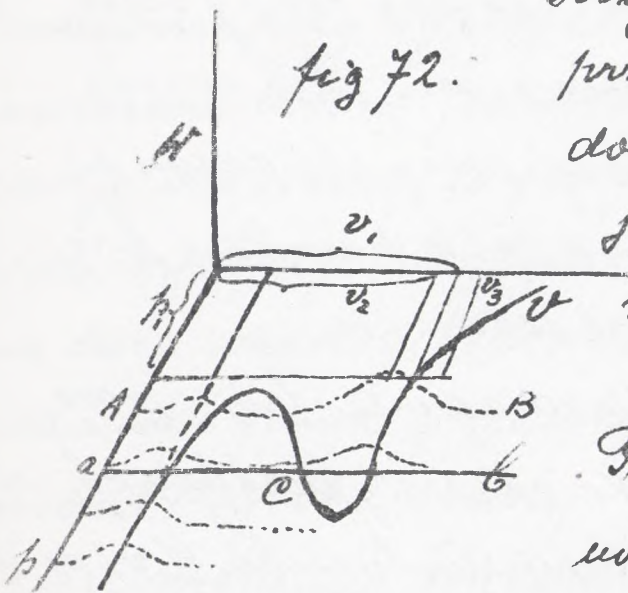


niewe cieczy. Przy uблиkaniu się do punktu krytycznego różnica koncentracji obu cieczy maleje, w punkcie krytycznym zaś obie cieczy klesają się ze sobą; podobnie ciek i para różnią się od siebie coraz mniej przy uблиkaniu się do punktu krytycznego, a w punkcie krytycznym klesają się ze sobą.

Wykreślmy sobie diagram trójwymiarowy, nazywając jako oś  $x$  wykreślny objętości  $v$ , jako  $y$  prawdopodobieństwa  $W(v)$  a jako oś  $z$  prężności  $p$ . W planie  $xy$  przedstawione są więc stany gazu przez krzywą Van der Waalsa t.j. przy danym ciśnieniu istnieją jakoś objętości  $v_1$ . Z powodu obu xboereni jednak może tej danej prężności odpowiadać także objętości  $v \leq v_1$ . Te xboerenia są tem mniej prawdopodobne,

in większa jest ich wartość. Krzywa ciągła  
na fig 72 stawia stan gazu według Vander Waalsa

Krzywe kropkowane są  
przedstawiają prawdopodob-  
dościństwa odstępów ob-  
jętości gazu od normal-  
nych objętości dla dan-  
ego ciśnienia.



Prężność  $p_2$  np. odpowiada  
normalna objętości  $v_1$ . Mnie

jednak zdarzyć się, że do tej prężności  
 $p_2$  należy nie  $v_1$ , lecz  $v_1 - \Delta v_1 = v_2$  lub  $v_1 + \Delta v_1 = v_3$ .  
Prawdopodobieństwo tych objętości określa  
krzywa AB leżąca w przelazymie równo-  
ległej do płaszczyzny Wv. Gdy po krzywej  
Vander Waalsa dochodimy do punktu C, okre-  
ślonego prosta  $\parallel$  do v i wycinająca na



Krajnej równe energii, to prawdopodobieństwo  
aby substancja badana była w stanie ciekłym  
i w gazowym są jednakowe. Tam  $\int (p-p_0) dv = Q$   
to najmieprawdopodobniejsze stany, krywa  
prawdopodobieństwa ma tam minimum.

Jeżeli przejściu staje się większa, nie okre-  
lona przez prostą, ale, wówczas substancja  
może istnieć w stanie ciekłym i gazowym,  
jednak prawdopodobieństwo dla stanu  
ciekłego jest większe, niż dla gazowego.  
Przebiegiem zaś przy przejściu niższej ni-  
ża przejściu, prawdopodobieństwo dla stanu  
gazowego jest większe, niż dla ciekłego, jak  
to uwidocznione jest na krzywej AB.

## Ruchy Browna

W roku 1827. spostrzegł Brown,  
lotami pod mikroskopijnych,

nie najmniejsze widzialne cząstki substancji  
czy rozszerzone i cieple odrywają ciągle  
ruchy. Podobne ruchy odrywają białki  
i garu, znajdujące się w ciekach, w kry-  
ształach wydrążonych. Jedni tłumaczą,  
czyli sobie te ruchy w związku z ruchami  
molekularnymi, drudzy przez drgania  
cieplne, inni nową przez wpływ światła.  
W kardym razie jedyną nie moim ruchami  
choć tych tłumaczą na podstawie ener-  
gii. Przy ruchu białek musi się wykryć  
pewna energia, gdy więc wszystko jest  
w stanie równowagi, powinniśmy te ruchy  
ustać w powodu braku źródła energii -  
temperatury zaś trwają one bez przerwy,  
z wyjątkiem wtedy, gdy cząstki upadną  
na dno naczyń. —



Również zagadkowe była powolna prędkość tych ruchów t.j. cząstki gumiguty poruszają się w wodzie z prędkością  $3 \cdot 10^{-4}$  cm/sec.

Według teorii kinetycznej prędkość cząstek pierwszej substancji zawieszonych w cieczy powinna być większa, a więc wskazywać doświadczenia.

Kropka suspendowana powinna się zachowywać jak Drobia, jeżeli bowiem odległość międzydrobinowymi jest bardzo duża, to wielkość drobin mierzenia ogólnego pręca porządku energii kinetycznej, więc przeciętna energia drugiej cząstki powinna być taka jak a d p o, wiada temperaturze danej. -

Prędkości  $c$  dla różnych gazów są odwrócić proporcjonalne do pierwiastków z cięciwarość drobinowych:  $c_1 : c_2 = \sqrt{m_2} : \sqrt{m_1}$

Ciężar drobinowy cząstek żywej np. wynosi:

$$\frac{4}{3} r^3 \rho_s = m_2 \quad \text{gdzie } \rho_s \text{ żywej prawie jak } \rho \text{ wody} = 1$$

$$r = \frac{1}{2} \cdot 10^{-4} \text{ cm}$$

$$\text{Dla powietrza: } m_1 = \frac{\rho}{n} = \frac{0.0013}{4 \cdot 10^{19}}$$

$$c_1 = 480 \text{ m/sec.}$$

$$c_2 = \frac{c_1 \sqrt{m_1}}{\sqrt{m_2}} = 480 \cdot 10^2 \sqrt{\frac{0.0013 \cdot 3 \cdot 10^{-12} \cdot 8}{4 \cdot 10^{19}}} \text{ cm}$$

$$c_2 \approx 0.48 \text{ cm/sec.}$$

podczas gdy doświadczenia wykazują  $3 \cdot 10^{-4} \text{ cm/sec}$

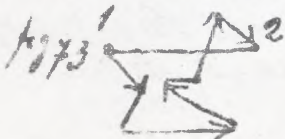
Sądzono więc wskutek tych prędkości, że to nie są ruchy drobinowe.

W rzeczywistości jednak wychylenie cząstek, które my obserwujemy nieporówna nam obliczeń prędkości ich.

Jest to bowiem wychylenie wypadkowe w pewnym kierunku wskutek rotacji

rozpraszania i innymi drobinami (fig 73)

My dostajemy tylko powolne





presumiciei z punktu 1 do 2.

Musimy więc przyjąć, że predkości tych ruchów są małe, tylko presumptue presumiciei jest małe, podobnie jak przy zjawisku dyfuzji.

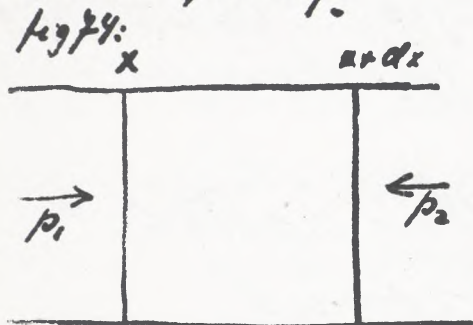
Presumptue wypadkowe charakteru przy ruchuach Browna.

I. metoda Einsteina.

Według Einsteina cząstki rozpraszane wycierają pewne ciśniecie atmosferyczne, podobnie jak substancja rozpuszczona. Według teorii kinetycznej nie różnicuje się w ogóle nawięzi od roztrworów; różnica polega tylko na wielkości współczynników.

Wyobraźmy sobie ciecz, w której roztrworzona jest jakaś substancja o różnej koncentracji w kierunku  $ox$  (fig 74)

Ważny pod uwagę dwa przekroje  $\text{cm}^2$   
 odległe od siebie o  $dx$ . W tych przekrojach  
 nich panują ciśnienia  $p_1$  i  $p_2$



Ciśnienie osmotyczne  
 jest określone równaniem:  
 $p = \nu H T$

gdzie  $\nu$  = ilość gramów drobin  $\text{cm}^3$   
 $H = \mu R$  stała, zależna

dla wszystkich substancji;  $T$  = temperatura  
 w  $x$  przekroju przy  $x$  będzie  $v = v_1$ ,  
 przy  $x + dx$   $v = v_2$  to:

$$\frac{p_1 - p_2}{dx} = -\frac{\partial p}{\partial x} = \frac{v_1 - v_2}{dx} H T = -\frac{\partial v}{\partial x} H T$$

Ta różnica ciśnień ( $p_1 - p_2$ ) działająca przez  
 odstęp obu przekrojów  $dx$  jest siłą na ten  
 długości przypadającą i starającą się dro-  
 biny substancji rozpuszczonej poruszyć  
 w kierunku osi  $x$ .



Chodzi nam o to, ile drobin przejdzie przez  
 ten dłużej. Jeżeli w jednej gramodrobnie  
 jest  $N$  drobin, to w  $1 \text{ cm}^3$  będzie ich  $V N$ .

Na dłużej ten działa siła:  $-\frac{\partial v}{\partial x} H T n e v N \text{ dr.}$   
 bni, które tam są.

Na jedną działa więc siła:

$$F_x = -\frac{1}{V} N \frac{\partial v}{\partial x} H T$$

Według prawa Stokesa prędkość drobin  
 poruszającej się w ośrodku lepkości wynosi:

$v = \frac{F_x}{6\pi\mu r}$ , gdzie  $\mu$  = współczynnik  
 lepkości. Prawo to można stosować tylko  
 wtedy, gdy  $r$  jest duże.

u nas  $v = -\frac{H T \frac{\partial v}{\partial x}}{V N 6\pi\mu r}$

$$V v = -\frac{H T}{N 6\pi\mu r} \cdot \frac{\partial v}{\partial x}$$

Równanie to ma postać klasycznego  
 równania dyfuzji. Między innymi z prawej

Strony mamy spad koncentracji zary jakiś  
 współczynnik, z lewej zaś ilość gramodrobin  
 w ten sposób pomnożoną przez przekroję s.j. ilość  
 gramodrobin przechodzących przez ten  
 w jednostce czasu.

Mamy też z porównaniem równania tego  
 z równaniem dyfuzji

$$D = \frac{HJ}{6\pi\mu rN}$$

Jeżeli  $r$  jest małe bardzo, wtedy stworzenie  
 prawa Stokesa nie jest uzasadnione,  
 a tym wyrażeniu i wsi ostatni jest tylko  
 przybliżony.

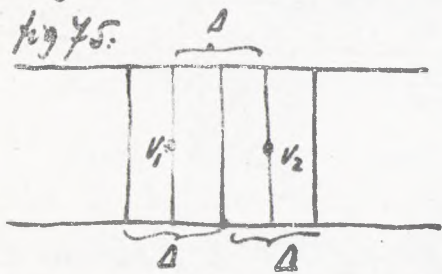
Według tego wzoru mamy:  $D \sim \frac{1}{r}$ .

Według Einsteina dyfuzja polega  
 na tym, że każda drobina porusza się  
 nieregularnie t.j. w najrozmaitszych kie-  
 runkach i z czasem oddala się od swojej



pierwotnej porzeji, a i z czasem wyrówna się  
 wyrówna według rachunku prawdopodobieństwa.  
 Podczas, gdy zrynek uwaria się dyfuzją za  
 wyniku istnienia osmotycznego, wynika  
 ona według powyższego poglądu z osmo-  
 tycznymi nieregularnymi ruchami drobin.

Niech rzut drogi przebytej przez dro-  
 binę w czasie  $t$  na os'  $x$  będzie  $\Delta$ . Drobinę  
 poruszają się jedne w prawo, drugie w le-  
 wą stronę. Chodzi o ilość ich przechodzą-  
 cą przez przekrój  $1 \text{ cm}^2$ . Objętość warstwy



o długości  $\Delta$  (fig 75) będzie:  
 $\Delta \cdot 1 \text{ cm}^2 = \Delta \text{ cm}^3$ . Jeżeli kon-  
 centracja w środku ciżm-  
 kowi takiej warstwy wy-

nosi  $v_2$ , to w warstwie tej jest  $\Delta v_2$  drobin.  
 Połowa z nich przechodzi na lewą stronę,

podobnie jak połowa drobin z lewej warstwy o koncentracji  $v_1$ , przechodzi na przeciwną stronę

Ilość substancji, przechodząca przez przekrój jest różnicą tych ilości:

$$\frac{\Delta v_1}{2} - \frac{\Delta v_2}{2} = \frac{\Delta}{2}(v_1 - v_2) = \frac{\Delta^2}{2} \cdot \frac{v_1 - v_2}{\Delta} = -\frac{\Delta^2}{2} \cdot \frac{\partial v}{\partial x},$$

$$\text{bo } \frac{v_1 - v_2}{\Delta} = -\frac{v_2 - v_1}{\Delta} = -\frac{\partial v}{\partial x}.$$

Taka ilość substancji przechodzi w czasie  $\tau$ . W jednej sekundzie zaś przechodzi  $\frac{1}{\tau}$  części więcej  $-\frac{\Delta^2}{2} \cdot \frac{1}{\tau} \cdot \frac{\partial v}{\partial x}$  i to jest właśnie ilość dyfundującej substancji:  $-\mathcal{D} \cdot \frac{\partial v}{\partial x}$ .

$$-\frac{\Delta^2}{2} \cdot \frac{1}{\tau} \cdot \frac{\partial v}{\partial x} = -\mathcal{D} \cdot \frac{\partial v}{\partial x}$$

$$\Delta = \sqrt{2\tau\mathcal{D}}$$

Droga pokreślona przez cząstki w kierunku osi  $x$  jest proporcjonalna do pierwiastka z czasem, jest to więc ruch nie prostoliniowy, lecz wyprężony. Podstawiając  $\mathcal{D} = \frac{H^2}{6\pi\mu r N}$ , mamy:



$$\bar{\Delta} = \sqrt{c \cdot \frac{H^2}{3\pi\mu r N}}$$

dla  $\tau = 1$ ,  $\bar{\Delta} = \sqrt{\frac{HT}{3\pi\mu r N}}$  l.j. droga rekrecyjna  
w sekundzie;  $H = R\rho = 8 \cdot 3 \cdot 10^7$

dla wody  $N = 8 \cdot 10^{23}$ ,  $\mu = \text{lepkość} = 0 \cdot 0135$

$$r = 0 \cdot 5 \cdot 10^{-4} \text{ cm}$$

$$\bar{\Delta} = 0 \cdot 8 \cdot 10^{-4} \text{ cm}$$

W przybliżeniu jest zgodne z doświadczalnym,  
które dało  $\bar{\Delta} = 3 \cdot 10^{-4} \text{ cm}$ .

Jak widzimy  $\Delta \sim \frac{1}{\sqrt{\mu}}$ , co stwierdzono  
również doświadczalnie. W glicerynie np.  
ruchów tych dostarcz nie można z powodu  
dużego  $\mu$ , dopiero przy wysokiej temperaturze,  
gdzie  $\mu$  maleje szybkość  
wzrasta się. Dalej widzimy, że prędkości  
tych ruchów niezależny od masy cząstek,  
tylko od ich promiarów. Cząstki gumy  
i gumiguty poruszają się z jednakową prędk.

Kością, byleby ich porównania (r) były jednakowe.

II Metoda bezpośrednia do obliczenia przesunięcia  $\Delta$  polega na obliczeniu prędkości podłoża, że drobina po przebyciu pewnej liczby migracji wysunie się o dany kawałek w danym czasie. Metoda ta dochodzi się po następujących rachunkach sto wrotu na prędkości cząstki v. Myśl przewodnią tej metody jest następująca:

Jedną prędkości powrotu cząstki wyznaczanej do jakiejś substancji jest C, to prędkości ta zmienia się w skutek tarcia w sposób określony równaniem:

$$v = C e^{-\frac{t}{\tau}}$$
 gdzie  $t$  - czas, zaś współczynnikiem  $\tau = \frac{M}{6\pi\eta r}$ . Wzór więc ma to samo pochodzenie od podanego przez Einsteina



Ruchy Browna czerpią swą energię z energii cieplej substancji. Gdybyśmy mieli sposób odebrania pracy, wykonanej przez cząstki podczas tych ruchów, mogli byśmy urządzić perpetuum mobile.

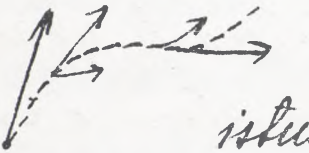
Ja to borykam ruchy ciągle odbywają się w kosmosie ciała, pochodzącego z ciała o jednolitej temperaturze, a to jest niezgodne z drugą zasadą termodynamiki, według której ruchy te powinnyby z czasem ustać. — Ruchy te obserwuje się tylko przy drobnych cząsteczkach, jak tego wymaga teoria kinetyczna.

Widzimy, że wnioski teorii kinetycznej zostają potwierdzone wbrew termodynamice.

według teorii kinetycznej jednak

powinna prędkość czołowa być stała. Po-  
godzić to można w ten sposób, że wskutek  
nieregularnych poleceń drobnu prócz ruchu  
prostoliniijnego powstają ruchy poprzeczne.  
Tak, że suma wyrzutek jest stała.

Droga w danym nabytym kierunku  
sumuje się z drogą odbywaną wskutek zde-  
wienia (fig 76), wskutek czego powstaje  
fig 76. zakrzywiona droga.



Podobne ruchy muszą  
istnieć również w gazach według teo-  
rii, a doświadczenia wykazały je w rzeczy-  
wistości np. cząstki dymu, drobne pyłki  
w powietrzu wykazują ruchy Browna.

Kwestya, czy istnieje zasad-  
nicza różnica między roztrząsaniem a  
równieżami jest w związku z tem, że cząstki



zawieszono w ciemny umiarany za małą różnicę  
co do masy od drobni.

Ja tedy, który twierdzą, że istnieje za-  
sadnicza różnica, że mianowicie wariety  
miejscowe zjawiska ciemienia osmotycznego,  
gł., obniżenia punktu krzepnięcia, pod-  
wyższenia punktu wrzenia i t. d. Przewaga  
jednak jest po stronie tych, którzy tę róż-  
nicę uważają za iluzyjną tylko.

Istnieje więc i w warietytach ciemienie  
osmotyczne, jak to mówi Einstein, a z tego  
wynika, że również obniżenie prężności  
pary i t. d. istnieje, że zaś niepostreżę  
się tego, wynika stąd, że drobni są dale  
a więc koncentracja Drobni w takich za-  
wieszinach jest mała. Obniżenie prę-  
żności pary zależy bowiem od stosunku

ilości grani drobin w ten<sup>3</sup> rozpuszczonej  
substancji ( $n_1$ ) i rozpuszczalnika ( $n_2$ ).

$$\frac{\Delta P}{P} = \frac{n_1}{n_2}$$

Ponieważ masa gumiguty np. jest  $10^{12}$  razy  
mniejsza, niż masa drobin gazowej, więc kon-  
centracja drobinowa jest bardzo małym  
ułamkiem, co powoduje małe odchy-  
lenie punktu Krzepnięcia w zawiesinach  
i roztworach kolloidalnych, które niektóre  
uważają za identyczne z zawiesinami.

Obserwując jedno z tych zjawisk np. cis-  
nie osmotyczne, można obliczyć wielkość  
stałej.

Vaul-Hoff tłumaczy istotę ciśnienia  
osmotycznego na podstawie teorii kine-  
tycznej w następujący sposób:

Plony półprzepuszczalnej błony jakby



sito, które przepuszcza drobiny rozpuszczonej  
w niej swobodnie, nie przepuszcza zaś drobiny  
substancji rozpuszczonej, więc ciśnienie  
na błonę wywierane pochodzi od rozpu-  
szonej substancji. Jest to jedyną racją  
widoczniejszą zjawiska, jak jego tłumacze-  
nie. Trudno jest podać teoryj osmo-  
tycznego ciśnienia, za mało bowiem wiemy  
o istocie sił przyciągających między dro-  
binowych.

## Ciała stałe.

Najmniej rozwinięta gałęź jest fizyka  
ciał stałych. Sutherland postawił wprawdzie  
teoryję kinetyczną ciał stałych, lecz nie  
pełnie ją sformułował.

Wytłumacza się tu kwestyę, czy

międkrydrobinowe siły są polarne, czy niepolarne t. z. czy są one funkcją odległości i orientacji drobin, czy też tylko odległości.

Siły polarne mają różną wielkość zależnie

fig 77



od kierunku (fig 77). -

Poisson i Navier przyjęli założenie, że ciało składa się z drobin, poruszających w sprow.

czynku i działających na siebie sił o symetrii kulistej t. z. jednakowa w każdym kierunku a zależna tylko od odległości drobin. Na podstawie tego założenia wypracowali oni równanie sprężystości o jednym nieracjonalnym współczynniku. Nasze równanie sprężystości posiadają dwa nieracjonalne współczynniki: moduł Younga ( $E$ ) i moduł sztywności ( $T$ ),



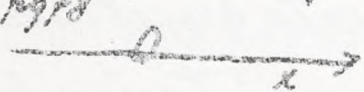
podczas gdy u Poissona jeden z nich był funkcją  
drugiego nieracjonalnego. Voigt przyjął siły  
pochodne i otrzymał równanie z dwoma  
nieracjonalnymi współczynnikiemami. Obie jednak  
teorie Poissona i Voigta są statycznymi, a  
nie kinetycznymi. Należy przedewszystkiem  
określić, co to jest ciało stałe. Równica ciał  
statycznych i cieczy udaje się być tylko i wówczas,  
w cieczach lepkich dadzą się bowiem  
pośrednio ślady sprężystości postaci. -  
Równica zasadnicza istnieje między  
ciałkami bezpostaciowymi i krystalicznymi,  
należy więc rozróżnić ciała krystaliczne  
i niekrystaliczne i rozwinąć teorie ki-  
netyczne dla ciał krystalicznych a  
następnie dla niekrystalicznych. Rezul-  
tatem powyższym teorią ciał statycznych

jest prawo Dulouga i Petita, którego wy-  
 tłumaczenie podali Richard i Steigmüller.

Prawo Dulouga i Petita

Sprawo to brami: scripto właściwie pisan,  
 wiadomości o status statym jest odwrócenie pro-  
 porcyonalne do ciężaru atomowego. —

Zasadnicze założenie robimy tak,  
 że w esadach stalych. Drobny drgaje około  
 pewnej średniej pozycji równowagi (ina-  
 ercy bowiem niemożliwym wytłumacze-  
 tego, co uarywamy statycia).

Przyjmijmy, że drabina wychyla się  
 1978  w kierunku  $x$  (fiz 78). Siła  
 na nią działająca jest pro-

porcyonalna do wychylenia  $F = -\alpha x = m \frac{d^2 x}{dt^2}$

więc:  $-\alpha x = m \frac{d^2 x}{dt^2}$ . Całkując mamy:

$x = a \cos \beta t$ , podstawiając  $x$  w równaniu



rozmiarkowem, otrzymujemy:

$$- a a \sin \beta t = - m a \beta^2 \sin \beta t$$

$$\beta = \sqrt{\frac{a}{m}}$$

$$x = a \sin \sqrt{\frac{a}{m}} t$$

Oznaczmy przez  $L$  energię kinetyczną, to

$$L = \frac{m}{2} \left( \frac{dx}{dt} \right)^2 = \frac{m}{2} a^2 \frac{a}{m} \cos^2 \sqrt{\frac{a}{m}} t$$

Przebieg energii kinetycznej w czasie części

Drżania ( $\frac{T}{4}$ ) ma wartość:

$$\bar{L} = \frac{1}{\frac{T}{4}} \int_0^{\frac{T}{4}} L dt = \frac{4}{T} \cdot \frac{a^2 a}{2} \int_0^{\frac{T}{4}} \cos^2 \sqrt{\frac{a}{m}} t dt$$

$$\text{położmy: } \sqrt{\frac{a}{m}} t = \varphi = 2\pi, \varphi = \frac{2\pi}{\sqrt{\frac{a}{m}}}, \frac{T}{4} = \frac{\pi}{2\sqrt{\frac{a}{m}}}$$

$$\sqrt{\frac{a}{m}} t = \varphi; t = \sqrt{\frac{m}{a}} \varphi \quad dt = \sqrt{\frac{m}{a}} d\varphi$$

$$\text{granice: dla } t = \frac{T}{4}, \varphi = \sqrt{\frac{a}{m}} \frac{T}{4} = \frac{\pi}{2}$$

$$\text{bo } \sqrt{\frac{a}{m}} T = 2\pi$$

$$\text{dla } t = 0, \varphi = 0$$

$$\bar{L} = \frac{2\sqrt{\frac{a}{m}}}{\pi} \cdot \frac{a^2 a}{2} \sqrt{\frac{m}{a}} \int_0^{\frac{\pi}{2}} \cos^2 \varphi d\varphi =$$

$$= \frac{a^2 a}{2} \int_0^{\frac{\pi}{2}} \cos^2 \varphi d\varphi = \frac{a^2 a}{4}, \text{ bo } \int_0^{\frac{\pi}{2}} \cos^2 \varphi d\varphi = \frac{\pi}{4}$$

$$\bar{L} = \frac{a^2 \alpha}{4}$$

Energia potencjalna pól:

$$U = - \int X dx = \alpha \int x dx = \frac{\alpha x^2}{2} = \frac{\alpha}{2} a^2 m^2 \sqrt{\frac{\alpha}{m}} \cdot t$$

Pierwszy człon - praca całkowita, bo  
+  $\int X dx$  określa pracę wykonaną przy  
wsumieniu punktu do 0, zaś przy wy-  
suwaniu wykonujemy pracę -  $\int X dx$ .

$$\bar{U} = \frac{4}{\pi} \int_0^{\frac{\pi}{4}} U dt = \frac{4}{\pi} \frac{a^2 \alpha}{2} \int_0^{\frac{\pi}{4}} m^2 \sqrt{\frac{\alpha}{m}} t \cdot dt =$$

$$= \frac{a^2 \alpha}{\pi} \int_0^{\frac{\pi}{2}} m^2 \varphi d\varphi$$

$$\text{ale } \int_0^{\frac{\pi}{2}} m^2 \varphi d\varphi = \int_0^{\frac{\pi}{2}} \cos^2 \varphi d\varphi = \frac{\pi}{4}$$

$$\bar{U} = \frac{a^2 \alpha}{4}$$

Przebieg energii potencjalnej i kine-  
tycznej są więc przy tym ruchu jedna-  
kowe.

Stwierdzenie to do ciąż stałych. Robi



my przyjętem przypuszczeniu, że w stanie  
stałym, przynajmniej o ile chodzi o pier-  
wiastki, Drobinny i atomny są identyczne  
(nie pierwiastki jednoatomowe będą się  
przedewszystkiem stosowały do prawa Du.  
longa i Petit'a). Na to przypuszczenie  
nie mamy uprawdnie dowodu, lecz pod-  
tem kątem niemamy tłumaczyć prawo Du.  
longa i Petit'a. Przynajmniej nie mamy  
jawisk, któreby wskazywały u stałych  
ciał różnicę między drobinami i ato-  
mami. Powiemy więc, że nie drobinny, lecz  
atomny drgają około pewnej stałej poręczy  
równowagi. Udziałamy ciążę pewnej  
ilości ciepła, co spowoduje porażenie  
energii kinetycznej atomów, proporcjo-  
nalnie do porażenia temperatury. Wskutek

w. odu energii kinetycznej, wychylenia  
 od pozycji równowagi stała się większa, więc  
 i energia potencjalna, zatem od wielkości  
 odchylenia, wprost w tym samym czasie str.  
 sunka. Suma energii obu rodzajów będzie  
 więc równa podwójnej energii kinetycznej,  
 a i losie ciepła, którego trzeba udrzić cia-  
 ła, będzie dwa razy tak duża, jak energia  
 kinetyczna, czyli ciepło właściwe jest dwa  
 razy tak wielkie jak u ciał jednosto-  
 mowych, gdzie tylko energia kinetyczna  
 wchodzi w rachubę.

Stosując twierdzenie o silniku mamy:

$$\bar{L} = \delta p v - \frac{1}{2} \Sigma (K_x + Y_y + Z_z)$$

Praca, która przedstawia ciśnie-  
 nie równotierne ( $p v$ ) jest u ciał stałych,  
 precyzyjnie jak u gazów minimalna z  $p_0$ .



porównaniu z energią ciepłą, prawda, wewnątrz  
właż porównamy ośrodek 3 p.

Robimy teraz założenie, że orbity  
 $x, y, z$  pochodzą od energii potencjal.  
naj sprężystości s. z. że  $U$  jest funkcją  
jednorodną drugiego stopnia współoord.  
nych  $x, y, z$ .

$$U = a_{11} x_1^2 + a_{12} x_1 y_1 + a_{13} x_1 z_1 + a_{11'} x_2 \dots \dots$$

Właż porównamy, że  $U$  jest funkcją  
jednorodną drugiego stopnia, bo wtedy  
siła we współrzednie punkty  $-\frac{\partial U}{\partial x_1}, -\frac{\partial U}{\partial x_2}, \dots$   
druga jest funkcją pierwszego  
stopnia tych  $x, y, z$  a więc jest propor.  
cyonalna do wychyleń. -

$$\bar{L} = + \frac{1}{2} \sum (x_k \frac{\partial U}{\partial x_k} + y_k \frac{\partial U}{\partial y_k} + z_k \frac{\partial U}{\partial z_k})$$

$x$  oznacza tu odpowiedni atom.

Według twierdzenia Eulera dla funkcji

jednorodných:

$$\sum (x_k \frac{\partial u}{\partial x_k} + y_k \frac{\partial u}{\partial y_k} + z_k \frac{\partial u}{\partial z_k}) = 2u$$

$$I = \frac{1}{2} 2u = u.$$

Cieplo vstáči ne povinné byť dľa  
pierviacikov a stavie statým takie, jakby  
te pierviaciki a stavie garovym byty jedus.  
atomove, vije:  $c_v = \frac{3}{2} R$ .

Takie jest cieplo vstáči ve ciat sta.  
tych, pronicari vchodki tu tylko energia  
cieplna vevnustrna, a prace revnustrna  
jest tak maia, ze mozebyi pominieta.

$$R_{\mu} = H; R = \frac{H}{\mu}$$

$c_{v\mu} = \frac{3}{2} H$ ; dľa ciat statych:  $c_{v\mu} = 2 \cdot \frac{3H}{2} = 3H$ ,  
vedľug tego, co povyriej poviednietimny H  
jest ogolna stala garova u jednotkach  
kaloryermych = 6.01. Ptery mnyemy  
vije preroulonga i Petita:  $c_{v\mu} = R_{\text{prer}}$



Prawo to dla ciał bardzo ciężkich jest  
wznie tylko w przybliżeniu. -

## Krystalizacja.

Wiekłory Tricerdra, że aby wytłuma-  
czył regularne kształty kryształów, musi-  
my przyjąć siły polarne międzydrobni-  
we. Kelvin a przed nim Poise ogłosił  
badania, z których wynika, że gdybyśmy  
kule, jako modele sił niepolarnych, stoję-  
li jak najbliżej siebie, wówczas powstanie  
agregat o strukturze krystalicznej  
(kombinacja pręciwej i odnośnej), czyli  
system regularny. Jeżeli mamy do czynie-  
nia z systemem nieregularnym, wówczas  
należy przyjąć, że składowe części agrega-  
tu mają kształty niekuliste, więc są

polamie. Złoto, srebro, miedź i t. p. są agre-  
gatami mikrokryształicznymi; składają się  
one z wielkiej ilości prostokątnych kryszta-  
łów. Przy bliższym badaniu pokazują się,  
że mała ilość ciał znajduje się w stanie a,  
amorficznym, bezpostaciowym. Tamże uwaga,  
że ciała amorficzne są cieciami podchłodzo-  
nymi, w których istnieje ogrom-  
ne tarcie wewnętrzne. Wskutek niezre-  
gulowanej wewnętrznej drobnej struktury  
ciał takich jest identyczna ze struktura-  
mą ciekłą. -

Tamże należy te ciała dlatego  
podchłodzonymi ciekłami; - przez ciek-  
łość ciekły dochodzą do punktu, gdzie  
ciekły przechodzi w krystalizację, gdy zaś  
podchłodzimy taką cieść, otrzymujemy  
ciała amorficzne.



Lehmann znalazł kilka ciekawych kryształów,  
 Istnieją kilka substancji chemicznych, które  
 w pewnych warunkach okazują właściwości  
 optyczne kryształów, mianowicie podwój-  
 nie rozkładają światło. Niektórzy uważa-  
 ją te substancje za mieszaniny ciał  
 stałych i ciekłych, Voigt zaś uważa, że  
 może podwójnego rozkładania nie dowodzi  
 kryształowej budowy tych ciał. -

Odstępowanie od prawa Dulouga i Petita

mieliśmy przy wyprowadkaniu prawa  
 Dulouga i Petita wzór:

$$L = -\frac{1}{2} \sum (x_k x_k + y_k y_k + z_k z_k)$$

i pod założeniem, że  $U$  jest jednorodną  
 funkcją drugiego stopnia, czyli, że si-  
 ły wewnętrzne są podlegają tylko spręż-  
 ności, otrzymaliśmy:  $L = U$

Zupełnie u nas jest funkcją drugiego stopnia.  
 wtedy drgania aperiodyczne nie będą sprężyste,  
 t.j. siła nie będzie funkcją 1<sup>o</sup> stopnia.

$$F_x = -\alpha x \quad (\text{dla drgań sprężystych})$$

$$\text{lecz: } F_x = -\alpha x + \beta x^2 \dots$$

Dla małych wychyleń  $x$  można przyjąć,  
 że tylko pierwsze potęgi  $x$  i drgania  
 takie będą sprężyste. - Dla większych  
 $x$  musimy uwzględnić wyższe potęgi  
 i wtedy możemy energię potencjalną wy-  
 rażać w formie:  $U = U_2 + U_3 + U_4 + \dots$

gdzie  $U_2, U_3 \dots$  są funkcjami jednokrotnie  
 2<sup>o</sup>, 3<sup>o</sup>, 4<sup>o</sup>... stopnia.

do podstawienia trójczłonnika Eulera mamy:

$$\bar{L} = \frac{1}{2} \left[ \gamma_k \frac{\partial U_2}{\partial x} + \gamma_k \frac{\partial U_3}{\partial y} + 2\gamma_k \frac{\partial U_3}{\partial z} + \gamma_k \frac{\partial U_4}{\partial x} + \gamma_k \frac{\partial U_4}{\partial y} + 2\gamma_k \frac{\partial U_4}{\partial z} \dots \right]$$

$$\bar{L} = \frac{1}{2} [2\bar{U}_2 + 3\bar{U}_3 + 4\bar{U}_4 + \dots]$$

$$\bar{L} = \bar{U}_2 + \frac{3}{2}\bar{U}_3 + 2\bar{U}_4 + \dots$$



Dalere vyrary  $\frac{3}{2} U$ ,  $2U$ ,... okrešlaja aboere.  
 wa od prava Dulonga i Petita u ciat o  
 muijonym cizarnu atomowym. Z jak widzi,  
 my, jest jednakore Dla wyrzethick atomow,  
 te wize, które maza muijery ciziar atomo.  
 wy, musza miec' wizeka predkošci, aby  

$$E = \frac{mv^2}{2} \text{ byšo stalo.}$$
 Te wize oddalaja  
 si wizej od porzeczy równowagi, wize  
 dla nich  $x$  ma wizeka wartoši, im wizeka  
 reš  $x$ , tem wizeka potzgi  $U$  przycho.  
 dra. Wtem sposob tłumaczy Richard  
 pohlodzenie dalerych vyrarow w wyra.  
 pieniu na  $U$ . Te pboerzenia sa tem wizeka  
 im muijersa objztošci atomowa (i.z. objz.  
 tošci przyypadajaca na 1. atom Dausz ciat),  
 wtedy bo wiece atomy sa tem bliziej sku.  
 pionu, (im muijersa objztošci atomowa) wize

zblizaję się przy wkażaniach tem bliżej do  
 sasiadnych atomów, co pociąga za sobą  
 zmianę siły międzyatomowej. Te teo.  
 petyczne wnioski dosiadać należy potwier.  
 dzo.

W następującej tabelicy ułożono cięta  
 według wartości atomowego ciężaru ( $\mu$ ),  
 promier  $\alpha$  oraz atomowego objętości atomowej

	$\mu$	$\alpha$	$\mu_{av}$
Li	7	12	6.6
Beryl	9	5.6	3.6 ... 5.3
Bor	11	4.	2.5 ... 5.5
Chryzoberyl	12	3.6	1.4 ... 5.5
Na	23	2.4	6.7
Mg	24	1.4	6.
Al	27	11	5.7
Silicium	28	11	7.6 ... 5.7
Q	31.	13.5	5.6.



Największe wychylenie od teoretycznego  
 $\mu_{c_0} = 6.01$  znajdujemy u węgla, który ma też  
najmniejsze  $\alpha = 3.6$

Wszystkie teoretyczne wnioski są potwierdzone  
przez te wyniki doświadczalne.

(Dla coraz cięższych metali: odstępstwa są coraz  
mniejsze).

Flumaczenie. Richarra wydaje się być  
jednie dobre i naturalne. Na natężności  
naprowadza wielka zmienności ciepła  $c_v$   
& temperatura tak, że np. dla platyny i re-  
lara  $\mu_{c_0}$  przy wysokich temperaturach  
dosięga liczby 12, przy niskich zaś jest  
mniejsze od 6, mianowicie dla platyna  
przy temperaturze ciekłego powietrza  
 $\mu_{c_0} = 4$ .

Flumaczenie Richarra nie wydaje się

więc usprawiedliwione. i adaje się, że jest  
to wzwrotna z porrorenahowicą termiczną  
ciał i pracą podzesas porrorenahowicą wy-  
konaną, czego Richarz nie uwzględnił.

Dowodem kinetyczności ciał stałych  
jest dyfuzja, która występuje u metali:  
silnie występuje. Robert Austen np. wie,  
że dyfuzję różną przez ołów, srebra  
przez miedź; podobnie Belgijczyk  
Spring badał stoprenowicę aliarów me-  
tali; - zjawiska te wskazują, że istnieją  
u ciał stałych ciągły ruch między-  
drobinowy. Metale sprężkowane i  
poddane wielkiemu ciśnieniu racho-  
wują się prawie jak ciała ciekłe. Tro-  
chę aliarie a nawet wzwrotni chemicz-  
ne.



# Przewodnictwo elektryczności w gazach Teoria jonów

Przewodnictwo elektryczności w gazach dostarcza nam wskazówek co do konstrukcyj drobniejszej gazów. -

Już Faraday przypuszczał, że wytłumaczenie istoty elektryczności otrzymać można na drodze bliższe zbadanie przewodnictwa gazów. Późniejsze badania w tym kierunku, ku dotyczący kalenności kolegiów bicia istoty od potencjałów i krystalizacji, między którymi rozbrojenie pochodni: Nagro, mądrosi wprawdzie wielki materiał do świadczenia, nie musiaws jednak wyprocedzić z tego ogólnych rezultatów. Ponakato się, że ryżowisko przewodzenia w gazach jest ogromnie skomplikowane. -

Warburg np. namowariť, že ono występuje  
z oprórnieniem. Potencyaľ, ktorý trwaje  
przez dlhšy čas wywołuje powstanie iskry  
nie wystarcza do jej wytworzenia, kiedy čas  
trwania jego jest zbyt krótki.

Dopiero teoryi ionów udało się  
wytlumaczyć dośiadcnie to zjawisko.  
Początki tej teoryi należą do J. J.  
Thomsonowi. On przeszły się najpierw  
do teoryi chemicznej, mianowicie przy-  
puszczał, że w garach powstaje coś w ro-  
dzaju dysocjacji elektrolitycznej drobni.  
Doświadczenia jego wykazały elektroli-  
zę pary HCl. Trudno jednak wytłuma-  
czyć sobie, jak może para rtęci prze-  
wodzić elektryczność.

Drobiny rtęci są bowiem jednoczo,



more, więc musimy porzucić się na kationy  
i aniony - a musimy to przewodnictwo pa-  
ry rtęci jest jakościowo tego samego poro-  
dki, jak w gazach pierwiastek chemicznych.  
Wytlumaczenie zjawisków u zjawiskach  
Roöntgena i dysocjacji elektrony, po-  
legającej na tem, że same atomy porzuci-  
dają się, albo od normalnego atomu  
odrywa się ładunek elektryczny  
ujemny, porostawiając resztę k dodatnim  
ładunkiem.

Teoria jonów zajmował się J. J. Thomson  
w latach 96-97, następnie J. Stark i inni.

Teoria ta rozpoczyna dwa podzaje prze-  
wodzenia elektryczności: 1) samodzielnie  
przewodzenie powstające przy dostatecz-  
nie wysokiej różnicy potencjałów ber-

radu tego powsta imago krymika, i  
2) przewodzenie niesamodzielne, które nast.  
je spowodowane przez zewnętrzne  
źródło jonizacyjne (np. promienie katod.,  
długo Röntgena, Bergierela). Przewodze-  
nie niesamodzielne jest łatwiej zbadać  
niż samodzielne.

Ważny przypadek niesamodzielnego  
przewodzenia elektryczności:

Między dwiema płytami, utrzymy-  
wanymi na różnych potencjałach,  
porusza się gaz, który poddajemy  
działaniu krymika jonizującego np. pro-  
mieni Röntgena. W każdym cie gazu  
neutralnego powstają wskutek dział.  
cia tych promieni wolneiony do-  
datnie i odjemne w ilości np.  $q$  -



Gdyby nie więcej miedziatyrato uszja, wisko ionizacyi, musiałyby istnieć ciągły wzrost z czasem, tak, że jeżeli liczba chwiloowa jonów jest  $n$ , a czynnik ionizujący działa stale, równomiernie, miedziatyrato:

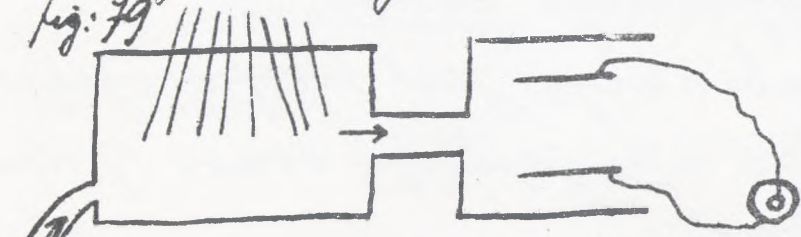
$$\frac{dn}{dt} = q \quad q = \text{stała}$$

$$\text{stad : } n = qt + C \quad \text{sta } t=0, n=0 \text{ wiec } C=0$$

$$n = qt.$$

Musimy przyjąć, że istnieje rjarietko precydziająca, w precydzym bo, wiew parie, ionizacya postępowataby w niestoiarowoi. Ze taki wpływ precydzymy istnieje porużajci w nast. sposob:

Fig. 79



Gas ionizowany przewodzący do

innego naczyńia, w którem znajdują się  
Kondensator połączoney z elektrometrem  
(fig 79) Iony gazu uderzają o płyty kon-  
densatora i ładują je, co pozujemy po  
wychyleniu wskazówki elektrometru.

Jeszcze przekamy perciu przes, bez do-  
prowadzenia świeżego gazu, wówczas wska-  
zówka powraca do położenia zerowego, co  
świadczym o tem, że gaz powrócił do  
pierwotnego stanu, i iony zneutrali-  
zowały się. Istnieje więc zjawisko, które  
przeciwnie do wzrostu jonizacyi, mia-  
nowicie zjawisko rekombinacyi, t.j. zre-  
nia się wzajemnego jonów.

Rekombinacya jest proporcjonalna,  
ma do kwadratu gęstości jonów t.j. ilości  
ich w  $1 \text{ cm}^3$  gazu.



Występują ona bowiem wskutek powstania  
 się jonów dodatnich z odjemnymi, zaś  
 liczba powstania jest temu większa, im więcej  
 jest jonów. -

Liczba powstania jednego jonu dodatnie-  
 go jest więc proporcjonalna do gęstości  
 jonów odjemnych, zaś liczba powstania  
 odjemnego jonu zależy od gęstości do-  
 datnich jonów, tak, że w całości ilość  
 rekombinujących się jonów jest pro-  
 porcjonalna do kwadratu chwilowej  
 gęstości jonów  $\alpha n^2$ .

Uwzględniając wpływ rekombinacji,  
 czyli, otrzymamy na wzrost ionizacji  
 równanie:

$$\frac{dn}{dt} = q - \alpha n^2$$

dla  $q$  i  $\alpha$  stałych, mamy  $\frac{dn}{q - \alpha n^2} = dt$ .

$$\int \frac{dn}{q - \alpha n^2} = \int dt + C$$

$$\int \frac{dn}{q - \alpha n^2} = \int \frac{dn}{(\sqrt{q} - \sqrt{\alpha} n)(\sqrt{q} + \sqrt{\alpha} n)} = \frac{1}{2\sqrt{q}} \int \frac{dn}{\sqrt{q} - \sqrt{\alpha} n} + \frac{1}{2\sqrt{q}} \int \frac{dn}{\sqrt{q} + \sqrt{\alpha} n}$$

$$= \frac{1}{2\sqrt{q}} \lg \frac{\sqrt{q} + \sqrt{\alpha} n}{\sqrt{q} - \sqrt{\alpha} n}$$

$$t + C = \frac{1}{2\sqrt{q}} \lg \frac{\sqrt{q} + \sqrt{\alpha} n}{\sqrt{q} - \sqrt{\alpha} n}$$

$$2\sqrt{q}(t + C) = \lg \frac{\sqrt{q} + \sqrt{\alpha} n}{\sqrt{q} - \sqrt{\alpha} n}$$

$$\sqrt{q} + \sqrt{\alpha} n = (\sqrt{q} - \sqrt{\alpha} n) e^{2\sqrt{q}(t + C)}$$

$$\sqrt{\alpha} n (1 + e^{2\sqrt{q}(t + C)}) = \sqrt{q} (e^{2\sqrt{q}(t + C)} - 1)$$

$$n = \frac{\sqrt{q}}{\alpha} \cdot \frac{C_1 e^{2\sqrt{q}t} - 1}{C_1 e^{2\sqrt{q}t} + 1}$$

W ten sposób przewidzi się, że czasem ilość wolnych jonów, gdy występuje tylko czynnik jonizacyjny i rekombinacyjny.

Musimy obojętne tego uwzględnić



wpływ prądu elektrycznego, który powstaje,
 jest wskutek różnicy potencjałów na płytach.
 Prąd elektryczny płynie na tym, że jony
 nabierają w polu elektrycznym prędkości
 w kierunku płyt, na których rosną wy-
 dzielone, podobnie jak przy elektrolizie.
 Wskutek prądu odbywa się co sekundy
 pewna ilość jonów w gwie. Starając
 się przez "i" uatężyć prąd t.j. ilość
 elektryczności na sekundę przepływającą
 przez  $1 \text{ cm}^2$ . Jeżeli ładunek jednego io-
 nu wynosi  $e$ , to na każdy  $\text{cm}^2$  w sekun-
 dzie przypada jonów  $\frac{i}{e}$ . Jeżeli pły-
 ty ułożone odległe są od siebie
 o  $l \text{ cm}$ , to ta ilość jonów  $\frac{i}{e}$  rozdziela
 się na  $l \text{ cm}^3$ , wskutek czego na  $1 \text{ cm}^3$  przy-
 pada ich  $\frac{i}{e l}$  - jest to ubytek jonów

uskutek pradu.

Zjawisko ionizacji przedstawia się równanie:

$$\frac{dn}{dt} = q - \alpha n^2 - \frac{i}{eL} \quad (1)$$

Thomson robi założenie, że prędkość jonów w polu elektrycznym jest proporcjonalna do spadku potencjału. To założenie jest identyczne z założeniem w elektrolizie, gdzie jony poruszają się proporcjonalnie do siły, czyli spadku potencjału, dla gazów jest ona prawie wtedy, gdy gaz jest bardzo mało rozrzedzony, tak, że droga swobodna drobin jest bardzo duża, więc drobinę poruszają się podług tej drogi niezależnie, z przyspieszeniem powstaje zjawisko promieni



Katodowych. Jeżeli przyjmijemy zeto-  
nie Thomsona, to mamy  $v_+ = \alpha \frac{V}{\ell}$ ,  
gdzie  $\alpha = v_p$  t.j. prędkości jonu dostającego  
w polu jednostkowym, zaś  $\frac{V}{\ell} =$  spadek  
potencjału czyli siła elektryczna.

$$\text{więc } v_+ = v_p \frac{V}{\ell}$$

$$\text{analogicznie } v_- = v_n \cdot \frac{V}{\ell}$$

owe  $v_+$  i  $v_-$  są od siebie różne.

W sekundzie przejdzie przez  $\text{cm}^2$   
przekroju  $n$  jonów, z których każdy  
ma ładunek  $e$ , a porusza się z pręd-  
kością  $v_+$  lub  $v_-$ . Mamy więc i "prąd  
elektryczny" czyli ilość elektryczności  
przeprowadzonej w sekundzie przez  
 $1 \text{ cm}^2$  określony równaniem:

$$i = n e (v_p + v_n) \frac{V}{\ell} \quad (2)$$

Łącząc równanie (1) z (2) mamy:

$$\frac{dn}{dt} = q - \alpha \frac{i^2}{[\varepsilon(v_p + v_n) \frac{V}{L}]^2} - \frac{i}{\varepsilon L}$$

Jżeli stan jest niestabilny z czasem, krytyczny równowagi, to  $\frac{dn}{dt} = 0$  czyli

$$q = \frac{\alpha i^2}{[\varepsilon(v_p + v_n) \frac{V}{L}]^2} + \frac{i}{\varepsilon L} \quad (3)$$

$$q = \frac{i}{\varepsilon L} \left[ \frac{\alpha i}{[\varepsilon(v_p + v_n) V]^2 \cdot \frac{1}{L^2}} + 1 \right]$$

Jżeli  $V$  jest małe, to  $\frac{\alpha i}{[\varepsilon(v_p + v_n) V]^2 \cdot \frac{1}{L^2}} \gg 1$

więc

$$q = \frac{i}{\varepsilon L} \cdot \frac{\alpha i}{[\varepsilon(v_p + v_n) V]^2 \cdot \frac{1}{L^2}}$$

$$i = \varepsilon(v_p + v_n) \frac{V}{L} \cdot \sqrt{\frac{q}{\alpha}} \quad (3a)$$

Topnienie dla małych  $V$  natężenie prądu  $i$  jest proporcjonalne do  $\frac{V}{L}$ , czyli do siły elektromotorycznej i do tegoż prądu stosuje się prawo Ohma  $[i = \frac{\varepsilon}{\eta} u = \sigma i, \varepsilon = \frac{V}{L}]$ .



Gdy  $V$  wzrasta coraz bardziej, wówczas  
 $\frac{di}{[(V_p + V_n) \varepsilon V]^2 \frac{1}{l_0}} \ll 1$  więc:  $i = \frac{4}{\varepsilon l_0} i_0 \dots (36)$   
 Dla bardzo wielkiej różnicy  
 potencjałów, prąd „ $i$ ” niezależny  
 od  $V$ . Taki prąd nazywamy prądem  
 nasycenia.

Graficznie przedstawiam nam za-  
 leżność  $i = f(V)$ , krzywa, która począ-  
 tkowo wzrasta liniowo prawie, następ-  
 nie zaś dla prądu nasycenia biegnie  
 równoległe do osi  $V$  (fig 80). Na

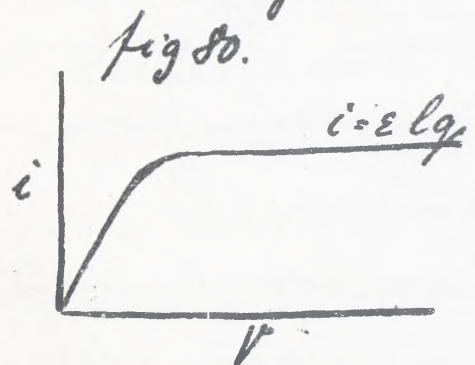


fig 80.

tem polega zasadni-  
 cza różnica między  
 przewodzeniem meta-  
 lic a garów. -

Jeżeli więc różni-  
 ciany odległości „ $l$ ” fityt, to, dla

matych  $V$ , mamy  $i \sim \frac{1}{l}$ , Dla dwojg  
rań  $V$  prąd jest tem silniejszy, im większe  
 $l$ . Ciekawa ta konsekwencja tłumaczy  
si u następujący sposób: Jeżeli prąd  
osiągnie punkt nasycenia t.z. napięcie  
jest tak wielkie, że iony wcale się nie  
rekombinują, bo wryśnięte zostają  
powracane przez elektrody, to ionów  
na elektrodach jest tem więcej, im  
więcej ich wytwarza się uacrynie, więc  
im większe uacrynie, w którym gaz  
jest poddany ionizacji. Prąd na-  
sycenia jest więc tem silniejszy, im  
większy odstęp elektrod ( $l$ ).

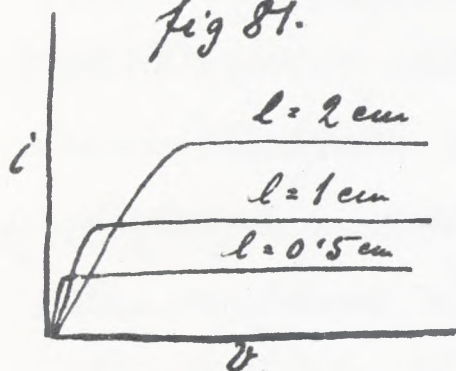
Rutherford i Thomsou badali  
prądy nasycenia przy uyciu lampki  
Röntgenowskiej do ionizowania.



Leżący do tego celu jest wraun, który  
północniemie promieniuje

Oboon uniezczona figura (81.) przedsta.

fig 81.



nia Prayze  $i = f(l)$  przy  
Zmianie odległości " $l$ "  
elektrod. -

Prędkości ionów dodatnich i odjemnych  
w polu jednostkowym ( $U_p$  i  $U_n$ )

I. Metoda wzięta przez Rutherforda i innych

Wyobraźmy sobie gaz ionizo-  
wany między dwiema siatkami meta-  
lowymi w odstępie " $l$ " na których wytra-  
wamy małą różnicę potencjałów.  
Istnieje więc liniowy prąd:

$i = e(v_p + v_m) \frac{V}{l} \sqrt{\frac{e}{2}}$ . Wytwarzamy teraz  
 strumienie prądu dmuchając przez całą  
 masę gazu w kierunku od prawej re-  
 ki ku lewej. Iony dodatnie t.j. te po-  
 ruszają się z lewej ku prawej (fig 82) zosta-  
 ją opóźnione wskutek puchu  
 gazu, zaś ujemne zostają przy-  
 spieszone. Ze względu  
 na ilość dodatniego ładunku można  
 obliczyć prędkości ionów dodatnich,  
 a dmuchając gaz w kierunku prze-  
 ciwnym do pierwotnego, można ob-  
 liczyć prędkości ionów ujemnych.

Na tej podstawie otrzymano nast. rezul-  
 taty liczebne: do siły elektrycznej:  $\frac{1 \text{ Volt}}{1 \text{ cm}}$

	$v_p$ cm/sec	$v_m$ cm/sec	$\frac{v_m}{v_p}$
dla $H_2$	5.7	7.2	1.26
dla powietrza	1.25	1.7	1.36
$CO_2$	0.78	0.84	1.08



Gas vidrimy z tych lieb prěakovi ionův  
odjemnyh sa vřkare, ni dladatnich,  
co jest povodem rōvnicy u zachovanii  
si elektrycznosti odjemnej i dladatnej;  
prěasera prvj zjaviskach u atmosfere.

Lieby te vskazujā rōvnic, zē ni  
umiejry vřkar atomov (u  $H_2$  najmiejry)  
tem rychlosti ionův jest vřkara.

## II Metoda Lauevina (Laurena)

Mamy dvie ptyty rōvnolegle  
do siebie ustavione, metalove. Jedna  
z nich řazryny z elektroskopem, dru-  
ga z rōdřiem potenyatů V. Dalše  
postęporami jest następujace:

1) Gas mezdy obicma ptytami  
poddajemy ionizujacemu dřiřtāniu  
světlu Rōntgenova.

2) Przerzynamy działanie ionizatora i ładujemy płytę roboczą do  $+V$ , który utrzymujemy przez czas  $t$ .

3) Przy pomocy kommutatora zmieniamy potencjał  $+V$  na  $-V$  i ten utrzymujemy już stale ( $\infty$ )

W przypadku (1) wytwarza się w karcie dym  $\text{cm}^3$  gazu  $n$  wolnych jonów (to  $n$  zależy od siły ionizatora). W przypadku (2) jony dodatnie dają do elektrometru wskazując w czasie  $t$ , przez który ten drugi przypadek trwa długość:

$$s = v_+ t = v_p \frac{V}{E} \cdot t.$$

Mnożąc  $s$  przez ilość jonów <sup>w  $\text{cm}^3$</sup>  (osia. dających na elektrometrze obrotowy jonów otrzymujemy ilość. Ilość ta jest:

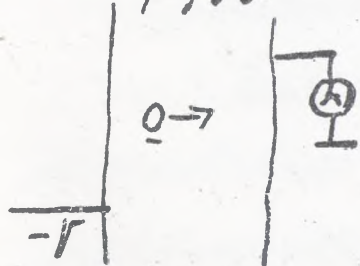
$$n v_p \frac{V}{E} t = n \lambda v_p t; \text{ gdzie } \lambda = \frac{V}{E} = \text{siła}$$



Równocześnie odpowiednia ilość jonów  
 wziętych wydziela się na płycie ma-  
 jącej potencjał  $+V$ . Poczatkowo było  
 $n$  jonów wziętych na  $1 \text{ cm}^2$ , więc  $4n$   
 w całej powierzchni ionizowanej. Pod  
 wpływem pola elektrycznego pozostało  
 przewodzących na płycie  $n \cdot \frac{V}{t}$   
 jonów, więc w gąbce porostaje jeszcze  
 jonów wziętych:  $n(1 - n \cdot \frac{V}{t})$

W przypadku (3) wystąpią jony  
 wzięte, porostają w gąbce dalej do  
 elektrometru (fig 83). Jeżeli przy-

fig 83.



pradek (3) trwa bardzo  
 długo, jak powiedzieliśmy,  
 to ostatecznie wszystkie  
 jony wzięte przejdą  
 na elektrometr. Na elektrometrze

jest jednak ładunek dodatni  $n \lambda v_p t$   
 pochodzący z (2) stadium dosiadań.  
 Tę dodatni ładunek przesie-  
 się z częścią ładunku ujemnego, któ-  
 ry teraz przechodzi na elektro-  
 metrze powstanie ładunek:

$$Q = n \lambda v_p t - n [l - \lambda v_n t]$$

$$Q = n [\lambda (v_p + v_n) t - l]$$

Robimy przytem założenie, że siła  $\lambda$  jest tak wielka, że rekombinacja jonów można pominąć.

Zależnie od czasu  $t$  otrzymany  
 na elektrometrze różne ładunki.

Jeżeli  $t = \frac{l}{\lambda v_n}$  wówczas  $Q = n \lambda v_p t$ ;  
 wszystkie jony ujemne zostaną wy-  
 ciągnięte z gazu i w dalszym ciągu  
 1.2 Dla  $t > \frac{l}{\lambda v_n}$  nie ma już w gazie io<sup>o</sup>



nov' ujemnykh, wskuten czego v stadyum  
 (3) neprybyzdri novy sadmush ujemoy.  
 Zherel:  $t \geq \frac{l}{\lambda v_p}$ , to  $Q = n l t$ : najvysshy  
 možliwy sadmush kostajet jiz v (II) sta-  
 dyum p'ereprovodrony do elektro-  
 metru. Pockat'novo v'ez gody v'vrasta-  
 t, many limiory v'rost sadmushu,

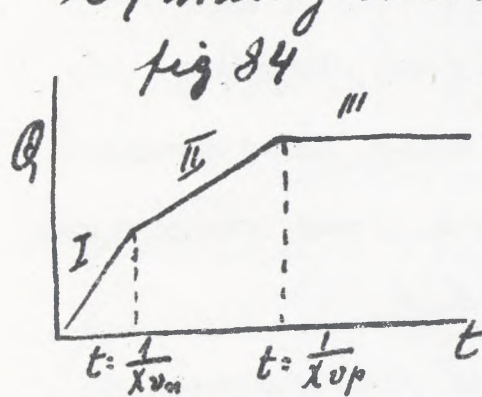


fig 84

od shvili  $t = \frac{l}{\lambda v_n}$  v'vrasta  
 sadmush (fig 84) vedlyg  
 rovnaniu  $Q = n[\lambda(v_p + v_n)t - l]$   
 ari do shvili  $t = \frac{l}{\lambda v_p}$ , od-  
 tad ras' v'rost sadmushu

nu m'ezelery od chasu.

Zaleri'noš' t'z' sadmushu od chasu  
 p'ovedstav'ya linia v dvoch punktash  
 računaniu (fig 84). Z dvoch tykh punktov  
 računaniu oblicryt' m'ovna v'el'.

Końci  $v_p$  i  $v_n$ .

Metoda Langevina może być stosowana także wtedy, gdy jest więcej ro. drzajów jonów z właściwymi sobie przed. kościami, nie tylko dodatnie i ujemne.

Langevin wykazał w ten sposób, że są trzy rodzaje jonów w normalnych warunkach. Trzeci rodzaj do. datnich jonów nazywa się jonami Langevina. Posiadają one dwiema. se, i są bardzo porolne.

Langevin mierzył prędkości  $v_p$  i  $v_n$  przy różnych ciśnieniach gazów. Następująca tablica podaje wyniki. Ki Langevina.

Prędkości  $v_n$  i  $v_p$  są tu podane dla pola o natężeniu  $\frac{300 \text{ voltów}}{\text{cm}}$ , aby więc



porównać je z wynikami I<sup>tej</sup> metody,  
 należy lwyby Langevina podzielić przez 300.

Dla powierzchni przy ciśnieniu	$V_n$	$V_p$	$\rho v_n$	$\rho v_p$
$\rho = 75$ mm rtęci	6560	4430	647	437
" 200 " "	2204	1634	580	430
" 410 " "	994	782	530	427
" 760 " "	510	480	510	420
" 1420 " "	270	225	505	425

Widzimy, że większeiony  
 wykazują (podobnie jak u I metody)  
 prędkości większe, niż dodatnie i  
 różnica ta wzrasta przy większym  
 ciśnieniu. Im większe ciśnienie  
 tem mniejsze są prędkości ionów  
 obu rodzajów; u przybliżeniu iloczyn  
 $\rho$  ciśnienia ( $\rho$ ) i prędkości jest stały  
 niezależnie u dodatnich ionów. -

Związek prędkości z ciśnieniem tła,  
maczy Thomson u następujący sposób:

Siła działająca na iony wynosi:

$\chi \varepsilon = m \frac{d^2 x}{dt^2}$ ; stąd:  $\frac{d^2 x}{dt^2} = \frac{\chi \varepsilon}{m} = \text{const.}$ ,  
bo  $\chi \varepsilon m$  są stałe.

Ruch ionów jest więc jednostajnie przyspieszony, czyli prędkość ich jest proporcjonalna do czasu.

$\frac{dx}{dt} = \frac{\chi \varepsilon}{m} t$ . Ruch ten odbywa się między dwoma zderzeniami tylko, więc przez czas trwania swobodnego ruchu ( $t$ ), przy zderzeniu bocznym iony zostają odbity w innym kierunku; ruch wzdłuż kierunku i pierwotny ruch ioni sumują się i ioni odbywa ruch paraboliczny. Ponieważ prędkość wzrasta liniowo z czasem,



więc prędkość przeciwna jest połową tej, jakiej ion nabyma wzdłuż drogi swobodnej:

$$\bar{v} = \frac{\chi e \tau}{2 m}$$
 Określny prędkość drobinową ionu przez  $\omega$ , drogę swobodną przez  $h$  to:  $\tau = \frac{h}{\omega}$ ;  $\bar{v} = \frac{\chi e \tau}{2 m \omega}$   
 więc:  $\bar{v}_n$  albo  $\bar{v}_p = \frac{e h}{m \omega}$  dla  $\chi = 1$ .

Jeżeli ion jest nieruchomy t.j. ma określoną masę i stałą prędkość  $\omega$ , to Rouse'owa prędkość w polu elektrycznym jednostkowym jest proporcjonalna do drogi swobodnej  $h$ , a ponieważ  $h$  jest odwrotnie proporcjonalne do ciśnienia ( $p$ ), więc przy zwrocie ciśnienia ma malejącą prędkość, jak to wykazały w czasie badania Langevina. U ionów rżennych istnieje

zoboczenie od prawa pr: eoust. To daje się  
 wytłumaczyć jedynie przyjęciem, że  
 iony ujemne przy rozrzedzeniu gazu  
 rozbijają się na mniejsze części.

Przyjmujemy, żeiony rozchodzą się  
 jak drobiny opatrzone ładunkiem elek.  
 trycznym, t.j. że k jest drogą swobodną  
 drobinowa,  $m$  = masa drobinowa,  $w$  = pręd.  
 koi drobinowa. Przy takim założeniu  
 obliczyć możemy prędkości ionów,  $v_p, v_n$   
 według wzoru:  $\bar{v}_n$  lub  $\bar{v}_p = \frac{ek}{ma}$ . Poniżej  
 podane są wartości tych prędkości  
 obliczone na podstawie wzoru powyż.  
 srego a następnie kwalitative doświadczal.  
 nie i stosunek obliczonych do kwalitacyjnego

Wartości	$\frac{v_p}{v_n}$	obliczone	Helium	$H_2$	$O_2$	$CO_2$	$SO_2$	$Cl_2$
		obliczone	473	26	3.8	2.06	1.25	1.1
		kwalitative	1.4	4.2	1.36	0.78	0.5	1.0
		obliczone	34	3.8	2.7	2.7	2.5	1.1
		kwalitative						



Jak widzimy z wyjątkiem helu u wyrzut-  
 nich innych gazów wartości kwantowe  
 i obliczone zgadniają się mniej więcej ze  
 sobą. Przyjmiemy, że ione są wielkości  
 drobni przewodni i wyjątkiem u he-  
 lu do rezultatów zgodnych z doświad-  
 czeniem. Doświadczenia strzymane  
 wartości są jednak stale mniejsze  
 więc w ogóle ione muszą być więk-  
 szą drobną, przedewszystkiem zaś  
 u helu muszą być one kompleksami  
 drobną.

Wynika to ze wzoru  $\bar{v} = \frac{\epsilon h}{m \omega}$ ,  
 jeżeli  $v_{obliczone} > v_{kwantowe}$ , to  $m_{przejsto} <$   
 $< m_{precyzyjne}$ .

Następnie należy zauważyć, że  
 h i w zmieniają się, gdy ione jest sto-

iony w kilku drobin.

Thomson uwzględnia to i otryma.,  
je wrót poprawiony. Wyobraźmy so.,  
że mianowicie, że jeden ion skła.,  
da się w  $v$  drobin, przekrój jego jest  
wzr.  $v$  razy większy, niż przekrój  
jednej drobin.

Wziemy, że  $k = \frac{1}{\sqrt{2} \pi n_0^2}$ . Miarodajna  
dla drogi swobodnej  $k$  jest odległość  
ionu podrażającego się od drobin, wst.  
suma przekrojów drobin i ionu  
czyli  $(v+1) \sigma^2 \pi$ . Jeżeli droga sw.,  
bodna samych drobin wynosi  $k_0$   
to dla ionu wynosi ona:

$$k = \frac{2k_0}{v+1}.$$

Prędkość w ionów jest odwrot.,  
nie proporcjonalna do pierwiastka



x ciężaru drobinowego. Jeżeli przed,  
 koń jednej drobinny jest  $c$ , to prz. dróż  
 w ionu ktoronego  $x$  v drobin określić  
 można n należności od  $c$  równa,  
 niem:

$$\omega: c = \sqrt{m_0} : \sqrt{v m_0} \quad (m_0 - \text{masa 1 drobinny})$$

$$\omega = c \frac{1}{\sqrt{v}}$$

masa ionu:  $m = v m_0$

Podstawiając we wzorze  $v = \frac{\lambda \varepsilon h}{m \omega}$   
 wartości na  $h, \omega, m$ , mamy wóś Thom,

sonna:

$$\bar{v} = \frac{2 \lambda \varepsilon h_0}{m_0 c \sqrt{v} (v+1)} = \frac{\lambda \varepsilon h_0}{m_0 c} \cdot \frac{2}{\sqrt{v} (v+1)} = v_0 \frac{2}{\sqrt{v} (v+1)}$$

dla  $v=1$   $\bar{v} = \frac{\lambda \varepsilon h_0}{m_0 c} = v_0$

dla  $v=2$   $\bar{v} = \frac{2 \lambda \varepsilon h_0}{m_0 c 3\sqrt{2}} = \frac{2}{3\sqrt{2}} v_0 = 0.44 v_0$

dla  $v=4$

$$\bar{v} = \frac{2}{10} v_0 = 0.2 v_0$$

Dla powietrza otrzymalibysmy przez po-  
rownanie predkosci  $v = 3$  dla helu i liej-  
szych gazow wzlasne wartosci. Thomson  
tłumaczy to tak: Elektron zachowuje  
sie w obec drobin tak, jak punkt  
naładowany w obec kul przewodzą-  
cych t. z. między nimi istnieje wzajem-  
ne przyciaganie.

Elektron przyczepi sie wiec do dro-  
bin i wytworzy ion ujemny, który  
znowu dziala jako centrum attra-  
cyjne na inne obojętne jessere dro-  
biny, wiec przyciaga je i skupia  
okolo siebie.

Proces taki odbywa sie tak dłu-  
go, dopóki energia kinetyczna  
ruchów wzajemnych nieporownie



skupienia tego naprowadzi na prośedy...  
cre kręci. Według Thomsona wielkość  
agregatu ptorionego  $\mu$  elektronu i dro...  
bin jest określona przez warunki,  
że przekięta energia kinetyczna  
pówna się pracy, która to skupienie  
drobin około ładunku elektrycznego  
przedstawia.

Energia potencjalna ( $E_p$ ) kul  
niezaładowanych  $\mu$  styczności  $\mu$  ka...  
łą naładowaną wynosi według Thom...  
sona:  $E_p = 0.14 \frac{b^2}{a}$ , gdzie  $b$  = promień  
kuli naładowanej,  $a$  = promień kuli  
obojętniej elektrycznej (niezaładowanej).

Im większe  $a$ , tem mniejsza e...  
nergia potencjalna przedstawia da...  
ne skupienie. —

Precyzyjna energia kinetyczna, która  
powrywa te skupienia jest jednakowa  
we wszystkich gazach przy danej  
temperaturze, więc w gazach o niż-  
szej masie drobniejszej, będzie według  
Thomsona istnieć miejsca dla więcej  
cho wytworzenia takiego skupienia.

Thomson otrzymuje wprowadzić  
na stosunek  $\frac{v_{obrotowe}}{v_{przewodzenie}}$  te same liczby  
na podstawie swych pomiarów, jakie  
mieliśmy dawniej, jednak pomiar-  
nia te są zbyt hypotetyczne jak  
np. przyjmie, że drobiny są ku-  
lami przewodzącymi, co jest ku-  
lami nieuprawnione, bo gdy-  
by tak było, to przewodnictwo w ga-  
zach odbywałoby się inaczej, niż



jest w rzeczywistości.

## Rekombinacja jonów

Sposób I: obliczenie stałej  $\alpha$

Mieliszmy dla stanu równowagi równa-

$$\text{me: } q = \frac{\alpha i^2}{[\varepsilon(v_p + v_n) \frac{V}{l}]^2} + \frac{i}{\varepsilon l}$$

dla prądu nasycenia czyli  $i = i_{\max}$ :

$$q = \frac{i_{\max}}{\varepsilon l}$$

$$\text{więc: } \frac{\alpha i^2}{[\varepsilon(v_p + v_n) \frac{V}{l}]^2} = \frac{i_{\max}}{\varepsilon l} - \frac{i}{\varepsilon l}$$

$$\alpha = \frac{i_{\max} - i}{l^2} \cdot \frac{\varepsilon(v_p + v_n)^2 V^2}{l^3}$$

Robimy dwa pomiary, jeden przy prądzie nasycenia ( $i_{\max}$ ), drugi przy prądzie  $i$ , który stosuje się do prawa Ohma. Mając odległość elektrod  $l$  i różnicę potencjałów  $V$ , możemy obliczyć  $\alpha$ ,

Tej metody użyli Thomson i Rutherford  
i otrzymali  $\alpha = 10^{-6}$

## II Gęstość:

Przyjmijmy, że przez pewien czas  
promienie Röntgena działają na gaz  
i wytworzyły tam  $n_0$  jonów swobod-  
nych. Po przerwaniu działania pro-  
mieni, jony zaczynają się rekombi-  
nować według wzoru:

$$\frac{dn}{dt} = -\alpha n^2$$

$$-\frac{dn}{n^2} = \alpha dt$$

$$\frac{1}{n} = \alpha t + C$$

dla  $t=0$ ,  $n=n_0$  więc  $C = \frac{1}{n_0}$

$$\frac{1}{n} = \alpha t + \frac{1}{n_0}$$

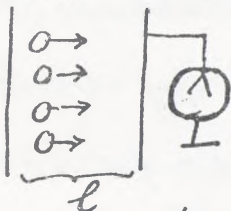
$$\alpha = \frac{1}{t} \left[ \frac{1}{n} - \frac{1}{n_0} \right] \quad (II)$$

Po upływie czasu  $t$ , po którym pro-  
stanie w gazie  $n$  jonów wytworzony



silne pole elektryczne, tak, aby jony, nie miały czasu daley się rekombinować, lecz aby natychmiast pozostały przeprowadzone do elektrod. Ładunek, który wykazi elektrometr będzie proporcjonalny do ilości

fig 85:



(n) jonów w gazie: (fig 85)

$$Q = n l \epsilon$$

Ładunku Q i promiarów

pola l, obliczymy n, a następnie według wzoru II stała rekombinacyjna

$$\alpha = \frac{1}{t} \left[ \frac{1}{n} - \frac{1}{n_0} \right]; \quad t = \frac{\frac{1}{n} - \frac{1}{n_0}}{\alpha}$$

Jeżeli działanie krymika ionizującego jest silne, t.j.  $n_0$  jest wielką liczbą, to aby liczba jonów spadła do połowy  $n = \frac{1}{2} n_0$  trzeba czasu  $t = \frac{\frac{1}{n_0} [2-1]}{\alpha} = \frac{1}{n_0 \alpha}$ ; gdy  $t = 1 \text{ sek}$ , wtedy  $n_0 = 10^6$ , bo  $\alpha = 10^{-6}$

Wzrost ionizacja silna spada po

przerwaniam drzatania jonizatora w se.  
kumencie do potory (fig 86.).

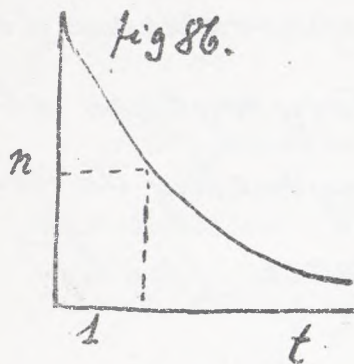
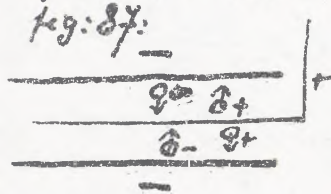


fig 86.

Dalsze malecie jonizacji  
jest juz powolne. Gaz xio.  
wzrostawiony porostawiony  
sam sobie utraci pro.  
czatkowo iony walec las.  
dro szybko, nastepnie coraz powolniej,  
tak, ze slaby jonizacji dlugi czas  
u nim porostaja. Do szybkiego uwal.  
niania gazu od ionow wywasa sie pola  
elektrycznego. Między dwiema plytami na.  
ladowane ujemnie (fig 87) wstawie  
sie drut dodatnio ukladowany; iony



dodatnie daja na plytom,  
ujemnie rosta przychodza.  
ze drut i gaz w krótkim era.

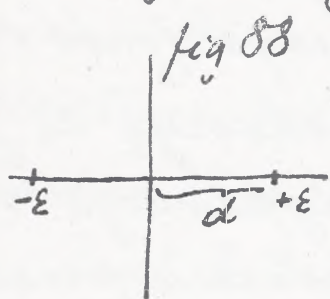


się wkręca do neutralnego stanu. Do tego celu służą też mechaniczne sposoby, np. prefiltrowanie zionizowanego gazu przez opilkę metalową, do których przyczepiają się jony swobodne; albo przesłanie gazu przez bardzo długie rury, bo w czasie bardzo długim wyistnieją jony i rekombinują.

Na skutek jonizacji w gazie wptywa obrot pola elektrycznego i rekombinacja, także dyfuzja jonów i ich adsorbacja. Jony zachowują się jak drobiny, więc jony dyfundują na wszystkie strony, z czasem przeto przemieszczają się do ścian naczyń i na nich osiadają. Wpływ dyfuzji w pewnych warunkach można ucyfrować

dość wielkim, jak to uczył sp. Thomson  
 z pomiarów dyfuzji można wnioskować  
 o wielkości jonów.

2) Absorbey: Jeżeli ładunek elektryczny znajduje się w bliskości ściany przewodzącej, wówczas, jak wiadomo z elektrostatyki, ściana przyciąga ładunek  $(+\epsilon)$  siłą taką, jaką działałby na niego ładunek przeciwnego znaku symetrycznie po drugiej stronie



położony (fig 88). Jeżeli odległość  $+\epsilon$  od ściany wynosi  $d$ , to siła ona wynosi:  $\frac{\epsilon^2}{(2d)^2}$ . Podobnie jony znajdujące się w pobliżu ściany rosną przez nią przyciągane i zjawisko to nazywamy absorbeyą;



wpływu jej jest silniejszy tylko przy sa-  
mej sianie w niewielkiej odległości  
od niej jest zupełnie mały. -

Przyjętym rekombinacji jonów  
przedstawia sobie Thomson w ten spo-  
sób: między jonem dodatnim iujem-  
nym działa siła przyciągania rodzaju  
gravitacji, więc wynosi:  $\frac{\epsilon^2}{r^2}$

Energia potencjalna dwóch takich  
jonów wynosi  $\frac{\epsilon^2}{r}$  (inaczej potencjał, praca),  
zas energia kinetyczna  $= \frac{m\bar{c}^2}{2}$  jest okre-  
ślona przez temperaturę daną. Następ-  
nie powołuje się Thomson na rezultaty  
teorii ruchów gravitacyjnych.

Jeżeli mianowicie ciała janki w od-  
ległości  $r$  od słońca, w ogóle ciała  
stanowiącego centrum ruchu, zostanie

wyrzucenie z pewną prędkością, to poru-  
 sza się ono po elipcie, hiperboli lub pa-  
 raboli. W razie gdy energia kinetyczna  
 $L$  równa się energii potencjalnej  $U$ ,  
 wówczas ciało porusza się po paraboli,  
 dla  $L < U$  po elipcie, zaś dla  $L > U$  po  
 hiperboli. Stosując to do jonów, widzi-  
 my, że, jeżeli  $L > U$ , to oba jony rosta-  
 ną odosobnione  $\gg \frac{1}{2}$ , gdy zaś  $L < U$ ,  
 wówczas oba jony rekombinują się.

Aby więc nastąpiła rekombinacja,  
 musi być  $L \leq \frac{\epsilon^2}{2}$

$$r \leq \frac{\epsilon^2}{L}$$

$r = \frac{\epsilon^2}{L}$  jest to obręb przesturacji, w któ-  
 rym wszystkie tam zawarte jony  
 rekombinują się z danym jonem.

Wiemy, że  $\frac{n m \bar{c}^2}{3} = p$ ,  $L = \frac{m \bar{c}^2}{2} = \frac{3p}{2n}$



więc znając  $p$  i  $n$  możemy obliczyć  $L$ .

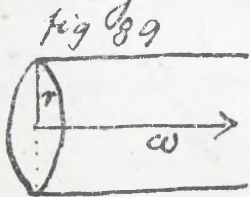
$$L = 3.5 \cdot 10^{-10}$$

z tego:  $\kappa = \frac{\varepsilon^2 2n}{3p} = 1.4 \cdot 10^{-6} \text{ cm}$ .

Jeżeli więc około ionu danego jonu „  
ny” przebiegają w odległości  $\kappa = 1.4 \cdot 10^{-6} \text{ cm}$ ,  
wówczas następuje rekombinacja. Możemy  
teraz obliczyć ilość jonów rekombinują-  
cych się w sekundzie.

Ilość ta zależy od rozmiarów walca  
o promieniu  $\kappa = 1.4 \cdot 10^{-6} \text{ cm}$  około w jako  
osi wykreślonego.

Jony bowiem znajdujące się wewnątrz  
tego walca muszą się rekombinować  
z danym ionem. (fig 89).



w  $\kappa^2 \pi = V$  walca

$V n =$  ilość jonów dodat-  
nych tam zawartych,

z tego potewa  $\frac{v n}{2}$  rekombinuje się z drugim  
ionem (+).

Pomiarowi w całości jest „n” ionów w gazie,  
więc  $n \frac{v n}{2} = z^2 \pi \omega \frac{n^2}{2} =$  liczebna rekombinacja  
jącej się, ionów. Równanie rekombinacji  
bierze:  $\frac{dn}{dt} = -\alpha n^2$  więc  $-\frac{z^2 \pi \omega}{2} = \alpha$

Łtąd obliczone  $\alpha$  ma wartość  $15 \cdot 10^{-6}$

Tak przedstawiałoby się najwidoczniej rekombinacja,  
cy, gdyby nie było w gazie drobin neutral-  
nych, lecz same iony. W rzeczywistości, jak  
ma się z drobinami neutralnymi zawiąza-  
nie ione drogę, która od elipsy, hyperboli lub  
paraboli. Ten parant przeciw teorii  
Thomsona podnosi Langmuir, który  
na  $\alpha$  otrzymuje więcej skomplikowany  
wzór.

Różnica między wynikami obu teorii



jest to, że według Thomsona,  $\alpha$  zależy  
 tylko od poręczystości energii kinetycznej,  
 a wcale niezależnie od gęstości, wskutek  
 czego  $\alpha = \frac{\omega r^2 \pi}{2}$  powinno być niezależne  
 od gęstości gazu i powinno maleć z wzrostem  
 ca. temperatury, bo  $\alpha = \frac{\omega r^2 \pi}{2} = \frac{\omega \pi}{2} \cdot \frac{1}{2} =$   
 $\cdot \frac{\omega \pi}{2} \cdot \frac{2}{m \bar{c}^2} = \frac{\omega \pi}{2} \cdot \frac{1}{\alpha_0}$ ; zaś według Lange-  
 vina  $\alpha$  jest proporcjonalnie do gęstości  
 (R) gazu.

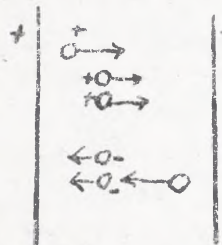
Doświadczalnie rezultaty porówna-  
 no względem się z teorią Thomsona,  
 Langewina jednak otrzymał wyniki,  
 wykazujące, że  $\alpha \sim \rho$  i zdaje się, że  
 teoria Langewina jest prawdziwa.

Wzrost temperatury pola elektrycznego  
przy jonizacji

Wytwórzmy sobie pole elektryczne tak,

aby siła  $K$  działała w kierunku dodatnim  
osi  $x$  t.j. aby ione dodatnie poruszały  
się ku prawej stronie (fig 90). Jeżeli

fig 90:



pole elektryczne jest bardzo  
silne, tak, że przekracza  
granicę nasycenia, wówczas  
iony nie mają czasu pokon-

binować się, lecz wprost przejdą do pły-  
ty. Im bliżej katody, tem mniej ioni  
ujemnych przechodzą przez przekrój  
pola, im bliżej anody, tem gęściej  
ioni ujemnych wiskra; przez przekrój  
ten przy anodzie przechodzą wprost  
iony, które się wytworzą w poprzednich  
warstwach. Iony już wytworzone dają  
ce ku anodzie podlegając się k drobi-  
nami obojętnymi, wytwarzają z nich



corax to noweiony.

Z prawej strony powstaje nadmiar  $\epsilon_0$ ,  
dunka +, a lewej -, a środku paś, gdyby  
się iony dodatnie i ujemne poruszały z jed.  
nakowa prędkością, to ich ładunki równo-  
wagiłyby się. Wzrost takiego rozładunku  
ładunków siła elektryczna między płytami  
nie powinno być równoważona.

Według Laplace'a istnieje związek mi.  
dzy różniczką potencjału i gęstością  
elektryczności przestrzeni:

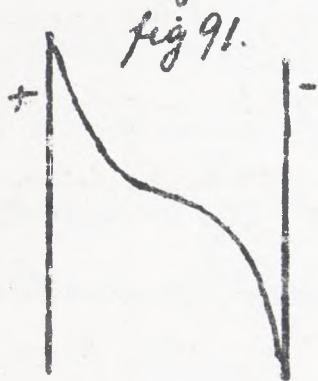
$$\nabla^2 V = \frac{\partial^2 V}{\partial x^2} + \frac{\partial^2 V}{\partial y^2} + \frac{\partial^2 V}{\partial z^2} = -4\pi\epsilon$$

U nas  $V$  zależy tylko od  $x$ , zaś w kierunku  
osi  $y$  i  $z$  jest  $V$  równomiernie rozdzielone,

więc:

$$\frac{\partial^2 V}{\partial x^2} = -4\pi\epsilon$$
$$-\frac{\partial^2 V}{\partial x^2} = 4\pi\epsilon$$
$$4\pi\epsilon = \frac{d^2 V}{dx^2}$$

Z prawej strony pola powstaje ładunek dra.,  
 datui, więc siła  $X$  warasta  $\rho$  rosnącym  $x$ ,  
 z lewej zaś jest ładunek ujemny, więc tam  
 siła draćca przeciwnie, maleje  $\rho$  rosnącym  $x$ .  
 Jeżeli przedstawimy graficznie rozkład  
 potencjału między płytami, otrzymamy  
 krzywą, której nachylenie z lewej strony  
 z rosnącym  $x$  maleje ku srodkowi, zaś  
 z prawej strony przy zbliżeniu się do  
 katody nachylenie to rośnie (fig 91.)



W środku pola  $\xi = 0$ , bo  
 $+ i -$  się równa, więc tam  
 $\frac{d^2V}{dx^2} = 0$ , jesto punkt powr.  
 zięcia. Wewnątrz warwy  
 ma istnieć więcej  
 łagodny spadek potencjału, przy katodzie  
 i anodzie spadek ten jest szybszy. Doświad.



ceenie potvrdilo te teoryticky vmi-  
hi. Prer vnřadani drucika v rōine  
mijce pola micerzi moim protetecyad  
tam pranjacy

Wydumchujac gar kawarty międy  
płytami i odprovadrajac go do rur z v.,  
piłkami vyparat Ěeleui, vı pryzka.,  
todnie gar possada dodatni Ěadumch

Oznaemy iloři ionōv dodatnich  
prer  $n_1$ , ujemnych prer  $n_2$ , to rōznic  
vch  $n_1 - n_2$  pomnořona prer Ěadumch  
jednego ionu daje gęstōi prerestřevnia

$$\rho = (n_1 - n_2) \epsilon$$

Ětvierdrenia Laplace'a otrymujemy:

$$\frac{dX}{dx} = 4\pi \rho = 4\pi \epsilon (n_1 - n_2) \quad (1)$$

Mielimy dalej opreřilone natřevnie  
pradu:  $i = n(v_p + v_n) \epsilon X$

Równanie to przy odwołaniu się do dodat.  
i ujemnych ma kształt:

$$i = (n_1 v_p + n_2 v_n) \epsilon X \quad (2)$$

Bierzemy tu  $+v_n n_2$ , bo  $v$  są to bezwzględne  
wartości prędkości niezależnie od kierunku,  
bo natężenie prądu mierzy się me-  
kalnie od kierunku.

Prąd ten weznatem całego naczynia  
jest jednorodny, t.j. ile jonów przejdzie  
przez jeden przekrój, tyle musi przejść  
przez następny, więc:  $\frac{di}{dx} = 0$

Miślimy dalej w stanie równowagi:

$$q = \alpha n^2 + \frac{ip}{\epsilon l}$$

u nas w jedynym elem<sup>3</sup> jest  $q$  jonów w se-  
kundzie, wytworzonych przez siłę dra-  
żącą, prócz tego wchodzi tam z jed-  
nej strony i wychodzi z drugiej ionic



przechodzący z dalnych warstw, więc:

$$q + n_1 v_p X - n_1' v_p X' - \alpha n_1 n_2 = 0$$

$X n_1$ , określają siłę i ilość jonów dodatnich z jednej strony kołtra.  $\text{len}^3$ , zaś  $X n_1'$  siłę i ilość jonów z drugiej strony:

$n_1 v_p X - n_1' v_p X'$  określa ilość jonów przechodzących przez  $\text{len}^3$  w sekundzie.

$\alpha n_1 n_2$  = kombinacja jonów dodatnich z ujemnymi.

$$n_1 v_p X - n_1' v_p X' = - \frac{\partial (n_2 X v_p)}{\partial x} \text{ według Taylora.}$$

Otrzymujemy więc równanie dla dodatnich jonów:

$$q - \alpha n_1 n_2 = \frac{\partial}{\partial x} (n_1 X v_p) \quad (3)$$

podobnie dla jonów ujemnych:

po prawej stronie znak jest  $-$ , bo jony te wędrują w kierunku przeciwnym, niż dodatnie:  $q - \alpha n_1 n_2 = - \frac{\partial}{\partial x} (n_2 X v_n)$ . (4)

Z równań 3) i 4) mamy:

$$\left. \begin{aligned} q - \alpha n_1 n_2 &= \frac{\partial}{\partial x} (n_1 X) \\ q - \alpha n_1 n_2 &= \frac{\partial}{\partial x} (n_2 X) \end{aligned} \right\} +$$

$$\frac{\partial}{\partial x} (n_1 v_p X) = v_p \frac{\partial}{\partial x} (n_1 X) \text{ bo } v_p = \text{const.}$$

$$\text{podobnie } \frac{\partial}{\partial x} (n_2 v_n X) = v_n \frac{\partial}{\partial x} (n_2 X)$$

$$[q - \alpha n_1 n_2] \left[ \frac{1}{v_p} + \frac{1}{v_n} \right] = \frac{\partial}{\partial x} (n_1 X - n_2 X)$$

$$[q - \alpha n_1 n_2] \left[ \frac{1}{v_p} + \frac{1}{v_n} \right] = \frac{\partial}{\partial x} [(n_1 - n_2) X] = \frac{\partial}{\partial x} \left[ X \left( \frac{\partial X}{\partial x} \cdot \frac{1}{4\pi\epsilon} \right) \right]$$

$$\text{bo } (n_1 - n_2) = \frac{1}{4\pi\epsilon} \frac{dX}{dx}$$

$$[q - \alpha n_1 n_2] \left[ \frac{1}{v_p} + \frac{1}{v_n} \right] = \frac{1}{4\pi\epsilon} \frac{d}{dx} \left( X \frac{dX}{dx} \right) = \frac{1}{4\pi\epsilon} \frac{d}{dx} \left[ \frac{1}{2} \frac{d(X)^2}{dx} \right]$$

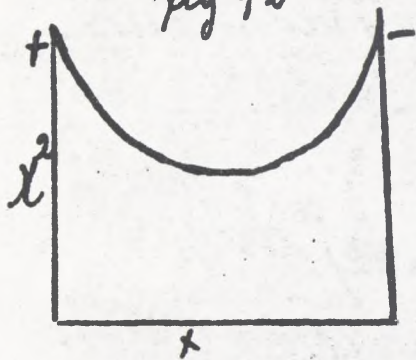
$$\underline{[q - \alpha n_1 n_2] \left[ \frac{1}{v_p} + \frac{1}{v_n} \right] = \frac{1}{8\pi\epsilon} \cdot \frac{d^2(X)^2}{dx^2} \dots (5)}$$

Równanie to określa rozkład siły elektrycznej. Jest to równanie jest bardzo słabe w porównaniu z prawem, więc  $\alpha n_1 n_2 \ll q$ , to  $q - \alpha n_1 n_2 \approx q$ , natomiast dodatkowo, czyli  $\frac{d^2(X)^2}{dx^2} \gg q$ , krzywa  $x^2 = f(x)$



jest wyznacza na osi  $x$ . (fig 92). Figura

fig 92



ta przedstawi te same  
właściwości pola, co poprzed.  
nia figura dla krzywej  
 $V = f(x)$ .

Tam przy katodzie i anodzie  
był najwiskory spręż.

potencjału, tu odpowiada temu najwiskna  
siła elektryczna bez względu  $[x^2]$ .

W środku pola siła ta jest najmniejsza.

Wziemy teraz przypadek sprężalnego

rozrzedzenia. Przyjmijmy, że gaz jest

rozrzedzony i że przez promienie Rönt-

gena, lecz przez promieni.

przyleciały iony dodatnie i ujemne,

jednak iony dodatnie o wielkości  
drobinowej posiadają tu przyspieszenie

znikająco małą u obec olbrzymiej prędkości  
ionów ujemnych, które, jak to mamy  
powód przypuszczać, są promieniami  
katodowymi.

Mamy też:  $v_p \neq 0$

(a)  $i \neq \epsilon n_2 v_n X$  według (2)

(b)  $q \neq \alpha n_1 n_2$  według (3)

w równaniu (4) zmienia się  $q: \alpha n_1 n_2$ ,  
bo to równanie dotyczy nam błędna  
wartości na  $v_n$

a (a) mamy:  $n_2 = \frac{i}{\epsilon v_n X}$

$$q = \alpha n_1 n_2 = \alpha n_1 \frac{i}{\epsilon v_n X}$$

$$n_1 = \frac{q \epsilon v_n X}{\alpha i}$$

Podstawiając za  $n_1$   $n_2$  wartości w równaniu

$$\frac{dX}{dx} = 4\pi\epsilon (n_1 - n_2) \quad (1)$$

mamy:  $\frac{dX}{dx} = 4\pi\epsilon \left[ q \frac{\epsilon v_n X}{\alpha i} - \frac{i}{\epsilon X v_n} \right]$



$$X \frac{dX}{dx} = 4\pi\epsilon \left[ \frac{q\epsilon v_n}{\alpha i} X^2 - \frac{i}{\epsilon v_n} \right]$$

$$\frac{1}{2} \frac{d(X^2)}{dx} = 4\pi\epsilon \frac{q\epsilon v_n}{\alpha i} X^2 - \frac{4\pi\epsilon i}{\epsilon v_n}$$

$$\frac{d(X^2)}{dx} = \frac{8\pi\epsilon q\epsilon v_n}{\alpha i} X^2 - \frac{8\pi\epsilon i}{\epsilon v_n}$$

$$\frac{8\pi\epsilon q\epsilon v_n}{\alpha i} = a, \quad -\frac{8\pi\epsilon i}{\epsilon v_n} = b$$

$$\frac{d(X^2)}{dx} = aX^2 + b, \quad \frac{d(X^2)}{aX^2 + b} = dx$$

$$\frac{1}{a} \lg(aX^2 + b) = x + C \quad X^2 = C e^{ax} - \frac{b}{a}$$

$$X^2 = \frac{\alpha i^2}{q\epsilon^2 v_n^2} + C e^{\frac{8\pi q\epsilon v_n x}{\alpha i}}$$

podobny  $C = C' e^{-\frac{8\pi q\epsilon v_n l}{\alpha i}}$ , gdzie  $l$  - długość

uakrymna

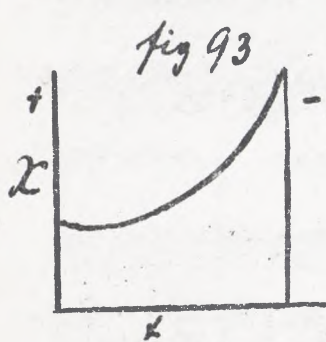
$$X^2 = \frac{\alpha i^2}{q\epsilon^2 v_n^2} + C' e^{-\frac{8\pi q\epsilon v_n [l-x]}{\alpha i}}$$

dla  $x=l$ , wez przy katodzie:

$$X^2 = \frac{\alpha i^2}{q\epsilon^2 v_n^2}$$

jeżeli wykładnik przy  $e$  jest bardzo

mały, to drugi czynnik  $Ce^{-\frac{S_1 q E_0 n}{d^2} (l-x)}$  wchodzi  
 w rachubę, i  $x^2$  wzrasta znacznie od  $x$ .



Stwierdzić musi i tu spadek prądu  
 katodnie podobnie jak np.  
 przednio mieliśmy prąd  
 rozkładzie potencjału. Ten  
 spadek (fig 93) prądu elektrodach

(Kathodenfall und Anodenfall.) odgrywa  
 ważną rolę przy zjawisku samoodruel-  
 nego porobrojenia w gazach. Jeżeli prąd  
 jest słaby w stosunku do prądu na-  
 syceńca, to wpływ gęstości elektrycz-  
 ności i siły elektrycznej jest mały i w.  
 nie ma, gdy prąd jest silny, wpływ  
 ten jest wielki.

Dalsze komplikacje zjawiska i o-  
 wiracyi wywołują często wstrząsy



nierównomiernego działania ionizatora.  
Jeżeli promienie Röntgena działają, to o.  
nie prawie zupełnie nie są absorbowane,  
nie, wskutek czego działają we wszystkich  
kierunkach warstwach gazu równie silnie,  
podobnie promieni  $\beta$ . Promienie  $\alpha$   
są silnymi ionizatorami działają jed.  
nak na cieńsze warstwy gazu z powo.  
du wielkiej absorbcyi, wskutek tego  
występuje nierównomierność wielkości.

Przewodzenie samodzielnego (bez obec.  
ności ionizatora)

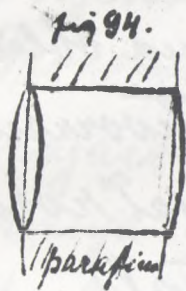
Od najdawniejszych czasów badano  
zjawisko samodzielnego przewodzenia  
elektryczności w gazach, nagrzewa.  
drych materiałach doświadczalnym miały

jednak małą wartością. W nowszych doświadczeniach, no pracach rozpręsto dokładne badania nad kalendarziami zjawiska przewodzenia od powierzchni elektrod, nad warunkami doświadczenia i t. d., mianowicie np. przy przeskrocie pierwej iskry powierzchni roztaje oksydowana, tak, iż następane rozbrojenie jest już więcej skomplikowane.

Stajemy się przy tym zwrócić uwagę na to, że siła  $K$  jest jednostajna, więc jeżeli będziemy do rymienia z kondensatorem. Wtedy jednak iskra występuje przy brzości kondensatora, bo tam jest największa krzywizna powierzchni i napięcie tam jest największe, wtedy też długość bicia iskry kalery



od tej krzywizny. Trudności tę ponownie  
 w ten sposób, że wycięto środkową część  
 kondensatora a boczną część napęd.  
 miono parafiną (fig 94.), a ten sposób



otrzymano równomierne pole  
 elektryczne. -

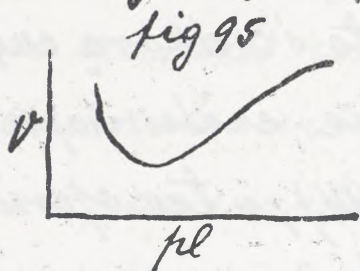
Pierwsza seria prawidłowości  
 w obrębie tych zjawisk o.

1) kresła prawo Paschena. Dawniej wie,  
 otriano, że potencyał, potrzebny do  
 wytworzenia iskry zależy od odle,  
 głowie elektrod i prędkości gazu:

$$V = f(l, p)$$

Paschen wykazał, że tę zależność  
 podwójną potencyału od  $l$  i  $p$  można  
 zredukować do zależności pojedyncz,  
 crej od iloczynu  $p \cdot l$ , więc otrzy.

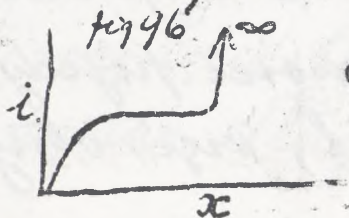
mujemy pojedynczą krzywą  $V=f(pl)$ .



żeżeli się wyznacznie do-  
siadać minimalnie wartości  
funkcji  $V=f(pl)$ , to z jej  
krytyczną można obliczyć

potencjał, potrzebny do wytworzenia  
iskry tak zwany potencjał rozbro-  
jenia (Entladungspotential)

Ważny pod uwagę funkcję  $f(x)$   
(fig 96) że wzrostem  $x$  wzrasta rów-  
nież wartość „ $i$ ” początkowo powo-  
li, potem ma wartość stałą, osiąga  
wice punkt nasycenia, przy dal-  
szym wzroście  $x$  wzrasta znów bo-  
dziej szybko prawie  $\infty$  t.z. następuje  
je zjawisko iskry. -



Takie rozbrojenie wystę-



fuje, jak wykarai Stoletow pod  
wplywem sriatla porafiolkowego.

Tomson od tlumawy zjawisko roz-  
brzenia u nastepujacy sposob:  
Promienie katodowe tj. elektrony poru-  
szajace si z ogromna szybkością co-  
nizya gaz t.e. rozbijaja neutralne  
drobiny przez odjecie im elektro-  
nu ujemnego. Wice czastka wy-  
ruczona z wielka predkoscia jest  
wstanie zionizowac gaz. Wytomia  
sz kwestya, czy dzieje sz to drizki  
wielkiej predkosci, czy tez drizki  
czastnkowi. Tomson od przyja, ze  
powodem zionizacji jest wielka  
predkosc, u grubszych warstrach  
gazu traca swa predkosc wsku.

ten tarcia, jakiego dostają, tak, że mimo, że ciągle posiadają ładunek, nie ionizują więcej gazu.

Wszystkie jakikolwiek jony o wielkiej prędkości mogą wytworzyć nowe jony. Ujemne jony mają mniejszą masę i większe prędkości, zwłaszcza, jeżeli są samymi elektronami, dlatego też działanie jonizacyjne ich jest silniejsze, niż dodatnich. -

Wganie można otrzymać same tylko jony ujemne przy pomocy promieni porafiołkowych. (Zjawisko odkryte przez Hallwachs'a i Hertza) Jeżeli promieniami porafiołkowymi nasświetlimy płytę metalową ujemnie naładowaną



wówekas od pilyty odbiegaja czastki  
 $\beta$  (promienie katodowe), wskutek czego  
gaz staje się przewodzący. Jeżeli  
promienie porafioletkowe rzucaamy  
na pilytę dodatnią, wówekas czastki  
 $\beta$  (ujemne) nie mogą się oderwać  
od dodatniej elektrody i prad nie  
przepływa przez gaz.

Jest to więc zjawisko unipolarne,  
bo istnieje różnica przewodzenia  
elektryczności w jednym i drugim  
kierunku.

### Działanie jonów ujemnych

Pod wpływem promieni porafioletko-  
wych wytwarzają się więc w gazie  
iony ujemne tylko. Jony te po-  
ruszają się z prędkością  $v$ , więc

między dwoma rzeźwieniami wrażeń „  
 nemi przepływa czas:  $t = \frac{h}{u}$ ,  $h = \tilde{u} t$   
 Jeżeli przytem działają siły elektryczne  
 $X$ , toiony nabędą pewnej składowej  
 prędkości w kierunku  $x$ .

Ruch ich będzie przyspieszony i  
 prędkość końcowa tego ruchu wyno-  
 si:  $v_x = \tilde{t} \frac{X e}{m}$ ,  $v_x = \frac{X e h}{m a}$

Jeżeli  $\lambda$  jest dostatecznie du-  
 że, to i prędkość ionów  $v_x$  jest du-  
 ża. Tę, że one mogą zionizować  
 gaz, podobnie jeżeli  $\lambda$  jest wielkie,  
 t.j. jeżeli gaz jest bardzo roz-  
 rzedzony.

Każdy ion spotyka się z innymi  
 mi ionami  $n$  sekundnie  $\frac{1}{t}$  ra-  
 zy, a ponieważ ich jest  $n$ , więc



liczba spotkań w sekundzie wynosi:

$$n \cdot \frac{1}{t} = n \frac{u}{h}$$

Między temi spotkaniami mi wystąpią, które mają ten efekt, że ionizują gaz, lecz tylko pewien ich ładunek „ $\alpha$ ”, który zależy od prędkości ionów przy danym  $t$ .

Więc:  $\frac{\alpha n u}{h}$  oznacza liczbę spotkań, wytwarzających noweiony, czyli ilość nowych ionów.

$$\alpha = f(v_x) = f(\lambda h) \text{ bo:}$$

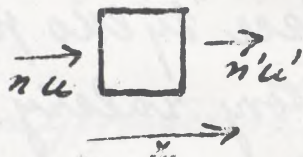
$$v_x = \frac{\lambda \epsilon h}{m u} \text{ gdzie „}\epsilon\text{” i „}m\text{” są dane,}$$

zas:  $u f(0)$

Wziemy ten gaz; po lewej jego stronie niech będzie ionów  $n$ , o prędkości  $u$ ; po prawej  $n'$  o prędkości  $u'$ . Jeżeli wewnątrz tego, zostają nowe

iony wytwarzane, to nadmiar ionów wychodzących z tego prądu wychodzącego będzie równy ilości ionów wytworzonych wewnątrz.

$$n'u' - nu = \frac{\alpha nu}{\lambda}$$

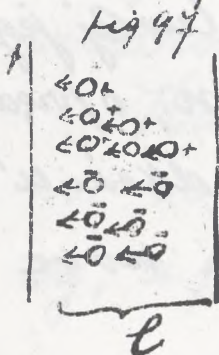


$$n'u' - nu = - \frac{\partial(nu)}{\partial x}$$

$$\frac{d(nu)}{nu} = - \frac{\alpha}{\lambda} dx$$

$$nu = C e^{-\frac{\alpha x}{\lambda}} = C e^{-\beta x}, \quad \beta = \frac{\alpha}{\lambda}$$

(Jeżeli napuszczamy promień pora. siólkowe na katodę, to od niej odrywa się iony ujemne i dają ku anodzie (fig 97) ionizując po drodze gaz, wznosząc całego liczba ionów (n) wzrasta ku ka.



Toolbie, dlatego

$$n'u' - nu = - \frac{\partial nu}{\partial x}$$



Dla  $x=l$  ilość jonów jest ta sama, co  
 początkowo bez wplywu  $\lambda$  decydująca o  
 jonów (Joucestors), więc  $n_0$

Prąd przewodzący przez katodę  
 $d_s: i_0 = n_0 e v$  normalny prąd nasy-  
 cenia. Dla  $x=l$  mamy więc:

$$n_0 v = C e^{-\beta l}$$

$$n_0 v e = C e^{-\beta l} e = i_0$$

$$C = \frac{i_0 e^{\beta l}}{e}$$

$$n_0 v = \frac{i_0 e^{\beta l}}{e} e^{-\beta x}$$

$$n_0 v e = i_0 e^{\beta(l-x)}$$

Dla  $x=0$ , ilość jonów jest największa  
 i prąd przewodzenia w tym wy-  
 padku wynosi:

$$i = i_0 e^{\beta l}$$

Wniosek powyższy wyprowadził  
 Jousted pod nazwą, że prąd

powstaje wskutek naswietlenia katody promieniami porafiolkowymi i tylko rony ujemne dzialaja jako ionizatory w gazie.

Ktoś ten wyprowadzil doświadczenie Stoletowa, który obliczył stad Barvix i  $\alpha = \beta h$ , określił więc zjawisko to Lierbora.

Pokazato się, że ion ujemny ionizuje gaz, jeżeli na jego drodze swobo, du, przyroda spad potencyala rowny 30 Voltom, więc jeżeli  $K = \frac{30 \text{ Voltov}}{h \text{ cm}}$  przyli:  $K h = 30 \text{ Voltov}$ .

Podstawiajac to we wzorze:  $v_x = \frac{K e h}{m u}$  mamy na  $v_x = 3 \cdot 10^8 \text{ cm/sec}$ , jako predkosc ujemnego ionu, potrzebuja do



wytworzenia nowych jonów

Przy samodzielnym porbrojeniu występują najpierw jony ujemne jako ionizatory drobni gazu.

Wpływ jonów tych określony jest równaniem:  $\frac{d(nu)}{dx} = \alpha \frac{nu}{h}$

Jeżeli siła elektryczna  $\frac{V}{l} = X$  jest dostatecznie duża, wówczas jony dodatnie o wielkiej masie poruszają się wolniej. Określony ich ilości  $\alpha$  i  $\beta$  przez  $n'$ , przodkowi  $v$  to jonizacja gazu przy określonej różnicy.

$$\frac{d(nu)}{dx} = \frac{\alpha nu}{h} + \frac{\beta n'^2}{h}$$

określony:  $\frac{\alpha}{h} = a$      $\frac{\beta}{h} = b$

$$\frac{d(nu)}{dx} = a nu + b n' v$$

Prąd utworzony przez napięcie iowu  
obu podrajoń wynosi:

$$I: \varepsilon(nu + n'v)$$

$$\text{stad: } n'v = \frac{I}{\varepsilon} - nu$$

$$\frac{d(nu)}{dx} = (a-b)nu + \frac{bI}{\varepsilon}$$

$$\int \frac{d(nu)}{(a-b)nu + \frac{bI}{\varepsilon}} = \int dx$$

$$\frac{1}{a-b} \lg \left[ (a-b)nu + \frac{bI}{\varepsilon} \right] = x + C_1$$

$$(a-b)nu + \frac{bI}{\varepsilon} = C' e^{x(a-b)}$$

$$nu = \frac{C' e^{x(a-b)}}{a-b} - \frac{bI}{\varepsilon} \cdot \frac{1}{a-b}$$

$$nu = \frac{C' e^{(a-b)x}}{a-b} + \frac{bI}{\varepsilon(b-a)}$$

$$nu\varepsilon = I = \frac{C' e^{(a-b)x}}{a-b} + \frac{bI}{b-a}$$

$$\text{gdzie: } C = C'\varepsilon$$

Przy katodzie pod wpływem promie-  
ni porafioletkowych roztają wytworzo.

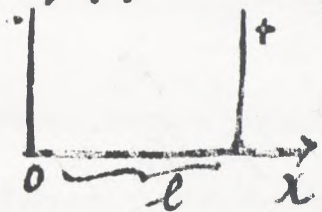


ne tylko rony ujemne, dodatnie też występują dopiero w chwili zerowania torów ujemnych z obojętnymi drobnicami.

Wzj pierwszy katodnic, dla  $x = b$  (fig 98)

mamy:

fig 98 I)  $J_0 = \frac{c}{a-b} + \frac{bJ}{b-a}$



dla  $x = l$

II)  $J = \frac{c e^{(a-b)l}}{a-b} + \frac{bJ}{b-a}$

z I)  $J_0 e^{(a-b)l} = \frac{c e^{(a-b)l}}{a-b} + \frac{bJ}{b-a} e^{(a-b)l}$

$$J_0 e^{(a-b)l} = J \cdot \frac{bJ}{b-a} + \frac{bJ}{b-a} e^{(a-b)l} =$$

$$= J \left[ 1 - \frac{b}{b-a} + \frac{b}{b-a} e^{(a-b)l} \right]$$

$$J = J_0 \frac{e^{(a-b)l} (b-a)}{b e^{(a-b)l} - a}$$

jeżeli  $b \cdot e^{(a-b)l} = a$ , wówczas  $J = J_0$

występuje zjawisko ischry. To postawimy  
do wyprośadzenia prawa Pascheua:

$$b e^{(a-b)l} = a$$

$$a - b l = \lg \frac{a}{b}$$

$$l = \frac{\lg a - \lg b}{a - b}$$

$$a = \frac{\alpha}{h} = \frac{f(xh)}{h}, \quad b = \frac{\beta}{h} = \frac{f_2(xh)}{h}$$

$$l = \frac{\lg \frac{f(xh)}{f_2(xh)}}{f(xh) - f_2(xh)} \cdot h$$

$$\frac{l}{h} = \frac{\lg \frac{f(xh)}{f_2(xh)}}{f(xh) - f_2(xh)} = F(xh)$$

$$h \sim \frac{1}{p} \quad x = \frac{v}{l}$$

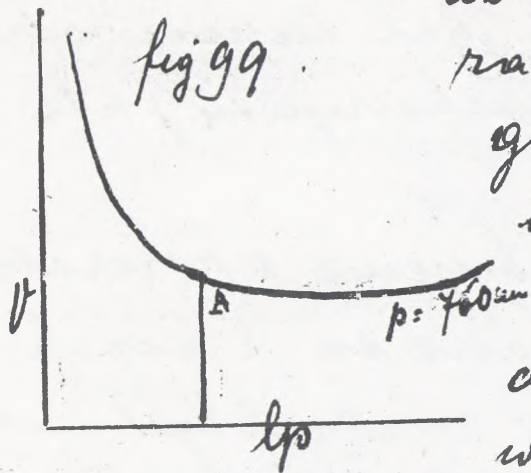
$$lp = F\left(\frac{v}{lp}\right) \text{ str. 20}$$

$v = \Psi(lp)$  Prawo Pascheua.

To prawo przedstawia krzywa  
na fig 99. Jeżeli racynuamy od  
normalnego ciśnienia  $p = p_0$  mm.



i gaz korredranu, wówczas  $V$  maleje  
 az do pewnej granicy, kt6.



na paleniy od podrazu  
 gazu i elektrod urzy-  
 tych. Przy powrzedz-  
 aniu bowiem rownie  
 droga swobodna  $k$ ,  
 wzrastem czego, pomi-  
 war ruch jest jednostajnie przyspuc.

Strony,iony nabywaja coraz wiekszej  
 predkosc, wiec sila  $K = \frac{1}{2} m v^2$  niepo-  
 trebnymi byc tak wielka, jak przy  
 rozpraszaniu gazu. Przy dalszym  
 korredraciu jednak poezawazy  
 od punktu A,  $V$  wzrasta coraz  
 bardziej, az dla  $p = 0$ ,  $V = \infty$ .

Przy korredraciu bowiem maleje

ilości drobin, a przy  $p = 0$  niema dro-  
bin wcale, więc niema też wytrza-  
nych jonów, czyli gaz nieprzewodni  
elektryczności, zachowuje się jak  
idealny izolator.

Zjawiska rozbojenia w rozrzedzo-  
nych gazach zwane są z pruch  
Geislera. Jony w rurkach tych roz-  
rzedzony gaz do 1 mm ciśnienia,  
wobec zjawiska rozbojenia w rur-  
ce ma następujący przebieg: Przy  
powierzchni anody jasne pasmo  
światła  $1^a$ , następnie w środku rur-  
ki tak zwane Glimmlicht, oddziel-  
one od światła z anody wybojka,  
czego pienna przestrzeń, zwana  
często Faradaycher dunkler Raum  
(F.d.R.)

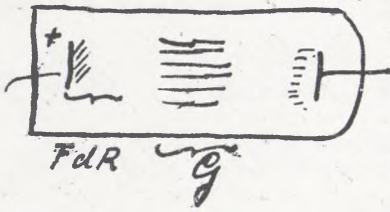


Podrugiej stronie od katody rozeizga  
se, niżej Glimmlicht a siviattem  
kathodowym negatives Licht, drugo  
ciemna prestraci, dunkler Katho.,  
deurain (DKK). Wytworzone przez  
rörnicę potencyalas iony ujemne  
podrazaj se w mrozu, gdzie jest  
Glimmlicht z obojetnem drobniaki  
i wytwarzaja iony dodatnie i ujem,  
ne. Ujemne idzie do anody, dodat,  
nie do katody. Siła przy katodzie  
jest wielka, ze iony dodatnie u,  
derzaja o katodę, wytwarzaja no,  
we iony ujemne. Dunkler Ka.,  
thoden i Faraday scherrain: od,  
proviadaja drogou swobodnym io,  
noi (fig 100) ferel, badamy silę

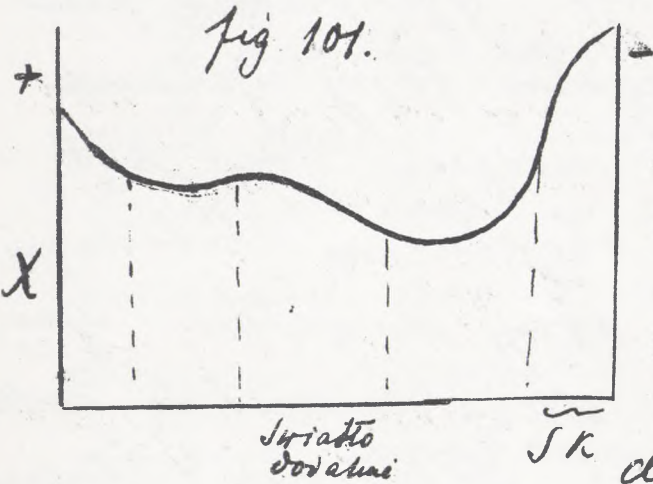
elektryczna

GA fig 100

SK



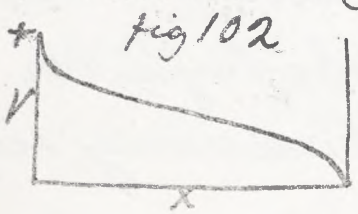
wewnątrz rurki, to przebieg  
Przebieg  $X = f(x)$  w kolektorze  
rurki jest jak widać.  
Je fig 101. Spad katod.



dowody jest dla do.  
wego gazu i elekt.  
rod prawie miera.  
lewy od cienia  
gazu, podobnie przy  
anodzie. Wskazanie

dodatnia siła X

kalery od rodzaju i porównań przy.  
Podobnie jak siła X tak i potenc.  
cyat V posiada spadek przy anodzie  
i katodzie (fig 102) jeżeli prze..



drzewiny katody  
to często wpadające



na katodę wyjdą otworami, tworząc promieniowanie kanałowe.

Promieni te są to dodatnieiony i mają również odpowiednią do ionizacji prędkości, wywołują bowiem świecenie gazu, które jest różnie od światła dodatniego wewnątrz rurki, wystające go przeziony różnie. -

Napięcie katodowe zależy od rodzaju gazu i materiału katody, jak to wykazują cyfry poniżej umieszczone.

Gdy katoda jest zrobiona z

Sto gazu	Pt.	Mg	K.
H <sub>2</sub>	300 Volt	186 V.	172 Volt
N <sub>2</sub>	232 "	207 "	140 "
Helium	160 "	125	69 "

napięcie

Geisler: przbliżamy anodę ku katodzie,  
wówczas zjawisko runie si, boiony  
ryenne zmieniają dostatecznej do  
ionizacji gazu wolnej drogi.

To zjawisko, występujące w rurkach  
Geislera, można badać także przy  
normalnem ciśnieniu powietrza, oczy-  
wiście przy bardzo małej odległości  
elektrod. Shaw badał odległości bi-  
cia iskry wka odstepów przed at-  
mosferą i w świetnych i na tej podsta-  
wie skonstruował metodę do nie-  
wzienia długości przed porównaniem dro-  
żynowych.

### Przewodzenie elektryczności w metalach

Początkowo uwarunkowano przewo-  
dzenie w metalach na wykł. i precz.



W tym czasie przewodzenie w elektrolitach rozumiany lepiej, uszeregowano je na rękę konwekcyjnej elektryczności w metalach wioma ani śladu takiego wewnętrznej konwekcyjnego ruchu. W r. 1860 ogłosił W. Weber teoryę, według której w metalach poruszają się cząsteczki elektryczności - teorya ta jednak wkrótce z powodu sprzeczności z teoryą fal elektrycznych upadła. W latach 1892-1900 ogłosili Thomson, Lorentz, Riecke i Drude trzy nieco odmienne teorye przewodzenia konwekcyjnego elektryczności w metalach. Według Thomsona jedynieiony ruchome (elektrony) poruszają się między atomami metalu i wielka

prędkością, przewoźną elektryczności.  
Riecke sądził, że w przewodzeniu bio-  
logicznym udział ma nie tylko ilość podrażnień e-  
lektrycznych. Jakościowo przewodzenie  
też zależy do analogicznych warunków,  
rozciągających się tylko współczynnikiem,  
mianowicie. Najprawdopodobniej jest wy-  
kładem z teorii Thomsona, bo iony  
ciężkie mające wielką masę są  
w kardiach i w ciążach stalych  
bardzo powolne, więc ich prędkość  
Teoria Thomsona.

Pod względem wyrównania  
energii kinetycznej zachowują się  
iony równo jak drobiny; niewątpliwie  
niekiedy przyjął, że iony te są to drobiny



mniejsze od otaczających je drobin me-  
tali, więc energia przemieszania kinetyczna  
ich jest taka, jaka wynika z teorii  
kinetycznej gazu:

$$\frac{m \bar{c}^2}{2} = \alpha T$$

$$\frac{2}{3} \cdot 3RT$$

$$\frac{m}{2} = \frac{2\alpha T}{3RT} = \frac{1}{3} \cdot \frac{\alpha}{R}$$

$$\alpha = \frac{3Rm}{2} = \frac{3}{2} \cdot \frac{1}{\rho} m = \frac{3}{2} \frac{\rho}{\rho} \cdot \frac{\rho}{n}$$

$$= \frac{3}{2} \frac{\rho}{n}$$

$$\rho = 10^6, n = 4 \cdot 10^{19} \quad T = 273$$

$$\alpha = \frac{3}{2} \cdot 10^{-16}$$

Stała wyrażająca stosunek energii  
kinetycznej do temperatury wynosi  
więc  $\frac{3}{2} 10^{-16}$

Obliczone stała  $\tau$  ma wartość 50%.

Elektrony dostają rdzenia i oba.

jętuceni drobinami, rakeshaja wize  
drogę swobodna:

$\lambda = c\tau$  ;  $\tau = \frac{1}{\omega}$  w stanie normal.  
wym., jeżeli mamy pola elektrycznego.  
W razie istnienia pola drgata na e.  
elektrony o ładunku e siła:

$$X_e = m \frac{d^2x}{dt^2} = C \cos t$$

Stąd predkość Ruzicowa jest prożora

$$\frac{dx}{dt} : v_x = \frac{1}{2} \frac{dx}{dt} = \frac{e X}{2m} \tau$$

$$v_x = \frac{e X}{2m c} h.$$

Stożi ładunku przeniemiesionego przez  
"n" elektronów w sekundzie wynosi  
na  $1 \text{ cm}^2$ :

$$i = n e v_x$$

$$i = n e \frac{X e h}{2m c} = \frac{n e^2}{2m c} X h$$

Prąd ten stożuje się wize do prądu



Ohma, bo prucieczajac:  $\frac{ne^2 h}{2mc} = \frac{1}{\sigma}$  odwrot.

nowi oporu, mamy:

$$i = \frac{x}{\sigma}$$

Znajac  $h$   $e$   $m$   $c$  musimy  $\frac{1}{\sigma}$  obliczyi.  
Elektrony poruszaja si w metalach,  
przenosza prędo energii kinetyczna  
a wiec i ciepło ruwiejaca o wyzyskuje  
niejme o wzroszej temperaturze. -  
Stosujac tu wzór dla przewodnictwa  
cieplnego, mamy:

$$K = C_v \mu = C_v \frac{ch^2}{3}$$

Elektrony przedstawiaja drobiny  
jednoatomowe, wiec:

$$C_v = \frac{3}{2} R$$

$$K = \frac{ch^2 R}{2}$$

$$\text{Z tad: } \frac{K}{\frac{1}{\sigma}} = \frac{ch^2 R}{2} \frac{2mc}{ne^2 h} = \frac{nm c R mc}{ne^2 h} =$$

$$= \frac{m^2 \bar{c}^2 R}{h e^2} = \frac{2 m R \alpha T}{e^2}$$

$$\frac{\kappa}{\frac{1}{T}} = \frac{2 m \alpha T R}{e^2}$$

Jest to prawo Wiedemann-Fraunhofer, według którego  $\kappa T$  powinno być stałe niezależnie dla rodzaju metali; mianowicie  $\kappa T = 0.756 \cdot 10^{-10}$

Dla  $T = 18^\circ \text{C}$  wyznaczają doświadczalnie dla  $\frac{\kappa}{\frac{1}{T}}$  następujące wartości dla metali:

$$\text{Al} - 0.706 \cdot 10^{-10}$$

$$\text{Cu} - 0.738 \cdot 10^{-10}$$

$$\text{Ag} - 0.760 \cdot 10^{-10}$$

$$\text{Au} - 0.804 \cdot 10^{-10}$$

$$\text{Pt} - 1.068 \cdot 10^{-10}$$

$$\text{Fe} - 0.890 \cdot 10^{-10}$$



Z teorii wynika, że:

$$\left(\frac{\kappa}{\sigma}\right)_{T=100^{\circ}} \cdot \left(\frac{\kappa}{\sigma}\right)_{T=18^{\circ}} = 1.28$$

Doświadczenie zaś dla ciąd powyżej wyliczo-  
nych wskazuje, że ten stosunek wynosi:  
1.32, 1.30, 1.28, 1.27.....

Niewątpliwie jest tu przybliżenie  
współczynnika  $\kappa = \frac{Cv a k z e}{3}$  z teorii  
garni. Ten wrót wypracowaliśmy  
bowiem pod kątem, że drobny  
garni mają długie drogi i są warte  
w porównaniu do tych dróg, tu zaś  
mały stomy prawie pierzechnie a  
między nimi poruszają się elektrony.

Dla obliczenia drogi swobodnej  
elektronów  $h$  i ich ilości  $n$  i  $\tau_{m, n}$   
powołuje się Thomson na aparisko

1) powiększenia oporu „ $R$ ” przewodnika  
ka w polu magnetycznym i 2) zjawisko  
Halla.

1) jeżeli mianowicie bismut, przez  
który przepływa prąd elektryczny  
w przewodniku między bieguny od-  
nego magnesu, to opór bismutu  
wzrasta proporcjonalnie do kwadra-  
tu natężenia pola magnetycznego (11)

$$\frac{\Delta R}{R} \sim H^2$$

To zjawisko badał Leonard i podał  
mu tej podstawie sposób mierzenia  
siły  $H$  przy pomocy tak zwanego  
Bismutspiralen tj. drucika sprężo-  
wego spiraliście (Fig 103)

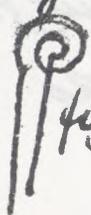


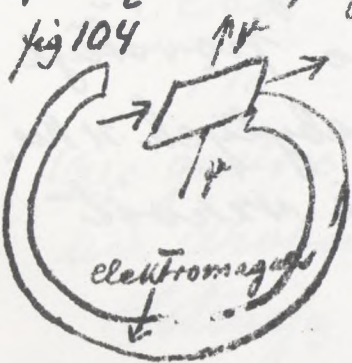
Fig 103.

Drucik ten wprowadzamy  
w miejsce badane pola



magnetycznego i mierząc przy pomocy  
 mostka Wheatstona (z p.) wzrost opo-  
 ru możemy stąd obliczyć  $H$ .

2.) Efekt Halla polega na tem, że jeżeli  
 li płytę metalową przez którą prze-  
 płyna prąd umiessimy w silnem  
 polu magnetycznem, wówczas powsta-  
 je różnica potencjałów w kierunku  
 prostopadłym do siły magnetycz-  
 nej i do kierunku przewodniego  
 prądu (fig 104), czyli linie pra-  
 du postają odchyłone



i to tem silniej im-  
 cićsza blaszka.

Thomson tłumaczy  
 oba te zjawiska na

podstawie teoryi elektronów. Zersch.

prąd polega na ruchu elektronów  
 (w kierunku przeciwnym do kierunku  
 prądu, bo to są ujemne cząstki)  
 więc w polu magnetycznym musi  
 doznać wychyleń, czyli występuje  
 je nagromadzenie elektronów na  
 jednym miejscu, co wytwarza róż-  
 nice potencjałów i dąży do  
 powstania poprzecznego prądu.  
 Przez tego elektrony w polu  
 magnetycznym nakręwiają swe  
 drogi - wskutek czego powstaje  
 kierunek dróg przebytych w kie-  
 runku prądu, a więc wzrost  
 oporu.

Heating Thomsona:

$$\frac{dH}{H} = \frac{1}{3} H^2 \left( \frac{eh}{2mc} \right)^2$$



Na podstawie tego wzoru obliczył Paterson  $h$  dla różnych metali:

$h$   $h$

Pt  $6 \cdot 10^{-7} \text{ cm}$

Au  $16 \cdot 10^{-6} \text{ ,,}$

Cad  $4 \cdot 1 \cdot 10^{-6} \text{ ,,}$

Hg  $18 \cdot 10^{-6} \text{ ,,}$

Ze wzoru paó  $\frac{1}{\sigma} = \frac{n e^2 h}{2 m c}$

można obliczyć  $n$

Pt  $1 \cdot 4 \cdot 10^{22}$

Au  $2 \cdot 2 \cdot 10^{22}$

Cad  $2 \cdot 7 \cdot 10^{21}$

Hg  $4 \cdot 3 \cdot 10^{20}$

Węz gęstość elektronów jest większa niż drobin w powietrzu:  $4 \cdot 10^{19} = n$

Istnieją tu również pewne sprzeczności co do kierunku efektu Halla.

Wynikałoby z teorii Thomsou, że odchylenie prądu w blaszce strom. jest się do reguły Flemmunga i ma zawsze ten sam kierunek u wszystkich metali. Tymczasem odchylenie jest raz w jednym kierunku (dodatnie), raz w drugim (ujemne). Po drugie jeżeli się uwzględni prąd prądu krytyczny w rachunku, który Thomson opuścił, otrzymuje całkiem przeciwny rezultat we wzroście na kierunku oporu.

Często wiać iwe metali stać..  
do 1) z energii przypadającej na atomy  
i 2) na elektrycy. Przy przyjęciu  
liczby, z której, jaka wynika

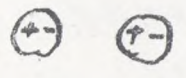


z teorii Thomsona otrzymuje się co na  
elektrony przypadające w srebra większe  
niż całkowite ciepło srebra. Wobec tego  
wyprowadzone liczby „n” są fałszywe.

Dlatego Thomson odstąpił od  
swej teorii i wygłosił inną. —

Według tej nowej teorii w metalach  
są atomy w ciągłej dysocjacji. Są  
to jakies systemy elektryczne skła-  
dające się z elektryczny dipolów,  
t. j. zachowują się tak jakby mia-

ły po dwóch stronach równo  $\pm$  ładunki (fig 105.). Pod wpływem

 siły pola elektrycznego  
porządkują się te dipole. Każdy  
dipol wyruca od czasu do czasu  
się do czasu ze siebie jeden elektron

(fakty takie pochodzą przy ciałach radioaktywnych) Elektron ten odrywa się od strony ryzniejszej, bo tam drżała napięta siła odpychająca i zostaje absorbowany przez otaczające drobiny. W normalnym stanie to odrywanie się elektronów i ich absorpcja przez otoczenie równoważa się.

Jeżeli wytworze się pole elektryczne, wówczas wyrzucony elektron dąży tam biegunowi dodatniemu, czyli wytworzy prąd elektryczny. Na tej podstawie, śledzi Thomson, można wytłumaczyć zjawisko Halla i wzrost oporu, tudzież reakcji + lub - , który tam występuje.



Magnetyzm  
Jest to superie tłumaczył właściwości  
magnetyczne prądu elementarnego  
prądu rotacyjnego. Według teorii elek.  
tronicznej można sobie wyobrazić, że  
elektron cyrkulujący jest równoważny  
z prądem rotacyjnym wycieku ele.  
mentarnego magnetycznego. Matematyka  
tyczna wypracowana przez Voigta  
i Thomsona wykazuje, że przy takiej  
podstawie właściwości magnetycznych  
nie byłoby żadnego zewnętrznego e.  
fektu. Wywody te poprawił następ.  
nie Langevin. Według niego at.  
my składają się z jonów dodat.  
nich i ujemnych, odbywających  
ruch wirowy. Rozróżniamy prąd

dwa póciúe wdraje ukłádów: 1) ukłád atomowy, w którym moment obrotowy, w kierunku elektrycznym = 0, nie ukłád symetryczny i 2)  $\neq 0$  asymetryczny ukłád.

Jeszcze np. dodatkowe dwa ładunki znajdują się na końcu drobin, dwa zaś wjemne są bliżej środka fig 10b, wówczas przeważa ładunek



dodatni. Dodatkowi bożeni

ładunki nakreślają wielkie

koła, w których, wskutek tego, uszuwają drżańca te wrujące

ładunki, jak przed dodatkimi pólkami w kierunku przeciwnym w kierunku

Jeszcze u atomów dodatkowi i wjemne ładunki są skoncentrowane



w jednakowych odległościach od środka (fig. 107), wówczas zakreślają oba rodzaje jednakowe koła, wice wpływają na kierunku ruchu si. Lange.

fig 107



Widzimy doświadczenia do wniosku, że normalnym układem jest ten, w którym moment  $\neq 0$ , i wtedy przy działaniu pola magnetycznego umiarkowany powstaje stały efekt dia. magnetyczny, zaś przy układzie pierwszego rodzaju powstaje efekt paramagnetyczny. Normalna właściwością ciała zgodnym z wnioskiem Langevina oznacza się dia. magnetyzm, podczas gdy ciała paramagnetyczne są tylko wyjątkami. Wnioski dalsze Langevina

dotyčty kalerusici wčasnici magne.  
tyeruych od temperatury. -

Paramagnetizm kalery, ras'diana,  
guetyzm mekalery od temperatury, eo  
potwierdily badawis p. Curie.

Thulis przy pomocy pupetnic innej  
metody potwierdily teoretyczne wnio.  
ki Langevina.

### Potencyad petkinecia

(Kontakt potential)

Równowaga gestosci i energii elek.  
trycznej elektronow w tomie metalu  
jest wyreslona przez temperaturę  
metalnu ( $\frac{m\bar{c}^2}{2} = \alpha T$ ). Druga wyrod.  
na k i liczba "n" kalera przez Tem.  
peratury jestere od rozdrzaji do.  
nego metalu. Jeżeli wije dwa



różne metale zetknięte ze sobą, to z powodu, że  $n_1 \neq n_2$  istnieją różne napięcia elektronów; ciasto, którego elektrony mają większe napięcie, posiada dążność wysyłania elektronów do ciała o mniejszej próżności elektronów.

Istnieje więc różnica potencjałów, między dwoma różnymi metalami.

Tłumaczenie to jest analogiczne jak Nerusta, tłumaczenie różnicy potencjałów w ogniwach galwanicznych.

Według Nerusta praca wykonywana przez rozprężanie jonów z jednego metalu do drugiego równoważona jest z pracą elektryczną.

$$H T \lg^{10} \frac{p_1}{p_2} = 96540 \text{ n. E.}$$

gdzie  $H$  = wartościowość —

$$\text{stad: } \mathcal{E} = \frac{H T \lg \frac{p_1}{p_2}}{965404} \cdot \frac{0.0002 \lg \frac{p_1}{p_2}}{4}$$

Jedak potencjał ciśnienia osmotycznego st. wacymy [podobnie jak służy dla jonów] jako napięcie swobodnych elektro. uoń, otrzymujemy wzór:

$$\mathcal{E} = \frac{2}{3} \frac{RT}{e} \lg \frac{p_1}{p_2}, \text{ gdzie } e = 3 \cdot 10^{-10} \text{ (es)}$$

$$d = \frac{m \bar{c}^2}{2 T}$$

George Riecke'go, Druidego, Lorentza różnià od temu między innymi, że w pół. czynnik  $\frac{2}{3}$  we wzorze na  $\mathcal{E}$  jest zastę. piony przez inne współczynniki. -

### Termoelektrocyzość

Podobnie jak w dwóch różnyach me. talach powstają na dwóch różnyach miejscach różnica potencjałów, jeż. miejsca te mają różnie temperatury, bo wtedy w tych miejscach  $n_1, n_2$



sa rôžne. To ješ u zviaraku z tak rov-  
nym "Thomsoneffekt."

Thomson striedril unauoicie, zo je  
keš prax dva rôžne punkty metalu prax  
crany prax, rôžas u tych dvoch rôžnych  
punktach povstaje rôžna temperatur.  
Ješ dva metale Cu - Bi ketknemy  
re soba i vytvorimy rôžne temperatury  
 $T_1$  i  $T_2$ , rôžas povstaje rôžna  
potencyaš, ktorá povodijo prax  
termoelektricky. Ješ to veš prax  
předrony přax přejnoš elektronoš  
švolodnych u rôžnych cřepiach me-  
tali. Te cřepi Teoryi opracovyš H.  
A. Lorentz. Natpliv ješ cřagle,  
cřy ješou, cřy šri vícej podkrajš  
elektronoš ualery přryjaj. Ješ to

pierwsza teoria, która stara się objąć  
wzrostkie zjawiska w metalach. -

Drude tłumaczy pojęcie z teorii  
światła, emisji teorii absorpcji  
i dyspersji fal świetlnych na podsta-  
wie teorii elektronów. -

Lorentz obliczył zdolności emi-  
syjną dla metali dla energii świetlnej  
i porównał ten rezultat ze zdolnościami  
absorbującymi obliczonymi przez Drudego.

Stosunek ten określa promienio-  
wość ciała bezwzględnie czarnego  
o falach długich (tj. wreszcie dla fal ciepłych).  
Według tej teorii emisja ciała czarnego:

$$e = \frac{16}{3} \pi \alpha T \frac{dh}{h^4}$$

według Plancka:

$$e = \frac{c}{h^5} \cdot \frac{1}{e^{\alpha T} - 1}$$



Gła fal bardzo długich jest wci Planka  
identycznej z wzorem Lorentza.

Według Riecke'go zgodności tych  
wzorów miastanowi dowodu dobroci  
teorii. Podstawa obliczeń jest teoria  
absorbeyi Drudego i emisyyi Lorentza  
Obaj postępują się temi samemi za-  
łożeniami co do istoty wjemnych  
elektronów. Według Hirschhoffa  
emisyya i absorbeya są do siebie  
proporcjonalne. Piorąc więc sto-  
sunek obu tych wielkości poroby-  
wamy się błędów w wyprowadzeniu  
ich pokrywionych, tak, że wyrody  
Lorentza i Drudego mogą być błęd-  
ne a mimo to wyniki jest dobry.

## Łucisya promieni katodowych u metali:

Jeżeli metale rozgrzewamy do białego  
żaru, wówczas wysyłają one ze swej powierzchni  
dłui więcej cząstek (promieni kato-  
dowe), wazatem czego gaz staje się przewo-  
dzący. Richardson, który badał to zjawisko  
stwierdził że tak:

Wewnątrz metali cyrkulują elektrony  
z wielkimi prędkościami, tak, że od  
czasu do czasu odrywają się od reszty  
ciała, powodując przez to doświadczenie jego  
ładunek. Między elektronem i resztą  
ciała występuje więc siła przyciągająca.  
ca i w razie, gdy elektron posiada  
również małą prędkość, powraca wznu-  
tek tej siły u powrót. Za jednaka  
między elektronami i łucisya, które  
posiadają wielkie prędkości, bo przed-



ich w metalu są portowane według prawa Maxwella. Na podstawie prawa Maxwella można obliczyć ilość ( $n$ ) cząsteczek wylatujących elektronów przy danej temperaturze. —

Zjawisko to występuje wyraźnie w próżni, bo przy gazach zostają promieniowania katodowe silnie pochłaniane. Obliczone według tej teorii  $n$  jest rzędu  $10^{20}$ . —

Koniec



